

RÉPERTOIRE QUÉBÉCOIS ET SYSTÈME DE MESURE DES PROCÉDURES DE BIOLOGIE MÉDICALE

2023-2024

LES ANNEXES

ÉDITION

La Direction des communications du ministère de la Santé et des Services sociaux

Le présent document s'adresse spécifiquement aux intervenants du réseau québécois de la santé et des services sociaux et n'est accessible qu'en version électronique à l'adresse :

msss.gouv.qc.ca section, **Publications**

Le genre masculin utilisé dans ce document désigne aussi bien les femmes que les hommes.

Dépôt légal

Bibliothèque et Archives nationales du Québec, 2023

ISBN : ISBN : 978-2-550-94649-6 (version PDF)

Tous droits réservés pour tous pays. La reproduction, par quelque procédé que ce soit, la traduction ou la diffusion de ce document, même partielles, sont interdites sans l'autorisation préalable des Publications du Québec. Cependant, la reproduction de ce document ou son utilisation à des fins personnelles, d'étude privée ou de recherche scientifique, mais non commerciales, sont permises à condition d'en mentionner la source.

© Gouvernement du Québec, 2023

ANNEXES 2023-2024

| | | |
|----------|--|-----|
| Annexe A | Informations | 1 |
| Annexe B | Analyses de biologie médicale (ordre numérique)..... | 3 |
| Annexe C | Liste des techniques de dosage des anticorps..... | 81 |
| Annexe E | Liste des codes retirés | 87 |
| Annexe F | Informations pour la banque de sang..... | 91 |
| Annexe G | Calendrier de transmission des données d'activité de laboratoire pour l'année financière débutant le 1 ^{er} avril 2023 | 123 |
| Annexe I | Liste des établissements désignés pour les analyses suprarégionales (consulter à cet effet le Répertoire Web des procédures de biologie médicale) | |
| Annexe K | Analyses associées au dépistage néonatal sanguin et urinaire..... | 125 |
| Annexe M | Distribution des allergènes | 129 |
| Annexe N | Phénotypes érythrocytaires particuliers pour Héma-Québec (code 19366)..... | 139 |

INFORMATIONS

Veuillez prendre note que toute information inscrite en rouge au *Répertoire 2023-2024* constitue une mise à jour par rapport à l'année précédente.

Toute information supplémentaire relative au *Répertoire québécois et système de mesure des procédures de biologie médicale*, édition 2023-2024 doit être acheminée au ministère de la Santé et des Services sociaux (MSSS) par courrier électronique à l'adresse suivante : biomed@msss.gouv.qc.ca.

Chaque demande d'ajout d'analyse au *Répertoire* doit inclure :

Évaluation de la pertinence :

- le formulaire de demande d'évaluation de la pertinence d'une nouvelle analyse (fichier original et copie PDF signée) ;
- le calcul de la valeur pondérée théorique (fichier Excel détaillé du calcul et copie PDF signée). Le formulaire est disponible sur demande à l'adresse suivante : biomed@msss.gouv.qc.ca ;
- les études d'intérêt ou les articles publiés concernant l'analyse proposée (minimum suggéré de deux études ou articles) ;
- toute référence économique pertinente à l'évaluation de cet aspect (si disponible) ;
- les lignes directrices d'organisation (si disponibles) ;
- la monographie de la trousse (s'il y a lieu) ;
- la procédure opératoire normalisée (PON) ou le protocole.



Il importe que les demandes soient préalablement documentées et signées et que les coordonnées du requérant (nom, téléphone et titre d'emploi) y soient fournies.

Pour toute information supplémentaire relative au processus d'introduction d'analyses au *Répertoire*, consultez la page de la biologie médicale sur le site Internet du MSSS, section « Professionnels », thématique « Soins et services ».

Pilotage d'orientation :



Direction de la biovigilance et de la biologie médicale
Direction générale des affaires universitaires, médicales, infirmières et pharmaceutiques
Ministère de la Santé et des Services sociaux
✓ Adresse courriel : biomed@msss.gouv.qc.ca



La version électronique du *Répertoire québécois et système de mesure des procédures de biologie médicale*, édition 2023-2024, se trouve sur le site Web du MSSS à l'adresse suivante : <https://publications.msss.gouv.qc.ca/msss/>.

ANNEXE A

Centre de services de la DGTI-MSSS

Toute demande d'information relative à l'application des bases de données GestLab et Centralab doit être adressée au Centre de services de la DGTI-MSSS. Vous pouvez consulter leur site Internet à l'adresse suivante :

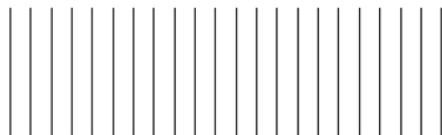
ti.msss.gouv.qc.ca/Nous-joindre.aspx

Win Info

Toute demande d'information relative à l'application de la base de données MedSip doit être adressée au service de soutien de Win Info. Le site Web Win Info donne également de l'information sur cette application :

www.wininfo.qc.ca/WininfoWP/

Santé
et Services sociaux
Québec 



*Manuel de
gestion financière*

Les circulaires sur les normes et pratiques de gestion sont disponibles sur le site Web du MSSS.

Adresse Web : www.msss.gouv.qc.ca : menu du haut > Publications > Normes et pratiques de gestion (Manuel de gestion financière et Répertoire des circulaires).

Pour toute question relative à ces normes et pratiques de gestion, vous pouvez vous adresser au MSSS :

Direction des normes et pratiques de gestion réseau
Direction générale adjointe de la gestion financière et des politiques de financement réseau
Direction générale du financement, de l'allocation des ressources et du budget
Ministère de la Santé et des Services sociaux
1075, chemin Sainte-Foy, 5^e étage
Québec (Québec) G1S 2M1
rapfin@msss.gouv.qc.ca

| LÉGENDE DES MODIFICATIONS | | | | | | | | | | | |
|--|--|-------|-------------|------|--------|----------------|---|----------------|-------------------|------------|----------|
| C | Procédures modifiées | | | | | | | | | | |
| N | Procédures ajoutées | | | | | | | | | | |
| N* | Procédures ajoutées lors de la mise à jour de mi-année 2022-2023 | | | | | | | | | | |
| LÉGENDE DES TYPES DE MODIFICATION | | | | | | | | | | | |
| D | Modification dans la description | | | | | | | | | | |
| VP | Révision de la valeur pondérée | | | | | | | | | | |
| S | Modification de la sous-section | | | | | | | | | | |
| H | Modification de la hiérarchie | | | | | | | | | | |
| EC | Modification de l'élément de compte | | | | | | | | | | |
| Réf | Modification à la référence au code numérique | | | | | | | | | | |
| * Réfère à des indications spécifiques de la partie texte du <i>Répertoire</i> | | | | | | | | | | | |
| L'ajout d'une lettre dans la colonne « Réf. texte » réfère à l'annexe du Répertoire portant cette même lettre. | | | | | | | | | | | |
| Banque de sang : Section 13.1 | | | | | | | | | | | |
| Pathologie : Section 13.2 | | | | | | | | | | | |
| Prélèvement : Section 12.3 | | | | | | | | | | | |
| EBMD : Section 13.4.1 | | | | | | | | | | | |
| Biochimie : Section 13.4.2 | | | | | | | | | | | |
| Hématologie : Section 13.4.3 | | | | | | | | | | | |
| Microbiologie : Section 13.4.4 | | | | | | | | | | | |
| Envoi : Section 13.5 | | | | | | | | | | | |
| Génétique : Section 13.7 | | | | | | | | | | | |
| LÉGENDE DES CODES NUMÉRIQUES | | | | | | | | | | | |
| 1 | Analyse référée au Laboratoire national de microbiologie | | | | | | | | | | |
| 3 | Analyse référée au Laboratoire provincial de l'Ontario | | | | | | | | | | |
| 4 | Analyse référée au Bureau des dangers microbiens, Santé Canada | | | | | | | | | | |
| 5 | Analyse référée au Laboratoire national des services de référence du VIH | | | | | | | | | | |
| 6 | Analyse référée au Centre national de référence en parasitologie | | | | | | | | | | |
| LÉGENDE INESSS et RQDM | | | | | | | | | | | |
| I | Ajout après évaluation | | | | | | | | | | |
| R | Ajout dans le cadre du Réseau québécois de diagnostic moléculaire (RQDM) | | | | | | | | | | |
| LÉGENDE DES SOUS-SECTIONS | | | | | | | | | | | |
| B. S. | Banque de sang | | | | | | | | | | |
| H-Q imm. | Héma-Québec immunologie | | | | | | | | | | |
| Bio | Biochimie | | | | | | | | | | |
| EBMD | Examen de biologie médicale délocalisée | | | | | | | | | | |
| Micro | Microbiologie | | | | | | | | | | |
| D. mol. | Diagnostic moléculaire | | | | | | | | | | |
| CTQ | Centre de toxicologie du Québec | | | | | | | | | | |
| LSPQ | Laboratoire de santé publique du Québec | | | | | | | | | | |
| Code | Réf. texte | Modif | Type modif. | RQDM | INESSS | Sous-section | Description | Réf. code num. | Élément de compte | Hiérarchie | VP 23-24 |
| 10000 | | | | | | B. S. générale | Agglutinines froides (dépistage) (qualitatif) autocontrôles inclus | | Résultat | Local | 2,9 |
| 10001 | | | | | | B. S. générale | Agglutinines froides (titrage par amplitude thermique) autocontrôles inclus | | Rapport | Local | 43,0 |

| Code | Réf. texte | Modif | Type modif. | RQDM | INESSS | Sous-section | Description | Réf. code num. | Élément de compte | Hiérarchie | VP 23-24 |
|-------|------------|-------|-------------|------|--------|--------------------|---|----------------|-------------------|------------|----------|
| 10002 | | | | | | B. S. générale | Agglutinines froides (titrage) (quantitatif) (autocontrôles inclus) | | Rapport | Local | 22,0 |
| 10007 | * | | | | | B. S. générale | Anticorps irréguliers (identification manuelle) | | Panel | Local | 30,0 |
| 10008 | * | | | | | B. S. générale | Allo ou auto adsorption à chaud | | Adsorption | Régional | 68,0 |
| 10009 | * | | | | | B. S. générale | Allo ou auto adsorption à froid | | Adsorption | Régional | 97,0 |
| 10020 | | | | | | B. S. générale | Cellules fœtales (agglutination) (dépistage) (qualitatif) | | Rapport | Régional | 19,5 |
| 10021 | | C | VP | | | Hémato-cyto-chimie | Cellules fœtales (quantitatif) (Kleihauer) | | Résultat | Régional | 19,6 |
| 10024 | * | | | | | B. S. générale | Compatibilité (manuelle ou automatisée) | | Résultat | Local | 5,0 |
| 10028 | | | | | | B. S. générale | Coombs direct polyspécifique ou monospécifique (automatisée) | | Résultat | Local | 2,7 |
| 10032 | | | | | | B. S. générale | Coombs direct polyspécifique ou monospécifique (technique en tube) (manuelle) | | Résultat | Local | 7,9 |
| 10034 | | | | | | B. S. générale | Coombs direct polyspécifique ou monospécifique (technique en gel) (manuelle) | | Résultat | Local | 5,2 |
| 10040 | * | | | | | Hémato-immunologie | Différenciation IgG-IgM (dithiothréitol-DTT) | | Spécimen | Régional | 7,3 |
| 10041 | | | | | | B. S. générale | Division de produit sanguin labile | | Produit final | Local | 10,4 |
| 10042 | | | | | | B. S. générale | Division de produit sanguin stable ou de lait maternel | | Produit final | Local | 10,7 |
| 10044 | | | | | | B. S. générale | Donath Landsteiner | | Résultat | Local | 10,6 |
| 10045 | * | | | | | B. S. générale | Décongélation de produit sanguin ou de lait maternel | | Produit | Local | 1,7 |
| 10060 | * | | | | | B. S. générale | Élution (identification sur éluat incluse) | | Rapport | Local | 76,0 |
| 10085 | * | | | | | B. S. générale | Groupe sanguin ABO-Rh (automatisé) | | Rapport | Local | 5,5 |
| 10086 | * | | | | | B. S. générale | Groupe sanguin ABO-Rh (manuel) | | Rapport | Local | 6,9 |
| 10110 | | | | | | B. S. générale | Irradiation de produit sanguin dans l'établissement | | Résultat | Supra | 10,3 |
| 10111 | * | | | | | B. S. générale | Anticorps irréguliers (identification automatisée) | | Panel | Local | 29,0 |
| 10115 | * | | | | | B. S. générale | Investigation RhD faible | | Résultat | Local | 24,0 |
| 10133 | * | | | | | B. S. générale | Poolage produits sanguins labiles | | Produit final | Local | 26,0 |
| 10134 | * | | | | | B. S. générale | Phénotype érythrocytaire commun ou rare (patient ou du produit / par antigène / incluant contrôles) (automatisé) | | Résultat | Local | 4,5 |
| 10135 | | | | | | B. S. générale | Poolage de produits sanguins stables | | Produit final | Local | 17,3 |
| 10136 | * | | | | | B. S. générale | Phénotype érythrocytaire commun (patient ou produit / par antigène / excluant ABO, D / incluant contrôles) (manuel) | | Résultat | Local | 11,5 |

| Code | Réf. texte | Modif | Type modif. | RQDM | INESSS | Sous-section | Description | Réf. code num. | Élément de compte | Hiérarchie | VP 23-24 |
|-------|------------|-------|-------------|------|--------|-------------------------|---|----------------|-------------------|------------|----------|
| 10137 | * | | | | | B. S. générale | Phénotype érythrocytaire rare (patient ou produit / par antigène / incluant contrôles) (manuel) | | Résultat | Local | 12,7 |
| 10150 | | | | | | B. S. générale | Anticorps irréguliers (recherche manuelle) | | Résultat | Local | 8,0 |
| 10151 | | C | VP | | | Hémato-immunocytométrie | Recherche d'hémoglobinurie paroxystique nocturne (PNH) | | Rapport | Régional | 94,0 |
| 10152 | | | | | | B. S. générale | Reconstitution de produit sanguin stable (ex. : facteur de coagulation, immunoglobulines, etc.) | | Produit | Local | 11,8 |
| 10153 | | | | | | B. S. générale | Anticorps irréguliers (recherche automatisée) | | Résultat | Local | 4,6 |
| 10170 | | | | | | B. S. générale | Titrage anticorps (par anticorps) (incluant le titrage sur le sérum antérieur) | | Résultat | Local | 36,0 |
| 10173 | * | | | | | B. S. générale | Traitement cellules (méthode EGA KIT) | | Usager | Régional | 55,0 |
| 10174 | * | | | | | B. S. générale | Traitement enzymatique (ex.: ficine) pour identification d'anticorps | | Usager | Régional | 125,0 |
| 10177 | | | | | | B. S. générale | Retrait de surageant | | Produit final | Local | 26,0 |
| 10178 | * | | | | | B. S. générale | Reconstitution d'un produit sanguin labile | | Produit final | Local | 10,0 |
| 10179 | | | | | | B. S. générale | Mise en seringue de produit sanguin labile | | Produit final | Local | 13,3 |
| 10505 | | N | | | | B. S. gestion | Gestion de la confirmation de l'administration ou de la transfusion | | Produit | Local | 2,6 |
| 10510 | * | | | | | B. S. gestion | Réception et manipulation d'un échantillon non analysé à la réception (à l'usage exclusif de la banque de sang) | | Usager | Local | 3,0 |
| 10511 | * | C | D | | | B. S. gestion | Émission produit sanguin labile ou stable, de tissu ou de lait maternel | | Produit | Local | 4,7 |
| 10512 | | | | | | B. S. gestion | Étude de don antérieur (par cas) (fait par un technologiste) | | Usager | Local | 7,2 |
| 10513 | * | | | | | B. S. gestion | Étude de réaction transfusionnelle (fait par un technologiste) | | Rapport | Local | 14,3 |
| 10515 | | N | | | | B. S. gestion | Vigie des demandes en produits sanguins (fait par un technologiste) | | Produit | Local | 6,6 |
| 10531 | * | | | | | B. S. gestion | Rejet produit sanguin, tissu ou lait maternel (fait par un technologiste) | | Produit final | Local | 1,9 |
| 10532 | * | | | | | B. S. gestion | Emballage de produit (labile ou stable) pour usage de produit sans transfert d'inventaire | | Produit | Local | 9,5 |
| 10533 | * | | | | | B. S. gestion | Emballage pour expédition de produit sanguin (labile ou stable) OU retour au fournisseur | | Produit | Local | 6,2 |
| 10534 | | | | | | B. S. gestion | Emballage de produits pour administration à domicile et cueillette par l'utilisateur au CH | | Usager | Local | 10,9 |
| 10700 | * | | | | | B. S. gestion | Réception de produit sanguin labile | | Produit | Local | 2,0 |
| 10701 | * | | | | | B. S. gestion | Réception de produit sanguin stable, tissu ou lait maternel | | Produit | Local | 2,4 |
| 10702 | * | C | D, VP | | | B. S. gestion | Mise en quarantaine et investigation (incluant chaîne de froid et retrait) | | Produit | Local | 9,5 |
| 10704 | | C | D | | | B. S. gestion | Réception don autologue ou dirigé (H-Q) | | Produit | Local | 7,4 |
| 10730 | * | | | | | B. S. générale | Confirmation du groupe sanguin (culots globulaire) | | Produit | Local | 1,7 |

C : procédures modifiées N : procédures ajoutées * : réfère à des indications spécifiques de la partie texte du Répertoire I : ajout après évaluation

ANALYSES 2023-2024
DE BIOLOGIE MÉDICALE (ORDRE NUMÉRIQUE)

| Code | Réf. texte | Modif | Type modif. | RQDM | INESSS | Sous-section | Description | Réf. code num. | Élément de compte | Hiérarchie | VP 23-24 |
|-------|------------|-------|-------------|------|--------|-------------------------|---|----------------|-------------------|------------|----------|
| 19007 | | | | | | H-Q imm. leucocytaire | Anti-HLA (dépistage des anti-HLA classe I par Luminex) | | Rapport | Supra | 1,0 |
| 19008 | | | | | | H-Q imm. leucocytaire | Anti-HLA (identification des anti-HLA classe I par Luminex) | | Rapport | Supra | 1,0 |
| 19010 | | C | VP | | | H-Q imm. plaquettaire | Anti-HPA et HLA (dépistage et identification d'anticorps par Luminex) | | Rapport | Supra | 302,0 |
| 19030 | | | | | | Héma-Québec | Congélation de cellules souches autologues | | Sac | Supra | 1,0 |
| 19044 | | | | | | H-Q imm. érythrocytaire | Analyses REF envoyées à l'externe | | Rapport | Supra | 1,0 |
| 19045 | | C | VP | | | H-Q imm. érythrocytaire | Génotypage érythrocytaire complet (SSO) | | Rapport | Supra | 200,0 |
| 19050 | | | | | | H-Q imm. plaquettaire | Génotypage HPA-2 par SSP | | Rapport | Supra | 1,0 |
| 19051 | | | | | | H-Q imm. plaquettaire | Génotypage HPA-3 par SSP | | Rapport | Supra | 1,0 |
| 19052 | | | | | | H-Q imm. plaquettaire | Génotypage HPA-4 par SSP | | Rapport | Supra | 1,0 |
| 19053 | | | | | | H-Q imm. plaquettaire | Génotypage HPA-5 par SSP | | Rapport | Supra | 1,0 |
| 19054 | | | | | | H-Q imm. plaquettaire | Génotypage HPA-15 par SSP | | Rapport | Supra | 1,0 |
| 19065 | | C | VP | | | H-Q imm. érythrocytaire | Génotypage du RhD faible type 1,2,3 et 42 | | Rapport | Supra | 193,0 |
| 19073 | | C | VP | | | H-Q imm. leucocytaire | Génotypage HLA: Locus A basse résolution (SSO Luminex) | | Rapport | Supra | 111,0 |
| 19075 | | C | VP | | | H-Q imm. leucocytaire | Génotypage HLA: Locus B basse résolution (SSO Luminex) | | Rapport | Supra | 111,0 |
| 19077 | | C | VP | | | H-Q imm. leucocytaire | Génotypage HLA: Locus C basse résolution (SSO Luminex) | | Rapport | Supra | 155,0 |
| 19080 | | C | VP | | | H-Q imm. leucocytaire | Génotypage HLA: Locus DRB1 basse résolution (SSO Luminex) incluant DRB3/4/5 | | Rapport | Supra | 122,0 |
| 19082 | | | | | | H-Q imm. plaquettaire | Génotypage HPA-1 par SSP | | Rapport | Supra | 1,0 |
| 19085 | | | | | | H-Q imm. érythrocytaire | Génotypage Rh(D), Rh(D) pseudogène par SSP | | Rapport | Supra | 1,0 |
| 19092 | | C | VP | | | H-Q imm. leucocytaire | Génotypage HLA: Locus DQA1/B1 basse résolution (SSO Luminex) | | Rapport | Supra | 167,0 |
| 19095 | | C | VP | | | H-Q imm. leucocytaire | Génotypage HLA : Locus DPA1/B1 basse résolution (SSO Luminex) | | Rapport | Supra | 155,0 |
| 19098 | | C | VP | | | H-Q imm. plaquettaire | Génotypage plaquettaire complet IDHPA (SSO Luminex) | | Rapport | Supra | 210,0 |
| 19099 | | | | | | H-Q imm. érythrocytaire | Génotypage R&D | | Rapport | Supra | 1,0 |
| 19110 | | C | D, VP | | | H-Q imm. leucocytaire | Séquençage HLA A, B, C, DRB1, DRB3/4/5, DQB1, DQA1, DPB1, DPA1 (SNG) | | Rapport | Supra | 340,0 |
| 19111 | | | | | | H-Q imm. leucocytaire | Analyses HLA envoyées à l'externe | | Rapport | Supra | 1,0 |
| 19302 | | | | | | Héma-Québec | Transport du greffon CSP au CH sur demande (par greffon retourné) | | Greffon | Supra | 1,0 |
| 19303 | * | C | VP | | | H-Q imm. érythrocytaire | Dosage semi-quantitatif des IgA | | Rapport | Supra | 1,0 |

C : procédures modifiées N : procédures ajoutées * : réfère à des indications spécifiques de la partie texte du *Répertoire* I : ajout après évaluation

| Code | Réf. texte | Modif | Type modif. | RQDM | INESSS | Sous-section | Description | Réf. code num. | Élément de compte | Hiérarchie | VP 23-24 |
|-------|------------|-------|-------------|------|--------|-------------------------|--|----------------|-------------------|------------|----------|
| 19304 | | | | | | H-Q imm. érythrocytaire | Groupe ABO | | Rapport | Supra | 1,0 |
| 19305 | | | | | | H-Q imm. érythrocytaire | Groupe Rh(D) | | Rapport | Supra | 1,0 |
| 19306 | | | | | | H-Q imm. érythrocytaire | ABO globulaire | | Rapport | Supra | 1,0 |
| 19307 | | | | | | H-Q imm. érythrocytaire | Groupe RhD 37 | | Rapport | Supra | 1,0 |
| 19308 | | | | | | H-Q imm. érythrocytaire | Groupe RhD AGH | | Rapport | Supra | 1,0 |
| 19309 | | | | | | H-Q imm. érythrocytaire | Discordance ABO 22 | | Rapport | Supra | 1,0 |
| 19310 | | | | | | H-Q imm. érythrocytaire | Discordance ABO 4 | | Rapport | Supra | 1,0 |
| 19311 | | | | | | H-Q imm. érythrocytaire | Discordance ABO sérique préchauffé | | Rapport | Supra | 1,0 |
| 19312 | | | | | | H-Q imm. érythrocytaire | Discordance ABO glob Hématies lavées à chaud | | Rapport | Supra | 1,0 |
| 19313 | | | | | | H-Q imm. érythrocytaire | Discordance ABO glob hématies enzymées | | Rapport | Supra | 1,0 |
| 19314 | | | | | | H-Q imm. érythrocytaire | Discordance ABO sérique sédimentation | | Rapport | Supra | 1,0 |
| 19315 | | | | | | H-Q imm. érythrocytaire | Discordance ABO sérique préchauffé sédim | | Rapport | Supra | 1,0 |
| 19316 | | | | | | H-Q imm. érythrocytaire | Discordance ABO globulaire EGA | | Rapport | Supra | 1,0 |
| 19317 | | | | | | H-Q imm. érythrocytaire | Discordance ABO globulaire 22 | | Rapport | Supra | 1,0 |
| 19318 | | | | | | H-Q imm. érythrocytaire | Discordance ABO globulaire 4 | | Rapport | Supra | 1,0 |
| 19319 | | | | | | H-Q imm. érythrocytaire | Discordance ABO sérum AB | | Rapport | Supra | 1,0 |
| 19320 | | | | | | H-Q imm. érythrocytaire | Phénotype ABO lectine A1 | | Rapport | Supra | 1,0 |
| 19321 | | | | | | H-Q imm. érythrocytaire | Phénotype ABO lectine H | | Rapport | Supra | 1,0 |
| 19322 | | | | | | H-Q imm. érythrocytaire | Discordance RhD Hématies lavées à chaud | | Rapport | Supra | 1,0 |
| 19323 | | | | | | H-Q imm. érythrocytaire | Discordance RhD EGA | | Rapport | Supra | 1,0 |
| 19324 | | | | | | H-Q imm. érythrocytaire | Discordance RhD 2° source | | Rapport | Supra | 1,0 |
| 19325 | | | | | | H-Q imm. érythrocytaire | Discordance RhD 3° source | | Rapport | Supra | 1,0 |
| 19326 | | | | | | H-Q imm. érythrocytaire | TDA (test direct à l'antiglobuline) | | Rapport | Supra | 1,0 |
| 19327 | | | | | | H-Q imm. érythrocytaire | TDA tube détaillé | | Rapport | Supra | 1,0 |
| 19328 | | | | | | H-Q imm. érythrocytaire | TDA lavé à chaud | | Rapport | Supra | 1,0 |
| 19329 | | | | | | H-Q imm. érythrocytaire | TDA détaillé lavé à chaud | | Rapport | Supra | 1,0 |

| Code | Réf. texte | Modif | Type modif. | RQDM | INESSS | Sous-section | Description | Réf. code num. | Élément de compte | Hiérarchie | VP 23-24 |
|-------|------------|-------|-------------|------|--------|-------------------------|---|----------------|-------------------|------------|----------|
| 19330 | | | | | | H-Q imm. érythrocytaire | Identification d'anticorps érythrocytaire | | Rapport | Supra | 1,0 |
| 19331 | | | | | | H-Q imm. érythrocytaire | Identification d'anticorps érythrocytaire Éluat | | Rapport | Supra | 1,0 |
| 19332 | | | | | | H-Q imm. érythrocytaire | Test de compatibilité érythrocytaire | | Rapport | Supra | 1,0 |
| 19333 | | | | | | H-Q imm. érythrocytaire | Inactivation/Inhibition | | Rapport | Supra | 1,0 |
| 19334 | | | | | | H-Q imm. érythrocytaire | Titration 1 anticorps érythrocytaire | | Rapport | Supra | 1,0 |
| 19335 | | | | | | H-Q imm. érythrocytaire | Titration 2 anticorps érythrocytaire | | Rapport | Supra | 1,0 |
| 19336 | | | | | | H-Q imm. érythrocytaire | Titration 3 anticorps érythrocytaire | | Rapport | Supra | 1,0 |
| 19337 | | | | | | H-Q imm. érythrocytaire | Titration 4 anticorps érythrocytaire | | Rapport | Supra | 1,0 |
| 19338 | | | | | | H-Q imm. érythrocytaire | Titration 5 anticorps érythrocytaire | | Rapport | Supra | 1,0 |
| 19339 | | | | | | H-Q imm. érythrocytaire | Titration anticorps érythrocytaire parallèle 1 Ac (grossesse) | | Rapport | Supra | 1,0 |
| 19340 | | | | | | H-Q imm. érythrocytaire | Titration anticorps érythrocytaire parallèle 2 Ac (grossesse) | | Rapport | Supra | 1,0 |
| 19341 | | | | | | H-Q imm. érythrocytaire | Titration anticorps érythrocytaire parallèle 3 Ac (grossesse) | | Rapport | Supra | 1,0 |
| 19342 | | | | | | H-Q imm. érythrocytaire | Titration anticorps érythrocytaire parallèle 4 et plus Ac (grossesse) | | Rapport | Supra | 1,0 |
| 19343 | | | | | | H-Q imm. érythrocytaire | Phénotype régulier : C | | Rapport | Supra | 1,0 |
| 19344 | | | | | | H-Q imm. érythrocytaire | Phénotype régulier : E | | Rapport | Supra | 1,0 |
| 19345 | | | | | | H-Q imm. érythrocytaire | Phénotype régulier : c | | Rapport | Supra | 1,0 |
| 19346 | | | | | | H-Q imm. érythrocytaire | Phénotype régulier : e | | Rapport | Supra | 1,0 |
| 19347 | | | | | | H-Q imm. érythrocytaire | Phénotype régulier : K | | Rapport | Supra | 1,0 |
| 19348 | | | | | | H-Q imm. érythrocytaire | Phénotype régulier : S | | Rapport | Supra | 1,0 |
| 19349 | | | | | | H-Q imm. érythrocytaire | Phénotype régulier : s | | Rapport | Supra | 1,0 |
| 19350 | | | | | | H-Q imm. érythrocytaire | Phénotype régulier : Fya | | Rapport | Supra | 1,0 |
| 19351 | | | | | | H-Q imm. érythrocytaire | Phénotype régulier : Fyb | | Rapport | Supra | 1,0 |
| 19352 | | | | | | H-Q imm. érythrocytaire | Phénotype régulier : Jka | | Rapport | Supra | 1,0 |
| 19353 | | | | | | H-Q imm. érythrocytaire | Phénotype régulier : Jkb | | Rapport | Supra | 1,0 |
| 19354 | | | | | | H-Q imm. érythrocytaire | Phénotype régulier autres : Cw | | Rapport | Supra | 1,0 |
| 19355 | | | | | | H-Q imm. érythrocytaire | phénotype régulier autres : M | | Rapport | Supra | 1,0 |

| Code | Réf. texte | Modif | Type modif. | RQDM | INESSS | Sous-section | Description | Réf. code num. | Élément de compte | Hiérarchie | VP 23-24 |
|-------|------------|-------|-------------|------|--------|-------------------------|---|----------------|-------------------|------------|----------|
| 19356 | | | | | | H-Q imm. érythrocytaire | Phénotype régulier autres : N | | Rapport | Supra | 1,0 |
| 19357 | | | | | | H-Q imm. érythrocytaire | Phénotype régulier autres : P1 | | Rapport | Supra | 1,0 |
| 19358 | | | | | | H-Q imm. érythrocytaire | Phénotype régulier autres : Lea | | Rapport | Supra | 1,0 |
| 19359 | | | | | | H-Q imm. érythrocytaire | Phénotype régulier autres : Leb | | Rapport | Supra | 1,0 |
| 19360 | | | | | | H-Q imm. érythrocytaire | Phénotype régulier autres : k | | Rapport | Supra | 1,0 |
| 19361 | | | | | | H-Q imm. érythrocytaire | Phénotype régulier autres : Kpa | | Rapport | Supra | 1,0 |
| 19362 | | | | | | H-Q imm. érythrocytaire | Phénotype régulier autres : Kpb | | Rapport | Supra | 1,0 |
| 19363 | | | | | | H-Q imm. érythrocytaire | Phénotype régulier autres : Lua | | Rapport | Supra | 1,0 |
| 19364 | | | | | | H-Q imm. érythrocytaire | Phénotype régulier autres : Lub | | Rapport | Supra | 1,0 |
| 19365 | | | | | | H-Q imm. érythrocytaire | Phénotype régulier autres : Wra | | Rapport | Supra | 1,0 |
| 19366 | | | | | | H-Q imm. érythrocytaire | Phénotype érythrocytaire particulier | | Rapport | Supra | 1,0 |
| 19367 | | | | | | H-Q imm. érythrocytaire | Traitement des hématies EGA | | Rapport | Supra | 1,0 |
| 19368 | | | | | | H-Q imm. érythrocytaire | Identification d'anticorps érythrocytaire de haute fréquence | | Rapport | Supra | 1,0 |
| 19369 | | | | | | H-Q imm. érythrocytaire | Identification d'anticorps érythrocytaire différents enzyme | | Rapport | Supra | 1,0 |
| 19370 | | | | | | H-Q imm. érythrocytaire | Identification d'anticorps érythrocytaire phase solide | | Rapport | Supra | 1,0 |
| 19371 | | | | | | H-Q imm. érythrocytaire | Identification d'anticorps érythrocytaire technique tube | | Rapport | Supra | 1,0 |
| 19372 | | | | | | H-Q imm. érythrocytaire | Identification d'anticorps érythrocytaire cellules de collections | | Rapport | Supra | 1,0 |
| 19373 | | | | | | H-Q imm. érythrocytaire | Auto adsorption (érythrocytaire) | | Rapport | Supra | 1,0 |
| 19374 | | | | | | H-Q imm. érythrocytaire | Allo adsorption différentielles (érythrocytaire) | | Rapport | Supra | 1,0 |
| 19375 | | | | | | H-Q imm. érythrocytaire | Adsorption Rest/HPC | | Rapport | Supra | 1,0 |
| 19376 | | | | | | H-Q imm. érythrocytaire | Adsorption/élution (érythrocytaire) | | Rapport | Supra | 1,0 |
| 19377 | | | | | | H-Q imm. érythrocytaire | Test de Donath-Landsteiner | | Rapport | Supra | 1,0 |
| 19378 | | | | | | H-Q imm. érythrocytaire | Test d'amplitude thermique (érythrocytaire) | | Rapport | Supra | 1,0 |
| 19379 | | | | | | H-Q imm. plaquettaire | Anti-GPIIb/IIIa par MAIPA (méthode régulière) | | Rapport | Supra | 1,0 |
| 19380 | | | | | | H-Q imm. plaquettaire | Anti-GPIa/IIa par MAIPA (méthode régulière) | | Rapport | Supra | 1,0 |
| 19381 | | | | | | H-Q imm. plaquettaire | Anti-GPIb/IX par MAIPA (méthode régulière) | | Rapport | Supra | 1,0 |

| Code | Réf. texte | Modif | Type modif. | RQDM | INESSS | Sous-section | Description | Réf. code num. | Élément de compte | Hiérarchie | VP 23-24 |
|-------|------------|-------|-------------|------|--------|-----------------------|---|----------------|-------------------|------------|----------|
| 19382 | | | | | | H-Q imm. plaquettaire | Anti-Gov par MAIPA (méthode régulière) | | Rapport | Supra | 1,0 |
| 19383 | | | | | | H-Q imm. plaquettaire | Anti-GPIIb/IIIa par MAIPA (méthode optimisée) | | Rapport | Supra | 1,0 |
| 19384 | | | | | | H-Q imm. plaquettaire | Anti-GPIa/IIa par MAIPA (méthode optimisée) | | Rapport | Supra | 1,0 |
| 19385 | | | | | | H-Q imm. plaquettaire | MAIPA avec traitement du sérum | | Rapport | Supra | 1,0 |
| 19386 | | | | | | H-Q imm. plaquettaire | Analyses PLT envoyées à l'externe | | Rapport | Supra | 1,0 |
| 19387 | | | | | | H-Q imm. leucocytaire | Anti-HLA (dépistage des anti-HLA classe I par Luminex, pré-traitement DTT) | | Rapport | Supra | 1,0 |
| 19388 | | | | | | H-Q imm. leucocytaire | Anti-HLA (dépistage des anti-HLA classe I par Luminex, pré-traitement EDTA) | | Rapport | Supra | 1,0 |
| 19389 | | | | | | H-Q imm. leucocytaire | Anti-HLA (dépistage des anti-HLA classe I par Luminex, pré-traitement dilution) | | Rapport | Supra | 1,0 |
| 19390 | | | | | | H-Q imm. leucocytaire | Anti-HLA (dépistage des anti-HLA classe II par Luminex) | | Rapport | Supra | 1,0 |
| 19391 | | | | | | H-Q imm. leucocytaire | Anti-HLA (dépistage des anti-HLA classe II par Luminex, pré-traitement DTT) | | Rapport | Supra | 1,0 |
| 19392 | | | | | | H-Q imm. leucocytaire | Anti-HLA (dépistage des anti-HLA classe II par Luminex, pré-traitement EDTA) | | Rapport | Supra | 1,0 |
| 19393 | | | | | | H-Q imm. leucocytaire | Anti-HLA (dépistage des anti-HLA classe II par Luminex, pré-traitement dilution) | | Rapport | Supra | 1,0 |
| 19394 | | | | | | H-Q imm. leucocytaire | Anti-HLA (identification des anti-HLA classe I par Luminex, pré-traitement DTT) | | Rapport | Supra | 1,0 |
| 19395 | | | | | | H-Q imm. leucocytaire | Anti-HLA (identification des anti-HLA classe I par Luminex, pré-traitement EDTA) | | Rapport | Supra | 1,0 |
| 19396 | | | | | | H-Q imm. leucocytaire | Anti-HLA (identification des anti-HLA classe I par Luminex, pré-traitement dilution) | | Rapport | Supra | 1,0 |
| 19397 | | | | | | H-Q imm. leucocytaire | Anti-HLA (identification des anti-HLA classe II par Luminex) | | Rapport | Supra | 1,0 |
| 19398 | | | | | | H-Q imm. leucocytaire | Anti-HLA (identification des anti-HLA classe II par Luminex, pré-traitement DTT) | | Rapport | Supra | 1,0 |
| 19399 | | | | | | H-Q imm. leucocytaire | Anti-HLA (identification des anti-HLA classe II par Luminex, pré-traitement EDTA) | | Rapport | Supra | 1,0 |
| 19400 | | | | | | H-Q imm. leucocytaire | Anti-HLA (identification des anti-HLA classe II par Luminex, pré-traitement dilution) | | Rapport | Supra | 1,0 |
| 19402 | | C | D, VP | | | H-Q imm. leucocytaire | Génotypage HLA : Locus A haute résolution (SNG) | | Rapport | Supra | 257,0 |
| 19403 | | C | D, VP | | | H-Q imm. leucocytaire | Génotypage HLA : Locus B haute résolution (SNG) | | Rapport | Supra | 257,0 |
| 19404 | | C | D, VP | | | H-Q imm. leucocytaire | Génotypage HLA : Locus C haute résolution (SNG) | | Rapport | Supra | 257,0 |
| 19405 | | C | D, VP | | | H-Q imm. leucocytaire | Génotypage HLA : Locus DRB1 haute résolution (SNG) | | Rapport | Supra | 257,0 |
| 19406 | | C | D, VP | | | H-Q imm. leucocytaire | Génotypage HLA : Locus DRB3 haute résolution (SNG) | | Rapport | Supra | 148,0 |
| 19407 | | C | D, VP | | | H-Q imm. leucocytaire | Génotypage HLA : Locus DRB4 haute résolution (SNG) | | Rapport | Supra | 148,0 |
| 19408 | | C | D, VP | | | H-Q imm. leucocytaire | Génotypage HLA : Locus DRB5 haute résolution (SNG) | | Rapport | Supra | 148,0 |

| Code | Réf. texte | Modif | Type modif. | RQDM | INESSS | Sous-section | Description | Réf. code num. | Élément de compte | Hiérarchie | VP 23-24 |
|-------|------------|-------|-------------|------|--------|-------------------------|---|----------------|-------------------|------------|----------|
| 19409 | | C | D, VP | | | H-Q imm. leucocytaire | Génotypage HLA : Locus DQA1 haute résolution (SNG) | | Rapport | Supra | 249,0 |
| 19410 | | C | D, VP | | | H-Q imm. leucocytaire | Génotypage HLA : Locus DQB1 haute résolution (SNG) | | Rapport | Supra | 257,0 |
| 19411 | | C | D, VP | | | H-Q imm. leucocytaire | Génotypage HLA : Locus DPA1 haute résolution (SNG) | | Rapport | Supra | 249,0 |
| 19412 | | C | D, VP | | | H-Q imm. leucocytaire | Génotypage HLA : Locus DPB1 haute résolution (SNG) | | Rapport | Supra | 257,0 |
| 19424 | | | | | | H-Q imm. érythrocytaire | Dépistage des anti-IgA (Test R&D) | | Rapport | Supra | 1,0 |
| 19425 | | | | | | H-Q imm. érythrocytaire | Génotypage CEAG par RFLP | | Rapport | Supra | 1,0 |
| 19426 | | | | | | H-Q imm. érythrocytaire | Génotypage Knops par RFLP | | Rapport | Supra | 1,0 |
| 19427 | | | | | | H-Q imm. érythrocytaire | Génotypage Yka Par SSP | | Rapport | Supra | 1,0 |
| 19428 | | | | | | H-Q imm. érythrocytaire | Génotypage RhD Position 48 par RFLP | | Rapport | Supra | 1,0 |
| 19429 | | | | | | H-Q imm. érythrocytaire | MMA (Test R&D) | | Rapport | Supra | 1,0 |
| 19431 | | N | | | | H-Q imm. érythrocytaire | Génotypage érythrocytaire complet (Bioarray) | | Rapport | Supra | 1,0 |
| 19432 | | N | | | | H-Q imm. plaquettaire | Génotypage plaquettaire complet (Bioarray) | | Rapport | Supra | 1,0 |
| 20000 | | C | VP | | | Hémato-hémostase | Agrégation plaquettaire (par agent) | | Résultat | Régional | 46,0 |
| 20001 | | | | | | Hémato-immunologie | Alpha-2 macroglobuline (antigène) | | Résultat | Supra | 15,0 |
| 20003 | | C | VP | | | Hémato-immunologie | Anticardiolipine (IgG ou IgM) | | Résultat | Régional | 11,5 |
| 20005 | | | | | | Hémato-immunologie | Anticardiolipine anticorps (total) | | Résultat | Régional | 31,0 |
| 20006 | | C | D | | | Hémato-hémostase | Dépistage de lupus anticoagulant avec réactif APTT sensible aux antiphospholipides (incluant correction avec pool de plasmas normaux) | | Rapport | Régional | 16,4 |
| 20007 | | | | | | Hémato-hémostase | Anti-héparine (méthode agrégation plaquettaire) | | Résultat | Supra | 79,0 |
| 20008 | | | | | | Hémato-immunologie | Anti Bêta-2 glycoprotéine 1 IgG ou IgM | | Résultat | Régional | 11,9 |
| 20009 | | C | VP | | | Hémato-hémostase | Anti Facteur Von Willebrand (anti-FVW) | | Résultat | Supra | 63,0 |
| 20011 | | | | | | Hémato-immunologie | Anti-héparine-FP4 (ELISA) | | Résultat | Régional | 60,0 |
| 20013 | | C | VP | | | Hémato-hémostase | Antiplasmine (activité) | | Résultat | Supra | 35,0 |
| 20014 | | C | VP | | | Hémato-hémostase | Anti-thrombine (activité) | | Résultat | Régional | 13,4 |
| 20015 | | | | | | Hémato-hémostase | Anti-thrombine (antigène) | | Résultat | Supra | 8,6 |
| 20019 | | | | | | Hémato-immunologie | Anti-saccharomyces IgA ou IgG (ASCA) | | Rapport | Supra | 20,0 |
| 20020 | | | | | | Hémato-immunologie | Anti-centromere Protein B (CENP-B) | | Rapport | Supra | 9,2 |

C : procédures modifiées N : procédures ajoutées * : réfère à des indications spécifiques de la partie texte du Répertoire I : ajout après évaluation

| Code | Réf. texte | Modif | Type modif. | RQDM | INESSS | Sous-section | Description | Réf. code num. | Élément de compte | Hiérarchie | VP 23-24 |
|-------|------------|-------|-------------|------|--------|-----------------------|---|----------------|-------------------|------------|----------|
| 20022 | | C | VP | | I | Héмато-hémostase | Anticorps anti-C1 inhibiteur (ELISA) (quantitatif) | | Rapport | Supra | 82,0 |
| 20040 | | | | | | Hémato-hémostase | Cofacteur de la ristocétine | | Résultat | Régional | 24,0 |
| 20044 | | | | | | Hémato-hémostase | Cryofibrinogène | | Résultat | Régional | 5,2 |
| 20060 | | | | | | Hémato-hémostase | D-Dimère (semi-quantitatif ou qualitatif ou sur lame) | | Résultat | Local | 11,0 |
| 20061 | | C | VP | | | Hémato-hémostase | D-Dimère (ELISA) | | Résultat | Local | 22,0 |
| 20062 | | C | VP | | | Hémato-hémostase | D-Dimère (automatisé) | | Résultat | Local | 14,7 |
| 20064 | | | | | | D. mol. hémato-greffe | HLA-B27 (TaqMan) | | Rapport | Supra | 22,0 |
| 20077 | | C | S | | | D. mol. hémato-greffe | Sélection avec micro-billes de sous-populations de lymphocytes pour analyse moléculaire CD3 et CD33 (incluant Ficoll) | | Rapport | Supra | 353,0 |
| 20080 | | | | | | Hémato-hémostase | Facteur de coagulation (II, V, VII, VIII, IX, X, XI et XII) (activité) | | Résultat | Régional | 6,6 |
| 20086 | | | | | | Hémato-hémostase | Facteur VII (antigène) | | Résultat | Supra | 23,0 |
| 20088 | | C | VP | | | Hémato-hémostase | Facteur Von Willebrand (activité) (ELISA) | | Résultat | Supra | 20,0 |
| 20089 | | C | VP | | | Hémato-hémostase | Facteur Von Willebrand (antigène) | | Résultat | Régional | 14,8 |
| 20090 | | | | | | Hémato-hémostase | Facteur Von Willebrand (multimères) | | Rapport | Supra | 87,0 |
| 20092 | | | | | | Hémato-hémostase | Facteur X (antigène) | | Résultat | Supra | 26,0 |
| 20098 | | C | VP | | | Hémato-hémostase | Facteur XIII (activité) (quantitatif) | | Résultat | Supra | 77,0 |
| 20101 | | C | VP | | | Hémato-hémostase | Fibrinogène (antigène) | | Résultat | Supra | 153,0 |
| 20102 | | | | | | Hémato-hémostase | Fibrinogène (activité) | | Résultat | Local | 2,4 |
| 20103 | | | | | | Hémato-hémostase | Fonction plaquettaire à la luminescence (par agent) | | Résultat | Régional | 32,0 |
| 20106 | | C | VP | | | Hémato-hémostase | Facteur XIII (test de solubilité) | | Résultat | Régional | 6,7 |
| 20107 | | C | VP | | | Hémato-hémostase | ADAMTS-13 - activité (dosage quantitatif) | | Résultat | Supra | 241,0 |
| 20108 | | | | | | Hémato-hémostase | Anti-IIa-activité (dosage quantitatif) (Dabigatran) | | Résultat | Régional | 24,0 |
| 20109 | | | | | | Hémato-hémostase | Anti-Xa-activité (dosage quantitatif) (Rivaroxaban) | | Résultat | Régional | 56,0 |
| 20110 | | C | VP | | | Hémato-hémostase | Anti-Facteur XIII (dosage quantitatif) (ELISA) | | Résultat | Supra | 82,0 |
| 20111 | | | | | | Hémato-hémostase | Facteur XIII (sous-unité A) (dosage quantitatif) (ELISA) | | Résultat | Supra | 36,0 |
| 20113 | | | | | I | Hémato-hémostase | Anti-Xa-activité (dosage quantitatif) (Édoxaban) | | Résultat | Régional | 248,0 |
| 20114 | | | | | I | Hémato-hémostase | Facteur I antigénique (ELISA) (quantitatif) | | Résultat | Supra | 235,0 |

C : procédures modifiées N : procédures ajoutées * : réfère à des indications spécifiques de la partie texte du *Répertoire* I : ajout après évaluation

| Code | Réf. texte | Modif | Type modif. | RQDM | INESSS | Sous-section | Description | Réf. code num. | Élément de compte | Hiérarchie | VP 23-24 |
|-------|------------|-------|-------------|------|--------|------------------|---|----------------|-------------------|------------|----------|
| 20115 | | C | VP | | I | Héмато-hémostase | Anti-Xa-activité (dosage quantitatif) (Apixaban) | | Résultat | Régional | 31,0 |
| 20116 | | C | VP | | I | Hémato-hémostase | Anti-facteur H (ELISA) (quantitatif) | | Résultat | Supra | 50,0 |
| 20118 | | | | | I | Hémato-hémostase | Facteur IX (détermination de la concentration) (méthode chromogène) | | Rapport | Supra | 57,0 |
| 20122 | | C | VP | | I | Hémato-hémostase | Facteur VIII (détermination de la concentration) (méthode chromogène) | | Rapport | Supra | 38,0 |
| 20130 | | C | VP | | | Hémato-hémostase | Héparine anti-Xa | | Résultat | Local | 19,7 |
| 20140 | | | | | | Hémato-hémostase | Inhibiteur de facteur de la coagulation (qualitatif) | | Résultat | Supra | 36,0 |
| 20141 | | | | | | Hémato-hémostase | Inhibiteur de facteur de la coagulation (quantitatif) (3 dilutions) | | Résultat | Supra | 72,0 |
| 20142 | | | | | | Hémato-hémostase | Inhibiteur de facteur VIII porcin | | Résultat | Supra | 110,0 |
| 20143 | | C | VP | | | Hémato-hémostase | Anti-facteur VIII (détection) (ELISA) | | Rapport | Supra | 7,9 |
| 20144 | | C | VP | | | Hémato-hémostase | Anti-facteur IX (détection) (ELISA) | | Rapport | Supra | 7,9 |
| 20145 | | C | VP | | | Hémato-hémostase | Anti-glucocerebrosidase (détection) | | Rapport | Supra | 82,0 |
| 20146 | | C | VP | | | Hémato-hémostase | ADAMTS-13 - antigène (dosage quantitatif) (ELISA) | | Rapport | Supra | 150,0 |
| 20147 | | C | VP | | I | Hémato-hémostase | Anticorps anti-ADAMTS-13 (ELISA) (quantitatif) | | Rapport | Supra | 64,0 |
| 20160 | | | | | | Hémato-hémostase | Kaolin clotting time (KCT) | | Rapport | Régional | 18,3 |
| 20170 | | | | | | Hémato-hémostase | Lyse des euglobulines | | Rapport | Supra | 13,5 |
| 20190 | | | | | | Hémato-hémostase | Inhibiteur de l'activateur du plasminogène (PAI-1) (activité) | | Résultat | Supra | 35,0 |
| 20191 | | | | | | Hémato-hémostase | Plasminogène (activité) | | Résultat | Supra | 9,6 |
| 20194 | | | | | | Hémato-hémostase | Prékallicroïne (activité) | | Résultat | Supra | 11,9 |
| 20196 | | C | VP | | | Hémato-hémostase | Protéine C (activité) | | Résultat | Régional | 14,8 |
| 20197 | | | | | | Hémato-hémostase | Protéine C (antigène) | | Résultat | Régional | 12,8 |
| 20198 | | | | | | Hémato-hémostase | Protéine S (activité) | | Résultat | Régional | 6,0 |
| 20199 | | C | VP | | | Hémato-hémostase | Protéine S libre (antigène) | | Résultat | Régional | 66,0 |
| 20200 | | | | | | Hémato-hémostase | Protéine S totale (antigène) | | Résultat | Supra | 63,0 |
| 20220 | | | | | | Hémato-hémostase | Résistance à la protéine C activée | | Résultat | Régional | 5,8 |
| 20221 | | | | | | Hémato-hémostase | Résistance à la protéine C activée (avec calcul de 3 ratios) | | Résultat | Régional | 23,0 |
| 20222 | | | | | | Hémato-hémostase | Rétraction du caillot sur plasma riche en plaquettes | | Résultat | Supra | 14,3 |

| Code | Réf. texte | Modif | Type modif. | RQDM | INESSS | Sous-section | Description | Réf. code num. | Élément de compte | Hiérarchie | VP 23-24 |
|-------|------------|-------|-------------|------|--------|-----------------------|--|----------------|-------------------|------------|----------|
| 20238 | | N | | | | Hémato-hémostase | Thromboelastographie (<i>platelet mapping</i>) | | Rapport | Supra | 355,0 |
| 20240 | | | | | | Hémato-hémostase | Temps de céphaline activé (TCA) ou temps de thrombine (TT) ou temps de prothrombine (temps de Quick) (INR) sur mélange 50/50 | | Rapport | Local | 3,1 |
| 20241 | | | | | | Hémato-hémostase | Temps de céphaline activé ou temps de céphaline + activateur (TCA) | | Résultat | Local | 1,3 |
| 20242 | | | | | | Hémato-hémostase | Temps de céphaline après neutralisation de l'héparine (TCA) | | Résultat | Local | 11,8 |
| 20243 | | | | | | Hémato-hémostase | Temps de prothrombine (temps de Quick) (INR) incluant fibrinogène dérivé | | Résultat | Local | 1,2 |
| 20244 | | | | | | Hémato-hémostase | Temps de reptilase | | Résultat | Supra | 6,8 |
| 20245 | | C | VP | | | Hémato-hémostase | Temps de saignement in vitro (par agent) (PFA-100) | | Résultat | Local | 27,0 |
| 20246 | | C | VP | | | Hémato-hémostase | Temps de saignement in vivo | | Résultat | Local | 37,0 |
| 20247 | | C | VP | | | Hémato-hémostase | Temps de Stypven dilué (DRVVT ou temps de Russell) (incluant confirmation) | | Rapport | Régional | 8,3 |
| 20248 | | | | | | Hémato-hémostase | Temps de thrombine (TT) | | Résultat | Local | 2,2 |
| 20249 | | C | VP | | | Hémato-hémostase | Test de liaison du FVW au collagène | | Résultat | Supra | 93,0 |
| 20250 | | | | | | Hémato-hémostase | Test de liaison du FVIII au FVW | | Résultat | Supra | 11,4 |
| 20251 | | | | | | Hémato-hémostase | Test de neutralisation par les phospholipides (PNP) | | Rapport | Régional | 5,1 |
| 20252 | | | | | | Hémato-hémostase | Test d'inhibition de la thromboplastine tissulaire diluée | | Rapport | Régional | 7,2 |
| 20254 | | C | VP | | | Hémato-hémostase | Thromboélastographie | | Rapport | Régional | 75,0 |
| 20255 | | | | | | Hémato-hémostase | Activateur tissulaire du plasminogène (activité) (tPA) | | Résultat | Supra | 223,0 |
| 20259 | | C | D | | | Hémato-hémostase | Confirmation de lupus anticoagulant par mesure de l'APTT après neutralisation par des phospholipides en phase hexagonale | | Résultat | Supra | 23,0 |
| 20300 | | | | | | Prélèvements | Assistance à l'infusion de CPH/DLI (excluant déplacement) | | Sac | Supra | 9,5 |
| 20303 | | | | | I | Hémato-hémostase | Ecarin clotting test (ECT) | | Rapport | Supra | 223,0 |
| 20304 | | | | | I | Hémato-hémostase | Eculizumab plasmatique (dosage quantitatif) (ELISA) | | Rapport | Supra | 203,0 |
| 20320 | | | | | | Hémato-cytologie | Cytologie des liquides (manuelle) | | Rapport | Local | 20,0 |
| 20321 | | | | | | Hémato-cytologie | Cytologie des liquides avec cytopspin | | Rapport | Local | 17,3 |
| 20342 | | | | | | Hémato-cytologie | Éosinophiles (sécrétions nasales ou urine) | | Résultat | Local | 8,6 |
| 20360 | | | | | | Hémato-érythrocytaire | Falciformation (test de) Thiosulfite | | Résultat | Régional | 21,0 |
| 20361 | | | | | | Hémato-cytologie | Formule sanguine complète (FSC) ou Hb-Ht-Plaq. automatisée | | Rapport | Local | 1,2 |

| Code | Réf. texte | Modif | Type modif. | RQDM | INESSS | Sous-section | Description | Réf. code num. | Élément de compte | Hiérarchie | VP 23-24 |
|-------|------------|-------|-------------|------|--------|-----------------------|--|----------------|-------------------|------------|----------|
| 20362 | * | | | | | Hémato-cytologie | Formule différentielle (manuelle) (incluant coloration) | | Rapport | Local | 5,2 |
| 20363 | * | | | | | Hémato-cytologie | Évaluation globules rouges et plaquettes (frottis d'orientation) (incluant coloration) | | Rapport | Local | 2,9 |
| 20364 | | | | | | Hémato-cytologie | Formule sanguine complète (FSC) ou Hb-Ht-plaq. micro-méthode (automatisé) | | Rapport | Local | 1,7 |
| 20380 | * | | | | | Hémato-cytologie | Leucocytes (sang) (manuel) | | Résultat | Local | 4,2 |
| 20381 | | | | | | Hémato-cytologie | Sédimentation automatisée | | Résultat | Local | 1,7 |
| 20390 | | | | | | Hémato-immunologie | Haptoglobine | | Résultat | Régional | 4,9 |
| 20391 | | C | VP | | | Hémato-érythrocytaire | Hémoglobine plasmatique (excluant bandelette) | | Résultat | Régional | 8,0 |
| 20430 | | | | | | Hémato-cytologie | Moelle osseuse (différentielle manuelle faite par un technologiste médical incluant la lecture de 2 lames) | | Rapport | Régional | 32,0 |
| 20450 | | C | VP | | | Hémato-cytologie | Plaquettes (sang) (manuel) | | Résultat | Local | 11,7 |
| 20470 | | C | VP | | | Hémato-cytologie | Réticulocytes (automatisé) | | Résultat | Local | 1,7 |
| 20471 | | | | | | Hémato-cytologie | Réticulocytes (manuel) | | Résultat | Local | 2,5 |
| 20472 | | C | VP | | | Hémato-cytologie | Réticulocytes (semi-automatisé incluant prétraitement) | | Résultat | Local | 6,2 |
| 20490 | | | | | | Hémato-cytologie | Sédimentation manuelle | | Résultat | Local | 1,9 |
| 20494 | | | | | | Hémato-érythrocytaire | Falciformation (test de) métabisulfite | | Résultat | Régional | 5,7 |
| 20574 | | N | | | | Hémato-greffe | Réception des unités de CPH ou DLI fraîches | | Greffon | Supra | 85,0 |
| 20575 | | N | | | | Hémato-greffe | Réception des unités de CPH ou DLI cryo | | Greffon | Supra | 142,0 |
| 20580 | | N | | | | Hémato-greffe | Évaluation des greffons de CPH (ou CT) frais (de l'interne ou de l'externe) | | Greffon | Supra | 127,0 |
| 20582 | | N | | | | Hémato-greffe | Cryopréservation de CPH (auto ou allo) 1 ^{er} sac | | sac | Supra | 559,0 |
| 20583 | | N | | | | Hémato-greffe | Cryopréservation de CPH aphérèse (auto et allo) sac supplémentaire | | sac | Supra | 53,0 |
| 20585 | | N | | | | Hémato-greffe | Décongélation d'un greffon au laboratoire de thérapie cellulaire | | sac | Supra | 665,0 |
| 20588 | | N | | | | Hémato-greffe | Ajustement de la concentration du greffon au laboratoire de thérapie cellulaire par dilution | | Greffon | Supra | 196,0 |
| 20590 | | N | | | | Hémato-greffe | Filtration du greffon au laboratoire de thérapie cellulaire | | Greffon | Supra | 88,0 |
| 20592 | | N | | | | Hémato-greffe | Distribution des greffons de CPH à l'unité de soin | | Greffon | Supra | 87,0 |
| 20593 | | N | | | | Hémato-greffe | Distribution et assistance à l'infusion d'un greffon cryopréservé à l'unité de soin (1 ^{er} sac) | | sac | Supra | 211,0 |
| 20594 | | N | | | | Hémato-greffe | Distribution et assistance à l'infusion d'un greffon cryopréservé à l'unité de soin (sac supplémentaire) | | sac | Supra | 55,0 |
| 20598 | | N | | | | Hémato-greffe | Envoi de greffons frais ou cryopreservés à l'extérieur du centre hospitalier (1 ^{er} sac) | | sac | Supra | 109,0 |

| Code | Réf. texte | Modif | Type modif. | RQDM | INESSS | Sous-section | Description | Réf. code num. | Élément de compte | Hiérarchie | VP 23-24 |
|-------|------------|-------|-------------|------|--------|-------------------------|--|----------------|-------------------|------------|----------|
| 20599 | | N | | | | Hémato-greffe | Envoi de greffons frais ou cryopreservés à l'extérieur du centre hospitalier (sac supplémentaire) | | sac | Supra | 23,0 |
| 20603 | | C | D, VP | | | Hémato-greffe | Réduction plasmatique, volume ou érythrocytaire d'un greffon avec Sepax | | Rapport | Supra | 1 226,0 |
| 20615 | | N | | | | Hémato-greffe | Habillage avec un équipement de protection individuelle (EPI) pour salle blanche et niveau grade B | | Greffon | Supra | 81,0 |
| 20620 | | C | VP | | | Hémato-greffe | Cryopréservation de CD3 ou CD34 ou MNC (aliquot) | | Spécimen | Supra | 62,0 |
| 20622 | | | | | | Hémato-greffe | Culture cellulaire complète de progéniteurs hématopoïétiques : aspiration de moelle osseuse ou sang | | Spécimen | Supra | 351,0 |
| 20624 | | | | | | Hémato-greffe | Culture cellulaire des BFU-E ou CFU-GEMM (avec agents thérapeutiques) | | Spécimen | Supra | 601,0 |
| 20628 | | | | | | Hémato-greffe | Culture cellulaire de progéniteurs hématopoïétiques : unités de CPH (aphérèse, moelle osseuse, sang de cordon) | | Spécimen | Supra | 107,0 |
| 20629 | | | | | | Hémato-greffe | Culture cellulaire de BFU-E avec et sans érythropoïétine | | Spécimen | Supra | 210,0 |
| 20640 | | C | D, EC, VP | | | Hémato-greffe | Centrifugation de CPH | | Centrifugation | Supra | 36,0 |
| 20641 | | C | S | | | Hémato-immunocytométrie | Inactivation du complément à 56°C | | Spécimen | Supra | 2,9 |
| 20647 | * | C | S | | | Hémato-immunocytométrie | Isolement de cellules mononucléées par centrifugation sur gradient de densité | | Spécimen | Supra | 31,0 |
| 20649 | | C | VP | | | Hémato-immunocytométrie | Énumération de cellules progénitrices hématopoïétiques (CD34) | | Rapport | Supra | 58,0 |
| 20651 | | C | VP | | | Hémato-greffe | Préparation de gouttes ophtalmiques autologues pour sécheresse oculaire | | Usager | Supra | 167,0 |
| 20663 | | N | | | | Hémato-greffe | Sélection négative des cellules TCRab+ et CD19+ avec billes magnétiques sur CliniMacs | | Rapport | Supra | 28 751,0 |
| 20664 | | | | | | Hémato-immunologie | Anti-cytoplasme des neutrophiles ANCA | | Rapport | Supra | 31,0 |
| 20665 | * | C | VP | | | Hémato-greffe | Sélection + ou - de cellules du sang ou de la moelle osseuse avec microbilles | | Spécimen | Supra | 109,0 |
| 20667 | | C | D, VP | | | Hémato-greffe | Sélection positive simple des cellules CD34+ avec billes magnétiques sur CliniMacs | | Rapport | Supra | 14 544,0 |
| 20668 | | C | D, VP | | | Hémato-greffe | Sélection positive double des cellules CD34+ avec billes magnétiques sur CliniMacs | | Rapport | Supra | 26 632,0 |
| 20669 | | | | | I | Micro-imm-séro. | Hépatite B (HBsAg); dosage immunologique microparticulaire par chimiluminescence (CMIA) (quantitatif) | | Résultat | Supra | 15,4 |
| 20670 | | | | | | Micro-imm-séro. | Hépatite A (VHA) IgM spécifique | | Résultat | Régional | 16,0 |
| 20671 | | | | | | Micro-imm-séro. | Hépatite A (VHA) IgG ou Ac totaux | | Résultat | Régional | 9,0 |
| 20672 | | | | | | Micro-imm-séro. | Hépatite B (anticorps antigène de surface) (anti-HBs) IgG ou Ac totaux | | Résultat | Local | 4,9 |
| 20673 | | | | | | Micro-imm-séro. | Hépatite B (anti-HBc) IgG ou Ac totaux | | Résultat | Local | 4,9 |
| 20674 | | | | | | Micro-imm-séro. | Hépatite B (anti-HBc) IgM spécifique | | Résultat | Régional | 10,0 |

| Code | Réf. texte | Modif | Type modif. | RQDM | INESS | Sous-section | Description | Réf. code num. | Élément de compte | Hiérarchie | VP 23-24 |
|-------|------------|-------|-------------|------|-------|-------------------------|---|----------------|-------------------|------------|----------|
| 20675 | | | | | | Micro-imm-séro. | Hépatite B (anti-HBe) IgG ou Ac totaux | | Résultat | Régional | 7,0 |
| 20676 | | | | | | Micro-imm-séro. | Hépatite B (antigène de surface) (HbsAg) | | Résultat | Local | 5,5 |
| 20677 | | | | | | Micro-imm-séro. | Hépatite B (HbeAg) (antigène) | | Résultat | Régional | 5,9 |
| 20678 | | | | | | Micro-imm-séro. | Hépatite C (anti-VHC) IgG ou Ac totaux | | Résultat | Local | 7,4 |
| 20680 | | | | | | Hémato-immunocytométrie | Activation des neutrophiles | | Rapport | Supra | 90,0 |
| 20682 | | | | | | Hémato-immunologie | Anti-ADN (ELISA) | | Résultat | Régional | 5,4 |
| 20683 | | | | | | Hémato-immunologie | Anti-ADN (immunofluorescence) (<i>Crithidia luciliae</i>) | | Résultat | Régional | 6,7 |
| 20684 | | | | | | Hémato-immunologie | Anti-cellules pariétales | | Résultat | Régional | 13,5 |
| 20685 | | | | | | Hémato-immunologie | Anti-centromères | | Résultat | Régional | 5,1 |
| 20686 | | | | | | Hémato-immunologie | Anti-cochlée | | Rapport | Supra | 70,0 |
| 20691 | | | | | | Hémato-immunologie | Anti-facteur intrinsèque | | Rapport | Régional | 7,7 |
| 20694 | | | | | | Hémato-immunologie | Anti-histone (ELISA) | | Résultat | Supra | 5,3 |
| 20696 | | | | | | Hémato-immunologie | Anti-îlots de Langherans | | Rapport | Supra | 22,0 |
| 20698 | | | | | | Hémato-immunologie | Anti-Jo-1 | | Résultat | Régional | 9,9 |
| 20699 | | | | | | Hémato-immunologie | Anti-LKM (anti-liver kidney microsomes) | | Rapport | Supra | 13,6 |
| 20701 | | | | | | Hémato-immunologie | Anti-membrane basale glomérulaire | | Résultat | Régional | 11,1 |
| 20702 | | | | | | Hémato-immunologie | Anti-mitochondries | | Rapport | Régional | 13,5 |
| 20703 | | | | | | Hémato-immunologie | Anti-muscle lisse | | Rapport | Régional | 13,5 |
| 20704 | | | | | | Hémato-immunologie | Anti-muscle strié | | Rapport | Supra | 29,0 |
| 20705 | | | | | | Hémato-immunologie | Anti-myéloperoxydase (anti-MPO) | | Résultat | Régional | 5,6 |
| 20709 | | | | | | Hémato-immunologie | Anti-protéinase 3 (anti-PR3) | | Résultat | Régional | 5,8 |
| 20710 | | | | | | Hémato-immunologie | Anti-ribonucléoprotéines (RNP) | | Résultat | Régional | 5,8 |
| 20711 | | | | | | Hémato-immunologie | Anti-ScL 70 (topoisomérase) | | Résultat | Régional | 6,6 |
| 20712 | | | | | | Hémato-immunologie | Anti-Sm | | Résultat | Régional | 5,4 |
| 20713 | | | | | | Hémato-immunologie | Anti-SSA (Ro) | | Résultat | Régional | 6,7 |
| 20714 | | | | | | Hémato-immunologie | Anti-SSB (La) | | Résultat | Régional | 5,4 |

| Code | Réf. texte | Modif | Type modif. | RQDM | INESSS | Sous-section | Description | Réf. code num. | Élément de compte | Hiérarchie | VP 23-24 |
|-------|------------|-------|-------------|------|--------|-------------------------|---|----------------|-------------------|------------|----------|
| 20716 | | | | | | Hémato-immunologie | Anti-surrénaux | | Rapport | Supra | 30,0 |
| 20717 | | | | | | Hémato-immunologie | Anti-nucléaires (ANA) (dépistage par immunofluorescence) (par dilution) | | Rapport | Régional | 9,1 |
| 20718 | | | | | | Hémato-immunologie | Anti-peptides cycliques citrulinés (Anti-CCP) | | Résultat | Régional | 9,3 |
| 20719 | | | | | | Hémato-immunologie | Anti-nucléaires (ENA) (dépistage par ELISA) | | Résultat | Régional | 7,1 |
| 20720 | | | | | | Hémato-immunologie | Anti-réticuline | | Rapport | Régional | 15,5 |
| 20721 | | | | | | Hémato-immunologie | Anti-bordure en brosse | | Rapport | Régional | 15,5 |
| 20722 | | | | | | Hémato-immunologie | Anti-canalicule biliaire | | Rapport | Régional | 15,5 |
| 20723 | | C | D | | | Hémato-immunologie | Anti-muscle cardiaque | | Rapport | Supra | 105,0 |
| 20724 | | | | | | Hémato-immunologie | Anti-endomysium | | Rapport | Supra | 19,2 |
| 20725 | | | | | | Hémato-immunologie | Anti-membrane basale cutanée et anti-substance intercellulaire | | Rapport | Supra | 42,0 |
| 20765 | | | | | | Hémato-érythrocytaire | Hémoglobine chromatographie | | Rapport | Régional | 12,3 |
| 20768 | | | | | | Hémato-immunocytométrie | Compatibilité cellulaire par cytométrie en flux (Flow x-match) | | Résultat | Supra | 277,0 |
| 20769 | | | | | | Hémato-immunologie | Composantes du complément (activité) | | Résultat | Supra | 78,0 |
| 20771 | | | | | | Bio-immuno. | Complément sérique total (CH50) (activité) | | Résultat | Supra | 21,0 |
| 20772 | | | | | | Hémato-immunologie | Complexes immuns circulants | | Rapport | Supra | 12,5 |
| 20773 | | | | | | Hémato-érythrocytaire | Corps de Heinz | | Résultat | Régional | 6,0 |
| 20774 | | | | | | Hémato-immunologie | Cryoglobulines (qualitatif) | | Rapport | Local | 8,3 |
| 20775 | | | | | | Hémato-immunologie | Cryoglobulines (quantitatif) | | Rapport | Régional | 74,0 |
| 20776 | | | | | | Hémato-immunologie | Complément C3 (antigène) | | Résultat | Local | 5,1 |
| 20777 | | | | | | Hémato-immunologie | Complément C4 (antigène) | | Résultat | Local | 5,1 |
| 20778 | | | | | | Hémato-immunologie | Activation des TLR(2, 4) par clivage du CD62L | | Rapport | Supra | 262,0 |
| 20781 | | | | | | Hémato-immunologie | Fas Ligand (dosage) (sérique) | | Rapport | Supra | 6,1 |
| 20784 | | | | | | Hémato-immunologie | Interferon Gamma induite par IL-12 (sécrétion) (dosage) (ELISA) | | Rapport | Supra | 558,0 |
| 20800 | | | | | | Hémato-greffe | Déplétion plasmatique ou érythrocytaire par centrifugation de CPH et évaluation | | Centrifugation | Supra | 36,0 |
| 20820 | * | | | | | Hémato-érythrocytaire | Hémoglobine électrophorèse (agarose ou capillaire) | | Rapport | Régional | 19,1 |
| 20825 | | | | | | Hémato-érythrocytaire | Enzymes érythrocytaires (par enzyme) (G6PD, 6PGD, PK, HX, GPI) | | Résultat | Régional | 22,0 |

| Code | Réf. texte | Modif | Type modif. | RQDM | INESSS | Sous-section | Description | Réf. code num. | Élément de compte | Hiérarchie | VP 23-24 |
|-------|------------|-------|-------------|------|--------|-------------------------|---|----------------|-------------------|------------|----------|
| 20827 | | | | | | Hémato-érythrocytaire | Érythropoïétine (ELISA) (quantitatif) | | Résultat | Supra | 14,4 |
| 20828 | | | | | | Hémato-cyto-chimie | Estérases non spécifiques | | Résultat | Régional | 11,8 |
| 20829 | | | | | | Hémato-cyto-chimie | Estérases spécifiques | | Résultat | Régional | 16,1 |
| 20850 | | | | | | Hémato-immunologie | Complément Facteur B (antigène) | | Résultat | Supra | 116,0 |
| 20852 | | | | | | Hémato-cyto-chimie | Fer médullaire (Bleu de Prusse) | | Rapport | Régional | 5,8 |
| 20900 | | | | | | Hémato-érythrocytaire | Hémoglobine (électrophorèse des chaînes de globine) | | Rapport | Régional | 9,0 |
| 20902 | | | | | | Hémato-érythrocytaire | Hémoglobine A2 | | Résultat | Régional | 14,1 |
| 20918 | | | | | | D. mol. hémato-greffe | HLA-DRB1 (génotypage) (SSP-haute résolution) | | Résultat | Supra | 206,0 |
| 20928 | | | | | | D. mol. hémato-greffe | HLA-DQB1 (génotypage) (SSP-basse résolution) | | Résultat | Supra | 54,0 |
| 20929 | | | | | | D. mol. hémato-greffe | HLA-DQB1 (génotypage) (SSP-haute résolution) | | Résultat | Supra | 100,0 |
| 20932 | | | | | | D. mol. hémato-greffe | HLA-DRB1 (génotypage) (SSP-basse résolution) | | Rapport | Supra | 54,0 |
| 20935 | | | | | | Hémato-immunocytométrie | HLA-B27, marqueur de surface | | Résultat | Régional | 21,0 |
| 20941 | | | | | | D. mol. hémato-greffe | HLA-A ou -B ou -C (génotypage) (SSP-haute résolution) | | Résultat | Supra | 209,0 |
| 20942 | | | | | | D. mol. hémato-greffe | HLA-A ou -B ou -C (génotypage) (SSP-basse résolution) | | Résultat | Supra | 78,0 |
| 20947 | | | | | | D. mol. hémato-greffe | HLA (séquençage) (résolution d'ambiguïtés) | | Résultat | Supra | 109,0 |
| 20949 | | | | | | D. mol. hémato-greffe | HLA-DPB1 (génotypage) (SSP-haute résolution) | | Résultat | Supra | 117,0 |
| 20950 | | | | | | D. mol. hémato-greffe | HLA-A ou -B ou -C (génotypage) (SSO haute résolution) | | Résultat | Supra | 144,0 |
| 20952 | | | | | | D. mol. hémato-greffe | HLA-DPA1/DPB1 (génotypage) (SSO basse résolution) | | Rapport | Supra | 72,0 |
| 20953 | | | | | | D. mol. hémato-greffe | HLA-DQA1/DQB1 (génotypage) (SSO basse résolution) | | Rapport | Supra | 77,0 |
| 20954 | | C | VP | | | D. mol. hémato-greffe | HLA-DRB1 (génotypage) (SSO haute résolution) | | Résultat | Supra | 66,0 |
| 20956 | | | | | | D. mol. hémato-greffe | HLA-DRB3/4/5 (génotypage) (SSO basse résolution) | | Résultat | Supra | 101,0 |
| 20958 | | | | | | Hémato-immunocytométrie | Marqueurs de surface lymphocytaire T (CD3/4/8/45) | | Rapport | Régional | 39,0 |
| 20959 | | | | | | Hémato-immunocytométrie | Marqueurs de surface lymphocytaire T-B-NK (CD3/4/8/19/16+56/45) | | Rapport | Régional | 111,0 |
| 20961 | | | | | | Hémato-immunologie | Complément-Inhibiteur du C1 (antigène) | | Résultat | Supra | 8,3 |
| 20962 | | | | | | Hémato-immunologie | Facteur C3 néphritique (activité) (C3NEF) | | Résultat | Supra | 230,0 |
| 20966 | | C | VP | | | Hémato-immunologie | Complément-Inhibiteur du C1 (activité) | | Résultat | Supra | 57,0 |

| Code | Réf. texte | Modif | Type modif. | RQDM | INESSS | Sous-section | Description | Réf. code num. | Élément de compte | Hiérarchie | VP 23-24 |
|-------|------------|-------|-------------|------|--------|-------------------------|---|----------------|-------------------|------------|----------|
| 20968 | | | | | | D. mol. héματο-greffe | HLA-A ou -B ou -C ou -DRB1 ou -DQB1 (génotypage) (séquençage de nouvelle génération) (haute résolution) | | Rapport | Supra | 633,0 |
| 20969 | * | | | | | Héματο-immunocytométrie | Panel de caractérisation des syndromes lymphoprolifératifs NK (panel NK-CLPD) | | Rapport | Supra | 162,0 |
| 20971 | | C | S, VP | | | Héματο-immunocytométrie | Anti-HLA spécificité classe I | | Rapport | Supra | 148,0 |
| 20972 | | C | S | | | Héματο-immunocytométrie | Anti-HLA spécificité classe II | | Rapport | Supra | 125,0 |
| 20973 | * | C | VP | | | Héματο-immunocytométrie | Panel maladie résiduelle minimale de la LLA-B (panel MRD LLA-B) | | Rapport | Supra | 275,0 |
| 20974 | * | | | | | Héματο-immunocytométrie | Panel de caractérisation des syndromes lymphoprolifératifs B (panel B-CLPD) | | Rapport | Supra | 174,0 |
| 20975 | * | | | | | Héματο-immunocytométrie | Panel de caractérisation des leucémies lymphoïdes aiguës B (panel LLA-B) | | Rapport | Supra | 268,0 |
| 20976 | * | | | | | Héματο-immunocytométrie | Panel de caractérisation des leucémies lymphoïdes aiguës T (panel LLA-T) | | Rapport | Supra | 234,0 |
| 20977 | * | | | | | Héματο-immunocytométrie | Panel de caractérisation des leucémies myéloïdes aiguës/SMD (panel LMA/SMD) | | Rapport | Supra | 358,0 |
| 20978 | * | | | | | Héματο-immunocytométrie | Marquage de surface ou intracellulaire (par marqueur) | | Résultat | Régional | 10,3 |
| 20979 | * | | | | | Héματο-immunocytométrie | Panel des dyscrasies plasmocytaires (myélome multiple) (panel PCD) | | Rapport | Supra | 132,0 |
| 20983 | | | | | | Héματο-cyto-chimie | Moelle osseuse (coloration) | | Usager | Local | 1,9 |
| 20993 | | | | | | Héματο-cyto-chimie | Moelle osseuse (fixation sans coloration) | | Usager | Local | 1,4 |
| 20994 | | | | | | Héματο-immunocytométrie | Prolifération des lymphocytes T (PHA) | | Rapport | Supra | 108,0 |
| 20995 | | | | | | Héματο-immunologie | Activation du complément (ELISA) | | Résultat | Régional | 16,9 |
| 20996 | | | | | | Héματο-immunologie | Complément C1q (antigène) | | Résultat | Supra | 28,0 |
| 20997 | | | | | | Héματο-immunologie | Complément-Facteur H (antigène) | | Résultat | Supra | 70,0 |
| 20998 | | C | S | | | Héματο-immunocytométrie | Isolement lymphocytes T ou B du sang total par sélection négative | | Rapport | Supra | 53,0 |
| 20999 | | | | | | Héματο-immunologie | Maladie de Devic (neuromyélite optique) (anti-NMO) (immunofluorescence) | | Résultat | Supra | 61,0 |
| 21000 | | | | | | Héματο-immunologie | Myosite détection anti antigène (Mi-2a, Mi-2b, Ku, Pm-Sc1-100, SRP, Pm-Sc1-75, Jo-1 (Myos), Pl-7, Pl-12, EJ, OJ, Ro-52, MDA-5, TIFgamma, NXP2, SAE1) | | Rapport | Supra | 59,0 |
| 21002 | | N | | | | Héματο-immunocytométrie | Recherche d'hémoglobine fœtale (cytométrie de flux) | | Rapport | Supra | 18,6 |
| 21004 | | N | | | | Dépistage néonatal | Marqueurs de surface lymphocytaire T-B-NK (CD3/4/8/19/16+56/45RA/45RO, CD31) | | Rapport | Supra | 111,0 |
| 21005 | | | | | I | Héματο-immunologie | Sclérodémie systémique (ScS); Détection d'IgG dirigés contre 7 antigènes (Sc1-70, CENP-A, CENP-B, RP11, RP155, fibrillarine, Th/To) (Immunobuvardage) | | Rapport | Supra | 64,0 |
| 21020 | | | | | | Héματο-cyto-chimie | Periodic Acid Schiff (P.A.S.) | | Rapport | Régional | 8,5 |
| 21023 | | | | | | Héματο-cyto-chimie | Myéloperoxydase | | Rapport | Régional | 7,5 |

C : procédures modifiées N : procédures ajoutées * : réfère à des indications spécifiques de la partie texte du Répertoire I : ajout après évaluation

ANALYSES 2023-2024
DE BIOLOGIE MÉDICALE (ORDRE NUMÉRIQUE)

| Code | Réf. texte | Modif | Type modif. | RQDM | INESSS | Sous-section | Description | Réf. code num. | Élément de compte | Hiérarchie | VP 23-24 |
|-------|------------|-------|-------------|------|--------|-------------------------|--|----------------|-------------------|------------|----------|
| 21026 | | | | | | Hémato-cyto-chimie | Phosphatase alcaline intra-leucocytaire | | Rapport | Régional | 11,0 |
| 21028 | | | | | | D. mol. hémato-greffe | Analyse du chimérisme (STR) pré ou post greffe (TAAN) | | Rapport | Supra | 123,0 |
| 21030 | | | | | | Hémato-immunocytométrie | Anti-HLA Dépistage (FLOW-PRA) (par classe) | | Rapport | Supra | 39,0 |
| 21032 | | | | | | Hémato-érythrocytaire | Phosphatase acide (réduction au tartrate) intracellulaire | | Rapport | Régional | 30,0 |
| 21033 | * | | | | | Hémato-immunocytométrie | Panel de caractérisation des syndromes lymphoprolifératifs T (panel T-CLPD) | | Rapport | Supra | 240,0 |
| 21034 | * | | | | | Hémato-immunocytométrie | Tube d'orientation des leucémies aiguës (tube ALOT) | | Rapport | Supra | 86,0 |
| 21035 | * | | | | | Hémato-immunocytométrie | Tube de dépistage des cellules lymphoïdes (syndromes lymphoprolifératifs) (tube LST) | | Rapport | Supra | 95,0 |
| 21036 | * | | | | | Hémato-immunocytométrie | Tube pour spécimen pauvre en cellules (liquide céphalorachidien et liquide vitreux) (tube SST) | | Rapport | Supra | 169,0 |
| 21037 | | N | | | I | Hémato-immunocytométrie | Lymphohistiocytose hémaphagocytaire (LHH); Dégranulation des cellules NK (marqueur CD107a) | | Rapport | Supra | 627,0 |
| 21072 | | | | | | Hémato-cyto-chimie | Soudan noir B | | Rapport | Régional | 6,2 |
| 21094 | | C | S | | | Hémato-immunocytométrie | Transformation lymphoblastique | | Rapport | Supra | 227,0 |
| 25002 | | | | | | D. mol. hématologie | Alpha-thalassémie; <i>HBA1</i> , <i>HBA2</i> (- α 3.7/ $\alpha\alpha$, - α 4.2/ $\alpha\alpha$, - α 20.5/ $\alpha\alpha$, --SEA/ $\alpha\alpha$, --MED/ $\alpha\alpha$, --FIL/ $\alpha\alpha$, --THAI/ $\alpha\alpha$) | | Rapport | Supra | 105,0 |
| 25004 | | | | | | D. mol. hématologie | Analyse mutationnelle du domaine kinase de la protéine de fusion BCR-ABL (séquençage) | | Rapport | Supra | 140,0 |
| 25007 | | | | | | Hémato-immunocytométrie | Sphérocytose héréditaire; éosine-5'-maléimide (EMA) (cytométrie en flux) | | Rapport | Supra | 69,0 |
| 25009 | | | | | | D. mol. hématologie | Facteur VII (séquençage) | | Rapport | Supra | 256,0 |
| 25011 | | | | | | D. mol. hématologie | Anémie falciforme; <i>HBB</i> (HbS-HbC); (séquençage) | | Rapport | Supra | 198,0 |
| 25015 | | | | | | D. mol. hématologie | Bêta-thalassémie; <i>HBB</i> ; (séquençage, régions codantes complètes) | | Rapport | Supra | 331,0 |
| 25017 | | | | | | D. mol. hématologie | Désordre plaquettaire québécois; gène <i>PLAU</i> (duplication) (TAAN) | | Rapport | Supra | 26,0 |
| 25019 | | | | | | D. mol. hématologie | Élément de réponse au fer (IRE) du gène L-Ferritine (<i>FTL</i>) (séquençage) | | Rapport | Supra | 132,0 |
| 25021 | | | | | | D. mol. hématologie | Facteur V Leiden (TAAN) | | Résultat | Supra | 17,9 |
| 25022 | | | | | | D. mol. hématologie | Facteur VIII haplotype (hémophilie A) (TAAN) | | Rapport | Supra | 249,0 |
| 25024 | | | | | | D. mol. hématologie | Hémoglobine S diag. porteuse et diag. prénatal (séquençage) | | Rapport | Supra | 188,0 |
| 25026 | | | | | | D. mol. hématologie | Hémophilie A Facteur VIII; inversion intron 22 (<i>IVS22 inv</i>) (TAAN) | | Rapport | Supra | 273,0 |
| 25028 | | | | | | D. mol. hématologie | Hémophilie A ou B (diagnostic de porteuses et prénatal, mutation connue) (séquençage) | | Rapport | Supra | 186,0 |
| 25038 | | | | | | D. mol. hématologie | Leucémie LMA et Syndromes myélo dysplasiques, (<i>GATA2</i>) (séquençage) | | Rapport | Supra | 208,0 |
| 25040 | | | | | | D. mol. hématologie | Mutation c.20210G>A de la prothrombine (TAAN) | | Rapport | Supra | 17,8 |

C : procédures modifiées N : procédures ajoutées * : réfère à des indications spécifiques de la partie texte du *Répertoire* I : ajout après évaluation

| Code | Réf. texte | Modif | Type modif. | RQDM | INESS | Sous-section | Description | Réf. code num. | Élément de compte | Hiérarchie | VP 23-24 |
|-------|------------|-------|-------------|------|-------|---------------------|---|----------------|-------------------|------------|----------|
| 25044 | | | | | | D. mol. hématologie | Mutation de la protéine C; 3363insC (commun aux Canadiens français) (TAAN) | | Résultat | Supra | 36,0 |
| 25046 | | | | | | D. mol. hématologie | Mutation de la protéine C; mutations individuelles Arg178Gln ou Thr298Met (commun aux Canadiens français) (TAAN) | | Résultat | Supra | 36,0 |
| 25054 | | | | | | D. mol. hématologie | Angioedème (détection de 5 variations génétiques : APP g.2953-3127del et c.-2399C > A, ACE I/D, PAI-1 c.-817dupG, FXII c.1032C > A et c.1032C > G) (TAAN) | | Rapport | Supra | 265,0 |
| 25056 | | | | | | D. mol. hématologie | Protéine C (séquençage) | | Rapport | Supra | 377,0 |
| 25060 | | | | | | D. mol. oncologie | Thiopurine méthyltransférase (TPMT) enzyme (TPMT*2 (Gly238Cys), TPMT*3A (Gly460Ala et A719G), TPMT*3B (Gly460Ala), et TPMT*3C (Ala719Gly) (TAAN) | | Résultat | Supra | 122,0 |
| 25070 | | | | | | D. mol. hématologie | Von Willebrand type 2 (2A, 2B, 2M, 2N) ; VWF (exons 18 à 21 et 28 à 31) mutations associées (séquençage) | | Rapport | Supra | 251,0 |
| 25080 | | | | R | I | D. mol. hématologie | Hémophilie A et maladie de von Willebrand (gènes F8 et VWF) (SNG) | | Rapport | Supra | 610,0 |
| 30005 | | | | | | Bio-clinique | Bêta-hydroxybutyrate (sang total) | | Résultat | Local | 1,8 |
| 30008 | | | | | | Bio-clinique | Acide delta aminolévulinique (delta-ALA) (HPLC) | | Résultat | Supra | 176,0 |
| 30009 | | | | | | Bio-clinique | Acide folique (folates) | | Résultat | Régional | 3,4 |
| 30010 | * | | | | | Bio-clinique | Acide lactique (colorimétrique) | | Résultat | Local | 3,9 |
| 30011 | | | | | | Bio-médicament | Acide mycophénolique incluant glucuronides | | Rapport | Supra | 18,1 |
| 30012 | | | | | | Bio-clinique | Acide pyruvique (dosage seulement) | | Rapport | Supra | 13,0 |
| 30013 | | | | | | Bio-clinique | Acide urique | | Résultat | Local | 0,7 |
| 30016 | | | | | | Bio-clinique | Alanine amino-transférase (ALT) | | Résultat | Local | 0,7 |
| 30017 | | | | | | Bio-clinique | Albumine | | Résultat | Local | 0,7 |
| 30018 | * | | | | | Bio-toxico. | Alcools (éthanol, méthanol, éthylène glycol, isopropanol, acétone, N-propanol, 1,2-butanediol) (quantitatif) | | Résultat | Régional | 39,0 |
| 30019 | | | | | | Bio-clinique | Aldolase | | Résultat | Supra | 10,0 |
| 30020 | | | | | | Bio-hormone | Aldostérone (sérique) | | Résultat | Supra | 12,5 |
| 30021 | | | | | | Bio-hormone | Aldostérone (urinaire) | | Résultat | Supra | 30,0 |
| 30022 | * | | | | | Bio-clinique | Alpha foetoprotéine (AFP) | | Résultat | Régional | 3,8 |
| 30024 | | | | | | Bio-clinique | Alpha-1 antitrypsine (selles) | | Résultat | Supra | 82,0 |
| 30028 | | | | | | Bio-toxico. | Aluminium | | Résultat | Supra | 24,0 |
| 30029 | | | | | | Bio-clinique | Ammoniac | | Résultat | Local | 4,0 |
| 30030 | | | | | | Bio-clinique | Amylase totale | | Résultat | Local | 0,7 |

C : procédures modifiées N : procédures ajoutées * : réfère à des indications spécifiques de la partie texte du *Répertoire* I : ajout après évaluation

| Code | Réf. texte | Modif | Type modif. | RQDM | INESSS | Sous-section | Description | Réf. code num. | Élément de compte | Hiérarchie | VP 23-24 |
|-------|------------|-------|-------------|------|--------|----------------|--|----------------|-------------------|------------|----------|
| 30032 | | | | | | Bio-clinique | Amylase pancréatique | | Résultat | Local | 1,3 |
| 30034 | | | | | | Bio-hormone | Androstènedione | | Résultat | Supra | 8,4 |
| 30035 | | | | | | Bio-immuno. | Anti-21 hydroxylase | | Résultat | Supra | 47,0 |
| 30038 | | | | | | Bio-clinique | Antigène carcino-embryonnaire (CEA) | | Résultat | Local | 4,0 |
| 30039 | | | | | | Bio-clinique | Antigène prostatique spécifique (PSA) | | Résultat | Local | 4,1 |
| 30040 | | | | | | Bio-immuno. | Anti-gliadines (IgA) | | Rapport | Régional | 11,6 |
| 30041 | | | | | | Bio-immuno. | Anti-gliadines (IgG) | | Résultat | Régional | 11,6 |
| 30044 | | | | | | Bio-immuno. | Anti-récepteur acétylcholine (AChR) | | Résultat | Supra | 39,0 |
| 30045 | | | | | | Bio-immuno. | Anti-récepteur de la thyrotropine (TSI) | | Résultat | Supra | 36,0 |
| 30047 | | | | | | Bio-immuno. | Anti-thyroglobuline | | Résultat | Régional | 9,4 |
| 30048 | | | | | | Bio-immuno. | Anti-thyropéroxydase (anti-TPO) | | Résultat | Régional | 5,7 |
| 30049 | | | | | | Bio-immuno. | Anti-transglutaminase | | Résultat | Régional | 8,0 |
| 30052 | | | | | | Bio-clinique | Apolipoprotéine AI | | Résultat | Régional | 4,9 |
| 30054 | | | | | | Bio-clinique | Apolipoprotéine B | | Résultat | Régional | 3,8 |
| 30060 | | | | | | Bio-clinique | Aspartate amino-transférase (AST) | | Résultat | Local | 0,7 |
| 30065 | | | | | | Bio-clinique | Alpha-1-antitrypsine (sérique) | | Résultat | Régional | 7,2 |
| 30068 | | | | | | Bio-immuno. | Anti-acide glutamique décarboxylase (GAD) (sérique) | | Résultat | Supra | 9,4 |
| 30069 | * | | | | | Bio-EBMD | Gestion des EBMD | | Résultat | Local | 0,20 |
| 30070 | * | | | | | Bio-EBMD | Glucose par glucomètre | | Résultat | Local | 1,4 |
| 30072 | | | | | | Bio-EBMD | Entretien d'un appareil de gaz sanguin hors laboratoire (évaluation complète incluant nettoyage et contrôle) | | Instrument | Local | 29,0 |
| 30073 | | | | | | Bio-médicament | Léflunomide (Arava®) | | Résultat | Supra | 21,0 |
| 30075 | | | | | | Bio-clinique | Vert d'indocyanine (épreuve au) | | Résultat | Supra | 65,0 |
| 30076 | * | | | | | Bio-clinique | Acide lactique (par électrode spécifique) | | Résultat | Local | 2,1 |
| 30077 | | | | | | Bio-hormone | Bloc surrénalien (prégnénolone, 17-OH prégnénolone, 17-OH progestérone et 11-désoxycortisol) | | Rapport | Supra | 30,0 |
| 30078 | | | | | | Bio-clinique | Procalcitonine | | Résultat | Local | 23,0 |
| 30079 | | | | | | Bio-clinique | Urine (examen microscopique) (automatisé) | | Rapport | Local | 1,8 |

| Code | Réf. texte | Modif | Type modif. | RQDM | INESSS | Sous-section | Description | Réf. code num. | Élément de compte | Hiérarchie | VP 23-24 |
|-------|------------|-------|-------------|------|--------|----------------|--|----------------|-------------------|------------|----------|
| 30080 | | | | | | Bio-clinique | Bêta-2 microglobuline (β2-M) | | Résultat | Régional | 5,6 |
| 30081 | | | | | | Bio-clinique | Bêta-2 Transferrine (LCR et sérum) | | Rapport | Supra | 146,0 |
| 30082 | | | | | | Bio-clinique | Bêta-Hydroxybutyrate (sérique) | | Résultat | Local | 6,6 |
| 30083 | | | | | | Bio-clinique | Bilirubine directe (conjuguée) | | Résultat | Local | 0,7 |
| 30084 | | | | | | Bio-clinique | Bilirubine totale | | Résultat | Local | 0,7 |
| 30085 | | C | VP | | | Bio-clinique | BNP (Brain Natriuretic Peptide) | | Résultat | Local | 12,8 |
| 30086 | | | | | | Bio-clinique | Bandes oligoclonales (par focalisation) (LCR et sérum) | | Rapport | Supra | 45,0 |
| 30087 | | | | | | Bio-médicament | Flécaïnide (Flecainide®) | | Résultat | Supra | 87,0 |
| 30088 | | | | | | Bio-médicament | Ganciclovir (Cytovene®) | | Résultat | Supra | 25,0 |
| 30089 | | | | | | Bio-médicament | Milrinone (Primacor®) | | Résultat | Supra | 55,0 |
| 30090 | | C | VP | | | Bio-médicament | Posaconazole (Posanol®) | | Résultat | Supra | 58,0 |
| 30092 | | | | | | Bio-médicament | Thiopurine S-méthyltransferase (TPMT) | | Résultat | Supra | 36,0 |
| 30095 | | C | VP | | | Bio-clinique | NT-PRO-BNP (<i>Brain Natriuretic Peptide</i>) | | Résultat | Local | 16,0 |
| 30096 | | | | | | Bio-médicament | Itraconazole - hydroxyitraconazole (Sporanox®) | | Rapport | Supra | 75,0 |
| 30099 | | C | VP | | | Bio-médicament | Isavuconazole (Cresemba ^{MC}) | | Résultat | Supra | 58,0 |
| 30100 | | | | | | Bio-clinique | CA 125 | | Résultat | Régional | 6,1 |
| 30101 | | | | | | Bio-clinique | CA 15-3 ou 27-29 | | Résultat | Régional | 6,8 |
| 30102 | | | | | | Bio-clinique | CA 19-9 | | Résultat | Régional | 5,5 |
| 30103 | | | | | | Bio-clinique | Caféine | | Résultat | Supra | 27,0 |
| 30104 | | | | | | Bio-hormone | Calcitonine | | Résultat | Supra | 30,0 |
| 30105 | | | | | | Bio-clinique | Calcium total | | Résultat | Local | 0,8 |
| 30106 | | | | | | Bio-clinique | Calcium ionisé mesuré | | Rapport | Local | 3,2 |
| 30107 | | | | | I | Bio-clinique | Calculs rénaux (colorimétrie) | | Rapport | Supra | 34,0 |
| 30108 | | | | | I | Bio-clinique | Calculs rénaux (spectrométrie) | | Rapport | Supra | 13,3 |
| 30111 | * | | | | | Bio-clinique | Carotènes totaux (quantitatif) | | Rapport | Supra | 8,4 |
| 30112 | | | | | | Bio-hormone | Catécholamines plasmatiques | | Rapport | Supra | 24,0 |

| Code | Réf. texte | Modif | Type modif. | RQDM | INESSS | Sous-section | Description | Réf. code num. | Élément de compte | Hiérarchie | VP 23-24 |
|-------|------------|-------|-------------|------|--------|--------------------|---|----------------|-------------------|------------|----------|
| 30113 | | | | | | Bio-hormone | Catécholamines urinaires | | Rapport | Supra | 35,0 |
| 30114 | | | | | | Bio-clinique | Céruleoplasmine | | Résultat | Régional | 5,3 |
| 30115 | | | | | | Bio-clinique | Chlorures | | Résultat | Local | 0,7 |
| 30116 | | | | | | Bio-clinique | Cholestérol – HDL | | Résultat | Local | 1,1 |
| 30117 | | | | | | Bio-clinique | Cholestérol – LDL (mesuré) | | Résultat | Régional | 3,1 |
| 30119 | | | | | | Bio-clinique | Cholestérol total | | Résultat | Local | 0,7 |
| 30120 | | | | | | Bio-clinique | Chylomicrons (examen visuel après 24h) | | Résultat | Local | 1,0 |
| 30121 | | | | | | Bio-clinique | Citrates (urine) | | Résultat | Régional | 3,4 |
| 30122 | | | | | | Bio-clinique | CK-MB enzymatique | | Résultat | Régional | 0,8 |
| 30123 | | | | | | Bio-clinique | CK-MB masse | | Résultat | Régional | 2,6 |
| 30124 | | | | | | Bio-clinique | CO ₂ total ou bicarbonate (dosage seulement) | | Résultat | Local | 0,9 |
| 30127 | | | | | | Bio-hormone | Cortisol libre urinaire incluant extraction | | Résultat | Régional | 7,7 |
| 30128 | | | | | | Bio-hormone | Cortisol sérique ou urinaire sans extraction | | Résultat | Local | 3,3 |
| 30130 | | | | | | Bio-clinique | CK total | | Résultat | Local | 0,8 |
| 30131 | | | | | | Bio-clinique | CK (électrophorèse) | | Rapport | Supra | 23,0 |
| 30132 | | | | | | Bio-clinique | Créatinine | | Résultat | Local | 0,7 |
| 30133 | | | | | | Bio-clinique | Cristaux (liquide synovial) | | Résultat | Local | 19,0 |
| 30135 | | | | | | Bio-clinique | Cystine (qualitatif) | | Résultat | Régional | 6,2 |
| 30136 | | | | | | Bio-clinique | Cystine (HPLC) | | Résultat | Supra | 37,0 |
| 30137 | | | | | | Bio-clinique | Chromogranine A | | Résultat | Supra | 23,0 |
| 30138 | | | | | | Bio-clinique | D-lactate | | Résultat | Supra | 50,0 |
| 30140 | * | | | | | Dépistage prénatal | Estriol libre | | Résultat | Supra | 6,0 |
| 30150 | | | | | | Bio-hormone | Déhydroépiandrostérone (DHEA) | | Résultat | Supra | 14,3 |
| 30151 | | | | | | Bio-hormone | Déhydroépiandrostérone (sulfate de) (DHEA-S) | | Résultat | Régional | 6,5 |
| 30153 | | | | | | Bio-clinique | Densité réfractométrie unique (exclut bandelette) | | Résultat | Local | 0,7 |
| 30155 | * | | | | | Bio-clinique | Décantation micro-méthode | | Spécimen | Local | 3,1 |

| Code | Réf. texte | Modif | Type modif. | RQDM | INESSS | Sous-section | Description | Réf. code num. | Élément de compte | Hiérarchie | VP 23-24 |
|-------|------------|-------|-------------|------|--------|--------------------|--|----------------|-------------------|------------|----------|
| 30170 | | | | | | Bio-clinique | Élastase fécale | | Rapport | Supra | 41,0 |
| 30171 | | | | | | Bio-clinique | Électrophorèse des lipoprotéines | | Rapport | Supra | 23,0 |
| 30173 | | | | | | Bio-clinique | Électrophorèse des protéines (sérum) | | Rapport | Régional | 5,5 |
| 30174 | | | | | | Bio-clinique | Électrophorèse des protéines (urine) | | Rapport | Régional | 16,1 |
| 30176 | | | | | | Bio-clinique | Enzyme de conversion angiotensine (ACE) | | Résultat | Supra | 6,9 |
| 30177 | | | | | | Bio-toxico. | Éthanol (alcool éthylique) | | Résultat | Local | 2,4 |
| 30178 | | | | | | Bio-médicament | Ethosuximide (Zarontin®) | | Résultat | Supra | 51,0 |
| 30181 | | | | | | Bio-clinique | Électrophorèse des protéines par méthode capillaire | | Rapport | Régional | 7,6 |
| 30182 | | | | | | Bio-clinique | Immunofixation avec sérum pentavalent | | Rapport | Régional | 12,9 |
| 30183 | * | | | | | Dépistage prénatal | Protéine A associée à la grossesse (PAPP-A) | | Résultat | Supra | 10,4 |
| 30186 | * | | | | | Bio-clinique | Sueur (test à la) (conductivité) | | Résultat | Régional | 12,1 |
| 30190 | | | | | | Bio-clinique | Fer (capacité de fixation) (UIBC ou TIBC) | | Résultat | Local | 1,4 |
| 30191 | | | | | | Bio-clinique | Fer (sérum) | | Résultat | Local | 0,7 |
| 30193 | | | | | | Bio-clinique | Ferritine | | Résultat | Local | 2,7 |
| 30194 | * | | | | | Bio-clinique | Test du travail prématuré (fibronectine foetale) | | Résultat | Local | 139,0 |
| 30195 | | | | | | Bio-clinique | Acide folique érythrocytaire | | Résultat | Régional | 4,6 |
| 30196 | | | | | | Bio-clinique | Fructosamine | | Résultat | Régional | 1,6 |
| 30197 | | N | | | | Bio-clinique | Dosage du FGF23 : dosage immunologique par chimiluminescence (CLIA) | | Résultat | Supra | 111,0 |
| 30198 | * | | | | | Bio-clinique | Test de rupture de membrane | | Résultat | Local | 57,0 |
| 30208 | | | | | | Bio-clinique | Décompte des corps lamellaires | | Résultat | Régional | 31,0 |
| 30209 | | | | | | Bio-clinique | Transferrine carboxy déficiente (CDT) | | Résultat | Supra | 24,0 |
| 30210 | | | | | | Bio-clinique | Gamma glutamyl transférase (GGT) | | Résultat | Local | 0,7 |
| 30211 | | | | | | Bio-hormone | Gastrine | | Résultat | Supra | 9,8 |
| 30212 | | | | | | Bio-clinique | Gaz sanguins (pO ₂ , pCO ₂ , pH, HCO ₃ , COHb, métHb, oxyHb, SulfHb, CO ₂ total) | | Rapport | Local | 3,3 |
| 30214 | | | | | | Bio-clinique | Glucose | | Résultat | Local | 0,7 |
| 30215 | | | | | | Bio-clinique | Glycérol libre | | Résultat | Supra | 2,1 |

| Code | Réf. texte | Modif | Type modif. | RQDM | INESSS | Sous-section | Description | Réf. code num. | Élément de compte | Hiérarchie | VP 23-24 |
|-------|------------|-------|-------------|------|--------|-----------------------|---|----------------|-------------------|------------|----------|
| 30216 | | | | | | Bio-clinique | Graisses fécales (quantitatif) | | Résultat | Supra | 61,0 |
| 30230 | | | | | | Hémato-érythrocytaire | Hémoglobine foetale ou adulte (APT test) (selles) | | Résultat | Local | 8,6 |
| 30233 | | | | | | Bio-clinique | Hémosidérine (urine) | | Résultat | Régional | 11,9 |
| 30234 | | | | | | Bio-clinique | Homocystéine (HPLC) | | Résultat | Supra | 35,0 |
| 30235 | | | | | | Bio-clinique | Homocystéine (immuno-enzymatique) | | Résultat | Régional | 11,3 |
| 30237 | | | | | | Bio-hormone | Hormone adrénocorticotropique (ACTH) | | Résultat | Supra | 8,2 |
| 30239 | | | | | | Bio-hormone | Hormone de croissance (HGH) | | Résultat | Supra | 6,6 |
| 30240 | | C | H | | | Bio-hormone | Hormone folliculo-stimulante (FSH) | | Résultat | Régional | 2,7 |
| 30241 | | | | | | Bio-hormone | Hormone gonadotrope chorionique (HCG) (sérum ou urine) (qualitatif) | | Résultat | Local | 4,1 |
| 30242 | * | | | | | Bio-hormone | Hormone gonadotrope chorionique (HCG) (sérum) (quantitatif) | | Résultat | Local | 4,5 |
| 30243 | | C | H | | | Bio-hormone | Hormone lutéinisante (LH) | | Résultat | Régional | 2,8 |
| 30244 | | | | | | Bio-hormone | Hormone parathyroïdienne (PTH) | | Rapport | Régional | 5,4 |
| 30245 | | | | | | Bio-hormone | 5-HIAA -HVA-VMA | | Rapport | Supra | 17,0 |
| 30246 | | | | | | Bio-clinique | Hydrogène dans l'haleine (intolérance au lactose) | | Rapport | Supra | 27,0 |
| 30248 | | | | | | Bio-clinique | Hémoglobine glyquée (HbA1c) | | Rapport | Local | 3,3 |
| 30249 | | | | | | Bio-clinique | Hémoglobine glyquée (HbA1c) prétraitement seulement | | Spécimen | Local | 0,7 |
| 30262 | | | | | | Bio-hormone | Interleukine-6 (IL-6) | | Résultat | Supra | 15,9 |
| 30268 | | | | | | Bio-clinique | Immunofixation des protéines sériques | | Rapport | Régional | 44,0 |
| 30269 | | | | | | Bio-clinique | Immunofixation des protéines urinaires | | Rapport | Régional | 48,0 |
| 30273 | | | | | | Bio-clinique | Immunoglobulines IgA | | Résultat | Régional | 3,0 |
| 30274 | | | | | | Bio-clinique | Immunoglobulines IgD | | Résultat | Supra | 43,0 |
| 30276 | | | | | | Bio-clinique | Immunoglobulines IgE totale | | Résultat | Régional | 6,1 |
| 30277 | | | | | | Bio-clinique | Immunoglobulines IgG | | Résultat | Régional | 2,9 |
| 30278 | | | | | | Bio-clinique | Immunoglobulines IgG (sous-classes) | | Résultat | Supra | 6,8 |
| 30279 | | | | | | Bio-clinique | Immunoglobulines IgM | | Résultat | Régional | 3,0 |
| 30280 | | | | | | Hémato-cyto-chimie | Immunophosphatase alcaline (APAAP) (par lame) | | Rapport | Supra | 28,0 |

| Code | Réf. texte | Modif | Type modif. | RQDM | INESSS | Sous-section | Description | Réf. code num. | Élément de compte | Hiérarchie | VP 23-24 |
|-------|------------|-------|-------------|------|--------|--------------------|---|----------------|-------------------|------------|----------|
| 30282 | * | | | | | Dépistage prénatal | Inhibine A | | Résultat | Supra | 12,8 |
| 30283 | | | | | | Bio-hormone | Insuline | | Résultat | Régional | 4,2 |
| 30285 | | | | | | Bio-clinique | Chaines légères libres (Kappa/Lambda) (sériques) | | Rapport | Régional | 31,0 |
| 30286 | * M | | | | | Bio-clinique | Immuglobulines IgE spécifiques (RAST ou allergène spécifique) (allergènes communs) | | Résultat | Supra | 14,9 |
| 30287 | * M | | | | | Bio-clinique | Immuglobulines IgE spécifiques (RAST ou allergène spécifique) (allergènes occasionnels) | | Résultat | Supra | 18,3 |
| 30288 | M | N* | VP | | | Bio-clinique | Immuglobulines IgE spécifiques (RAST ou allergène spécifique) (allergènes moléculaires) | | Résultat | Supra | 26,0 |
| 30300 | | | | | | Bio-clinique | Lactate déshydrogénase (électrophorèse) (LD) | | Résultat | Supra | 51,0 |
| 30301 | | | | | | Bio-clinique | Lactate déshydrogénase (LD) | | Résultat | Local | 0,7 |
| 30306 | | | | | | Bio-clinique | Lipase | | Résultat | Local | 1,3 |
| 30308 | | C | H | | | Bio-clinique | Lipoprotéine a (Lp(a)) | | Résultat | Régional | 3,5 |
| 30310 | | | | | | Bio-clinique | Lysozyme (muramidase) | | Résultat | Supra | 43,0 |
| 30329 | | | | | | Bio-hormone | Catécholamines et métanéphrines libres (urine) | | Rapport | Supra | 34,0 |
| 30330 | | | | | | Bio-clinique | Macro-enzyme ou Macro prolactine (recherche) (précipitation) | | Rapport | Régional | 15,9 |
| 30332 | | | | | | Bio-clinique | Magnésium total | | Résultat | Local | 0,7 |
| 30335 | | | | | | Bio-médicament | Azathioprine (6MMP, 6-TG) / Mercaptopurine (6MP) (incluant prétraitement) (Imuran® / Purinethol®) | | Rapport | Supra | 37,0 |
| 30336 | | | | | | Bio-hormone | Métanéphrines (urine) | | Rapport | Supra | 23,0 |
| 30337 | | | | | | Bio-clinique | Microalbumine (urine) | | Résultat | Local | 2,0 |
| 30340 | | | | | | Bio-clinique | Myoglobine (urine) | | Résultat | Local | 8,8 |
| 30360 | | | | | | Bio-hormone | Oestradiol-17B | | Résultat | Régional | 4,2 |
| 30361 | | | | | | Bio-hormone | Oestrone plasmatique | | Résultat | Supra | 3,9 |
| 30362 | | | | | | Bio-clinique | Osmolalité | | Résultat | Local | 4,0 |
| 30363 | | | | | | Bio-hormone | Ostéocalcine | | Résultat | Régional | 9,0 |
| 30364 | | | | | | Bio-clinique | Oxalates (urine) | | Résultat | Régional | 11,9 |
| 30370 | | | | | I | Bio-clinique | Anticorps circulant anti-récepteur de la phospholipase A2 (anti-PLA2R) (ELISA) (quantitatif) | | Résultat | Supra | 47,0 |
| 30371 | | | | | I | Bio-clinique | Anticorps circulant anti-récepteur de la phospholipase A2 (anti-PLA2R) (IIFT) (qualitatif) | | Résultat | Supra | 79,0 |
| 30382 | | | | | | Bio-hormone | Peptide C | | Résultat | Supra | 8,2 |

| Code | Réf. texte | Modif | Type modif. | RQDM | INESS | Sous-section | Description | Réf. code num. | Élément de compte | Hiérarchie | VP 23-24 |
|-------|------------|-------|-------------|------|-------|--------------|---|----------------|-------------------|------------|----------|
| 30383 | | | | | | Bio-clinique | pH (liquide biologique) | | Résultat | Local | 1,9 |
| 30386 | | | | | | Bio-clinique | Phosphatase alcaline | | Résultat | Local | 0,7 |
| 30388 | | | | | | Bio-clinique | Phosphatase alcaline (électrophorèse) | | Rapport | Supra | 65,0 |
| 30389 | | | | | | Bio-clinique | Phosphatase alcaline placentaire (PAPLA) | | Résultat | Supra | 16,4 |
| 30391 | | | | | | Bio-clinique | Phosphore | | Résultat | Local | 0,7 |
| 30393 | | | | | | Bio-clinique | Porphobilinogène (PBG) (quantitatif) | | Résultat | Supra | 151,0 |
| 30394 | | | | | | Bio-clinique | Porphyries (plasma) (quantitatif) | | Rapport | Supra | 58,0 |
| 30395 | | | | | | Bio-clinique | Porphyries (urine) (qualitatif) | | Rapport | Supra | 18,0 |
| 30397 | | | | | | Bio-clinique | Porphyries (uro ou copro) (urine) (quantitatif) | | Rapport | Supra | 36,0 |
| 30398 | | | | | | Bio-clinique | Potassium | | Résultat | Local | 0,7 |
| 30399 | | | | | | Bio-clinique | Préalbumine | | Résultat | Local | 3,0 |
| 30400 | | | | | | Bio-hormone | Progestérone | | Résultat | Régional | 3,2 |
| 30401 | | | | | | Bio-hormone | Progestérone (17-hydroxy) | | Résultat | Supra | 10,1 |
| 30402 | | | | | | Bio-hormone | Prolactine | | Résultat | Régional | 3,1 |
| 30404 | | | | | | Bio-clinique | Protéines totales (autres liquides) | | Résultat | Local | 1,3 |
| 30405 | | | | | | Bio-clinique | Protéines totales (sérum) | | Résultat | Local | 0,7 |
| 30406 | | | | | | Bio-clinique | Protoporphyrines érythrocytaires | | Résultat | Supra | 102,0 |
| 30407 | | | | | | Bio-clinique | Antigène prostatique libre (PSA) | | Résultat | Régional | 5,9 |
| 30409 | | | | | | Bio-clinique | Pseudocholinestérase (typage) (FN + DN) | | Rapport | Supra | 31,0 |
| 30410 | | | | | | Bio-clinique | Pseudocholinestérase totale seulement | | Résultat | Supra | 15,3 |
| 30412 | | | | | | Bio-clinique | Protéine C réactive (CRP) (inclut ultrasensible) | | Résultat | Local | 2,6 |
| 30450 | | | | | | Bio-hormone | Rénine | | Résultat | Supra | 22,0 |
| 30452 | | | | | | Bio-clinique | Porphyries (selles) (dosage fractionné) (quantitatif) | | Rapport | Supra | 96,0 |
| 30469 | | | | | | Bio-clinique | Recherche immunochimique de sang dans les selles | | Résultat | Supra | 6,7 |
| 30470 | | | | | | Bio-clinique | Sang dans les liquides biologiques (qualitatif) | | Résultat | Local | 4,1 |
| 30471 | | | | | | Bio-clinique | Sang dans les selles (qualitatif) | | Résultat | Local | 3,5 |

| Code | Réf. texte | Modif | Type modif. | RQDM | INESSS | Sous-section | Description | Réf. code num. | Élément de compte | Hiérarchie | VP 23-24 |
|-------|------------|-------|-------------|------|--------|--------------------|---|----------------|-------------------|------------|----------|
| 30472 | | | | | | Bio-clinique | Carcinome cellule squameuse (SCC) | | Résultat | Supra | 9,5 |
| 30473 | | | | | | Bio-clinique | Selles (examen microscopique, graisse, amidon, fibres) (qualitatif) | | Résultat | Régional | 6,9 |
| 30474 | | | | | | Bio-clinique | Selles (mesure du poids sur 24 heures) | | Résultat | Local | 3,3 |
| 30476 | | | | | | Bio-hormone | Sérotonine (HPLC) | | Résultat | Supra | 103,0 |
| 30477 | | | | | | Bio-hormone | Sex hormone binding globulin (SHBG) | | Résultat | Régional | 3,9 |
| 30478 | | | | | | Bio-clinique | Sodium | | Résultat | Local | 0,7 |
| 30479 | | | | | | Bio-hormone | Somatomédine C (IGF-1) | | Résultat | Supra | 7,2 |
| 30482 | * | | | | | Bio-clinique | Sueur (test à la) (Iontophorèse) (stimulation, prélèvement) | | Résultat | Local | 57,0 |
| 30485 | * | | | | | Dépistage prénatal | Trisomie 21 - dépistage prénatal (gestion des données) | | Rapport | Supra | 22,0 |
| 30500 | | | | | | Bio-hormone | T3 total (triiodothyronine totale) ou libre | | Résultat | Local | 2,9 |
| 30502 | | | | | | Bio-hormone | T4L (thyroxine libre) | | Résultat | Local | 1,9 |
| 30504 | | | | | | Bio-hormone | Télopeptides (C ou N) (sérum) | | Résultat | Régional | 8,4 |
| 30506 | | | | | | Bio-hormone | Testostérone totale | | Résultat | Régional | 5,8 |
| 30508 | | | | | | Bio-hormone | Thyroglobuline | | Résultat | Régional | 9,6 |
| 30510 | | | | | | Bio-clinique | Tumor necrosing factor (TNF-alpha) | | Résultat | Supra | 23,0 |
| 30511 | | | | | | Bio-clinique | Transferrine | | Résultat | Local | 1,8 |
| 30512 | | | | | | Bio-clinique | Triglycérides | | Résultat | Local | 0,7 |
| 30513 | | | | | | Bio-clinique | Troponine T ou I | | Résultat | Local | 4,0 |
| 30515 | | | | | | Bio-clinique | Tryptase | | Résultat | Supra | 30,0 |
| 30516 | | | | | | Bio-hormone | TSH (hormone thyroïdienne) | | Résultat | Local | 1,7 |
| 30517 | * | | | | | Bio-clinique | Sueur (test à la) (dosage du chlorure) (titration) | | Rapport | Régional | 9,1 |
| 30518 | | | | | I | Bio-hormone | Dosage de la testostérone sérique par LC-MS/MS | | Résultat | Supra | 7,6 |
| 30530 | | | | | | Bio-clinique | Lipoprotéines (ultracentrifugation) | | Rapport | Supra | 50,0 |
| 30531 | | | | | | Bio-clinique | Urée | | Résultat | Local | 0,7 |
| 30532 | | | | | | Bio-clinique | Urine (examen microscopique) | | Rapport | Local | 3,3 |
| 30533 | | | | | | Bio-clinique | Urine (examen sommaire) | | Rapport | Local | 1,3 |

| Code | Réf. texte | Modif | Type modif. | RQDM | INESSS | Sous-section | Description | Réf. code num. | Élément de compte | Hiérarchie | VP 23-24 |
|-------|------------|-------|-------------|------|--------|-----------------------|--|----------------|-------------------|------------------|----------|
| 30534 | | | | | | Bio-clinique | Urine (mesure du volume pour collecte minutée) | | Résultat | Local | 3,0 |
| 30535 | | | | | | Bio-clinique | Acides biliaires totaux (dosage) | | Résultat | Régional | 15,4 |
| 30536 | * | C | VP | | | Bio-clinique | Calprotectine fécale (dosage, excluant extraction) | | Résultat | Régional désigné | 12,0 |
| 30537 | * | | | | | Bio-clinique | Calprotectine fécale (extraction) | | Résultat | Local | 5,2 |
| 30550 | | | | | | Hémato-érythrocytaire | Viscosité plasmatique | | Résultat | Régional | 9,8 |
| 30551 | * | | | | | Bio-clinique | Vitamine A + E (HPLC) (incluant β -carotène) | | Rapport | Supra | 23,0 |
| 30553 | | | | | | Bio-clinique | Vitamine B12 | | Résultat | Local | 2,7 |
| 30554 | | | | | | Bio-clinique | Vitamine C | | Résultat | Supra | 34,0 |
| 30555 | | | | | | Bio-clinique | Vitamine D 1-25 diOH | | Résultat | Supra | 49,0 |
| 30556 | | | | | | Bio-clinique | Vitamine D 25 OH | | Résultat | Régional | 7,4 |
| 30557 | | | | | I | Bio-clinique | Vitamines hydrosolubles (B1 et B6) (quantitatif) (HPLC) | | Rapport | Supra | 13,4 |
| 30580 | | | | | | Bio-clinique | Xanthochromie LCR (mesurée) | | Rapport | Régional | 7,4 |
| 30581 | | | | | | Bio-clinique | Xylose | | Résultat | Supra | 20,0 |
| 30583 | | | | | | Bio-clinique | Phosphatase alcaline osseuse | | Résultat | Régional | 5,1 |
| 30584 | | | | | | Bio-hormone | Cortisol salivaire | | Résultat | Supra | 10,5 |
| 30585 | | | | | | Bio-hormone | Inhibine B | | Résultat | Supra | 57,0 |
| 30586 | | | | | | Bio-hormone | Métanéphrines plasmatiques libres | | Résultat | Supra | 117,0 |
| 30587 | | | | | | Bio-hormone | Hormone anti Müllérien (AMH) | | Résultat | Supra | 25,0 |
| 30588 | | | | | | Bio-hormone | 3-méthoxytyramine (sérique) | | Résultat | Supra | 151,0 |
| 30589 | | | | | | Bio-clinique | Dosage de la protéine apparentée à la parathormone (PTHrP) | | Rapport | Supra | 109,0 |
| 30600 | | | | | | Bio-médicament | Acétaminophène | | Résultat | Local | 3,1 |
| 30601 | | | | | | Bio-médicament | Acide valproïque | | Résultat | Local | 5,7 |
| 30602 | | | | | | Bio-médicament | Amikacine | | Résultat | Régional | 7,9 |
| 30603 | | | | | | Bio-médicament | Amiodarone (Cordarone®) | | Résultat | Supra | 87,0 |
| 30604 | | | | | | Bio-toxico. | Amphétamines / méthamphétamine (autre que bandelette) (automatisé) | | Résultat | Local | 5,3 |
| 30607 | | | | | | Bio-toxico. | Antidépresseurs tricycliques (autre que bandelette) (automatisé) (immunoenzymatique) | | Résultat | Local | 4,1 |

| Code | Réf. texte | Modif | Type modif. | RQDM | INESS | Sous-section | Description | Réf. code num. | Élément de compte | Hiérarchie | VP 23-24 |
|-------|------------|-------|-------------|------|-------|----------------|--|----------------|-------------------|------------|----------|
| 30608 | | | | | | Bio-médicament | Antidépresseurs tricycliques et non tricycliques (GC 9 résultats) | | Rapport | Supra | 63,0 |
| 30610 | | | | | | Bio-médicament | Flucytosine (5-FC) (Ancotil®) | | Résultat | Supra | 103,0 |
| 30619 | | | | | | Bio-toxico. | Éthylglucoronide et éthylsulfate (LC-MS/MS) | | Résultat | Supra | 47,0 |
| 30620 | | | | | | Bio-toxico. | Barbituriques (autre que bandelette) (automatisé) | | Résultat | Local | 4,3 |
| 30621 | | | | | | Bio-toxico. | Benzodiazépines (autre que bandelette) (automatisé) | | Résultat | Local | 4,4 |
| 30623 | | | | | | Bio-médicament | Busulfan (Myleran®) | | Résultat | Supra | 114,0 |
| 30625 | | | | | I | Bio-toxico. | Buprénorphine (méthode immunoenzymatique homogène, semi-quantitatif) | | Résultat | Supra | 10,7 |
| 30630 | | | | | | Bio-médicament | Carbamazépine | | Résultat | Local | 9,1 |
| 30631 | | | | | | Bio-médicament | Cyclosporine (Neoral®) | | Résultat | Supra | 10,9 |
| 30632 | | | | | | Bio-médicament | Clozapine et nor-clozapine (Clozaril®) | | Rapport | Supra | 21,0 |
| 30640 | | | | | | Bio-médicament | Digoxine | | Résultat | Local | 6,3 |
| 30642 | * | | | | | Bio-médicament | Antirétroviraux (ARV) / programme provincial de dosage des médicaments antirétroviraux | | Rapport | Supra | 28,0 |
| 30660 | | | | | | Bio-médicament | Clobazam (Frisium®) | | Résultat | Supra | 49,0 |
| 30671 | | | | | | Bio-médicament | Gentamicine | | Résultat | Local | 4,1 |
| 30680 | | | | | | Bio-médicament | Hypoglycémiant oraux | | Rapport | Supra | 18,3 |
| 30690 | | | | | | Bio-médicament | Lamotrigine (Lamictal®) | | Résultat | Supra | 41,0 |
| 30691 | | | | | | Bio-médicament | Lidocaïne (Xylocaïne®) | | Résultat | Supra | 71,0 |
| 30692 | | | | | | Bio-médicament | Lithium (Li) | | Résultat | Local | 4,3 |
| 30693 | | | | | | Bio-médicament | Lithium intra-érythrocytaire (Li) | | Résultat | Supra | 7,5 |
| 30695 | | | | | I | Bio-médicament | Adalimumab (Humira®) | | Résultat | Supra | 57,0 |
| 30696 | | | | | I | Bio-médicament | Anticorps anti-Adalimumab (Humira®) | | Résultat | Supra | 61,0 |
| 30701 | | | | | | Bio-toxico. | Méthadone (autre que bandelette) (automatisé) | | Résultat | Local | 5,8 |
| 30702 | | | | | | Bio-médicament | Méthotrexate | | Résultat | Régional | 33,0 |
| 30703 | | | | | | Bio-médicament | Mitotane (Lysodren®) | | Résultat | Supra | 7,8 |
| 30711 | | | | | | Bio-médicament | Nitisinome (NTBC) (Orfadin®) | | Résultat | Supra | 12,9 |
| 30720 | | | | | | Bio-médicament | Olanzapine (Zyprexa®) | | Résultat | Supra | 28,0 |

| Code | Réf. texte | Modif | Type modif. | RQDM | INESS | Sous-section | Description | Réf. code num. | Élément de compte | Hiérarchie | VP 23-24 |
|-------|------------|-------|-------------|------|-------|----------------|--|----------------|-------------------|------------|----------|
| 30730 | | | | | | Bio-médicament | Phénobarbital | | Résultat | Local | 8,1 |
| 30731 | | | | | | Bio-médicament | Phénytoïne | | Résultat | Local | 5,6 |
| 30732 | | | | | | Bio-médicament | Phénytoïne libre | | Résultat | Supra | 59,0 |
| 30733 | | | | | | Bio-médicament | Primidone (incluant phénobarbital) (Mysoline®) | | Rapport | Supra | 37,0 |
| 30759 | | | | | | Bio-médicament | Évérolimus (Afinitor®) | | Résultat | Supra | 93,0 |
| 30760 | | | | | | Bio-médicament | Salicylates | | Résultat | Local | 3,4 |
| 30761 | | | | | | Bio-médicament | Sirolimus (Rapamune®) | | Résultat | Supra | 15,9 |
| 30770 | | | | | | Bio-médicament | Tacrolimus (FK-506) (Prograf®) | | Résultat | Supra | 10,4 |
| 30771 | | | | | | Bio-médicament | Théophylline | | Résultat | Local | 2,0 |
| 30773 | | | | | | Bio-médicament | Tobramycine | | Résultat | Local | 9,0 |
| 30780 | | | | | | Bio-médicament | Vancomycine | | Résultat | Local | 4,0 |
| 30781 | | | | | | Bio-médicament | Voriconazole (Vfend®) | | Résultat | Supra | 37,0 |
| 30782 | | | | | I | Bio-médicament | Mesure de l'activité de la L-Asparaginase | | Résultat | Supra | 41,0 |
| 30831 | | | | | | Bio-toxico. | Cannabinoïdes (THC) (autre que bandelette) (automatisé) | | Résultat | Local | 3,8 |
| 30834 | | | | | | Bio-toxico. | Cocaïne (autre que bandelette) (automatisé) | | Résultat | Local | 4,9 |
| 30850 | | | | | | Bio-toxico. | Drogues (cannabis-THC, benzoylécgonine-cocaïne) (HPLC ou GCMS) | | Rapport | Supra | 68,0 |
| 30851 | | | | | | Bio-toxico. | Drogues de rue / bandelette / drogue | | Résultat | Local | 2,6 |
| 30860 | | | | | | Bio-toxico. | Fer (analyse dans les biopsies) | | Résultat | Supra | 52,0 |
| 30883 | | | | | | Bio-toxico. | Oxycodone (autre que bandelette) (automatisé) | | Résultat | Local | 18,3 |
| 30890 | | | | | | Bio-toxico. | Opiacés (autre que dépistage) (automatisé) | | Résultat | Local | 2,1 |
| 30891 | | | | | | Bio-toxico. | PCP (autre que dépistage) (automatisé) | | Résultat | Local | 1,9 |
| 30893 | | | | | | Bio-toxico. | Dépistage toxicologique général (GCMS/NPD) (sérum-plasma-urine-liquide gastrique) | | Rapport | Supra | 84,0 |
| 30920 | | | | | | Bio-médicament | Thiocyanate (sérum) | | Résultat | Supra | 9,0 |
| 30980 | | | | | | Bio-toxico. | Zinc | | Résultat | Supra | 5,8 |
| 31042 | | | | | | Bio-immuno. | Panel anticorps anti-neuronaux (anti-HU, anti-RI, anti-YO, anti-CV2, anti-PMNA2 et anti-amphiphysine) (immunoblot) | | Rapport | Supra | 54,0 |

| Code | Réf. texte | Modif | Type modif. | RQDM | INESSS | Sous-section | Description | Réf. code num. | Élément de compte | Hiérarchie | VP 23-24 |
|-------|------------|-------|-------------|------|--------|-----------------------|--|----------------|-------------------|------------|----------|
| 31050 | | | | | | Bio-immuno. | Panel anticorps anti-neuronaux (anti-HU, anti-RI, anti-YO, anti-CV2, anti-PMNA2 et anti-amphiphysine) (immunofluorescence) | | Rapport | Supra | 16,5 |
| 31098 | | | | | I | Bio-médicament | Infliximab (Remicade®) | | Résultat | Supra | 53,0 |
| 31099 | | | | | I | Bio-médicament | Anticorps anti-Infliximab (Remicade®) | | Résultat | Supra | 53,0 |
| 40005 | | | | | | Micro-bact. | <i>Helicobacter pylori</i> (antigène dans les selles) | | Résultat | Local | 28,0 |
| 40007 | | | | | | Micro-bact. | <i>Clostridioides difficile</i> (Ag) glutamate déshydrogénase (ELISA sur membrane) (test rapide) (selles) | | Résultat | Local | 17,4 |
| 40008 | | | | | I | Micro-bact. | <i>Helicobacter pylori</i> (test respiratoire à l'urée) (spectrométrie de masse à ratio isotopique) | | Rapport | Supra | 4,0 |
| 40018 | | C | D | | | D. mol. infectiologie | Carbapénémase (TAAN) (trousse non homologuée) | | Rapport | Supra | 28,0 |
| 40020 | | | | | | Micro-bact. | Bactérie Gram négatif multirésistance (bêta-lactamase-ESBL, carbapenemase) (dépistage) | | Rapport | Local | 6,6 |
| 40021 | | | | | | Micro-bact. | <i>Helicobacter pylori</i> (culture sur biopsie gastrique) | | Rapport | Régional | 8,1 |
| 40022 | | | | | | Micro-bact. | <i>Helicobacter pylori</i> (uréase rapide sur biopsie gastrique) | | Résultat | Local | 4,7 |
| 40025 | | | | | | Micro-bact. | Bronchoscopie (culture quantitative) | | Rapport | Local | 10,0 |
| 40026 | | | | | | Micro-bact. | Bronchoscopie (culture semi-quantitative) | | Rapport | Local | 6,0 |
| 40045 | | | | | | Micro-bact. | Chlamydia (shell vial) | | Rapport | Supra | 34,0 |
| 40046 | | | | | | Micro-bact. | Concentration minimale inhibitrice (CMI) (dilution en bouillon) (par bactérie) | | Résultat | Local | 10,3 |
| 40047 | | | | | | Micro-bact. | Concentration minimale inhibitrice (CMI) microplaque / carte automatisée (par bactérie) | | Résultat | Local | 13,0 |
| 40048 | | | | | | Micro-bact. | Concentration minimale inhibitrice en diffusion (CMI) (bandelette) (par antibiotique et par bactérie) | | Résultat | Local | 13,2 |
| 40049 | | | | | | Micro-bact. | Cathéter (culture semi-quantitative) | | Rapport | Local | 5,7 |
| 40051 | | | | | | Micro-bact. | Concentration minimale inhibitrice (CMI) (dilution en agar) (steer) (par bactérie) | | Résultat | Régional | 19,3 |
| 40053 | * | | | | | Micro-bact. | Ensemencement sans identification | | Spécimen | Local | 1,1 |
| 40063 | | | | | | Micro-bact. | Enterococcus résistant à la vancomycine (ERV) (culture spécifique) (dépistage par gélose chromogénique) | | Résultat | Local | 4,0 |
| 40065 | | | | | | Micro-bact. | Expectorations (bactériologie) (inclut spécimen rejeté après Gram) | | Rapport | Local | 7,1 |
| 40080 | * | | | | | Micro-bact. | Gorge (culture Strepto A, C, G ou bêta-hémolytique) | | Rapport | Local | 5,9 |
| 40101 | | | | | | Micro-bact. | Hémoculture (1 bouteille : aérobie ou anaérobie) | | Rapport | Local | 2,9 |
| 40102 | | | | | | Micro-bact. | Hémoculture (2 bouteilles : aérobie + anaérobie) | | Rapport | Local | 6,8 |
| 40103 | * | | | | | Micro-bact. | Identification d'une bactérie, à partir d'une hémoculture, au genre ou à l'espèce (spectrométrie de masse - MALDI-TOF) | | Résultat | Régional | 1,6 |

| Code | Réf. texte | Modif | Type modif. | RQDM | INESSS | Sous-section | Description | Réf. code num. | Élément de compte | Hiérarchie | VP 23-24 |
|-------|------------|-------|-------------|------|--------|--------------|--|----------------|-------------------|------------|----------|
| 40124 | * | | | | | Micro-bact. | Identification d'une bactérie au genre ou à l'espèce (spectrométrie de masse – MALDI-TOF) | | Résultat | Régional | 1,6 |
| 40125 | * | | | | | Micro-bact. | Identification d'un micro-organisme au genre ou à l'espèce (galerix API) | | Résultat | Local | 16,2 |
| 40126 | * | | | | | Micro-bact. | Identification d'un micro-organisme au genre ou à l'espèce (cartes d'identification sur automates tels que VITEK®, Phoenix® ou MicroScan®) | | Résultat | Local | 7,0 |
| 40127 | * | | | | | Micro-bact. | Ensemble des tests d'orientation préalables à l'identification d'un micro-organisme (sur colonie) | | Rapport | Local | 3,7 |
| 40128 | * | | | | | Micro-bact. | Ensemble des tests d'orientation préalables à l'identification d'un micro-organisme (par MALDI-TOF) | | Rapport | Local | 3,7 |
| 40130 | * | | | | | Micro-bact. | Coloration Gram (sur colonie) | | Lame | Local | 3,6 |
| 40140 | | | | | | Micro-bact. | Kirby Bauer (par bactérie) (antibiogramme par diffusion) | | Rapport | Local | 5,5 |
| 40160 | | | | | | Micro-bact. | <i>Legionella</i> (antigène urinaire) | | Résultat | Local | 41,0 |
| 40161 | | | | | | Micro-bact. | <i>Legionella</i> (culture sur spécimen clinique) | | Rapport | Local | 16,1 |
| 40164 | | | | | | Micro-bact. | Liquide céphalo-rachidien (LCR) (culture) | | Rapport | Local | 9,3 |
| 40165 | | | | | | Micro-bact. | Liquide biologique (autre que LCR) (culture) | | Rapport | Local | 22,0 |
| 40182 | | | | | | Micro-bact. | <i>Mycoplasma hominis</i> , <i>Ureaplasma</i> (culture) | | Rapport | Régional | 6,9 |
| 40200 | | | | | | Micro-bact. | <i>Neisseria gonorrhoeae</i> (culture) (tous sites) | | Rapport | Local | 8,3 |
| 40201 | | | | | | Micro-bact. | <i>Staphylococcus aureus</i> (nez) (culture) (sauf SARM) | | Rapport | Local | 6,1 |
| 40202 | | | | | | Micro-bact. | <i>Nocardia</i> (culture) | | Rapport | Régional | 17,0 |
| 40220 | | | | | | Micro-bact. | Oreille ou conduit auditif externe (culture) | | Rapport | Local | 6,5 |
| 40240 | | | | | | Micro-bact. | Pneumocoque (antigène urinaire) (urine ou LCR) | | Rapport | Local | 34,0 |
| 40242 | * | | | | | Micro-bact. | Pus profond (avec recherche d'anaérobies, incluant <i>Actinomyces</i>) | | Rapport | Local | 8,2 |
| 40243 | * | | | | | Micro-bact. | Pus superficiel (sans recherche d'anaérobies) | | Rapport | Local | 4,9 |
| 40260 | | | | | | Micro-bact. | Sécrétions conjonctivales (culture) | | Rapport | Local | 7,7 |
| 40261 | | | | | | Micro-bact. | Sécrétions trachéobronchiques (culture) | | Rapport | Local | 8,6 |
| 40262 | | | | | | Micro-bact. | Sécrétions vaginales (culture, état frais, KOH) | | Rapport | Local | 3,4 |
| 40263 | | | | | | Micro-bact. | Selles (culture) | | Rapport | Local | 13,6 |
| 40264 | | | | | | Micro-bact. | <i>Clostridioides difficile</i> (toxines A et B) (test rapide) (ELISA sur membrane) (selles) | | Rapport | Local | 28,0 |
| 40265 | | | | | | Micro-bact. | Spécimen respiratoire pour fibrose kystique pancréas (FKP) (culture) (incluant <i>Burkholderia cepacia</i> et <i>Pseudomonas</i>) | | Rapport | Régional | 19,6 |

| Code | Réf. texte | Modif | Type modif. | RQDM | INESSS | Sous-section | Description | Réf. code num. | Élément de compte | Hiérarchie | VP 23-24 |
|-------|------------|-------|-------------|------|--------|-----------------|---|----------------|-------------------|------------|----------|
| 40266 | | | | | | Micro-bact. | <i>Staphylococcus aureus</i> résistant à la méthicilline (SARM) (culture spécifique) (dépistage par gélose chromogénique) | | Résultat | Local | 3,4 |
| 40268 | | | | | | Micro-bact. | Streptocoque du groupe A (détection d'antigène) (test rapide sur spécimen clinique) | | Rapport | Local | 8,9 |
| 40269 | | | | | | Micro-bact. | Streptocoque du groupe B culture recto-vaginale | | Résultat | Local | 5,9 |
| 40270 | | | | | | Micro-bact. | Streptocoque du groupe B culture recto-vaginale (agglutination sur bouillon) | | Résultat | Local | 9,8 |
| 40271 | | | | | | Micro-bact. | Stérilité (produit sanguin) | | Rapport | Local | 21,0 |
| 40280 | | | | | | Micro-bact. | Sécrétions vaginales (Gram direct pour vaginose) | | Rapport | Local | 9,8 |
| 40285 | * | | | | | Micro-bact. | Préparation des selles pour transplantation de matière fécale (TMF) (sans encapsulation) | | Usager | Local | 77,0 |
| 40286 | * | | | | | Micro-bact. | Préparation des selles pour transplantation de matière fécale (TMF) (avec encapsulation) | | Don | Local | 246,0 |
| 40310 | | | | | | Micro-bact. | Urine (toutes méthodes de prélèvement) | | Rapport | Local | 2,5 |
| 40330 | | | | | | Micro-bact. | Selles (vérocytotoxine <i>E. coli</i>) (culture cellulaire) | | Rapport | Régional | 29,0 |
| 40352 | | | | | | Micro-bact. | <i>Clostridioides difficile</i> (GDH) + (toxines A et B) (ELISA sur membrane) (test rapide) (selles) | | Rapport | Local | 21,0 |
| 40355 | * | C | D | | | Micro-bact. | Remplir et transférer un formulaire au LSPQ dans le cadre d'une surveillance obligatoire (fait par un employé du laboratoire) | | Rapport | Local | 3,1 |
| 40400 | | | | | | Micro-enviro. | Culture environnementale (par spécimen clinique) stérilité (par ampoule ou caps) (ATTEST) | | Rapport | Local | 4,2 |
| 40401 | | | | | | Micro-enviro. | Culture environnementale par site (air) | | Rapport | Local | 3,7 |
| 40403 | | | | | | Micro-enviro. | Préparation pour culture environnementale par site (eau) (intra-hospitalière) | | Rapport | Local | 8,1 |
| 40405 | | | | | | Micro-enviro. | Culture environnementale pour <i>Aspergillus</i> | | Rapport | Local | 5,1 |
| 40420 | | | | | | Micro-enviro. | Culture environnementale (autre) (intra-hospitalière) | | Rapport | Local | 4,5 |
| 40450 | | | | | | Micro-enviro. | Culture environnementale pour <i>Legionella</i> | | Rapport | Local | 26,0 |
| 40480 | | | | | | Micro-enviro. | Stérilité (préparation pharmaceutique) | | Rapport | Local | 9,6 |
| 40511 | | | | | | Micro-viro. | Épreuve de sensibilité aux antiviraux pour le virus HSV, CMV, VVZ (IC50) (par virus) | | Rapport | Supra | 83,0 |
| 40599 | | | | | | Micro-viro. | Adénovirus (détection rapide sur spécimen clinique) (selles) (ELISA) | | Résultat | Régional | 17,8 |
| 40602 | | | | | | Micro-imm-séro. | <i>Aspergillus</i> IgG ou Ac totaux (par Ag) (contre-immunoélectrophorèse) | | Rapport | Supra | 6,2 |
| 40603 | | | | | | Micro-imm-séro. | Diptérie IgG ou Ac totaux | | Rapport | Supra | 26,0 |
| 40604 | | | | | | Micro-imm-séro. | <i>Hémophilus influenzae</i> (IgG ou Ac totaux) | | Rapport | Supra | 33,0 |
| 40605 | | | | | | Micro-imm-séro. | Pneumocoque IgG ou Ac totaux | | Rapport | Supra | 163,0 |

| Code | Réf. texte | Modif | Type modif. | RQDM | INESSS | Sous-section | Description | Réf. code num. | Élément de compte | Hiérarchie | VP 23-24 |
|-------|------------|-------|-------------|------|--------|-----------------|---|----------------|-------------------|------------|----------|
| 40606 | | | | | | Micro-imm-séro. | Tétanos IgG ou Ac totaux | | Rapport | Supra | 26,0 |
| 40630 | | C | D | | | Micro-imm-séro. | Coronavirus (SRAS-CoV-2) (IgG ou Ac totaux) | | Rapport | Régional | 14,7 |
| 40641 | | | | | | Micro-imm-séro. | Cytomégalovirus (CMV) IgG ou Ac totaux | | Résultat | Local | 8,4 |
| 40642 | | | | | | Micro-imm-séro. | Cytomégalovirus (CMV) IgM spécifique | | Résultat | Régional | 10,9 |
| 40647 | | | | | | Micro-imm-séro. | Cytomégalovirus (CMV) IgG spécifique (mesure de l'avidité) | | Résultat | Supra | 50,0 |
| 40661 | | | | | | Micro-imm-séro. | Virus Epstein Barr (EBV-EA) IgG ou Ac totaux (immunofluorescence) | | Résultat | Supra | 36,0 |
| 40662 | | | | | | Micro-imm-séro. | Virus Epstein Barr (EBV) (EBNA) IgG ou Ac totaux | | Résultat | Régional | 7,8 |
| 40663 | | | | | | Micro-imm-séro. | Virus Epstein Barr (EBV) (EBNA) IgG ou Ac totaux (immunofluorescence) | | Résultat | Supra | 20,0 |
| 40665 | | | | | | Micro-imm-séro. | Virus Epstein Barr (EBV) (VCA) IgG ou Ac totaux | | Résultat | Régional | 7,8 |
| 40666 | | | | | | Micro-imm-séro. | Virus Epstein Barr (EBV) (VCA) IgG ou Ac totaux (immunofluorescence) | | Résultat | Supra | 21,0 |
| 40667 | | | | | | Micro-imm-séro. | Virus Epstein Barr (EBV) (VCA) IgM spécifique | | Résultat | Régional | 9,6 |
| 40680 | | | | | | Micro-imm-séro. | Fièvre Q : <i>Coxiella burnetii</i> IgG -IgM | | Résultat | Supra | 68,0 |
| 40681 | | | | | | Micro-imm-séro. | <i>Bartonella</i> , maladie des griffes de chat (anticorps) | | Résultat | Supra | 22,0 |
| 40690 | | | | | | Micro-imm-séro. | <i>Helicobacter pylori</i> IgG ou Ac totaux | | Résultat | Local | 6,7 |
| 40693 | | | | | | Micro-imm-séro. | Herpes simplex IgG ou Ac totaux | | Rapport | Régional | 9,6 |
| 40695 | | | | | | Micro-imm-séro. | Herpes simplex (IgG spécifique type 1 ou 2) (par Ag) | | Résultat | Régional | 6,4 |
| 40698 | | | | | | Micro-imm-séro. | HTLV 1 et 2 IgG ou Ac totaux | | Résultat | Supra | 7,6 |
| 40730 | | | | | | Micro-imm-séro. | Legionella IgG ou Ac totaux (Ag de groupe) (ELISA) | | Résultat | Supra | 14,7 |
| 40740 | | | | | | Micro-imm-séro. | Mononucléose anticorps hétérophile (agglutination) | | Résultat | Local | 9,6 |
| 40744 | | | | | | Micro-imm-séro. | <i>Mycoplasma pneumoniae</i> IgM spécifique (ELISA) | | Résultat | Régional | 16,3 |
| 40750 | | | | | | Micro-imm-séro. | Oreillons IgG ou Ac totaux (ELISA) | | Résultat | Supra | 6,7 |
| 40751 | | | | | | Micro-imm-séro. | Oreillons IgM spécifiques (ELISA) | | Résultat | Supra | 8,5 |
| 40772 | | | | | | Micro-imm-séro. | Parvovirus (parvo B-19) IgM spécifique | | Résultat | Régional | 19,6 |
| 40773 | | | | | | Micro-imm-séro. | Parvovirus (parvo B-19) IgG ou Ac totaux | | Résultat | Régional | 15,7 |
| 40791 | | | | | | Micro-imm-séro. | Rougeole IgG ou Ac totaux | | Résultat | Supra | 7,6 |
| 40792 | | | | | | Micro-imm-séro. | Rougeole IgM spécifique | | Résultat | Supra | 8,7 |

ANALYSES 2023-2024
DE BIOLOGIE MÉDICALE (ORDRE NUMÉRIQUE)

| Code | Réf. texte | Modif | Type modif. | RQDM | INESSS | Sous-section | Description | Réf. code num. | Élément de compte | Hiérarchie | VP 23-24 |
|-------|------------|-------|-------------|------|--------|-----------------|---|----------------|-------------------|------------|----------|
| 40794 | | | | | | Micro-imm-séro. | Rubéole IgG ou Ac totaux | | Résultat | Local | 6,9 |
| 40797 | | | | | | Micro-imm-séro. | Rubéole IgM spécifique | | Résultat | Supra | 8,1 |
| 40800 | | | | | | Bio-immuno. | RA (facteur rhumatoïde) | | Résultat | Local | 6,9 |
| 40811 | | | | | | Micro-imm-séro. | Anti-streptolysine O du streptocoque du groupe A (ASO) IgG ou Ac totaux (quantitatif) (néphélobimétrie) | | Résultat | Local | 2,3 |
| 40812 | | | | | | Micro-imm-séro. | Anti-streptolysine O du streptocoque du groupe A (ASO) IgG ou Ac totaux (quantitatif) (manuel) | | Résultat | Local | 11,5 |
| 40813 | | | | | | Micro-imm-séro. | Streptozyme streptocoque du groupe A IgG ou Ac totaux | | Rapport | Local | 12,6 |
| 40814 | | | | | | Micro-imm-séro. | Syphilis antigène non tréponémique (RPR) IgG ou Ac totaux | | Résultat | Local | 7,7 |
| 40815 | | | | | | Micro-imm-séro. | Syphilis antigène tréponémique IgG ou Ac totaux | | Rapport | Local | 3,5 |
| 40816 | | | | | | Micro-imm-séro. | Streptocoque du groupe A (qualitatif) sur lame | | Résultat | Local | 5,7 |
| 40832 | | | | | | Micro-imm-séro. | Toxoplasmose IgG ou Ac totaux | | Résultat | Local | 6,7 |
| 40833 | | | | | | Micro-imm-séro. | Toxoplasmose IgM spécifique | | Résultat | Régional | 13,8 |
| 40840 | | | | | | Micro-imm-séro. | VIH IgG ou Ac totaux (test rapide) | | Rapport | Local | 20,0 |
| 40850 | | | | | | Micro-imm-séro. | VIH IgG ou Ac totaux et Ag p24 | | Résultat | Régional | 4,9 |
| 40853 | | | | | | Micro-imm-séro. | Herpes virus Varicella-Zoster (VZV) IgG spécifique | | Résultat | Régional | 10,7 |
| 40855 | | | | | | Micro-imm-séro. | Herpes virus Varicella-Zoster (VZV) IgM spécifique | | Résultat | Supra | 8,5 |
| 40900 | | | | | | Micro-mycobact. | Mycobactéries (hémoculture) | | Rapport | Local | 16,0 |
| 40901 | | | | | | Micro-mycobact. | Mycobactéries (culture sur milieu liquide seul) | | Rapport | Régional | 30,0 |
| 40902 | | | | | | Micro-mycobact. | Mycobactéries (culture sur milieu solide et liquide) | | Rapport | Régional | 33,0 |
| 40904 | | | | | | Micro-mycobact. | Mycobactéries (examen direct sur spécimen clinique) (auramine) | | Rapport | Local | 10,9 |
| 40907 | | | | | | Micro-mycobact. | Mycobactéries (examen direct sur spécimen clinique) (Ziehl) | | Résultat | Local | 24,0 |
| 40920 | | | | | | Micro-mycobact. | <i>Mycobacterium tuberculosis</i> (PPD) (induration et lecture) (fait par un technologiste) | | Résultat | Local | 3,9 |
| 40921 | | | | | | Micro-mycobact. | <i>Mycobacterium tuberculosis</i> (test de libération d'interferon Gamma, TLIG) | | Résultat | Régional | 30,0 |
| 40922 | * | | | | | Micro-mycobact. | Identification d'une mycobactérie au genre ou à l'espèce (spectrométrie de masse - MALDI-TOF) | | Résultat | Régional | 1,6 |
| 41000 | | C | D | | | Micro-mycolo. | Concentration minimale inhibitrice (CMI) antifongique : diffusion en bandelette sur gélose (ex. : E-TEST ou Liofilchem) | | Résultat | Régional | 17,5 |
| 41001 | | | | | | Micro-mycolo. | Galactomannane (antigène <i>Aspergillus</i>) (ELISA) | | Rapport | Régional | 33,0 |
| 41020 | | | | | | Micro-mycolo. | Cryptocoque (Ag) (sérum ou LCR) (agglutination) | | Résultat | Local | 9,2 |

C : procédures modifiées N : procédures ajoutées * : réfère à des indications spécifiques de la partie texte du *Répertoire* I : ajout après évaluation

| Code | Réf. texte | Modif | Type modif. | RQDM | INESSS | Sous-section | Description | Réf. code num. | Élément de compte | Hiérarchie | VP 23-24 |
|-------|------------|-------|-------------|------|--------|---------------|--|----------------|-------------------|------------|----------|
| 41031 | | | | | | Micro-mycolo. | Mycoses (hémoculture) | | Rapport | Local | 9,1 |
| 41050 | | | | | | Micro-mycolo. | Levures (culture spécifique) | | Rapport | Local | 5,7 |
| 41051 | | | | | | Micro-mycolo. | Levure multirésistante (<i>Candida auris</i>) (dépistage) | | Rapport | Local | 5,9 |
| 41055 | | N | | | | Micro-mycolo. | Concentration minimale inhibitrice (CMI) antifongique : microdilution en bouillon - méthode CLSI ou Sensititre YeastOne (par levure) | | Résultat | Régional | 54,0 |
| 41056 | | N | | | | Micro-mycolo. | Concentration minimale inhibitrice (CMI) antifongique : diffusion en disque sur gélose (Kirby Bauer) - méthode CLSI | | Résultat | Régional | 12,1 |
| 41070 | | | | | | Micro-mycolo. | Mycologie (examen direct sur spécimen clinique) (incluant état frais, KOH, calcofluor) | | Rapport | Local | 10,5 |
| 41071 | * | | | | | Micro-mycolo. | Mycose profonde (incluant levures) | | Rapport | Régional | 29,0 |
| 41072 | * | | | | | Micro-mycolo. | Mycose superficielle (dermatophyte) (incluant levures) | | Rapport | Régional | 19,9 |
| 41073 | | C | D | | | Micro-mycolo. | Concentration minimale inhibitrice (CMI) antifongique : microplaque automatisée (par levure) | | Rapport | Régional | 21,0 |
| 41076 | * | | | | | Micro-mycolo. | Champignons filamenteux (identification manuelle) | | Rapport | Régional | 25,0 |
| 41077 | * | | | | | Micro-mycolo. | Identification de champignons filamenteux au genre ou à l'espèce (spectrométrie de masse - MALDI-TOF) | | Résultat | Régional | 1,6 |
| 41078 | * | | | | | Micro-mycolo. | Identification de levures au genre ou à l'espèce (spectrométrie de masse - MALDI-TOF) | | Résultat | Régional | 1,6 |
| 41120 | | | | | | Micro-paras. | Malaria (détection rapide d'Ag) (immunochromatographie) | | Rapport | Local | 14,0 |
| 41121 | | | | | | Micro-paras. | Malaria (frottis + goutte épaisse) (préparation et coloration) | | Rapport | Local | 9,3 |
| 41122 | | | | | | Micro-paras. | Malaria (lecture et identification, incluant % parasitémie) | | Rapport | Régional | 30,0 |
| 41140 | | | | | | Micro-paras. | Oxyures (recherche par ruban collant) | | Rapport | Local | 7,8 |
| 41150 | | | | | | Micro-paras. | Parasites dans le sang, tissus et liquides biologiques (détection) (sauf malaria, <i>Trichomonas</i>) | | Rapport | Régional | 46,0 |
| 41151 | | | | | | Micro-paras. | Parasites fécaux (<i>Giardia</i> , <i>Cryptosporidium</i>) (immunofluorescence) | | Rapport | Régional | 25,0 |
| 41152 | | | | | | Micro-paras. | Parasites fécaux (par colorations permanentes sauf coloration iodée ou état frais) | | Rapport | Local | 13,8 |
| 41153 | | | | | | Micro-paras. | Parasites fécaux (par concentration, état frais ou coloration iodée incluant lecture) | | Rapport | Local | 14,4 |
| 41154 | | | | | | Micro-mycolo. | <i>Pneumocystis jirovecii</i> (détection) (immunofluorescence directe) | | Résultat | Régional | 64,0 |
| 41160 | | | | | | Micro-paras. | Strongyloïdose (culture spécifique) | | Rapport | Supra | 26,0 |
| 41170 | | | | | | Micro-paras. | <i>Trichomonas vaginalis</i> (culture) | | Rapport | Local | 14,3 |
| 41171 | | | | | | Micro-paras. | <i>Trichomonas vaginalis</i> (détection d'Ag) | | Rapport | Local | 11,0 |
| 41180 | | | | | | Micro-paras. | Ectoparasites et vers (identification) | | Rapport | Local | 5,0 |

C : procédures modifiées N : procédures ajoutées * : réfère à des indications spécifiques de la partie texte du *Répertoire* I : ajout après évaluation

| Code | Réf. texte | Modif | Type modif. | RQDM | INESSS | Sous-section | Description | Réf. code num. | Élément de compte | Hiérarchie | VP 23-24 |
|-------|------------|-------|-------------|------|--------|-----------------------|--|----------------|-------------------|------------|----------|
| 41223 | | | | | | Micro-viro. | Cytomégalovirus (CMV) (culture en tube) | | Rapport | Supra | 90,0 |
| 41224 | | | | | | Micro-viro. | Cytomégalovirus (CMV) (Shell vial) | | Rapport | Régional | 68,0 |
| 41281 | | | | | | Micro-viro. | Herpes simplex type I et II (culture cellulaire et typage) | | Rapport | Régional | 50,0 |
| 41282 | | | | | | Micro-viro. | Herpes simplex type I ou II (détection rapide sur spécimen clinique incluant typage) (par immunofluorescence) | | Rapport | Régional | 23,0 |
| 41301 | | | | | | Micro-viro. | Influenza (incluant A et B) (détection rapide sur spécimen clinique) (ELISA) | | Rapport | Local | 29,0 |
| 41370 | | | | | | Micro-viro. | Rotavirus (détection rapide) (ELISA) | | Résultat | Local | 18,5 |
| 41371 | | | | | | Micro-viro. | Virus respiratoire syncytial (VRS) (détection rapide sur spécimen clinique) (ELISA) | | Résultat | Local | 31,0 |
| 41380 | | | | | | Micro-bact. | <i>Clostridioides difficile</i> (toxines A et B) (culture cellulaire) (selles) | | Rapport | Local | 31,0 |
| 41382 | | | | | | Micro-bact. | <i>Clostridioides difficile</i> (toxines A et B) (ELISA sur microplaque) (selles) | | Rapport | Local | 21,0 |
| 41397 | | | | | | Micro-viro. | Oreillons (culture cellulaire) | | Rapport | Supra | 99,0 |
| 41398 | | | | | | Micro-viro. | Rhinovirus (test d'acidité) | | Rapport | Supra | 113,0 |
| 41399 | | | | | | Micro-viro. | Rougeole (culture cellulaire) | | Rapport | Supra | 189,0 |
| 41403 | | | | | | Micro-viro. | Virus spécimen respiratoire (culture cellulaire) | | Rapport | Supra | 80,0 |
| 41405 | | | | | | Micro-viro. | Virus spécimen normalement stérile (biopsie, LCR, liquide biologique) (culture cellulaire) | | Rapport | Supra | 98,0 |
| 41406 | | | | | | Micro-viro. | Virus spécimen urinaire (culture cellulaire) | | Rapport | Supra | 117,0 |
| 41410 | | | | | | Micro-viro. | Virus Varicella-Zoster (VVZ) (culture cellulaire en microplaque) | | Rapport | Supra | 62,0 |
| 41411 | | | | | | Micro-viro. | Virus Varicella-Zoster (VVZ) (culture cellulaire en tube) | | Rapport | Supra | 93,0 |
| 41412 | | | | | | Micro-viro. | Virus Varicella-Zoster (VVZ) (Shell vial) | | Rapport | Supra | 73,0 |
| 41413 | | | | | | Micro-viro. | Virus Varicella-Zoster (VVZ) (détection rapide sur spécimen clinique) (immunofluorescence) | | Rapport | Régional | 22,0 |
| 41417 | * | C | D | | | Micro-viro. | Habillage avec un équipement de protection individuelle (EPI) pour maladie à virus Ebola/maladies respiratoires sévères infectieuses (MVE/MRSI) au laboratoire | | Spécimen | Local | 18,7 |
| 45002 | | | | | I | Hémato-immunologie | Anti-récepteur glutamate (NMDA) (recherche d'anticorps) | | Résultat | Supra | 95,0 |
| 45004 | | | | | | D. mol. infectiologie | Adénovirus; charge virale (TAAN) (quantitatif) sur sang | | Résultat | Supra | 38,0 |
| 45008 | | | | | | D. mol. infectiologie | BK/JC polyomavirus; charge virale (TAAN) (quantitatif) sur spécimen clinique | | Rapport | Supra | 97,0 |
| 45010 | | | | | | D. mol. infectiologie | <i>Bordetella pertussis</i> , <i>Bordetella parapertussis</i> , <i>Mycoplasma pneumoniae</i> et <i>Chlamydia pneumoniae</i> ; détection (TAAN) (multiplex) sur spécimen clinique | | Rapport | Supra | 36,0 |

ANALYSES 2023-2024
DE BIOLOGIE MÉDICALE (ORDRE NUMÉRIQUE)

| Code | Réf. texte | Modif | Type modif. | RQDM | INESSS | Sous-section | Description | Réf. code num. | Élément de compte | Hiérarchie | VP 23-24 |
|-------|------------|-------|-------------|------|--------|-----------------------|--|----------------|-------------------|------------------|----------|
| 45011 | | | | | | D. mol. infectiologie | <i>Bordetella pertussis</i> et <i>Bordetella parapertussis</i> ; détection (TAAN) (trousse homologuée) sur spécimen clinique | | Rapport | Régional | 60,0 |
| 45017 | | N | | | | D. mol. infectiologie | Carbapénémase (TAAN) (trousse homologuée) | | Rapport | Régional désigné | 1,0 |
| 45018 | | C | VP | | | D. mol. infectiologie | <i>Chlamydia trachomatis</i> et <i>Neisseria gonorrhoeae</i> ; détection (TAAN) (multiplex) sur spécimen urinaire | | Rapport | Local | 4,7 |
| 45020 | | C | VP | | | D. mol. infectiologie | <i>Chlamydia trachomatis</i> et <i>Neisseria gonorrhoeae</i> ; détection (TAAN) (multiplex) sur spécimen extra-génital | | Rapport | Local | 4,7 |
| 45022 | | C | VP | | | D. mol. infectiologie | <i>Chlamydia trachomatis</i> et <i>Neisseria gonorrhoeae</i> ; détection (TAAN) (multiplex) sur spécimen génital | | Rapport | Local | 4,7 |
| 45023 | | N | | | | D. mol. infectiologie | <i>Trichomonas vaginalis</i> (TAAN) | | Résultat | Local | 10,0 |
| 45024 | | N | | | | D. mol. infectiologie | <i>Mycoplasma genitalium</i> (TAAN) | | Résultat | Local | 16,9 |
| 45025 | | N | | | | D. mol. infectiologie | Pathogènes entériques; détection multiplex (virus, bactéries et parasites) (TAAN) (trousse homologuée) sur spécimen clinique | | Rapport | Régional désigné | 108,0 |
| 45026 | | | | | | D. mol. infectiologie | <i>Clostridioides difficile</i> ; détection du gène de la toxine B (TAAN) sur spécimen clinique | | Rapport | Local | 32,0 |
| 45027 | * | C | D | | | D. mol. infectiologie | Coronavirus (SRAS-CoV-2); détection (TAAN) (trousse homologuée) sur spécimen clinique (plateforme m2000/Alinity-m) | | Rapport | Régional | 38,0 |
| 45028 | * | C | D | | | D. mol. infectiologie | Coronavirus (SRAS-CoV-2); détection (TAAN) (trousse homologuée) sur spécimen clinique (Plateforme Cobas 6800/8800) | | Rapport | Régional | 19,6 |
| 45029 | * | C | D | | | D. mol. infectiologie | Coronavirus (SRAS-CoV-2); détection (TAAN) (trousse homologuée) sur spécimen clinique (Plateforme Seegene) | | Rapport | Régional | 15,9 |
| 45030 | | C | D | | | D. mol. infectiologie | Cytomégalovirus (CMV) résistance au ganciclovir ou au foscarnet (séquençage) | | Rapport | Supra | 140,0 |
| 45031 | * | C | D | | | D. mol. infectiologie | Coronavirus (SRAS-CoV-2); détection (TAAN) (trousse homologuée) sur spécimen clinique | | Rapport | Régional | 31,0 |
| 45032 | | C | VP | | | D. mol. infectiologie | Cytomégalovirus (CMV) charge virale (TAAN) (quantitatif) sur spécimen clinique | | Rapport | Supra | 39,0 |
| 45033 | * | C | D | | | D. mol. infectiologie | Coronavirus (SRAS-CoV-2); détection (TAAN) (test rapide, trousse homologuée) sur spécimen clinique | | Rapport | Local | 67,0 |
| 45034 | * | C | D | | | D. mol. infectiologie | Coronavirus (SRAS-CoV-2); détection (TAAN) (trousse non homologuée) sur spécimen clinique | | Rapport | Supra | 13,8 |
| 45035 | | | | | | D. mol. infectiologie | Entérocoque résistant à la vancomycine (ERV); détection (TAAN) (trousse non homologuée ou test développé par le laboratoire) sur spécimen clinique | | Rapport | Local | 3,8 |
| 45036 | | | | | | D. mol. infectiologie | Entérocoque résistant à la vancomycine (ERV); détection (TAAN) (trousse homologuée) sur spécimen clinique | | Rapport | Local | 37,0 |
| 45037 | * | C | D | | | D. mol. infectiologie | Coronavirus (SRAS-CoV-2) : criblage général de variant à surveillance rehaussée | | Rapport | Régional désigné | 24,0 |
| 45038 | | | | | | D. mol. infectiologie | Entérovirus; détection (TAAN) sur liquide céphalo-rachidien (LCR) | | Résultat | Supra | 36,0 |
| 45039 | * | C | D | | | D. mol. infectiologie | Coronavirus (SRAS-CoV-2) : criblage spécifique de variant à surveillance rehaussée | | Rapport | Régional désigné | 24,0 |

C : procédures modifiées N : procédures ajoutées * : réfère à des indications spécifiques de la partie texte du *Répertoire* I : ajout après évaluation

| Code | Réf. texte | Modif | Type modif. | RQDM | INESSS | Sous-section | Description | Réf. code num. | Élément de compte | Hiérarchie | VP 23-24 |
|-------|------------|-------|-------------|------|--------|-----------------------|---|----------------|-------------------|------------------|----------|
| 45040 | | | | | | D. mol. infectiologie | <i>Escherichia coli</i> producteur de shiga-toxines (STEC); détection (TAAN) sur bouillon d'enrichissement | | Résultat | Supra | 15,3 |
| 45041 | | N | | | | D. mol. infectiologie | Gastroentérite bactérienne; détection multiples bactéries (TAAN) (multiplex, trousse homologuée) sur spécimen clinique | | Rapport | Régional désigné | 30,0 |
| 45043 | | | | | I | D. mol. infectiologie | Gastroentérite bactérienne; détection multiplex 7 bactéries: <i>Salmonella</i> , <i>Shigella</i> , <i>Bactéries productrices de Shiga-toxines</i> , <i>Yersinia enterocolitica</i> , <i>Campylobacter</i> , <i>Vibrio spp.</i> , <i>Aéromonas spp.</i> (TAAN) (multiplex) sur spécimen clinique | | Rapport | Supra | 12,9 |
| 45045 | | | | | I | D. mol. infectiologie | Gastroentérite virale; détection multiplex 5 virus: adénovirus 40/41 et totaux, rotavirus, norovirus, sapovirus, astrovirus (TAAN) (multiplex) sur spécimen clinique | | Rapport | Supra | 46,0 |
| 45046 | | | | | | D. mol. infectiologie | Influenza A; sous typage (ex. H1N1) (TAAN) (trousse non homologuée ou test développé par le laboratoire) sur spécimen clinique | | Résultat | Supra | 24,0 |
| 45047 | | N | | | | D. mol. infectiologie | Entérocoque résistant à la vancomycine (ERV) et bactérie Gram négatif productrice de carbapénémase (BGNPC) (dépistage); détection (TAAN) (trousse homologuée) sur spécimen clinique | | Rapport | Régional désigné | 39,0 |
| 45048 | | | | | | D. mol. infectiologie | Influenza A et B; détection (TAAN) (multiplex) (trousse homologuée) sur spécimen clinique | | Rapport | Local | 44,0 |
| 45050 | | | | | | D. mol. infectiologie | Influenza A et B; avec ou sans sous-typage incluant amplification (TAAN) (multiplex) (trousse non homologuée ou test développé par le laboratoire) sur spécimen clinique | | Résultat | Supra | 22,0 |
| 45051 | * | C | D | | | D. mol. infectiologie | Coronavirus (SRAS-CoV-2), Influenza A et B et VRS; détection (TAAN) (multiplex) (trousse homologuée) sur spécimen clinique | | Rapport | Régional | 109,0 |
| 45052 | * | C | D | | | D. mol. infectiologie | Coronavirus (SRAS-CoV-2), Influenza A et B et VRS; détection (TAAN) (multiplex) (trousse non homologuée) sur spécimen clinique | | Rapport | Supra | 25,0 |
| 45053 | * | C | D | | | D. mol. infectiologie | Coronavirus (SRAS-CoV-2) et Influenza A et B; détection (TAAN) (multiplex) (trousse homologuée) sur spécimen clinique | | Rapport | Régional | 57,0 |
| 45054 | * | C | D | | | D. mol. infectiologie | Coronavirus (SRAS-CoV-2) et Influenza A et B; détection (TAAN) (multiplex) (trousse non homologuée) sur spécimen clinique | | Rapport | Supra | 24,0 |
| 45055 | * | C | D | | | D. mol. infectiologie | Coronavirus (SRAS-CoV-2) et virus respiratoires; détection multiplex 8 à 23 virus (TAAN) (multiplex) (trousse homologuée) sur spécimen clinique | | Rapport | Régional | 165,0 |
| 45056 | | C | H, VP | | | D. mol. infectiologie | Hépatite B (VHB); charge virale (TAAN) (quantitatif) sur spécimen clinique | | Rapport | Régional désigné | 31,0 |
| 45058 | * | | | | | D. mol. infectiologie | Hépatite C (VHC); dépistage (TAAN) (qualitatif) sur spécimen clinique | | Rapport | Supra | 68,0 |
| 45060 | * | C | H | | | D. mol. infectiologie | Hépatite C (VHC); charge virale (TAAN) (quantitatif) sur spécimen clinique | | Rapport | Régional désigné | 27,0 |
| 45062 | | | | | | D. mol. infectiologie | Hépatite E (VHE); charge virale (TAAN) (quantitatif) sur spécimen clinique | | Rapport | Supra | 64,0 |
| 45064 | | | | | | D. mol. infectiologie | <i>Herpes simplex</i> type 1 ou 2 (HSV1 ou HSV2); (TAAN) (trousse non homologuée ou test développé par le laboratoire) sur spécimen clinique | | Résultat | Supra | 36,0 |

C : procédures modifiées N : procédures ajoutées * : réfère à des indications spécifiques de la partie texte du Répertoire I : ajout après évaluation

| Code | Réf. texte | Modif | Type modif. | RQDM | INESSS | Sous-section | Description | Réf. code num. | Élément de compte | Hiérarchie | VP 23-24 |
|-------|------------|-------|-------------|------|--------|-----------------------|--|----------------|-------------------|------------------|----------|
| 45065 | | N* | | | | D. mol. Infectiologie | Herpes simplex type 1, Herpes simplex type 2 (HSV1, HSV2) et virus Varicella-Zoster (VVZ); (TAAN) (trousse non homologuée ou test développé par le laboratoire) sur spécimen clinique | | Rapport | Supra | 6,6 |
| 45066 | | | | | | D. mol. infectiologie | <i>Herpes simplex</i> type 1 ou 2 (HSV1 ou HSV2); (TAAN) (trousse homologuée) sur spécimen clinique | | Résultat | Régional | 48,0 |
| 45068 | | | | | | D. mol. infectiologie | Herpes virus; détection multiplex 7 virus: HSV1, HSV2, CMV, EBV, VVZ, HHV6, HHV7 (TAAN) (multiplex) sur spécimen clinique | | Rapport | Supra | 161,0 |
| 45072 | | | | | | D. mol. infectiologie | HLA-B*57:01 détection (TAAN) sur sang | | Rapport | Supra | 26,0 |
| 45074 | | | | | | D. mol. infectiologie | <i>Plasmodium falciparum</i> (Malaria); détection (LAMP) (TAAN) sur spécimen clinique | | Rapport | Supra | 33,0 |
| 45076 | | | | | | D. mol. infectiologie | Méningite bactérienne; détection multiplex 5 bactéries: <i>S. pneumoniae</i> , <i>N.meningitidis</i> , <i>S. agalactiae</i> , <i>L.monocytogenes</i> , <i>H. influenzae</i> type b (TAAN) (multiplex) sur liquide céphalorachidien (LCR) | | Rapport | Supra | 136,0 |
| 45077 | | | | | I | D. mol. infectiologie | Méningo-encéphalite; détection multiplex 14 pathogènes: 6 bactéries, 7 virus et une levure (TAAN) (multiplex) sur liquide céphalorachidien (LCR) | | Rapport | Régional | 168,0 |
| 45080 | | | | | | D. mol. infectiologie | Mycobactéries; (hybridation) (accuprobe) sur culture solide ou liquide | | Résultat | Supra | 65,0 |
| 45082 | | | | | | D. mol. infectiologie | Mycobactéries; (TAAN) (trousse homologuée) sur spécimen clinique | | Rapport | Régional | 75,0 |
| 45084 | | | | | | D. mol. infectiologie | <i>Mycobacterium tuberculosis</i> (BK); identification (TAAN) sur culture solide ou liquide | | Rapport | Régional | 46,0 |
| 45086 | | | | | | D. mol. infectiologie | <i>Mycoplasma hominis</i> , <i>Mycoplasma genitalium</i> et <i>Ureaplasma</i> spp.; détection (TAAN) (multiplex) sur spécimen clinique | | Rapport | Supra | 31,0 |
| 45088 | | | | | | D. mol. infectiologie | <i>Mycoplasma pneumoniae</i> et <i>Chlamydia pneumoniae</i> ; (TAAN) (multiplex) sur spécimen clinique autre que respiratoire | | Rapport | Supra | 15,9 |
| 45092 | | | | | I | D. mol. infectiologie | Paréchovirus charge virale (TAAN) (quantitatif) sur spécimen clinique | | Résultat | Supra | 41,0 |
| 45094 | | | | | | D. mol. infectiologie | Parvovirus B 19; (TAAN) sur spécimen clinique | | Rapport | Supra | 57,0 |
| 45098 | | | | | | D. mol. infectiologie | Protozoaires entériques; (TAAN) (multiplex) (trousse homologuée) sur spécimen clinique | | Rapport | Régional | 37,0 |
| 45099 | | | | | | D. mol. infectiologie | <i>Staphylococcus aureus</i> résistant à la méthicilline (SARM); détection (TAAN) (trousse non homologuée ou test développé par le laboratoire) sur spécimen clinique | | Rapport | Local | 3,8 |
| 45100 | | | | | | D. mol. infectiologie | <i>Staphylococcus aureus</i> résistant à la méthicilline (SARM); détection (TAAN) (trousse homologuée) sur spécimen clinique | | Rapport | Local | 35,0 |
| 45104 | | | | | | D. mol. infectiologie | <i>Tropheryma whippelii</i> ; détection (TAAN) sur spécimen clinique | | Rapport | Supra | 91,0 |
| 45110 | | C | D | | | D. mol. infectiologie | Virus Varicella-Zoster (VVZ); détection (TAAN) (trousse non homologuée ou test développé par le laboratoire) sur spécimen clinique | | Résultat | Supra | 41,0 |
| 45111 | | | | | | D. mol. infectiologie | Virus de la rougeole; détection (TAAN) sur spécimen clinique | | Rapport | Supra | 26,0 |
| 45112 | * | C | H, VP | | | D. mol. infectiologie | Virus de l'immunodéficience humaine (VIH) charge virale (TAAN) (quantitatif) sur sang | | Résultat | Régional désigné | 29,0 |

C : procédures modifiées N : procédures ajoutées * : réfère à des indications spécifiques de la partie texte du Répertoire I : ajout après évaluation

| Code | Réf. texte | Modif | Type modif. | RQDM | INESSS | Sous-section | Description | Réf. code num. | Élément de compte | Hiérarchie | VP 23-24 |
|-------|------------|-------|-------------|------|--------|-----------------------|--|----------------|-------------------|------------------|----------|
| 45113 | | N | | | | D. mol. infectiologie | Virus Varicella-Zoster (VZV); détection (TAAN) (trousse homologuée) sur spécimen clinique | | Résultat | Régional désigné | 44,0 |
| 45114 | * | | | | | D. mol. infectiologie | Virus de l'immunodéficience humaine (VIH) génotypage de l'intégrase (séquençage) sur sang | | Rapport | Supra | 144,0 |
| 45116 | * | | | | | D. mol. infectiologie | Virus de l'immunodéficience humaine (VIH) génotypage du tropisme (séquençage) sur sang | | Rapport | Supra | 245,0 |
| 45118 | * | | | | | D. mol. infectiologie | Virus de l'immunodéficience humaine (VIH) génotypage pour résistance aux antirétroviraux (séquençage) sur sang | | Rapport | Supra | 224,0 |
| 45120 | | | | | | D. mol. infectiologie | Virus Epstein-Barr (EBV); charge virale (TAAN) (quantitatif) sur spécimen clinique | | Rapport | Supra | 38,0 |
| 45124 | | C | H, D | | | D. mol. infectiologie | Virus du papillome humain (VPH); détection de groupes oncogènes (TAAN) (multiplex, trousse homologuée) sur spécimen clinique | | Rapport | Régional désigné | 16,5 |
| 45130 | | | | | | D. mol. infectiologie | Virus respiratoire syncytial (VRS); détection (TAAN) (trousse non homologuée ou test développé par le laboratoire) sur spécimen clinique | | Rapport | Supra | 23,0 |
| 45131 | | | | | | D. mol. infectiologie | Virus respiratoire; détection multiplex 3 virus (influenza A, influenza B et VRS) (TAAN) (multiplex) (trousse homologuée) sur spécimen clinique | | Rapport | Local | 38,0 |
| 45132 | | | | | | D. mol. infectiologie | Virus respiratoires; détection multiplex 8 à 20 virus (TAAN) (multiplex) (trousse homologuée) sur spécimen clinique | | Rapport | Régional | 149,0 |
| 45134 | | | | | | D. mol. infectiologie | Virus respiratoires; détection multiplex 12 à 15 virus: influenza A, influenza B, Virus respiratoire syncytial (VRS), Méta pneumovirus humain (hMPV), Parainfluenza 1-2-3, Adénovirus, Rhino-entérovirus, Coronavirus 229 et OC43 (TAAN) (multiplex) (trousse non homologuée ou développée par le laboratoire) sur spécimen clinique | | Rapport | Supra | 54,0 |
| 45140 | | | | | | D. mol. infectiologie | Virus du sarcome de Kaposi (HHV8); détection (TAAN) sur spécimen clinique | | Rapport | Supra | 113,0 |
| 45141 | | | | | | D. mol. infectiologie | Arthrite septique et infection pleurale bactérienne; détection multiplex 4 bactéries: <i>Kingella kingae</i> , <i>Streptococcus agalactiae</i> (Streptocoque du groupe B), <i>Streptococcus pneumoniae</i> et <i>Streptococcus pyogenes</i> (Streptocoque du groupe A) (TAAN) sur liquide pleural ou articulaire | | Rapport | Supra | 23,0 |
| 45142 | | | | | | D. mol. infectiologie | <i>Streptococcus agalactiae</i> (Streptocoque du groupe B-SGB); dépistage prénatal (TAAN) sur spécimen clinique | | Rapport | Régional | 9,0 |
| 50055 | | C | VP | | | Génétique-cyto. | CGH sur micropuces-Hybridation génomique comparative | | Rapport | Supra | 578,0 |
| 50105 | * | | | | | Génétique-cyto. | Analyse quantitative post-CGH pour confirmation ou dépistage familial | | Rapport | Supra | 140,0 |
| 50390 | | N | | | | Génétique-bio. | Acides aminés (quantitatif) (LC-MS) | | Rapport | Supra | 64,0 |
| 50400 | | | | | | Génétique-bio. | Précurseur du cholestérol ou profil des stérols plasmatiques | | Rapport | Supra | 29,0 |
| 50401 | | | | | | Génétique-bio. | AcétylCoA: glucosaminide N-acétyltransférase (MPS III C) | | Rapport | Supra | 255,0 |
| 50404 | | | | | | Génétique-bio. | Acide méthylmalonique | | Rapport | Supra | 50,0 |
| 50405 | | | | | | Génétique-bio. | Acide orotique | | Rapport | Supra | 51,0 |

| Code | Réf. texte | Modif | Type modif. | RQDM | INESSS | Sous-section | Description | Réf. code num. | Élément de compte | Hiérarchie | VP 23-24 |
|-------|------------|-------|-------------|------|--------|----------------|---|----------------|-------------------|------------|----------|
| 50407 | | | | | | Génétique-bio. | Acide pipécolique | | Rapport | Supra | 25,0 |
| 50409 | | | | | | Génétique-bio. | Acidémie méthylmalonique + homocystéinémie, diagnostic par complémentarité cellulaire | | Rapport | Supra | 1143,0 |
| 50410 | | | | | | Génétique-bio. | Acidémie méthylmalonique avec homocystéinémie, dosage des cofacteurs cobalamine | | Rapport | Supra | 823,0 |
| 50411 | | | | | | Génétique-bio. | Acides aminés (qualitatif) | | Rapport | Supra | 5,1 |
| 50412 | | C | VP | | | Génétique-bio. | Acides aminés (quantitatif) | | Rapport | Supra | 42,0 |
| 50415 | | | | | | Génétique-bio. | Acides organiques (analyse quantitative et qualitative) | | Rapport | Supra | 107,0 |
| 50416 | | | | | | Génétique-bio. | Acide sialique | | Rapport | Supra | 59,0 |
| 50417 | | | | | | Génétique-bio. | Acylcarnitines et carnitine libre (profil sérique) (MS-MS) | | Rapport | Supra | 18,8 |
| 50419 | | | | | | Génétique-bio. | Alpha-fucosidase (fucosidose) | | Rapport | Supra | 137,0 |
| 50420 | | | | | | Génétique-bio. | Alpha-galactosidase A (Fabry) | | Rapport | Supra | 135,0 |
| 50421 | | | | | | Génétique-bio. | Alpha-glucosidase (GSD II) | | Rapport | Supra | 144,0 |
| 50422 | | | | | | Génétique-bio. | Alpha-iduronidase (MPS I) | | Rapport | Supra | 208,0 |
| 50423 | | | | | | Génétique-bio. | Alpha-mannosidase (mannosidose) | | Rapport | Supra | 145,0 |
| 50424 | | | | | | Génétique-bio. | Alpha-N-acétyl-D-glucosaminidase (MPS III B) | | Rapport | Supra | 186,0 |
| 50425 | | | | | | Génétique-bio. | Alpha-N-acétylgalactosaminidase (Schindler) | | Rapport | Supra | 203,0 |
| 50429 | | | | | | Génétique-bio. | Arylsulfatase A (leucodystrophie métachromatique) | | Rapport | Supra | 149,0 |
| 50432 | | | | | | Génétique-bio. | Acides gras libres (colorimétrie-enzymatique automatisée) | | Résultat | Supra | 15,3 |
| 50433 | | | | | I | Génétique-bio. | Acidurie glutarique de type 1 (GA-1); Dosage de l'acide 3-hydroxyglutarique sur spécimen urinaire (GC-MS) | | Résultat | Supra | 115,0 |
| 50440 | | | | | | Génétique-bio. | Acylglycines urinaires (LC-MS/MS) | | Résultat | Supra | 127,0 |
| 50450 | | | | | | Génétique-bio. | Bêta-galactocérobrosidase (Krabbe) | | Rapport | Supra | 291,0 |
| 50451 | | | | | | Génétique-bio. | Bêta-galactosidase (MPS IV B / GM1 gangliosidose) | | Rapport | Supra | 126,0 |
| 50452 | | | | | | Génétique-bio. | Bêta-glucosidase (Gaucher) | | Rapport | Supra | 152,0 |
| 50453 | | | | | | Génétique-bio. | Bêta-glucuronidase (MPS VII) | | Rapport | Supra | 151,0 |
| 50454 | | | | | | Génétique-bio. | Bêta-hexosaminidase A (gangliosidose GM2) (dosage avec substrat sulfaté) | | Rapport | Supra | 140,0 |
| 50455 | | | | | | Génétique-bio. | Bêta-hexosaminidase totale, A et B (gangliosidose GM2) | | Rapport | Supra | 212,0 |
| 50456 | | | | | | Génétique-bio. | Bêta-mannosidase (mannosidose) | | Rapport | Supra | 152,0 |

| Code | Réf. texte | Modif | Type modif. | RQDM | INESSS | Sous-section | Description | Réf. code num. | Élément de compte | Hiérarchie | VP 23-24 |
|-------|------------|-------|-------------|------|--------|--------------------|--|----------------|-------------------|------------|----------|
| 50457 | | C | VP | | | Génétique-bio. | Biotinidase | | Rapport | Supra | 127,0 |
| 50472 | | | | | | Génétique-bio. | Carnitine libre et estérifiée (LC-MS/MS) | | Rapport | Supra | 46,0 |
| 50476 | | | | | | Génétique-cyto. | Culture de cellules fibroblastiques pour étude génétique (incluant recherche <i>Mycoplasma</i>) | | Spécimen | Supra | 784,0 |
| 50477 | | | | | | Génétique-bio. | Cystinose-lysosome (maladie lysosomiale) | | Rapport | Supra | 198,0 |
| 50483 | | N | | | | Dépistage néonatal | Amyotrophie spinale (SMA); Déficit immunitaire combiné sévère (SCID); Trousse A (<i>TREC</i> ; <i>SMN1</i>); (TAAN) sur sang séché | | Rapport | Supra | 49,0 |
| 50484 | | N | | | | Dépistage néonatal | Amyotrophie spinale (SMA); Trousse B (<i>TREC</i> ; <i>SMN1</i>) - test de 2 ^e intention; (TAAN) sur sang séché | | Rapport | Supra | 1,0 |
| 50485 | | N | | | | Dépistage néonatal | Amyotrophie spinale (SMA); Trousse C1 (<i>SMN1</i>) - test de 2 ^e intention, partie 2; (TAAN) sur sang séché | | Rapport | Supra | 1,0 |
| 50486 | | N | | | | Dépistage néonatal | Amyotrophie spinale (SMA); Trousse C2 (<i>SMN2</i>) - test de 2 ^e intention, partie 2; (TAAN) sur sang séché | | Rapport | Supra | 1,0 |
| 50487 | | N | | | | Dépistage néonatal | Déficit immunitaire combiné sévère (SCID); Trousse B (<i>TREC</i> ; <i>SMN1</i>) - test de 2 ^e intention; (TAAN) sur sang séché | | Rapport | Supra | 1,0 |
| 50488 | | | | | | Dépistage néonatal | Dépistage néonatal des syndromes drépanocytaires majeurs (HPLC) | | Spécimen | Supra | 2,5 |
| 50489 | | | | | | Dépistage néonatal | Dépistage néonatal des syndromes drépanocytaires majeurs - test de 2 ^e intention (électrophorèse capillaire) | | Spécimen | Supra | 10,5 |
| 50490 | | | | | | Dépistage néonatal | Dépistage néonatal maladies métaboliques sur urine (qualitatif) | | Spécimen | Supra | 5,3 |
| 50520 | | | | | | Génétique-bio. | Galactosamine-6-sulfatase (MPS IV A) | | Rapport | Supra | 157,0 |
| 50521 | | | | | | Génétique-bio. | Galactose-1-phosphate (enzymatique) | | Rapport | Supra | 287,0 |
| 50523 | | | | | | Génétique-bio. | Guanidinoacétate-créatine | | Rapport | Supra | 12,7 |
| 50524 | | C | VP | | | Génétique-bio. | Globotriaosylceramide urinaire (Gb3) (LC-MS/MS) | | Rapport | Supra | 32,0 |
| 50530 | | | | | | Génétique-bio. | Heparan sulfate sulfatase (MPS III A) | | Rapport | Supra | 279,0 |
| 50540 | | | | | | Génétique-bio. | Iduronate sulfatase (MPS II) | | Rapport | Supra | 273,0 |
| 50550 | | | | | | Génétique-bio. | Lipase acide (Wolman / CESD) | | Rapport | Supra | 152,0 |
| 50561 | | | | | | Génétique-bio. | Méthylène tétrahydrofolate réductase (MTHFR) indice d'incorporation MTHF | | Rapport | Supra | 828,0 |
| 50562 | | | | | I | Génétique-bio. | Mucopolysaccharides (glycosaminoglycans) (LC MS-MS) | | Rapport | Supra | 19,4 |
| 50565 | | | | | I | Génétique-bio. | Mucopolysaccharides (glycosaminoglycans) (quantitatif) | | Rapport | Supra | 60,0 |
| 50570 | | | | | | Génétique-bio. | N-acétylglucosamine 6-sulfate sulfatase (MPS III D) | | Rapport | Supra | 280,0 |
| 50580 | | | | | | Génétique-bio. | Oligosaccharides | | Rapport | Supra | 29,0 |
| 50600 | | | | | | Dépistage néonatal | Phénylalanine sur sang séché | | Spécimen | Supra | 0,9 |

C : procédures modifiées N : procédures ajoutées * : réfère à des indications spécifiques de la partie texte du *Répertoire* I : ajout après évaluation

| Code | Réf. texte | Modif | Type modif. | RQDM | INESS | Sous-section | Description | Réf. code num. | Élément de compte | Hiérarchie | VP 23-24 |
|-------|------------|-------|-------------|------|-------|--------------------|---|----------------|-------------------|------------|----------|
| 50601 | | | | | | Génétique-bio. | Dosage des protéines pour test génétique biochimique | | Spécimen | Supra | 62,0 |
| 50602 | | | | | | Génétique-bio. | Isolation de leucocytes pour test en génétique biochimique | | Spécimen | Régional | 71,0 |
| 50603 | | | | | | Génétique-bio. | Hexosaminidase totale seulement | | Rapport | Supra | 126,0 |
| 50604 | | | | | | Génétique-bio. | Propionyl-coA-carboxylase, indice d'incorporation de propionate | | Rapport | Supra | 776,0 |
| 50605 | | | | | | Génétique-bio. | Purines et pyrimidines | | Rapport | Supra | 17,9 |
| 50608 | | | | | | Génétique-bio. | Acides gras à longue chaîne (profil complet) (GC/MS) | | Rapport | Supra | 33,0 |
| 50620 | | | | | | Génétique-bio. | Sialidase / neuraminidase (sialidose) | | Rapport | Supra | 157,0 |
| 50621 | | | | | | Génétique-bio. | Sphingomyélinase (Niemann-pick A et B) | | Rapport | Supra | 241,0 |
| 50624 | | | | | | Génétique-bio. | Succinylacétone (quantitatif) (GC-MS) | | Rapport | Supra | 47,0 |
| 50640 | | C | VP | | | Génétique-bio. | Tests métaboliques urinaires (DNPH - sulfite) | | Rapport | Régional | 20,0 |
| 50641 | | | | | | Dépistage néonatal | Thyroxine (T4) totale sur sang séché | | Spécimen | Supra | 5,2 |
| 50642 | | | | | | Génétique-bio. | Transcobalamine II | | Rapport | Supra | 969,0 |
| 50645 | | | | | | Dépistage néonatal | Tyrosine sur sang séché | | Spécimen | Supra | 0,9 |
| 50646 | | | | | | Dépistage néonatal | Trypsine immunoréactive (IRT) sur sang séché | | Rapport | Supra | 4,5 |
| 50648 | | | | | | Génétique-cyto. | Dissection de villosités chorales et culture | | Rapport | Supra | 151,0 |
| 50649 | | | | | | Génétique-cyto. | Caryotype villosités chorales sur technique directe | | Rapport | Supra | 232,0 |
| 50710 | | | | | | Génétique-cyto. | Caryotype (liquide amniotique) | | Rapport | Supra | 392,0 |
| 50711 | | C | VP | | | Génétique-cyto. | Caryotype (sang) | | Rapport | Supra | 310,0 |
| 50712 | | | | | | Génétique-cyto. | Caryotype (tissus) | | Rapport | Supra | 485,0 |
| 50713 | | | | | | Génétique-cyto. | Caryotype pour hémopathies (moelle et sang) | | Rapport | Supra | 618,0 |
| 50714 | | | | | | Génétique-cyto. | Caryotype pour tumeur solide | | Rapport | Supra | 734,0 |
| 50715 | | | | | | Génétique-cyto. | Caryotype villosités chorales après culture | | Rapport | Supra | 398,0 |
| 50716 | | | | | | Génétique-cyto. | Colorations spéciales en cytogénétique (bande C-Q-DAPI-NOR) | | Lame | Supra | 149,0 |
| 50717 | | | | | | Génétique-cyto. | Culture cellulaire avec étude fonctionnelle cytogénétique inactivation de l'X | | Rapport | Supra | 611,0 |
| 50718 | | | | | | Génétique-cyto. | Culture cellulaire pour diagnostic génétique (cellules en suspension) | | Spécimen | Supra | 79,0 |
| 50719 | | | | | | Génétique-cyto. | FISH sur noyau interphasique pour détection de réarrangement en oncologie avec sonde de fusion ou de séparation | | Sonde | Supra | 202,0 |

C : procédures modifiées N : procédures ajoutées * : réfère à des indications spécifiques de la partie texte du *Répertoire* | : ajout après évaluation

| Code | Réf. texte | Modif | Type modif. | RQDM | INESSS | Sous-section | Description | Réf. code num. | Élément de compte | Hiérarchie | VP 23-24 |
|-------|------------|-----------|-------------|------|--------|-----------------------------|--|----------------|-------------------|------------|----------|
| 50720 | | | | | | Génétique-cyto. | FISH en interphase | | Sonde | Supra | 242,0 |
| 50722 | | | | | | Génétique-cyto. | FISH sur métaphase | | Sonde | Supra | 215,0 |
| 50723 | | | | | | Génétique-cyto. | Congélation de culture cellulaire pour étude génétique | | Spécimen | Supra | 24,0 |
| 50724 | | | | | | Génétique-cyto. | Décongélation et remise en culture de cellules pour étude génétique | | Spécimen | Supra | 19,2 |
| 50728 | | | | | | Génétique-cyto. | Culture cellulaire pour diagnostic génétique (cellules adhérentes) | | Spécimen | Supra | 199,0 |
| 50729 | | | | | | Génétique-cyto. | FISH sur tissu paraffiné | | Sonde | Supra | 260,0 |
| 50740 | | | | | | Génétique-cyto. | Diagnostic des cassures chromosomiques (Fanconi, Bloom, etc.) | | Rapport | Supra | 721,0 |
| 50800 | | | | | | Dépistage néonatal | TSH sur sang séché | | Spécimen | Supra | 2,0 |
| 50802 | | | | | | Dépistage néonatal | Dépistage néonatal d'erreurs innées du métabolisme (8 à 15 maladies) | | Spécimen | Supra | 11,8 |
| 55002 | | | | | | D. mol. maladie héréditaire | Apolipoprotéine E; <i>APOE</i> (Cys112Arg et Arg158Cys) (TAAN) | | Résultat | Supra | 43,0 |
| 55008 | | | | | | D. mol. maladie héréditaire | Hypercholestérolémie familiale (gène récept. <i>LDL</i>) (del 5-15 Kb) (TAAN) | | Rapport | Supra | 78,0 |
| 55010 | | | | | | D. mol. maladie héréditaire | Hypercholestérolémie familiale (HF), gène <i>R-LDL</i> Panel 1 (del 5, del 15 kb, Trp66Gly, Cys646Tyr) (TAAN) | | Rapport | Supra | 81,0 |
| 55012 | | | | | | D. mol. maladie héréditaire | Hypercholestérolémie familiale (HF), gène <i>R-LDL</i> Panel 2 (Glu207Lys, Cys152Trp, Arg329Xaa, Cys347Arg, Tyr468Xaa, Tyr354Cys, 681ins7) (TAAN) | | Rapport | Supra | 124,0 |
| 55014 | | | | | | D. mol. maladie héréditaire | Lipoprotéine lipase (gène <i>LPL</i>) Panel 1 (Pro207Leu, Gly188Glu, Asp9Asn) (TAAN) | | Rapport | Supra | 50,0 |
| 55016 | | | | | | D. mol. maladie héréditaire | Lipoprotéine lipase (gène <i>LPL</i>) Panel 2 (Asp9Asn, Asp250Asn, Asn291Ser) (TAAN) | | Rapport | Supra | 21,0 |
| 55018 | | | | | | D. mol. maladie héréditaire | Hypercholestérolémie familiale (HF), gène <i>R-LDL</i> (TAAN, mutation unique) | | Rapport | Supra | 147,0 |
| 55039 | | N*, D, VP | | | R | D. mol. Maladie héréditaire | Séquençage ciblé de gènes associés aux cardiomyopathies/arythmies/aortopathies héréditaires (cardiogénétique) (core panel) (SNG) (technique seulement) | | Rapport | Supra | 865,0 |
| 55041 | | N* | | | R | D. mol. Maladie héréditaire | Séquençage ciblé de gènes associés à l'hypercholestérolémie familiale, hyperchylomicronémie familiale, hyperalphalipoprotéïnémie familiale et sitostérolémie (dyslipidémies familiales) (SNG) | | Rapport | Supra | 842,0 |
| 55042 | | N*, D, VP | | | R | D. mol. Maladie héréditaire | Panel virtuel de gènes associés aux cardiomyopathies (cardiogénétique) (interprétation seulement) | | Rapport | Supra | 243,0 |
| 55043 | | N* | | | R | D. mol. Maladie héréditaire | Panel virtuel de gènes à partir de données SNG déjà existantes pour l'hypercholestérolémie familiale, hyperchylomicronémie familiale, hyperalphalipoprotéïnémie familiale et sitostérolémie (dyslipidémies familiales) | | Rapport | Supra | 387,0 |
| 55044 | | N*, D | | | R | D. mol. Maladie héréditaire | Recherche de délétions et duplications familiales ou confirmation de délétions et duplications (cardiogénétique) | | Rapport | Supra | 162,0 |
| 55045 | | N*, D | | | R | D. mol. Maladie héréditaire | Recherche de délétions et duplications familiales ou confirmation de délétions et duplications (dyslipidémies familiales) | | Rapport | Supra | 162,0 |

| Code | Réf. texte | Modif | Type modif. | RQDM | INESSS | Sous-section | Description | Réf. code num. | Élément de compte | Hiérarchie | VP 23-24 |
|-------|------------|-------|-------------|------|--------|-------------------------------|---|----------------|-------------------|------------|----------|
| 55067 | | N | | R | | D. mol. Maladie héréditaire | Panel virtuel de gènes associées aux arythmies héréditaires (cardiogénétique) (interprétation seulement) | | Rapport | Supra | 243,0 |
| 55068 | | N | | R | | D. mol. Maladie héréditaire | Panel virtuel de gènes associées aux aortopathies héréditaires (cardiogénétique) (interprétation seulement) | | Rapport | Supra | 243,0 |
| 55069 | | N | | R | | D. mol. Maladie héréditaire | Recherche de variant nucléotidiques (SNV) familiale ou confirmation de SNV (cardiogénétique) | | Rapport | Supra | 162,0 |
| 55070 | | N | | R | | D. mol. Maladie héréditaire | Recherche de variant nucléotidiques (SNV) familiale ou confirmation de SNV (dyslipidémies familiales) | | Rapport | Supra | 162,0 |
| 55081 | | C | D | | | D. mol. maladie héréditaire | Amyloïdose cardiaque héréditaire TTR; TTR; (séquençage, régions codantes complètes) | | Rapport | Supra | 207,0 |
| 55111 | | | | | | D. mol. maladie héréditaire | Hypercholestérolémie familiale (HF); LDLR; (recherche de larges variations génétiques par MLPA) | | Rapport | Supra | 101,0 |
| 55126 | | | | | | D. mol. maladie héréditaire | Achondroplasie - hypochondroplasie (exons 10 et 13) (FGFR3) (séquençage) | | Rapport | Supra | 140,0 |
| 55132 | | C | D | | | D. mol. maladie héréditaire | Acidémie méthylmalonique avec homocystinurie; MMACHC, LMBR1D (séquençage) | | Rapport | Supra | 218,0 |
| 55133 | | N | | | | D. mol. maladie héréditaire | Amyotrophie spinale (SMA); délétion exon 7 SMN1, SMN2 (TAAN) | | Rapport | Supra | 1,0 |
| 55134 | | C | D | | | D. mol. maladie héréditaire | Amyotrophie spinale (SMA); délétion exon 7 SMN1; (MLPA) | | Rapport | Supra | 264,0 |
| 55136 | | | | | | D. mol. maladie héréditaire | Amyotrophie spinale (SMA); SMN1 (exon 7-8 del) (TAAN) | | Rapport | Supra | 213,0 |
| 55138 | | | | | | D. mol. maladie héréditaire | Amyotrophie spinale (SMA); SMN1; (étude familiale par liaison génétique) | | Rapport | Supra | 1052,0 |
| 55142 | | | | | | D. mol. maladie héréditaire | Ataxie de Friedreich (FA); FXN (expansion de trinucleotides); (TAAN) | | Rapport | Supra | 55,0 |
| 55146 | | | | | | D. mol. oncologie héréditaire | Cancer du côlon; MLH1, MSH2, MSH6, PMS2, EPCAM; (MLPA, analyse de délétion et duplication) | | Rapport | Supra | 99,0 |
| 55148 | | | | | | D. mol. oncologie héréditaire | Cancer du côlon; MLH1, MSH2, MSH6, PMS2; (séquençage, mutation individuelle) | | Rapport | Supra | 172,0 |
| 55152 | | | | | | D. mol. oncologie héréditaire | Cancer du côlon; MLH1, MSH2, MSH6; recherche d'une mutation, (TPT) | | Rapport | Supra | 289,0 |
| 55154 | | | | | | D. mol. oncologie héréditaire | Cancer du côlon; MLH1; régions codantes complètes (séquençage) | | Rapport | Supra | 696,0 |
| 55156 | * | C | S | | | D. mol. oncologie | Cancer du côlon; MLH1; méthylation du promoteur (TAAN) | | Rapport | Supra | 135,0 |
| 55158 | | | | | | D. mol. oncologie héréditaire | Cancer du côlon; MSH2; régions codantes complètes (séquençage) | | Rapport | Supra | 631,0 |
| 55160 | | | | | | D. mol. oncologie héréditaire | Cancer du côlon; MSH6; régions codantes complètes (séquençage) | | Rapport | Supra | 631,0 |
| 55162 | | | | | | D. mol. oncologie héréditaire | Cancer du côlon; MSH6; recherche de mutation, (TPT) | | Rapport | Supra | 487,0 |
| 55164 | | | | | | D. mol. oncologie héréditaire | Cancer du côlon; PMS2; recherche de mutation, (TPT) | | Rapport | Supra | 523,0 |
| 55166 | | | | | | D. mol. oncologie héréditaire | Cancer du sein, cancer de l'ovaire; BRCA1, BRCA2; mutations juives Ashkénazes (TAAN) | | Rapport | Supra | 188,0 |
| 55167 | | | | | I | D. mol. oncologie héréditaire | Cancer du sein, cancer de l'ovaire; PALB2; détection de l'allèle Q775X (séquençage) | | Rapport | Supra | 157,0 |
| 55168 | | | | | | D. mol. oncologie héréditaire | Cancer du sein, cancer de l'ovaire; BRCA1, BRCA2; (mutation individuelle) | | Rapport | Supra | 136,0 |
| 55170 | | | | | | D. mol. oncologie héréditaire | Cancer du sein, cancer de l'ovaire; BRCA1, BRCA2; (mutations canadiennes-françaises) | | Rapport | Supra | 462,0 |

| Code | Réf. texte | Modif | Type modif. | RQDM | INESS | Sous-section | Description | Réf. code num. | Élément de compte | Hiérarchie | VP 23-24 |
|-------|------------|-------|-------------|------|-------|-------------------------------|--|----------------|-------------------|------------|----------|
| 55171 | | | | R | I | D. mol. oncologie héréditaire | Cancer du sein, cancer de l'ovaire, héréditaire; <i>BRCA1</i> et <i>BRCA2</i> - recherche de mutations (SNG) | | Rapport | Supra | 548,0 |
| 55172 | | | | | | D. mol. oncologie héréditaire | Néoplasie endocrinienne multiple type II (MEN II); <i>RET</i> ; (7 exons) (séquençage) | | Rapport | Supra | 491,0 |
| 55174 | | | | | | D. mol. maladie héréditaire | Charcot-Marie-Tooth lié à l'X type 1 (CMTX1); <i>GJB1</i> ; (séquençage, régions codantes complètes) | | Rapport | Supra | 235,0 |
| 55176 | | | | | | D. mol. maladie héréditaire | Charcot-Marie-Tooth type 1A (CMT1A); <i>PMP22</i> ; (TAAN quantitatif) | | Rapport | Supra | 231,0 |
| 55178 | | | | | | D. mol. maladie héréditaire | Cirrhose nord amérindienne infantile (NAIC); <i>CIRHIN</i> (<i>CIRH1A</i>); Arg565Trp; (TAAN) | | Rapport | Supra | 128,0 |
| 55180 | | | | | | D. mol. maladie héréditaire | Craniosynostose, syndrome d'Apert; <i>FGFR2</i> (Ser252Trp et Pro253Arg); (TAAN) | | Rapport | Supra | 151,0 |
| 55182 | | | | | | D. mol. maladie héréditaire | Craniosynostose, syndrome de Muenke; <i>FGFR3</i> (Pro250Arg); (TAAN) | | Rapport | Supra | 142,0 |
| 55194 | | | | | | D. mol. maladie héréditaire | Déficit congénital en glycosylation type 1b (CDG-1b); <i>MPI</i> (Arg295His) | | Rapport | Supra | 14,6 |
| 55196 | | C | D | R | | D. mol. maladie héréditaire | Déficit en acyl-CoA déshydrogénase à chaîne moyenne (MCAD); <i>ACADM</i> (Lys304Glu/Lys329Glu) (SNG) | | Rapport | Supra | 53,0 |
| 55198 | | | | | | D. mol. maladie héréditaire | Déficit en alpha-1 antitrypsine (AATD); <i>SERPINA1</i> (Arg101His, Ala213Val, Glu264Val, Glu342Lys et Glu376Asp) | | Rapport | Supra | 175,0 |
| 55204 | * | | | | | D. mol. maladie héréditaire | Détection rapide des aneuploïdies par QF-PCR (chromosomes 13, 18, 21, X et Y) (TAAN) | | Rapport | Supra | 190,0 |
| 55208 | | | | | | D. mol. maladie héréditaire | Dysplasie ectodermique hidrotique ou syndrome de Clouston; <i>GJB6</i> (Gly11Arg, Val37Glu, Asp50Asm et Ala88Val) | | Rapport | Supra | 169,0 |
| 55209 | | | | | | D. mol. maladie héréditaire | Dysplasie thanatophore de types I et II (Exons 7, 10, 15 et 19) (<i>FGFR3</i>) (séquençage) | | Rapport | Supra | 276,0 |
| 55212 | | | | | | D. mol. maladie héréditaire | Dystrophie musculaire de Duchenne et dystrophie musculaire de Becker; <i>DMD</i> ; (délétion/duplication) | | Rapport | Supra | 282,0 |
| 55214 | | | | | | D. mol. maladie héréditaire | Dystrophie myotonique de Steinert; (expansion de trinuécléotides) | | Rapport | Supra | 279,0 |
| 55218 | | | | | | D. mol. maladie héréditaire | Fibrose kystique (FK); <i>CFTR</i> ; (séquençage, mutation individuelle) | | Rapport | Supra | 156,0 |
| 55219 | | | | | | Dépistage néonatal | Fibrose kystique (FK); <i>CFTR</i> ; (panel de 71 mutations) sur sang séché | | Rapport | Supra | 106,0 |
| 55221 | | C | D | R | I | D. mol. maladie héréditaire | Fibrose kystique (FK); <i>CFTR</i> (SNG) | | Rapport | Supra | 296,0 |
| 55222 | | | | | | D. mol. maladie héréditaire | Fibrose kystique (FK); <i>CFTR</i> ; (TAAN, mutation individuelle) | | Rapport | Supra | 29,0 |
| 55223 | | | | | | D. mol. maladie héréditaire | Fièvre méditerranéenne familiale (FMF); <i>MEFV</i> (Glu148Gln, Met680Ile, Met694Val, Met694Ile et Val726Ala) (TAAN) | | Rapport | Supra | 209,0 |
| 55224 | | | | | | D. mol. maladie héréditaire | Hémochromatose héréditaire type I; <i>HFE</i> (C282Y, H63D) (TAAN) | | Rapport | Supra | 23,0 |
| 55228 | | | | | | D. mol. maladie héréditaire | Infertilité mâle microdélétion du chromosome Y | | Rapport | Supra | 237,0 |
| 55236 | | | | | | D. mol. maladie héréditaire | Encéphalite Cree; <i>TREX1</i> : Arg164Xaa, (TAAN) | | Rapport | Supra | 17,7 |
| 55238 | | | | | | D. mol. maladie héréditaire | Leucoencéphalopathie Cree; eIF2B5: (Arg195His) (TAAN) | | Rapport | Supra | 17,7 |
| 55244 | | | | | | D. mol. maladie héréditaire | Maladie de Huntington (HD); <i>HTT</i> (expansion de trinuécléotides) | | Rapport | Supra | 347,0 |

C : procédures modifiées N : procédures ajoutées * : réfère à des indications spécifiques de la partie texte du *Répertoire* I : ajout après évaluation

| Code | Réf. texte | Modif | Type modif. | RQDM | INESSS | Sous-section | Description | Réf. code num. | Élément de compte | Hiérarchie | VP 23-24 |
|-------|------------|-------|-------------|------|--------|-------------------------------|---|----------------|-------------------|------------------|----------|
| 55250 | | C | D | R | | D. mol. maladie héréditaire | Maladie de Tay-Sachs ou gangliosidose à GM2 variant B; <i>HEXA</i> ; (SNG, régions codantes complètes et délétion récurrente Canadienne-Française) | | Rapport | Supra | 1237,0 |
| 55252 | | C | D | R | | D. mol. maladie héréditaire | Maladies juives ashkénazes : maladie de Canavan (CD), maladie de Tay-Sachs, dysautonomie familiale; (panel de mutations juives ashkénazes) (SNG) | | Rapport | Supra | 211,0 |
| 55254 | | | | | | Génétique-bio. | Maladie mitochondriale, activité enzymatique | | Rapport | Supra | 776,0 |
| 55255 | | | | | | Génétique-bio. | Maladie mitochondriale, détection des complexes I à V (BN-PAGE) | | Rapport | Supra | 454,0 |
| 55256 | | | | | R | D. mol. maladie héréditaire | Maladie mitochondriale, ADN mt (SNG) | | Résultat | Supra | 746,0 |
| 55266 | | C | D | R | | D. mol. maladie héréditaire | Phénylcétonurie (PCU); <i>PAH</i> (SNG) | | Rapport | Supra | 880,0 |
| 55268 | | | | | | D. mol. maladie héréditaire | Phénylcétonurie (PCU); <i>PAH</i> ; (séquençage, mutation individuelle) | | Rapport | Supra | 156,0 |
| 55274 | | | | | | D. mol. oncologie héréditaire | Polypose adénomateuse colique; <i>APC</i> ; (MLPA) recherche de duplication / délétion | | Rapport | Supra | 104,0 |
| 55276 | | | | | | D. mol. oncologie héréditaire | Polypose adénomateuse colique; <i>APC</i> , exon 15 (TPT) | | Rapport | Supra | 644,0 |
| 55280 | | | | | | D. mol. oncologie héréditaire | Polypose intestinale multiple; <i>MUTYH</i> (REB), panel de mutations | | Rapport | Supra | 172,0 |
| 55288 | | | | | | D. mol. maladie héréditaire | Surdité non syndromique; <i>GJB2</i> , Connexine 26; (séquençage, régions codantes complètes) | | Rapport | Supra | 242,0 |
| 55290 | | | | | | D. mol. maladie héréditaire | Surdité non syndromique; <i>GJB2</i> , <i>GJB6</i> ; (séquençage, mutation individuelle) | | Rapport | Supra | 156,0 |
| 55292 | | | | | | D. mol. maladie héréditaire | Surdité non syndromique; <i>GJB6</i> , Connexine 30, 2 délétions (TAAN) | | Rapport | Supra | 55,0 |
| 55294 | | | | | | D. mol. maladie héréditaire | Syndrome de l'X fragile; <i>FMR1</i> (expansion de trinuécléotides) | | Rapport | Supra | 89,0 |
| 55298 | | C | D | | | D. mol. maladie héréditaire | Syndrome de Prader-Willi, syndrome d'Angelman; (MS-TAAN, profil de méthylation et détection du nombre de copies par MLPA) | | Rapport | Supra | 142,0 |
| 55300 | | | | | | D. mol. maladie héréditaire | Syndrome de RETT, gène <i>MECP2</i> (séquençage et MLPA) | | Rapport | Supra | 467,0 |
| 55302 | | | | | | D. mol. maladie héréditaire | Syndrome triple H ou syndrome de l'hyperornithinémie-hyperammoniémie-homocitrullinurie (SLC25A15: p.Phe188del) (séquençage) | | Rapport | Supra | 189,0 |
| 55305 | | | | | | Dépistage prénatal | Test génomique prénatal non invasif (TGPNi) | | Rapport | Supra | 402,0 |
| 55311 | * | | | | | D. mol. maladie héréditaire | Offre populationnelle – Quatre maladies récessives du Saguenay – Lac-Saint-Jean; (<i>SACS</i> 6594ΔT, <i>SACS</i> 5254C>T, LRPPRC C1061T, <i>SLC12A6</i> 2436ΔG, <i>FAH</i> IVS12+5G>A; (TAAN) recherche de mutations sur prélèvement de cellules buccales | | Rapport | Régional désigné | 25,0 |
| 55312 | * | | | | | D. mol. maladie héréditaire | Offre populationnelle – Quatre maladies récessives du Saguenay–Lac-Saint-Jean; (<i>ALC-SLSJ</i> ; <i>TH1</i> ; <i>NSM</i> / <i>ACC</i> ; <i>ARSACS</i>) (TAAN) – recherche de mutations individuelles sur prélèvement de cellules buccales | | Rapport | Régional désigné | 25,0 |
| 55313 | * | C | VP | | | D. mol. maladie héréditaire | Quatre maladies récessives du Saguenay–Lac-Saint-Jean; (<i>SACS</i> 6594ΔT, <i>SACS</i> 5254C>T, LRPPRC C1061T, <i>SLC12A6</i> 2436ΔG, <i>FAH</i> IVS12+5G>A; (TAAN) recherche de mutations sur prélèvement sanguin ou liquide biologique | | Rapport | Supra | 31,0 |

C : procédures modifiées N : procédures ajoutées * : réfère à des indications spécifiques de la partie texte du Répertoire I : ajout après évaluation

| Code | Réf. texte | Modif | Type modif. | RQDM | INESSS | Sous-section | Description | Réf. code num. | Élément de compte | Hiérarchie | VP 23-24 |
|-------|------------|-------|-------------|------|--------|-------------------------------|---|----------------|-------------------|------------|----------|
| 55314 | * | C | VP | | | D. mol. maladie héréditaire | Quatre maladies récessives du Saguenay–Lac-Saint-Jean; (ALC-SLSJ; TH1; NSM /ACC; ARSACS) (TAAN) – recherche de mutations individuelles sur prélèvement sanguin ou liquide biologique | | Rapport | Supra | 38,0 |
| 55315 | | | | | I | D. mol. maladie héréditaire | Mucopolidose de type II (MLII); <i>GNPTAB</i> : c.3503_3504delTC (séquençage, mutation individuelle) | | Rapport | Supra | 197,0 |
| 55318 | | C | VP | | | D. mol. maladie héréditaire | Maladies héréditaires; mutation familiale pour confirmation ou dépistage familial (séquençage) | | Rapport | Supra | 199,0 |
| 55319 | | N | | R | | D. mol. maladie héréditaire | Maladies héréditaires; mutation familiale pour confirmation ou dépistage familial (SNG)) | | Rapport | Supra | 1,0 |
| 55320 | | C | D | | I | D. mol. maladie héréditaire | Tyrosinémie héréditaire de type 1; <i>FAH</i> (14 exons) (séquençage Sanger) | | Rapport | Supra | 326,0 |
| 55330 | | C | VP | R | I | D. mol. Maladie héréditaire | Panel virtuel ciblé de gènes associés aux dystrophies musculaires analysés à partir des données de séquençage de l'exome (interprétation seulement) | | Rapport | Supra | 243,0 |
| 55332 | | C | VP | R | I | D. mol. Maladie héréditaire | Panel virtuel ciblé de gènes associés aux myopathies congénitales analysés à partir des données de séquençage de l'exome (interprétation seulement) | | Rapport | Supra | 243,0 |
| 55334 | | C | VP | R | I | D. mol. Maladie héréditaire | Panel virtuel ciblé de gènes associés aux myasthénies congénitales analysés à partir des données de séquençage de l'exome (interprétation seulement) | | Rapport | Supra | 243,0 |
| 55336 | | C | VP | R | I | D. mol. Maladie héréditaire | Panel virtuel ciblé de gènes associés aux hyperthermies malignes analysés à partir des données de séquençage de l'exome (interprétation seulement) | | Rapport | Supra | 218,0 |
| 55338 | | C | VP | R | I | D. mol. Maladie héréditaire | Panel virtuel ciblé de gènes associés aux rhabdomyolyses analysés à partir des données de séquençage de l'exome (interprétation seulement) | | Rapport | Supra | 243,0 |
| 55340 | | C | VP | R | I | D. mol. Maladie héréditaire | Panel virtuel global de gènes associés aux maladies musculaires à partir des données de séquençage de l'exome (interprétation seulement) | | Rapport | Supra | 268,0 |
| 55350 | | C | VP | R | I | D. mol. Maladie héréditaire | Panel virtuel ciblé de gènes associés à la sclérose latérale amyotrophique analysés à partir des données de séquençage de l'exome (interprétation seulement) | | Rapport | Supra | 243,0 |
| 55352 | | | | R | I | D. mol. Maladie héréditaire | Analyse d'expansion des répétitions <i>ATXN2</i> (TAAN) | | Rapport | Supra | 107,0 |
| 55354 | | | | R | I | D. mol. Maladie héréditaire | Analyse d'expansion des répétitions <i>C9orf72</i> (TAAN) | | Rapport | Supra | 196,0 |
| 55356 | | | | R | I | D. mol. Maladie héréditaire | Séquençage des gènes <i>SOD1</i> , <i>FUS</i> et <i>TARDBP</i> (SNG) | | Rapport | Supra | 378,0 |
| 55360 | | C | VP | R | I | D. mol. Maladie héréditaire | Panel virtuel ciblé de gènes associés à la déficience intellectuelle analysés à partir des données de séquençage de l'exome (interprétation seulement) | | Rapport | Supra | 218,0 |
| 55365 | | | | R | I | D. mol. maladie héréditaire | Séquençage des gènes liés au syndrome de Noonan/RASopathie (prénatal et postnatal)(SNG) | | Rapport | Supra | 509,0 |
| 55370 | | C | VP | R | I | D. mol. maladie héréditaire | Panel virtuel ciblé de gènes associés aux maladies mitochondriales liées à des mutations de l'ADN nucléaire analysés à partir des données de séquençage de l'exome (interprétation seulement) | | Rapport | Supra | 218,0 |
| 55372 | | C | VP | R | I | D. mol. maladie héréditaire | Panel virtuel ciblé de gènes associés aux syndromes polymalformatifs analysés à partir des données de séquençage de l'exome (interprétation seulement) | | Rapport | Supra | 343,0 |
| 55374 | | C | D, VP | R | I | D. mol. oncologie héréditaire | Panel des cancers héréditaires pour les tumeurs solides (core panel) (SNG) (technique et interprétation) | | Échantillon | Supra | 566,0 |

C : procédures modifiées N : procédures ajoutées * : réfère à des indications spécifiques de la partie texte du Répertoire I : ajout après évaluation

| Code | Réf. texte | Modif | Type modif. | RQDM | INESS | Sous-section | Description | Réf. code num. | Élément de compte | Hiérarchie | VP 23-24 |
|-------|------------|-------|-------------|------|-------|-------------------------------|--|----------------|-------------------|------------|----------|
| 55376 | | | | R | I | D. mol. oncologie héréditaire | Panel virtuel ciblé de gènes associés au cancer du sein analysés à partir des données du panel des cancers héréditaires (interprétation seulement) | | Rapport | Supra | 1,0 |
| 55378 | | | | R | I | D. mol. oncologie héréditaire | Panel virtuel ciblé de gènes associés au cancer de l'ovaire analysés à partir des données du panel des cancers héréditaires (interprétation seulement) | | Rapport | Supra | 1,0 |
| 55380 | | | | R | I | D. mol. oncologie héréditaire | Panel virtuel ciblé de gènes associés au cancer du pancréas non associé à la pancréatite chronique héréditaire analysés à partir des données du panel des cancers héréditaires (interprétation seulement) | | Rapport | Supra | 1,0 |
| 55382 | | | | R | I | D. mol. oncologie héréditaire | Panel virtuel ciblé de gènes associés au cancer de la prostate analysés à partir des données du panel des cancers héréditaires (interprétation seulement) | | Rapport | Supra | 1,0 |
| 55384 | | | | R | I | D. mol. oncologie héréditaire | Panel virtuel ciblé de gènes associés au cancer de l'endomètre analysés à partir des données du panel des cancers héréditaires (interprétation seulement) | | Rapport | Supra | 1,0 |
| 55386 | | | | R | I | D. mol. oncologie héréditaire | Panel virtuel ciblé de gènes associés au cancer du côlon analysés à partir des données du panel des cancers héréditaires (interprétation seulement) | | Rapport | Supra | 1,0 |
| 55388 | | | | R | I | D. mol. oncologie héréditaire | Panel virtuel ciblé de gènes associés aux polyposes colorectales analysés à partir des données du panel des cancers héréditaires (interprétation seulement) (excluant le syndrome de Lynch) | | Rapport | Supra | 1,0 |
| 55390 | | | | R | I | D. mol. oncologie héréditaire | Panel virtuel ciblé de gènes associés aux cancers gastriques héréditaires analysés à partir des données du panel des cancers héréditaires (interprétation seulement) | | Rapport | Supra | 1,0 |
| 55392 | | N* | VP | R | | D. mol. oncologie héréditaire | Panel virtuel ciblé de gènes de prédisposition aux tumeurs solides pédiatriques; analysé à partir des données de séquençage de l'exome (interprétation seulement) | | Rapport | Supra | 199,0 |
| 55393 | | N* | VP | R | | D. mol. oncologie héréditaire | Panel virtuel ciblé de gènes de prédisposition aux tumeurs hématologiques pédiatriques, cytopénie, insuffisance médullaire; analysé à partir des données de séquençage de l'exome (interprétation seulement) | | Rapport | Supra | 199,0 |
| 55400 | | N | | R | | D. mol. maladie héréditaire | Vérification de l'identité de l'échantillon (génotypage SNaPshot) (ADN) | | Échantillon | Supra | 44,0 |
| 55402 | | N | | R | | D. mol. maladie héréditaire | Vérification de l'identité de l'échantillon (génotypage SNaPshot) (ARN) | | Échantillon | Supra | 71,0 |
| 60000 | | | | | | Pathologie clinique | Assistance à autopsie Creutzfeldt-Jakob (incluant tous prélèvements) | | Usager | Supra | 224,0 |
| 60002 | * | C | VP | | | Pathologie clinique | Assistance à autopsie métabolique ou mort subite du nourrisson (incluant radiologie, éviscération et tous prélèvements) (réservé à pédiatrie) | | Usager | Supra | 243,0 |
| 60003 | | | | | | Pathologie-fertilité | Anti-spermatozoïdes (sperme / sérum) (IgG et IgA) | | Rapport | Régional | 29,0 |
| 60005 | * | | | | | Pathologie-fertilité | Conservation des paillettes de sperme (banque de sperme) | | Paillette | Régional | 3,5 |
| 60006 | | | | | | Pathologie-fertilité | Cryopréservation (sperme) (transformation) | | Usager | Régional | 66,0 |
| 60030 | | | | | | Pathologie clinique | Assistance à autopsie (incluant éviscération et tous prélèvements, excluant prélèvement de moelle épinière) | | Usager | Local | 281,0 |
| 60031 | | C | VP | | | Pathologie clinique | Assistance à autopsie foetale (incluant placenta et tous prélèvements) | | Usager | Local | 159,0 |

| Code | Réf. texte | Modif | Type modif. | RQDM | INESSS | Sous-section | Description | Réf. code num. | Élément de compte | Hiérarchie | VP 23-24 |
|-------|------------|-------|-------------|------|--------|----------------------|--|----------------|-------------------|------------------|----------|
| 60040 | * | C | VP | | I | Pathologie clinique | Cancer du poumon non à petites cellules (CPNPC); PD-L1 (immunohistochimie) | | Lame | Régional désigné | 119,0 |
| 60041 | * | | | | I | Pathologie clinique | Cancer du poumon non à petites cellules (CPNPC); ALK (immunohistochimie) | | Lame | Régional désigné | 18,4 |
| 60042 | * | | | | | Pathologie clinique | Cancer colorectal; MSI (MSH, MLH1, MSH2, MSH6 et PMS2) (immunohistochimie) | | Lame | Régional | 34,0 |
| 60044 | * | C | VP | | I | Pathologie clinique | Analyse de ROS1 par immunohistochimie (IHC) | | Lame | Régional désigné | 45,0 |
| 60046 | * | C | VP | | I | Pathologie clinique | Marqueurs tumoraux spécifiques (PD-L1) (immunohistochimie) (par marqueur, incluant le décompte) | | Lame | Régional désigné | 114,0 |
| 60050 | | | | | | Pathologie clinique | Coloration spéciale | | Lame | Local | 24,0 |
| 60051 | | | | | | Pathologie clinique | Coloration spéciale : lame grand format | | Lame | Régional | 32,0 |
| 60090 | | | | | | Pathologie clinique | Coloration de routine, tissu paraffiné, lame grand format | | Lame | Régional | 20,0 |
| 60100 | * | | | | | Pathologie clinique | Mise en cassette avec ou sans assistance au pathologiste, résident ou assistant pathologiste | | Cassette | Local | 1,2 |
| 60101 | | | | | | Prélèvements | Assistance pour prélèvement de biopsie (pour pathologie ou cytologie) (excluant déplacement) | | Usager | Local | 12,3 |
| 60120 | | C | VP | | | Pathologie clinique | Description de placenta (mise en cassette non incluse) | | Spécimen | Local | 30,0 |
| 60122 | * | C | VP | | | Pathologie clinique | Description macroscopique de pièces chirurgicales complexes effectuée par un technologiste médical ou assistant-pathologiste (mise en cassette non incluse) | | Spécimen | Local | 12,9 |
| 60124 | * | C | VP | | | Pathologie clinique | Description macroscopique de pièces chirurgicales non complexes effectuée par un technologiste médical ou assistant-pathologiste (mise en cassette non incluse) | | Spécimen | Local | 3,5 |
| 60128 | * | | | | | Pathologie clinique | Description macroscopique de pièces chirurgicales très complexes effectuée par un technologiste médical ou assistant-pathologiste (mise en cassette non incluse) | | Spécimen | Local | 51,0 |
| 60130 | | N* | | | | Pathologie clinique | Coronavirus (SRAS-CoV-2); Détection par hybridation <i>in situ</i> chromogénique (RNA Scope) | | Lame | Supra | 189,0 |
| 60140 | | C | VP | | | Pathologie clinique | Enrobage dans agar et fixation pour micro-spécimen | | Cassette | Local | 4,6 |
| 60141 | | | | | | Pathologie clinique | Examen extemporané (coloration incluse) | | Lame | Local | 12,6 |
| 60142 | * | C | VP | | | Pathologie clinique | Examen extemporané exclusivement pour chirurgie de MOH'S | | Lame | Régional désigné | 29,0 |
| 60148 | | C | VP | | | Pathologie clinique | Immunohisto/cytochimie (double marquage) (immunohistochimie) (contrôles inclus) | | Lame | Local | 28,0 |
| 60150 | | C | VP | | | Pathologie clinique | Immunofluorescence sur tissu | | Lame | Régional | 27,0 |
| 60151 | * | | | | | Pathologie clinique | Immunohisto/cytochimie (immunohistochimie) (contrôles inclus) | | Lame | Local | 21,0 |
| 60162 | | | | | | Pathologie-fertilité | Préparation d'une paillette achetée d'une banque pour insémination (lavée et non lavée) | | Paillette | Régional | 27,0 |
| 60163 | | | | | | Pathologie-fertilité | Préparation de paillette pour insémination (sperme du conjoint) (lavée et non lavée) | | Paillette | Régional | 10,9 |
| 60168 | | C | VP | | | Pathologie clinique | Préparation de ruban de tissu paraffiné pour extraction des acides nucléiques | | Bloc | Local | 5,2 |

| Code | Réf. texte | Modif | Type modif. | RQDM | INESSS | Sous-section | Description | Réf. code num. | Élément de compte | Hiérarchie | VP 23-24 |
|-------|------------|-------|-------------|------|--------|-------------------------|---|----------------|-------------------|------------------|----------|
| 60178 | * | | | | | Pathologie clinique | Préparation de lames blanches (pour l'envoi de lames pour technique hors de l'installation ou pour préservation de tissus précieux) | | Lame | Local | 2,6 |
| 60180 | * | C | VP | | | Pathologie clinique | Photographie macroscopique pour chirurgie ou autopsie (déposée au dossier) effectuée par un technologiste médical ou assistant-pathologiste | | Photo | Local | 2,7 |
| 60189 | * | | | | | Pathologie clinique | Biomarqueurs immunohistochimiques (à but thérapeutique) (par marqueur, incluant le décompte) | | Lame | Régional | 23,0 |
| 60190 | | | | | | Pathologie clinique | Radiographie de pièces chirurgicales ou blocs (excluant le déplacement) | | Photo | Local | 7,0 |
| 60200 | * | | | | | Pathologie clinique | Coloration de routine, tissu paraffiné | | Lame | Local | 3,7 |
| 60301 | | | | | | Pathologie clinique | Histo-enzymologie (musculaire ou nerveuse) | | Lame | Supra | 92,0 |
| 60351 | | | | | | Pathologie clinique | Nerf, sans micro dissection | | Rapport | Supra | 48,0 |
| 60352 | | | | | | Pathologie clinique | Analyse histomorphométrique d'un spécimen osseux non décalcifié | | Rapport | Supra | 822,0 |
| 60441 | * | | | | | Cytologie | Cytologie gynécologique en milieu liquide (préparation) | | Lame | Régional | 11,7 |
| 60442 | * | | | | | Cytologie | Cytologie non gynécologique en milieu liquide (préparation) | | Lame | Régional | 13,5 |
| 60470 | * | | | | | Cytologie | Frottis cervicaux-vaginaux (incluant milieu liquide) (lecture seulement par cytologiste) | | Lame | Régional | 8,9 |
| 60471 | * | | | | | Cytologie | Frottis non-gynécologique ou cyto centrifugation (préparation et coloration) | | Lame | Local | 9,8 |
| 60472 | * | | | | | Cytologie | Frottis non-gynécologique ou cyto centrifugation (incluant milieu liquide) (lecture seulement par cytologiste) | | Lame | Régional | 8,1 |
| 60473 | * | | | | | Cytologie | Frottis cervicaux-vaginaux (préparation et coloration) | | Lame | Local | 3,1 |
| 60490 | | | | | | Hémato-immunocytométrie | Ploïdie sur tissus frais ou congelés | | Rapport | Supra | 66,0 |
| 60500 | | | | | | Pathologie clinique | Radiographie d'un corps (autopsie) (excluant déplacement) | | Usager | Local | 43,0 |
| 60543 | * | | | | | Pathologie clinique | Recherche de ganglion par dégraissage effectuée par un technologiste médical ou assistant-pathologiste | | Spécimen | Local | 49,0 |
| 60544 | * | C | VP | | | Pathologie clinique | Recherche de ganglion par palpation effectuée par un technologiste médical ou assistant-pathologiste | | Spécimen | Local | 57,0 |
| 60570 | * | C | H | | | Pathologie clinique | Marqueurs tumoraux spécifiques (HER 2/neu) (immunohistochimie) (par marqueur, incluant le décompte) | | Lame | Régional désigné | 65,0 |
| 60572 | * | | | | | Pathologie clinique | Microscopie électronique : de semi-fine jusqu'à rapport | | Usager | Supra | 249,0 |
| 60573 | * | | | | | Pathologie clinique | Microscopie électronique : jusqu'à l'enrobage à l'épon | | Usager | Supra | 137,0 |
| 60589 | | N | | | | Pathologie clinique | Prélèvement du cerveau | | Usager | Local | 60,0 |
| 60590 | | | | | | Pathologie clinique | Ploïdie sur tissus paraffinés | | Rapport | Supra | 163,0 |
| 60591 | | | | | | Pathologie clinique | Prélèvement de moelle épinière complète | | Usager | Local | 40,0 |

ANALYSES 2023-2024
DE BIOLOGIE MÉDICALE (ORDRE NUMÉRIQUE)

| Code | Réf. texte | Modif | Type modif. | RQDM | INESSS | Sous-section | Description | Réf. code num. | Élément de compte | Hiérarchie | VP 23-24 |
|-------|------------|-------|-------------|------|--------|----------------------|---|----------------|-------------------|------------------|----------|
| 60594 | | | | | | Pathologie-fertilité | Spermoconcentration et stimulation (lavage de sperme-gradient) | | Usager | Régional | 65,0 |
| 60595 | | | | | | Pathologie-fertilité | Spermogramme complet assisté par ordinateur (CASA) | | Rapport | Local | 25,0 |
| 60596 | | | | | | Pathologie-fertilité | Viabilité des spermatozoïdes (coloration éosine - négrosine) | | Rapport | Local | 5,8 |
| 60611 | | C | VP | | | Pathologie clinique | Description macroscopique sans production de lame, bloc ou cassette | | Spécimen | Local | 4,4 |
| 60631 | | | | | | Pathologie-fertilité | Spermoconcentration et stimulation (lavage de sperme - SWIMM-UP) | | Usager | Régional | 39,0 |
| 60632 | | | | | | Pathologie-fertilité | Spermogramme complet (test de fertilité) ou vaso-vasostomie | | Rapport | Local | 38,0 |
| 60633 | | | | | | Pathologie-fertilité | Spermogramme partiel (post-vasectomie) | | Rapport | Local | 17,8 |
| 60700 | * | | | | | Télé-pathologie | Numérisation lame (pathologie numérique), effectuée par un technologiste médical | | Lame | Local | 3,6 |
| 60701 | * | | | | | Télé-pathologie | Création d'un dossier dans un système de traitement d'images numérisées (pathologie numérique) | | Rapport | Local | 9,0 |
| 60702 | * | | | | | Télé-pathologie | Prise d'image macroscopique (déposée au dossier) (télépathologie) | | Photo | Local | 2,2 |
| 60705 | * | | | | | Télé-pathologie | Session macroscopique de pièces chirurgicales (télépathologie), effectuée par un technologiste médical (mise en cassette non incluse) | | Spécimen | Local | 16,2 |
| 65000 | | N | | R | | D. mol. oncologie | Cancer du sein; test pronostique pour les tumeurs (Prosigna™) (hybridation d'ARN) | | Rapport | Supra | 2811,0 |
| 65001 | | N | | R | | D. mol. oncologie | Cancer du sein; test pronostique pour les tumeurs (Endopredict®) (TAAN) | | Rapport | Supra | 2987,0 |
| 65002 | | | | | | D. mol. oncologie | Cancers; BRAF, détection de la mutation Val600Glu (TAAN) | | Rapport | Supra | 100,0 |
| 65003 | | | | R | I | D. mol. oncologie | Cancer colorectal, KRAS, NRAS (codon 12, 13, 59, 61, 117, 146), BRAF (codon 600) (SNG) | | Rapport | Supra | 402,0 |
| 65004 | | | | | | D. mol. oncologie | Cancer du côlon; (instabilité des microsatellites, consensus 5 marqueurs) | | Rapport | Supra | 243,0 |
| 65005 | | | | R | | D. mol. oncologie | Cancer de l'ovaire, BRCA1 et BRCA2 - recherche de mutations sur tumeur solides (SNG) | | Rapport | Supra | 594,0 |
| 65006 | | | | | | D. mol. oncologie | Cancer du poumon; EGFR (exons 18 - 21) panel de mutations somatiques (TAAN) | | Rapport | Supra | 204,0 |
| 65007 | | | | R | | D. mol. oncologie | Cancer de la prostate, BRCA1 et BRCA2 - recherche de mutations sur tumeur solides (SNG) | | Rapport | Supra | 594,0 |
| 65008 | * | | | | | D. mol. oncologie | Cancer du sein et de l'estomac, détection (ERBB2 ou HER2/neu) (FISH) (par marqueur, incluant le décompte) | | Lame | Régional désigné | 199,0 |
| 65010 | | | | | | D. mol. oncologie | Carcinome rénal (PRCC-TFE3 de la t(X;1)) (TAAN sur tissus) | | Rapport | Supra | 307,0 |
| 65011 | | N* | | | I | D. mol. Oncologie | Cancer du poumon non à petites cellules (CPNPC); EGFR; mutation Thr790Met (exon 20) sur ADN tumoral circulant (biopsie liquide) | | Rapport | Supra | 72,0 |
| 65012 | | | | | | D. mol. oncologie | Carcinome rénal (alpha-TFEB de la t(6;11)) (TAAN sur tissus) | | Rapport | Supra | 285,0 |
| 65013 | | N* | | | | D. mol. oncologie | Cancer du sein ; PIK3CA ; recherche de 11 mutations (exons 7, 9 et 20) (TAAN) | | Rapport | Supra | 281,0 |
| 65014 | | | | | | D. mol. oncologie | Chondrosarcome myxoïde (EWSR1-TEC de la t(9;22) et TAF2N-TEC de la t(9;17)) (TAAN sur tissus) | | Rapport | Supra | 307,0 |

C : procédures modifiées N : procédures ajoutées * : réfère à des indications spécifiques de la partie texte du Répertoire I : ajout après évaluation

| Code | Réf. texte | Modif | Type modif. | RQDM | INESS | Sous-section | Description | Réf. code num. | Élément de compte | Hiérarchie | VP 23-24 |
|-------|------------|-------|-------------|------|-------|-----------------------------|--|----------------|-------------------|------------|----------|
| 65016 | | | | | | D. mol. oncologie | Clonalité lymphocytaire B chaînes légères (TAAN, méthode BIOMED-2) | | Rapport | Supra | 197,0 |
| 65018 | | | | | | D. mol. oncologie | Clonalité lymphocytaire B chaînes lourdes (TAAN, méthode BIOMED-2) | | Rapport | Supra | 130,0 |
| 65020 | * | | | | | D. mol. oncologie | Clonalité lymphocytaire T chaînes B, G et D (TAAN, méthode BIOMED-2) | | Rapport | Supra | 263,0 |
| 65022 | | | | | | D. mol. oncologie | Co délétion - chromosome 1p et 19q (FISH) | | Sonde | Supra | 231,0 |
| 65030 | | | | | | D. mol. oncologie | Dermato-Fibrosarcome (<i>COL1A1-PDGFB</i> de la t(17;22) (TAAN sur tissus) | | Rapport | Supra | 269,0 |
| 65032 | | | | | | D. mol. hématologie | Identification du point de cassure <i>BCR-ABL1</i> par PCR multiplex de la t(9;22) (TAAN) | | Résultat | Supra | 99,0 |
| 65034 | | | | | | D. mol. maladie héréditaire | Dysplasie fibreuse / Syndrome de McCune-Albright, mutations aux codons Arg201 et Gln227 du gène <i>GNAS1</i> (TAAN sur tissus) | | Rapport | Supra | 137,0 |
| 65036 | | | | | I | D. mol. oncologie | Dihydropyrimidine déshydrogénase (DPYD), mutations c.1905+1G>A (DPYD*2A), c.2846A>T, c.1679T>G et c.1129-5923C>G (TAAN) | | Rapport | Supra | 36,0 |
| 65040 | | | | | | D. mol. oncologie | Fibrosarcome congénital t(12;15) (TAAN) | | Rapport | Supra | 174,0 |
| 65042 | | | | | I | D. mol. oncologie | Lymphome lymphoplasmocytaire, MYD88, détection de la mutation Leu265Pro (TAAN) | | Rapport | Supra | 72,0 |
| 65050 | | | | | | D. mol. oncologie | GIST: <i>CKIT</i> et <i>PDGFRA</i> (12 séquençages) | | Rapport | Supra | 415,0 |
| 65065 | | | | | I | D. mol. oncologie | Cancer du cerveau; <i>IDH1</i> (R132), <i>IDH2</i> (R172) (TAAN, mutations individuelles) | | Rapport | Supra | 173,0 |
| 65070 | | | | | | D. mol. oncologie | Cancer du côlon; <i>KRAS</i> , recherche de mutations ciblées (exons 2, 3, 4) (TAAN) | | Rapport | Supra | 132,0 |
| 65080 | | | | | | D. mol. hématologie | Leucémie LLA (2 amplifications) détection de translocations (TAAN) | | Rapport | Supra | 174,0 |
| 65082 | | | | | | D. mol. hématologie | Leucémie LLC, <i>Igh Vh</i> (séquençage) | | Rapport | Supra | 185,0 |
| 65084 | | | | | | D. mol. hématologie | Leucémie LMA, détection de translocation t(8;21) 2 amplifications (TAAN) | | Résultat | Supra | 106,0 |
| 65086 | | | | | | D. mol. hématologie | Leucémie LMA, détection de l'inversion (16) 2 amplifications (TAAN) | | Résultat | Supra | 104,0 |
| 65088 | | | | | | D. mol. hématologie | Leucémie LMA (mutation <i>FLT3/ITD</i>) | | Résultat | Supra | 75,0 |
| 65090 | | | | | | D. mol. hématologie | Leucémie LMA (mutation <i>FLT3/TKD</i>) (TAAN) | | Résultat | Supra | 113,0 |
| 65091 | | C | VP | R | I | D. mol. hématologie | Leucémie LMA, stratification pronostique, panel 8 gènes (SNG) | | Rapport | Supra | 799,0 |
| 65092 | | | | | | D. mol. hématologie | Leucémie LMC et LLA (<i>BCR-ABL1</i> de la t(9;22)) (TAAN quantitatif) | | Résultat | Supra | 104,0 |
| 65094 | | | | | | D. mol. hématologie | Leucémie LPA (FAB-M3), <i>PML/RAR</i> de la t(15;17) amplification simple (TAAN quantitatif) | | Résultat | Supra | 114,0 |
| 65096 | | | | | | D. mol. hématologie | Leucémie LPA (FAB-M3), <i>PML/RAR</i> de la t(15;17) (TAAN niché) | | Résultat | Supra | 30,0 |
| 65098 | | | | | | D. mol. hématologie | Leucémie LMA (mutation <i>C/EPBa</i>) (séquençage) | | Rapport | Supra | 669,0 |
| 65120 | | | | | | D. mol. hématologie | Leucémie - prédisposition familiale, gène <i>RUNX1</i> (séquençage) | | Résultat | Supra | 235,0 |

| Code | Réf. texte | Modif | Type modif. | RQDM | INESSS | Sous-section | Description | Réf. code num. | Élément de compte | Hiérarchie | VP 23-24 |
|-------|------------|-------|-------------|------|--------|----------------------------------|---|----------------|-------------------|------------|----------|
| 65121 | | | | | | D. mol. hématologie | Leucémie - prédisposition familiale, gène PAX5 (séquençage) | | Rapport | Supra | 277,0 |
| 65122 | | C | VP | | | D. mol. cancérologie héréditaire | Mutations germinales - prédisposition familiale, gène TP53 (séquençage) | | Rapport | Supra | 299,0 |
| 65128 | | N | | R | | D. mol. oncologie | Leucémies et tumeurs solides: validation de translocations (TAAN) | | Rapport | Supra | 364,0 |
| 65130 | | | | | | D. mol. oncologie | Liposarcome myxoïde (FUS-CHOP de la t(12;16), EWRS1-CHOP de la t(12;22)) (TAAN) sur tissus | | Rapport | Supra | 307,0 |
| 65132 | | | | | | D. mol. oncologie | Lymphome à cellule du manteau (BCL-1) (TAAN) | | Résultat | Supra | 100,0 |
| 65134 | | | | | | D. mol. oncologie | Lymphome à grandes cellules t(2;5) (TAAN) | | Rapport | Supra | 174,0 |
| 65136 | | | | | | D. mol. oncologie | Lymphome de Burkitt recherche de translocation cMYC (TAAN) | | Rapport | Supra | 200,0 |
| 65138 | | | | | | D. mol. oncologie | Lymphome folliculaire, recherche de translocation (BCL-2 de la t(14;18)) (TAAN) | | Résultat | Supra | 127,0 |
| 65145 | | C | VP | | I | D. mol. hématologie | Mutation du gène CALR, exon 9 (TAAN) | | Résultat | Supra | 14,2 |
| 65147 | | | | | I | D. mol. oncologie | Méthylation du gène de l'O-6-méthylguanine-ADN méthyltransférase (MGMT) | | Rapport | Supra | 147,0 |
| 65148 | | C | VP | | | D. mol. hématologie | Myélofibrose primaire et thrombocytémie essentielle; MPL; mutations Trp515Leu, Trp515Lys, Trp515Ala et Ser505Asn (exon 10) (TAAN) | | Rapport | Supra | 12,5 |
| 65149 | | | | | I | D. mol. oncologie | Cancer du côlon; NRAS, recherche de mutations ciblées (exons 2, 3, 4; codons 12, 13, 61 et 146) (TAAN) | | Rapport | Supra | 218,0 |
| 65150 | | | | | | D. mol. hématologie | Leucémie LMA, nucléophosmine gène NPM1 (exon 12) (TAAN) | | Résultat | Supra | 137,0 |
| 65155 | | | | | | D. mol. hématologie | Polycythémie vraie (mutation JAK2-Val617Phe) (TAAN) | | Rapport | Supra | 153,0 |
| 65156 | | C | VP | | I | D. mol. hématologie | Polycythémie vraie; JAK2; mutations exon 12 (TAAN) | | Rapport | Supra | 36,0 |
| 65160 | | | | | | D. mol. oncologie | Recherche des chaînes légères Kappa, Lambda ou du virus EBV par hybridation <i>in situ</i> chromogénique (CISH) | | Rapport | Régional | 146,0 |
| 65162 | | | | | | D. mol. oncologie | Rhabdomyosarcome alvéolaire t(1;13) t(2;13) (TAAN) | | Rapport | Supra | 208,0 |
| 65164 | | | | | | D. mol. oncologie | Sarcome à cellules claires ou histiocytome fibreux angiomatoïde (FUS-ATF1 de la t(12;16), EWRS1-CREB1 de la t(12;22), EWRS1-CREB1 de la t(2;22)) (TAAN) | | Rapport | Supra | 347,0 |
| 65166 | | | | | | D. mol. oncologie | Sarcome alvéolaire des tissus mous (ASPL-TFE3 de la t(X;17) (TAAN) | | Rapport | Supra | 269,0 |
| 65168 | | | | | | D. mol. oncologie | Sarcome Ewing EWS/FL1 t(11;22) et EWS/ERG t(21;22) (TAAN) | | Rapport | Supra | 205,0 |
| 65170 | | | | | | D. mol. oncologie | Sarcome fibromyxoïde de bas grade (FUS-CREB3L2 de la t(7;16), FUS-CREB3L1 de la t(11;16)) (TAAN) | | Rapport | Supra | 328,0 |
| 65172 | | | | | | D. mol. oncologie | Sarcome synovial t(x;18) (TAAN) | | Rapport | Supra | 209,0 |
| 65174 | | | | R | I | D. mol. oncologie | Sarcome des tissus mous et osseux; analyse des translocations (SNG) | | Rapport | Supra | 905,0 |
| 65180 | | | | | | D. mol. hématologie | Syndrome hyperéosinophilique (FIP1L1-PDGFR α de la délétion 4q12) (TAAN) | | Rapport | Supra | 166,0 |

| Code | Réf. texte | Modif | Type modif. | RQDM | INESSS | Sous-section | Description | Réf. code num. | Élément de compte | Hiérarchie | VP 23-24 |
|-------|------------|-------|-------------|------|--------|-------------------------------|--|----------------|-------------------|------------|----------|
| 65182 | | | | | | D. mol. hématologie-oncologie | Néoplasie myelo-proliférative NMP/SMD (<i>ETV6-PDGFRB</i>) de la t(5;12) (TAAN) | | Rapport | Supra | 221,0 |
| 65196 | | | | | | D. mol. oncologie | Tumeur desmoplastique à petites cellules <i>EWS/WT1</i> (TAAN) | | Rapport | Supra | 154,0 |
| 65198 | | | | | | D. mol. oncologie | Tumeurs cérébrales; H3F3A (mutations Lys27Met et Gly34Val/Arg) et HIST1H3B (mutation Lys27Met) (séquençage) | | Rapport | Supra | 181,0 |
| 65199 | | | | | I | D. mol. oncologie | Cancer du poumon non à petites cellules (CPNPC); Réarrangement ALK (FISH) | | Sonde | Supra | 175,0 |
| 65200 | | C | S | | I | D. mol. oncologie | Analyse de ROS1 par hybridation in situ en fluorescence (FISH) | | Lame | Supra | 175,0 |
| 65210 | | N | | R | | D. mol. Oncologie | Préparation de cellules, de moelle et de tissus en oncologie | | Rapport | Local | 51,0 |
| 65217 | | N | | R | | D. mol. Oncologie | Panel virtuel ciblé de gènes de leucémies et tumeurs pédiatriques, analysé à partir des données de séquençage du transcriptome (interprétation seulement) | | Rapport | Supra | 199,0 |
| 65218 | | N | | R | | D. mol. Oncologie | Panel virtuel ciblé de gènes de leucémies et tumeurs pédiatriques, analysé à partir des données de séquençage de l'exome de la tumeur (interprétation seulement) | | Rapport | Supra | 199,0 |
| 65220 | | | | R | I | D. mol. Oncologie | Panel multi-gène à but diagnostique, pronostique ou prédictif pour cancer broncho-pulmonaire (SNG) | | Rapport | Supra | 578,0 |
| 65222 | | N* | | R | I | D. mol. Oncologie | Panel multi-gène à but diagnostique, pronostique ou prédictif pour cancer colorectal (SNG) (Focus Panel) | | Rapport | Supra | 605,0 |
| 65224 | | N* | | R | I | D. mol. Oncologie | Panel multi-gène à but diagnostique, pronostique ou prédictif pour cancer de la thyroïde (SNG) (Focus Panel) | | Rapport | Supra | 605,0 |
| 65226 | | N* | | R | I | D. mol. Oncologie | Panel multi-gène à but diagnostique, pronostique ou prédictif pour carcinome urothélial (SNG) (Focus Panel) | | Rapport | Supra | 605,0 |
| 65228 | | N* | | R | I | D. mol. Oncologie | Panel multi-gène à but diagnostique, pronostique ou prédictif pour mélanomes (SNG) (Focus Panel) | | Rapport | Supra | 605,0 |
| 65230 | | N* | | R | I | D. mol. Oncologie | Panel multi-gène à but diagnostique, pronostique ou prédictif pour tumeur stromale gastro-intestinale (TSGI) (SNG) (Focus Panel) | | Rapport | Supra | 605,0 |
| 65232 | | N* | | R | | D. mol. Oncologie | Panel multi-gène à but diagnostique, pronostique ou prédictif pour cancer du sein (SNG) (Focus Panel) | | Rapport | Supra | 605,0 |
| 65240 | | N* | VP | R | | D. mol. Oncologie | Séquençage transcriptome de la tumeur (cancer pédiatrique) (SNG) | | Rapport | Supra | 1475,0 |
| 65241 | | N* | VP | R | | D. mol. Oncologie | Séquençage exome de la tumeur (cancer pédiatrique) (SNG) | | Rapport | Supra | 1633,0 |
| 65242 | | N* | VP | R | | D. mol. Oncologie | Séquençage exome matériel normal (paire) (cancer pédiatrique) (SNG) | | Rapport | Supra | 408,0 |
| 65245 | | N* | | R | | D. mol. Oncologie | Recherche de mutations myéloïdes (SMD, NMP et CCUS) par panel (SNG) | | Rapport | Supra | 851,0 |
| 70002 | * | | | | | Envoi | Envoi intergrappes (entre les laboratoires de deux grappes différentes) | | Échantillon | Local | 2,7 |
| 70003 | * | | | | | Envoi | Envoi intragrappes (entre les laboratoires d'une même grappe) | | Échantillon | Local | 1,9 |
| 70005 | * | | | | | Envoi | Envoi ou retour de lame/bloc/cassette | | Échantillon | Local | 0,1 |
| 70006 | * | | | | | Envoi | Envoi hors Québec (par établissement) | | Usager | Local | 111,0 |

ANALYSES 2023-2024
DE BIOLOGIE MÉDICALE (ORDRE NUMÉRIQUE)

| Code | Réf. texte | Modif | Type modif. | RQDM | INESSS | Sous-section | Description | Réf. code num. | Élément de compte | Hiérarchie | VP 23-24 |
|-------|------------|-------|-------------|------|--------|-----------------------------|--|----------------|-------------------|------------|----------|
| 70007 | * | | | | | Envoi | Envoi par avion intra-Québec | | Boîte | Local | 224,0 |
| 70008 | * | | | | | Envoi | Envoi sur glace sèche | | Boîte | Local | 6,0 |
| 70019 | | | | | | Prélèvements | Prélèvement du test respiratoire de la détection de <i>l'Helicobacter pylori</i> à l'urée marquée au carbone 13 | | Usager | Local | 37,0 |
| 70020 | * | | | | | Prélèvements | Prélèvement biologique (excluant sang et réception) | | Usager | Local | 11,5 |
| 70021 | * | | | | | Prélèvements | Prélèvement capillaire | | Usager | Local | 23,0 |
| 70022 | | | | | | Prélèvements | Prélèvement d'une unité de sang total, don autologue ou programme de donneur ambulant | | Usager | Local | 25,0 |
| 70023 | * | | | | | Prélèvements | Prélèvement veineux | | Usager | Local | 10,3 |
| 70024 | | | | | | Prélèvements | Prélèvement veineux pédiatrique < 7 ans (incluant l'assistance au prélèvement) | | Usager | Local | 23,0 |
| 70026 | | | | | | Prélèvements | Assistance au prélèvement de moelle osseuse en SOP | | Usager | Local | 163,0 |
| 70027 | | | | | | Prélèvements | Assistance au prélèvement de moelle osseuse ou autre spécimen (excluant déplacement) | | Usager | Local | 61,0 |
| 70028 | | | | | | Prélèvements | Acide pyruvique (prélèvement au chevet et déprotéinisation) | | Usager | Local | 43,0 |
| 70029 | | | | | | Prélèvements | Phlébotomie thérapeutique (saignée) | | Usager | Local | 17,6 |
| 70030 | * | C | D | | | Prélèvements | Habillage avec un équipement de protection individuelle (EPI) dans les unités de soins en isolement | | Usager | Local | 1,9 |
| 75004 | | | | | | D. mol. divers | Contamination maternelle (TAAN) | | Rapport | Supra | 151,0 |
| 75006 | * | C | D | | | D. mol. divers | Extraction ADN ou ARN à partir d'un spécimen clinique | | Spécimen | Supra | 19,2 |
| 75008 | * | C | D | | | D. mol. divers | Extraction ADN ou ARN à partir d'un tissu paraffiné | | Spécimen | Supra | 49,0 |
| 75010 | | C | S | | | D. mol. maladie héréditaire | Technique d'analyse des microsatellites (pour disomie uniparentale) | | Rapport | Supra | 317,0 |
| 75020 | | C | S | R | I | D. mol. maladie héréditaire | Séquençage de l'exome germlinal pour l'investigation des maladies génétiques (SNG) | | Échantillon | Supra | 408,0 |
| 75025 | | N | | R | | D. mol. Divers | Reclassification de variations de signification incertaine pour un panel donné (virtuel ou non) (1-2 variations) | | Rapport | Supra | 99 |
| 75026 | | N | | R | | D. mol. Divers | Reclassification de variations de signification incertaine pour un panel donné (virtuel ou non) (>2 variations) | | Rapport | Supra | 199 |
| 75027 | | N | | R | | D. mol. Divers | Réinterprétation de panels (virtuels ou non) selon le nombre de gènes analysés (2-20 gènes) | | Rapport | Supra | 218 |
| 75028 | | N | | R | | D. mol. Divers | Réinterprétation de panels (virtuels ou non) selon le nombre de gènes analysés (21-100 gènes) | | Rapport | Supra | 243 |
| 75029 | | N | | R | | D. mol. Divers | Réinterprétation de panels (virtuels ou non) selon le nombre de gènes analysés (101-500 gènes) | | Rapport | Supra | 268 |
| 75030 | | N | | R | | D. mol. Divers | Réinterprétation de panels (virtuels ou non) selon le nombre de gènes analysés (>500 gènes) | | Rapport | Supra | 293 |
| 80007 | | | | | | CTQ | Alcools (acétone, éthanol, isopropanol méthanol) (sérum/urine) (GC-MS) | | Résultat | Supra | 51,0 |
| 80008 | | | | | | CTQ | Alprazolam (sérum) (LC-MS-MS) | | Résultat | Supra | 87,0 |

C : procédures modifiées N : procédures ajoutées * : réfère à des indications spécifiques de la partie texte du Répertoire I : ajout après évaluation

| Code | Réf. texte | Modif | Type modif. | RQDM | INESSS | Sous-section | Description | Réf. code num. | Élément de compte | Hiérarchie | VP 23-24 |
|-------|------------|-------|-------------|------|--------|--------------|---|----------------|-------------------|------------|----------|
| 80009 | | | | | | CTQ | Aluminium (sérum) | | Résultat | Supra | 50,0 |
| 80010 | | | | | | CTQ | Amitriptyline et nortriptyline (sérum) (LC-MS-MS) | | Résultat | Supra | 87,0 |
| 80012 | | | | | | CTQ | Amphétamines (sérum/urine) (LC-MS-MS) inclut 10 substances | | Résultat | Supra | 98,0 |
| 80013 | | | | | | CTQ | Antidépresseurs tricycliques (sérum) (LC-MS-MS) inclut 11 substances | | Résultat | Supra | 98,0 |
| 80014 | | | | | | CTQ | Antidépresseurs antipsychotiques et non tricycliques (sérum) (LC-MS-MS) inclut 14 substances | | Résultat | Supra | 98,0 |
| 80015 | | | | | | CTQ | Antidépresseurs ISRS (sérum) (LC-MS-MS) inclut 11 substances | | Résultat | Supra | 98,0 |
| 80016 | | | | | | CTQ | Antimoine (urine/sang/sérum) (ICP-MS) | | Résultat | Supra | 50,0 |
| 80017 | | | | | | CTQ | Argent (urine/sang) (ICP-MS) | | Résultat | Supra | 50,0 |
| 80018 | | | | | | CTQ | Arsenic total (urine/sang) (ICP-MS) | | Résultat | Supra | 50,0 |
| 80020 | | | | | | CTQ | Benzodiazépines (urine) (LC-MS-MS) inclut 25 substances | | Résultat | Supra | 98,0 |
| 80024 | | | | | | CTQ | Congénères de biphenyles polychlorés (BPCs), de polybromés (PBDEs), de toxaphènes et les pesticides organochlorés (plasma) (GC-MS) | | Résultat | Supra | 192,0 |
| 80025 | | | | | | CTQ | Bromazépam qualitatif (sérum) (LC-MS-MS) | | Résultat | Supra | 65,0 |
| 80027 | | | | | | CTQ | Cadmium (sang/sérum/urine) (ICP-MS) | | Résultat | Supra | 50,0 |
| 80028 | | | | | | CTQ | Cannabis (Delta9-tétrahydrocannabinol, Cannabidiol, Cannabinol, Carboxy-delta9-tétrahydrocannabinol, 11-Hydroxy-delta9-tétrahydrocannabinol) (sang/sérum/plasma) (LC-MS-MS) | | Résultat | Supra | 82,0 |
| 80030 | | | | | | CTQ | Chrome (sang/sérum/urine) | | Résultat | Supra | 50,0 |
| 80031 | | | | | | CTQ | Citalopram (Celexa®) (sérum) (LC-MS-MS) | | Résultat | Supra | 87,0 |
| 80033 | | | | | | CTQ | Clomipramine (sérum) (LC-MS-MS) | | Résultat | Supra | 87,0 |
| 80034 | | | | | | CTQ | Clozapine (sérum) (LC-MS-MS) | | Résultat | Supra | 87,0 |
| 80036 | | | | | | CTQ | Cobalt (sang/sérum/urine) (ICP-MS) | | Résultat | Supra | 50,0 |
| 80037 | | | | | | CTQ | Cocaine qualitatif (sang/plasma) (LC-MS-MS) inclut 4 substances | | Résultat | Supra | 65,0 |
| 80038 | | | | | | CTQ | Cotinine (sérum/urine) (LC-MS-MS) | | Résultat | Supra | 102,0 |
| 80039 | | | | | | CTQ | Cuivre (sérum) (ICP-MS) | | Résultat | Supra | 50,0 |
| 80040 | | | | | | CTQ | Cyanure (sang) (GC-MS) | | Résultat | Supra | 149,0 |
| 80041 | | | | | | CTQ | Désipramine (Norpramin®) (sérum) (LC-MS-MS) | | Résultat | Supra | 87,0 |
| 80049 | | | | | | CTQ | Diazépam (sérum) (LC-MS-MS) inclut 2 substances | | Résultat | Supra | 87,0 |

C : procédures modifiées N : procédures ajoutées * : réfère à des indications spécifiques de la partie texte du *Répertoire* | : ajout après évaluation

| Code | Réf. texte | Modif | Type modif. | RQDM | INESSS | Sous-section | Description | Réf. code num. | Élément de compte | Hiérarchie | VP 23-24 |
|-------|------------|-------|-------------|------|--------|--------------|---|----------------|-------------------|------------|----------|
| 80050 | | | | | | CTQ | Doxépine (sérum) (LC-MS-MS) | | Résultat | Supra | 87,0 |
| 80052 | | | | | | CTQ | Éthylène glycol (sérum) (GC-MS) | | Résultat | Supra | 76,0 |
| 80054 | | | | | | CTQ | Fer (biopsies) (ICP-MS) | | Résultat | Supra | 138,0 |
| 80055 | | | | | | CTQ | Fluorure (urine) | | Résultat | Supra | 50,0 |
| 80057 | | | | | | CTQ | Fluoxétine (Prozac®) (sérum) (LC-MS-MS) inclut 2 substances | | Résultat | Supra | 87,0 |
| 80059 | | | | | | CTQ | GHB (gamma hydroxybutyrate) (urine) (GC-MS) | | Résultat | Supra | 81,0 |
| 80060 | | | | | | CTQ | Imipramine (sérum) (LC-MS-MS) | | Résultat | Supra | 87,0 |
| 80061 | | | | | | CTQ | Isopropanol (sérum/urine) (GC-MS) | | Résultat | Supra | 51,0 |
| 80063 | | | | | | CTQ | Lorazépam (Ativan®) (sérum) (LC-MS-MS) | | Résultat | Supra | 87,0 |
| 80065 | | | | | | CTQ | Manganèse (sang/sérum/urine) | | Résultat | Supra | 50,0 |
| 80066 | | | | | | CTQ | Maprotiline (Ludomil®) (sérum) (LC-MS-MS) | | Résultat | Supra | 87,0 |
| 80068 | | | | | | CTQ | Mercure total (sang/urine) | | Résultat | Supra | 50,0 |
| 80069 | | | | | | CTQ | Métaux (dépistage quantitatif dans le sang et l'urine) (ICP-MS) | | Résultat | Supra | 141,0 |
| 80074 | | | | | | CTQ | Nickel (sang/sérum/urine) (ICP-MS) | | Résultat | Supra | 50,0 |
| 80075 | | | | | | CTQ | Nitrazépam (Mogadon®) (sérum) (LC-MS-MS) | | Résultat | Supra | 87,0 |
| 80078 | | | | | | CTQ | Nortriptyline (sérum) (LC-MS-MS) | | Résultat | Supra | 87,0 |
| 80080 | | | | | | CTQ | Opiacés (urine) (GC-MS) inclut 8 substances | | Résultat | Supra | 98,0 |
| 80081 | | | | | | CTQ | Or (sérum) (ICP-MS) | | Résultat | Supra | 170,0 |
| 80082 | | | | | | CTQ | Oxazépam (sérum) (LC-MS-MS) | | Résultat | Supra | 87,0 |
| 80084 | | | | | | CTQ | Paroxétine (sérum) (LC-MS-MS) | | Résultat | Supra | 87,0 |
| 80085 | | | | | | CTQ | Phencyclidine (PCP) (sérum/urine) (LC-MS-MS) | | Résultat | Supra | 87,0 |
| 80088 | | | | | | CTQ | Plomb (sang) (ICP-MS) | | Résultat | Supra | 44,0 |
| 80092 | | | | | | CTQ | Risperidone (Risperdal®) (sérum) (LC-MS-MS) inclut 2 substances | | Résultat | Supra | 87,0 |
| 80093 | | | | | | CTQ | Sélénium (sang/sérum/urine) (ICP-MS) | | Résultat | Supra | 50,0 |
| 80094 | | | | | | CTQ | Sertraline (sérum) (LC-MS-MS) | | Résultat | Supra | 87,0 |
| 80095 | | | | | | CTQ | Tellure (urine) (ICP-MS) | | Résultat | Supra | 50,0 |

| Code | Réf. texte | Modif | Type modif. | RQDM | INESSS | Sous-section | Description | Réf. code num. | Élément de compte | Hiérarchie | VP 23-24 |
|-------|------------|-------|-------------|------|--------|--------------|--|----------------|-------------------|------------|----------|
| 80096 | | | | | | CTQ | Thallium (sang/sérum/urine) (ICP-MS) | | Résultat | Supra | 50,0 |
| 80099 | | | | | | CTQ | Dépistage qualitatif de médicaments et drogues (sérum/urine/liquide gastrique) (GC-MS) | | Résultat | Supra | 92,0 |
| 80100 | | | | | | CTQ | Trazodone (Desyrel®) (sérum) (LC-MS-MS) | | Résultat | Supra | 87,0 |
| 80102 | | | | | | CTQ | Triazolam (sérum) (LC-MS-MS) | | Résultat | Supra | 87,0 |
| 80104 | | | | | | CTQ | Trimipramine (sérum) (LC-MS-MS) | | Résultat | Supra | 87,0 |
| 80105 | | | | | | CTQ | Venlafaxine (sérum) (LC-MS-MS) inclut 2 substances | | Résultat | Supra | 87,0 |
| 80106 | | | | | | CTQ | Zinc (sérum) (ICP-MS) | | Résultat | Supra | 50,0 |
| 80109 | | | | | | CTQ | Acébutolol (sérum) (LC-MS-MS) | | Résultat | Supra | 87,0 |
| 80110 | | | | | | CTQ | Acétone (sérum/urine) (GC-MS) | | Résultat | Supra | 51,0 |
| 80112 | | | | | | CTQ | Antimoine (cheveux/tissus) (ICP-MS) | | Résultat | Supra | 80,0 |
| 80113 | | | | | | CTQ | Argent (cheveux/tissus) (ICP-MS) | | Résultat | Supra | 80,0 |
| 80114 | | | | | | CTQ | Arsenic total (cheveux/tissus) (ICP-MS) | | Résultat | Supra | 80,0 |
| 80115 | | | | | | CTQ | Baryum (cheveux/tissus) (ICP-MS) | | Résultat | Supra | 80,0 |
| 80116 | | | | | | CTQ | Baryum (urine/sang/sérum) (ICP-MS) | | Résultat | Supra | 50,0 |
| 80118 | | | | | | CTQ | Béryllium (cheveux/tissus) (ICP-MS) | | Résultat | Supra | 80,0 |
| 80119 | | | | | | CTQ | Béryllium (sang/sérum) (ICP-MS) | | Résultat | Supra | 50,0 |
| 80120 | | | | | | CTQ | Béryllium (urine) (ICP-MS) | | Résultat | Supra | 50,0 |
| 80121 | | | | | | CTQ | Bismuth (cheveux/tissus) (ICP-MS) | | Résultat | Supra | 80,0 |
| 80122 | | | | | | CTQ | Bismuth (sang/sérum/urine) (ICP-MS) | | Résultat | Supra | 50,0 |
| 80126 | | | | | | CTQ | Cadmium (cheveux/tissus) (ICP-MS) | | Résultat | Supra | 80,0 |
| 80128 | | | | | | CTQ | Chrome (cheveux/tissus) (ICP-MS) | | Résultat | Supra | 80,0 |
| 80129 | | | | | | CTQ | Clobazam (sérum) (LC-MS-MS) inclut 2 substances | | Résultat | Supra | 87,0 |
| 80130 | | | | | | CTQ | Clonazépam (sérum) (LC-MS-MS) inclut 2 substances | | Résultat | Supra | 87,0 |
| 80131 | | | | | | CTQ | Cobalt (cheveux/tissus) (ICP-MS) | | Résultat | Supra | 80,0 |
| 80132 | | | | | | CTQ | Cuivre (Biopsies) (ICP-MS) | | Résultat | Supra | 138,0 |
| 80133 | | | | | | CTQ | Cuivre (cheveux/tissus) (ICP-MS) | | Résultat | Supra | 80,0 |

| Code | Réf. texte | Modif | Type modif. | RQDM | INESSS | Sous-section | Description | Réf. code num. | Élément de compte | Hiérarchie | VP 23-24 |
|-------|------------|-------|-------------|------|--------|--------------|--|----------------|-------------------|------------|----------|
| 80134 | | | | | | CTQ | Cuivre (sang/urine) (ICP-MS) | | Résultat | Supra | 50,0 |
| 80135 | | | | | | CTQ | Diltiazem (sérum) (LC-MS-MS) | | Résultat | Supra | 87,0 |
| 80136 | | | | | | CTQ | Étain (Tissus) (ICP-MS) | | Résultat | Supra | 80,0 |
| 80137 | | | | | | CTQ | Étain (sang/urine) (ICP-MS) | | Résultat | Supra | 50,0 |
| 80138 | | | | | | CTQ | Fer (Tissus) (ICP-MS) | | Résultat | Supra | 80,0 |
| 80139 | | | | | | CTQ | Flurazépam (sérum) (LC-MS-MS) inclut 2 substances | | Résultat | Supra | 87,0 |
| 80142 | | | | | | CTQ | Iode (urine) (ICP-MS) | | Résultat | Supra | 77,0 |
| 80143 | | | | | | CTQ | Lithium (cheveux) (ICP-MS) | | Résultat | Supra | 80,0 |
| 80144 | | | | | | CTQ | Lithium (sang/sérum/urine) (ICP-MS) | | Résultat | Supra | 50,0 |
| 80145 | | | | | | CTQ | Magnésium (tissus) (ICP-MS) | | Résultat | Supra | 80,0 |
| 80147 | | | | | | CTQ | Manganèse (cheveux/tissus) (ICP-MS) | | Résultat | Supra | 80,0 |
| 80148 | | | | | | CTQ | Mercure total (cheveux/tissus) | | Résultat | Supra | 80,0 |
| 80149 | | | | | | CTQ | Métaux (dépistage quantitatif dans les cheveux et les ongles) (ICP-MS) | | Résultat | Supra | 138,0 |
| 80150 | | | | | | CTQ | Méthanol (sérum/urine) (GC-MS) | | Résultat | Supra | 51,0 |
| 80151 | | | | | | CTQ | Molybdène (cheveux/tissus) (ICP-MS) | | Résultat | Supra | 80,0 |
| 80152 | | | | | | CTQ | Molybdène (sang/sérum/urine) (ICP-MS) | | Résultat | Supra | 50,0 |
| 80154 | | | | | | CTQ | Nickel (cheveux/tissus) (ICP-MS) | | Résultat | Supra | 80,0 |
| 80159 | | | | | | CTQ | Platine (urine) (ICP-MS) | | Résultat | Supra | 50,0 |
| 80160 | | | | | | CTQ | Plomb (cheveux/tissus) (ICP-MS) | | Résultat | Supra | 80,0 |
| 80161 | | | | | | CTQ | Plomb (urine) (ICP-MS) | | Résultat | Supra | 50,0 |
| 80162 | | | | | | CTQ | Propranolol (sérum) (LC-MS-MS) | | Résultat | Supra | 87,0 |
| 80163 | | | | | | CTQ | Sélénium (cheveux/tissus) (ICP-MS) | | Résultat | Supra | 80,0 |
| 80166 | | | | | | CTQ | Tellure (cheveux/tissus) (ICP-MS) | | Résultat | Supra | 80,0 |
| 80167 | | | | | | CTQ | Témazépam (sérum) (LC-MS-MS) | | Résultat | Supra | 87,0 |
| 80168 | | | | | | CTQ | Thallium (cheveux/tissus) (ICP-MS) | | Résultat | Supra | 80,0 |
| 80170 | | | | | | CTQ | Uranium (cheveux/tissus) (ICP-MS) | | Résultat | Supra | 80,0 |

ANALYSES 2023-2024
DE BIOLOGIE MÉDICALE (ORDRE NUMÉRIQUE)

| Code | Réf. texte | Modif | Type modif. | RQDM | INESSS | Sous-section | Description | Réf. code num. | Élément de compte | Hiérarchie | VP 23-24 |
|-------|------------|-------|-------------|------|--------|--------------|--|----------------|-------------------|------------|----------|
| 80171 | | | | | | CTQ | Uranium (sang/urine) (ICP-MS) | | Résultat | Supra | 50,0 |
| 80172 | | | | | | CTQ | Vanadium (cheveux/tissus) (ICP-MS) | | Résultat | Supra | 80,0 |
| 80173 | | | | | | CTQ | Vanadium (urine) (ICP-MS) | | Résultat | Supra | 50,0 |
| 80175 | | | | | | CTQ | Zinc (cheveux/tissus) (ICP-MS) | | Résultat | Supra | 80,0 |
| 80176 | | | | | | CTQ | Zinc (sang/urine) (ICP-MS) | | Résultat | Supra | 50,0 |
| 80177 | | | | | | CTQ | Zinc protoporphyrine (ZPP) (sang) | | Résultat | Supra | 29,0 |
| 80180 | | | | | | CTQ | Amiodarone (sérum) (LC-MS-MS) inclut 2 substances | | Résultat | Supra | 87,0 |
| 80181 | | | | | | CTQ | Arsenic inorganique (urine) (ICP-MS) | | Résultat | Supra | 69,0 |
| 80183 | | | | | | CTQ | Chlorpromazine (sérum) (LC-MS-MS) | | Résultat | Supra | 87,0 |
| 80185 | | | | | | CTQ | Créatinine urinaire | | Résultat | Supra | 6,0 |
| 80186 | | | | | | CTQ | Cyclobenzaprine (sérum) (LC-MS-MS) | | Résultat | Supra | 87,0 |
| 80187 | | | | | | CTQ | Densité urinaire (réfractomètre) | | Résultat | Supra | 6,0 |
| 80188 | | | | | | CTQ | Dépistage qualitatif de drogues et médicaments en milieu non biologique (GC-MS) | | Résultat | Supra | 120,0 |
| 80190 | | | | | | CTQ | Diphenhydramine (sérum) (LC-MS-MS) | | Résultat | Supra | 87,0 |
| 80191 | | | | | | CTQ | Drogues de rue par méthode immunoenzymatique (amphétamines, barbituriques, benzodiazépines, cannabis, cocaïne, EDDP, fentanyl, opiacés, oxycodone, phencyclidine (résultat semi-quantitatif par drogue recherchée) (urine) | | Résultat | Supra | 25,0 |
| 80194 | | | | | | CTQ | Kétamine (sérum) (LC-MS-MS) | | Résultat | Supra | 87,0 |
| 80196 | | | | | | CTQ | Méthotriméprazine (sérum) (GC-MS) | | Résultat | Supra | 87,0 |
| 80200 | | | | | | CTQ | pH (pH mètre) | | Résultat | Supra | 6,0 |
| 80201 | | | | | | CTQ | Procyclidine (sérum) (LC-MS-MS) | | Résultat | Supra | 87,0 |
| 80202 | | | | | | CTQ | Prométhazine (sérum) (LC-MS-MS) | | Résultat | Supra | 87,0 |
| 80206 | | | | | | CTQ | Antinéoplasiques (5-fluorouracile, cyclophosphamide, gemcitabine, ifosphamide, irinotécan, méthotrexate, paclitaxel, docetaxel et vinorelbine) (surface de travail) (LC-MS-MS) | | Résultat | Supra | 66,0 |
| 80208 | | | | | | CTQ | Amphétamine (sérum) (LC-MS-MS) | | Résultat | Supra | 87,0 |
| 80210 | | | | | | CTQ | Chlordiazépoxide (sérum) (LC-MS-MS) | | Résultat | Supra | 87,0 |
| 80211 | | | | | | CTQ | Dextrométorphan (urine) (GC-MS) | | Résultat | Supra | 87,0 |

C : procédures modifiées N : procédures ajoutées * : réfère à des indications spécifiques de la partie texte du *Répertoire* | : ajout après évaluation

| Code | Réf. texte | Modif | Type modif. | RQDM | INESSS | Sous-section | Description | Réf. code num. | Élément de compte | Hiérarchie | VP 23-24 |
|-------|------------|-------|-------------|------|--------|--------------|---|----------------|-------------------|------------|----------|
| 80212 | | | | | | CTQ | Dextrorphan (urine) (GC-MS) | | Résultat | Supra | 87,0 |
| 80213 | | | | | | CTQ | Éphédrine/pseudoéphédrine (sérum) (LC-MS-MS) | | Résultat | Supra | 87,0 |
| 80214 | | | | | | CTQ | Éthanol (sérum/urine) (GC-MS) | | Résultat | Supra | 51,0 |
| 80216 | | | | | | CTQ | Flunitrazépam (sérum) (LC-MS-MS) inclut 2 substances | | Résultat | Supra | 87,0 |
| 80218 | | | | | | CTQ | MDA (sérum) (LC-MS-MS) | | Résultat | Supra | 87,0 |
| 80219 | | | | | | CTQ | MDEA (sérum) (LC-MS-MS) | | Résultat | Supra | 87,0 |
| 80220 | | | | | | CTQ | MDMA et MDA (sérum) (ecstasy) (LC-MS-MS) | | Résultat | Supra | 87,0 |
| 80221 | | | | | | CTQ | Méthamphétamine et amphétamine (sérum) (LC-MS-MS) | | Résultat | Supra | 87,0 |
| 80224 | | | | | | CTQ | Midazolam (sérum) (LC-MS-MS) | | Résultat | Supra | 87,0 |
| 80226 | | | | | | CTQ | Oxymorphone (urine) (GC-MS) | | Résultat | Supra | 87,0 |
| 80227 | | | | | | CTQ | PMA (sérum) (LC-MS-MS) | | Résultat | Supra | 87,0 |
| 80248 | | | | | | CTQ | Acide muconique, acide S-Phénylmercapturique (S-PMA) (urine) (benzène) (LC-MS-MS) | | Résultat | Supra | 67,0 |
| 80255 | | | | | | CTQ | Bupropion (sérum) (LC-MS-MS) inclut 2 substances | | Résultat | Supra | 87,0 |
| 80256 | | | | | | CTQ | Cannabis (métabolite : THC Delta-9-COOH) (urine) (LC/MS/MS) | | Résultat | Supra | 114,0 |
| 80266 | | | | | | CTQ | Iode (sang/sérum) (ICP-MS) | | Résultat | Supra | 50,0 |
| 80270 | | | | | | CTQ | Mirtazapine (sérum) (LC-MS-MS) | | Résultat | Supra | 87,0 |
| 80277 | | | | | | CTQ | Olanzapine (sérum) (LC-MS-MS) | | Résultat | Supra | 87,0 |
| 80284 | | | | | | CTQ | Quétiapine (sérum) (LC-MS-MS) | | Résultat | Supra | 87,0 |
| 80286 | | | | | | CTQ | Spéciation d'arsenic (arsénocholone + arsénobétaine, As +3, As +5, acide diméthylarsinique, acide monométhylarsinique, arsenic inorganique) (UPLC-ICP-MS) | | Résultat | Supra | 171,0 |
| 80287 | | | | | | CTQ | Tellure (sang) (ICP-MS) | | Résultat | Supra | 50,0 |
| 80288 | | | | | | CTQ | 6-acétylmorphine (urine) (LC-MS-MS) | | Résultat | Supra | 87,0 |
| 80289 | | | | | | CTQ | Aluminium (sang, urine) (ICP-MS) | | Résultat | Supra | 50,0 |
| 80291 | | | | | | CTQ | Fentanyl et norfentanyl (urine) (LC-MS-MS) | | Résultat | Supra | 87,0 |
| 80293 | | | | | | CTQ | Iode (cheveux/tissus) (ICP-MS) | | Résultat | Supra | 138,0 |
| 80294 | | | | | | CTQ | Lévamisol qualitatif (urine) (LC-MS-MS) | | Résultat | Supra | 65,0 |

| Code | Réf. texte | Modif | Type modif. | RQDM | INESSS | Sous-section | Description | Réf. code num. | Élément de compte | Hiérarchie | VP 23-24 |
|-------|------------|-------|-------------|------|--------|--------------|---|----------------|-------------------|------------|----------|
| 80299 | | | | | | CTQ | Méthadone et EDDP (urine) (LC-MS-MS) | | Résultat | Supra | 87,0 |
| 80302 | | | | | | CTQ | Acide S-Benzylmercapturique (toluène) (urine)(LC-MS-MS) | | Résultat | Supra | 67,0 |
| 80304 | | | | | | CTQ | Composés perfluorés (PFBS, PFHxS, PFOS, PFBA, PFHxA, PFOA, PFNA, PFDA, PFUDA (plasma) (LC-MS-MS) | | Résultat | Supra | 72,0 |
| 80305 | | | | | | CTQ | Métabolites des phtalates (MMP, MEP, 2-OH-MiBP, MiBP, MnBP, MCHP, MCHpP, MBzP, MEHP, MEHHP, MEOHP, MECPP, MCP, MOP, MiNP, MCiNP, MCiOP, MCMHP, MHBP, MHIDP, MHINP, MiDP, MOiDP, MOiNP) (urine) (LC-MS-MS) | | Résultat | Supra | 114,0 |
| 80307 | | C | D | | | CTQ | 1-Hydroxypyrrène (urine) (GC-MS-MS) | | Résultat | Supra | 110,0 |
| 80310 | | | | | | CTQ | Benzodiazépines (sérum) (LC-MS-MS) inclut 21 substances | | Résultat | Supra | 98,0 |
| 80312 | | | | | | CTQ | Duloxétine (sérum) (LC-MS-MS) | | Résultat | Supra | 87,0 |
| 80317 | | | | | | CTQ | 9-hydroxyrispéridone (Palipéridone ou Invega) (sérum) (LC-MS-MS) | | Résultat | Supra | 87,0 |
| 80319 | | | | | | CTQ | Antinéoplasiques (cyclophosphamide, ifosphamide, alpha-fluoro-beta-alanine, méthotrexate) (urine) (LC-MS-MS) | | Résultat | Supra | 75,0 |
| 80346 | | | | | | CTQ | Cocaine (inclut les métabolites : benzoylecgonine et ecgonine méthylester) (quantitatif) (urine) (LC-MS-MS) | | Résultat | Supra | 87,0 |
| 80347 | | C | D | | | CTQ | Métabolites des pyréthrinoïdes (cis-DCCA, trans-DCCA, cis-DBCA, 4-F-3-PBA, 3-PBA) (urine) (GC-MS) | | Résultat | Supra | 88,0 |
| 80350 | | | | | | CTQ | Alkylphosphates (DEDTP, DEP, DETP, DMDTP, DMP, DMTP) (urine) (APGC-MS-MS) | | Résultat | Supra | 68,0 |
| 80351 | | | | | | CTQ | Bore (urine) (ICP-MS-MS) | | Résultat | Supra | 76,0 |
| 80352 | | | | | | CTQ | Buprénorphine, métabolites et naloxone qualitatif (urine) (LC-MS-MS) | | Résultat | Supra | 65,0 |
| 80353 | | | | | | CTQ | Dépistage qualitatif des xénobiotiques et métabolites (sang/sérum/plasma/urine/liquides) (LC-MS-MS) inclut 290+ substances | | Résultat | Supra | 81,0 |
| 80362 | | | | | | CTQ | Cannabinoïdes synthétiques qualitatif (urine) (LC-MS-MS) inclut 24 substances | | Résultat | Supra | 124,0 |
| 80363 | | | | | | CTQ | Escitalopram (sérum) (LC-MS-MS) | | Résultat | Supra | 87,0 |
| 80365 | | | | | | CTQ | Hallucinogènes et psychédéliques (qualitatif) (sang/sérum/urine) (LC-MS-MS), inclut LSD, LSZ, 25B,25C,25H,25I-NBOMe, dimethyltryptamine, mescaline, psilocin | | Résultat | Supra | 65,0 |
| 80367 | | | | | | CTQ | Mytragynine qualitatif (sang/sérum/urine) (LC-MS-MS) | | Résultat | Supra | 65,0 |
| 80368 | | | | | | CTQ | Methylphénidate et acide ritalinique qualitatif (sang/sérum/urine) (LC-MS-MS) | | Résultat | Supra | 65,0 |
| 80369 | | | | | | CTQ | Méthaquealone qualitatif (sang/sérum/urine) (LC-MS-MS) | | Résultat | Supra | 65,0 |
| 80371 | | | | | | CTQ | Nouveaux opioïdes synthétiques (qualitatif) (sang/sérum/urine) (LC-MS-MS) inclut AH-7921, desomorphine, MT-45, U-47700, U-49900, W-18 | | Résultat | Supra | 65,0 |

| Code | Réf. texte | Modif | Type modif. | RQDM | INESSS | Sous-section | Description | Réf. code num. | Élément de compte | Hiérarchie | VP 23-24 |
|-------|------------|-------|-------------|------|--------|--------------|--|----------------|-------------------|------------|----------|
| 80372 | | | | | | CTQ | 6-acétylmorphine (sang/sérum/plasma) (LC-MS-MS) | | Résultat | Supra | 87,0 |
| 80373 | | | | | | CTQ | Acétylfentanyl (qualitatif) (sang/sérum/plasma) (LC-MS-MS) | | Résultat | Supra | 65,0 |
| 80374 | | | | | | CTQ | Buprénorphine (sang/sérum/plasma) (LC-MS-MS) inclut 2 substances | | Résultat | Supra | 87,0 |
| 80375 | | | | | | CTQ | Butorphanol (sang/sérum/plasma) (LC-MS-MS) | | Résultat | Supra | 87,0 |
| 80376 | | | | | | CTQ | Codéine (sang/sérum/plasma) (LC-MS-MS) | | Résultat | Supra | 87,0 |
| 80377 | | | | | | CTQ | Dextrométorphane (sang/sérum/plasma) (LC-MS-MS) | | Résultat | Supra | 87,0 |
| 80378 | | | | | | CTQ | Dextrorphanol/lévorphanol (sang/sérum/plasma) (LC-MS-MS) | | Résultat | Supra | 87,0 |
| 80379 | | | | | | CTQ | Dihydrocodéine (sang/sérum/plasma) (LC-MS-MS) | | Résultat | Supra | 87,0 |
| 80380 | | | | | | CTQ | Fentanyl (sang/sérum/plasma) (LC-MS-MS) inclut 2 substances | | Résultat | Supra | 87,0 |
| 80381 | | | | | | CTQ | Hydrocodone (sang/sérum/plasma) (LC-MS-MS) | | Résultat | Supra | 87,0 |
| 80382 | | | | | | CTQ | Hydromorphone (sang/sérum/plasma) (LC-MS-MS) | | Résultat | Supra | 87,0 |
| 80383 | | | | | | CTQ | Mépéridine (sang/sérum/plasma) (LC-MS-MS) inclut 2 substances | | Résultat | Supra | 87,0 |
| 80384 | | | | | | CTQ | Méthadone (sang/sérum/plasma) (LC-MS-MS) | | Résultat | Supra | 87,0 |
| 80385 | | | | | | CTQ | Morphine (sang/sérum/plasma) (LC-MS-MS) | | Résultat | Supra | 87,0 |
| 80386 | | | | | | CTQ | Naloxone (sang/sérum/plasma) (LC-MS-MS) | | Résultat | Supra | 87,0 |
| 80387 | | | | | | CTQ | Naltrexone (sang/sérum/plasma) (LC-MS-MS) | | Résultat | Supra | 87,0 |
| 80388 | | | | | | CTQ | Oxycodone (sang/sérum/plasma) (LC-MS-MS) inclut 2 substances | | Résultat | Supra | 87,0 |
| 80389 | | | | | | CTQ | Oxymorphone (sang/sérum/plasma) (LC-MS-MS) | | Résultat | Supra | 87,0 |
| 80390 | | | | | | CTQ | Pentazocine (sang/sérum/plasma) (LC-MS-MS) | | Résultat | Supra | 87,0 |
| 80391 | | | | | | CTQ | Propoxyphène (sang/sérum/plasma) (LC-MS-MS) | | Résultat | Supra | 87,0 |
| 80392 | | | | | | CTQ | Tapentadol (sang/sérum/plasma) (LC-MS-MS) | | Résultat | Supra | 87,0 |
| 80393 | | | | | | CTQ | Tramadol (sang/sérum/plasma) (LC-MS-MS) inclut 2 substances | | Résultat | Supra | 87,0 |
| 80394 | | | | | | CTQ | Spéciation mercure (méthylmercure) (GC-ICP-MS) | | Résultat | Supra | 88,0 |
| 80395 | | | | | | CTQ | Arsenic total (sérum) (ICP-MS) | | Résultat | Supra | 50,0 |
| 80396 | | | | | | CTQ | Platine (cheveux) (ICP-MS) | | Résultat | Supra | 80,0 |
| 80397 | | | | | | CTQ | Thorium (cheveux/tissus) (ICP-MS) | | Résultat | Supra | 80,0 |

| Code | Réf. texte | Modif | Type modif. | RQDM | INESSS | Sous-section | Description | Réf. code num. | Élément de compte | Hiérarchie | VP 23-24 |
|-------|------------|-------|-------------|------|--------|--------------|--|----------------|-------------------|------------|----------|
| 80398 | | | | | | CTQ | Tungstène (urine) (ICP-MS) | | Résultat | Supra | 50,0 |
| 80399 | | | | | | CTQ | Vanadium (sang/sérum) (ICP-MS) | | Résultat | Supra | 50,0 |
| 80400 | | | | | | CTQ | Aripiprazole (sérum) (LC-MS-MS) | | Résultat | Supra | 87,0 |
| 80401 | | | | | | CTQ | Carfentanil qualitatif (sang/sérum) (LC-MS-MS) | | Résultat | Supra | 65,0 |
| 80402 | | | | | | CTQ | Carfentanil et norcarfentanil qualitatif (urine) (LC-MS-MS) | | Résultat | Supra | 65,0 |
| 80403 | | | | | | CTQ | Furanylfentanyl qualitatif (urine) (LC-MS-MS) | | Résultat | Supra | 65,0 |
| 80404 | | | | | | CTQ | U-47700 qualitatif (urine) (LC-MS-MS) | | Résultat | Supra | 65,0 |
| 80405 | | | | | | CTQ | PCP, 3-MeO-PCP et 4-MeO-PCP qualitatif (urine) (LC-MS-MS) | | Résultat | Supra | 65,0 |
| 80406 | | | | | | CTQ | MDPV (qualitatif) (sels de bain) (sérum/urine) (LC-MS-MS) | | Résultat | Supra | 65,0 |
| 80408 | | | | | | CTQ | Tungstène (tissus) (ICP-MS) | | Résultat | Supra | 80,0 |
| 80409 | | | | | | CTQ | Thorium (sang/urine) (ICP-MS) | | Résultat | Supra | 50,0 |
| 80410 | | | | | | CTQ | Dépistage haute sensibilité des opioïdes, fentanyl et dérivés (qualitatif) (sang/sérum/urine) (LC-MS-MS) inclut 39 substances | | Résultat | Supra | 81,0 |
| 80411 | | C | D | | | CTQ | Triclosan, BPA et ses analogues (BPB, BPC, BP Cl ₂ , BPE, BPF, BPS, BPZ, BP4,4', BPAF, BPAP, BPA TM, Tétrabromobisphénol A, Tétrachlorobisphénol A, DHDPE) (urine) (LC-MS-MS) | | Résultat | Supra | 140,0 |
| 80412 | | | | | | CTQ | Glyphosate, glufosinate et leurs métabolites (AMPA et 3-MPPA) (urine) (LC-MS-MS) | | Résultat | Supra | 111,0 |
| 80413 | | | | | | CTQ | Aluminium (dialysat) | | Résultat | Supra | 150,0 |
| 80414 | | | | | | CTQ | Fluorure (sérum) | | Résultat | Supra | 103,0 |
| 80415 | | | | | | CTQ | Métabolites du benzène et du toluène (urine) (LC-MS-MS) | | Résultat | Supra | 122,0 |
| 80416 | | | | | | CTQ | Cholestérol libre et phospholipides (sérum) (immunoenzymatique; analyseur Indiko Plus) | | Résultat | Supra | 42,0 |
| 80417 | | | | | | CTQ | Opioïdes libres (sang/sérum/plasma) (UPLC-MS-MS) | | Résultat | Supra | 98,0 |
| 80419 | | | | | | CTQ | Cérium (urine) (ICP-MS-MS) | | Résultat | Supra | 50,0 |
| 80420 | | | | | | CTQ | Lanthane (urine) (ICP-MS-MS) | | Résultat | Supra | 50,0 |
| 80421 | | | | | | CTQ | Yttrium (urine) (ICP-MS-MS) | | Résultat | Supra | 50,0 |
| 80422 | | | | | | CTQ | Praséodyme (urine) (ICP-MS-MS) | | Résultat | Supra | 50,0 |
| 80423 | | | | | | CTQ | Néodyme (urine) (ICP-MS-MS) | | Résultat | Supra | 50,0 |
| 80424 | | | | | | CTQ | Gadolinium (urine) (ICP-MS-MS) | | Résultat | Supra | 50,0 |

C : procédures modifiées N : procédures ajoutées * : réfère à des indications spécifiques de la partie texte du *Répertoire* | : ajout après évaluation

| Code | Réf. texte | Modif | Type modif. | RQDM | INESSS | Sous-section | Description | Réf. code num. | Élément de compte | Hiérarchie | VP 23-24 |
|-------|------------|-------|-------------|------|--------|--------------|--|----------------|-------------------|------------|----------|
| 80425 | | | | | | CTQ | Brome (sang) (ICP-MS-MS) | | Résultat | Supra | 50,0 |
| 80426 | | | | | | CTQ | Cuivre et fer (biopsie) (ICP-MS-MS) | | Résultat | Supra | 138,0 |
| 80427 | | C | D | | | CTQ | Acide 2,4-dichlorophénoxyacétique (2,4-D), acide 2,4,5-trichlorophénoxyacétique (2,4,5-T), Dicamba, métabolite du pirimiphos (DEAMPY), métabolite du diazinon (IMPY), Métabolite du malathion (MDA), métabolite du parathion (4-nitrophénol), métabolite du chlorpyrifos (3,5,6-trichloropyridinol) et métabolites des pyréthriinoïdes (cis-DCCA, trans-DCCA, cis-DBCA, 4-F-3-PBA, 3-PBA) (urine) (UPLC-MS-MS) | | Résultat | Supra | 175,0 |
| 80428 | * | N | | | | CTQ | Confirmation médicaments et drogues | | Résultat | Supra | 87,0 |
| 81000 | | | | | | LSPQ - bact. | Identification bactérienne (ARN 16S) sur spécimen clinique à culture négative | | Résultat | Supra | 85,0 |
| 81001 | | | | | | LSPQ - bact. | Bâtonnet Gram négatif fermentaire (entérique); identification (phénotypie, séquençage) | | Résultat | Supra | 1,0 |
| 81002 | | | | | | LSPQ - bact. | Bâtonnet Gram négatif fermentaire (entérique); antibiogramme (microdilution en bouillon, epsilonométrie) | | Résultat | Supra | 1,0 |
| 81003 | | | | | | LSPQ - bact. | Bâtonnet Gram négatif non fermentaire (BNF); identification (spectrométrie de masse - MALDI-TOF, séquençage) | | Résultat | Supra | 1,0 |
| 81004 | | | | | | LSPQ - bact. | Bâtonnet Gram négatif non fermentaire (BNF); antibiogramme (microdilution en bouillon, epsilonométrie) | | Résultat | Supra | 1,0 |
| 81005 | | | | | | LSPQ - bact. | Bâtonnet Gram négatif producteur de carbapénémase (BGNPC); analyse des souches discordantes (TAAN) | | Résultat | Supra | 27,0 |
| 81006 | | | | | | LSPQ - bact. | Bâtonnet Gram négatif producteur de carbapénémase (BGNPC); programme de surveillance | | Rapport | Supra | 1,0 |
| 81010 | | | | | | LSPQ - bact. | Bâtonnet Gram positif (autre qu'anaérobie); identification (séquençage) | | Résultat | Supra | 1,0 |
| 81011 | | | | | | LSPQ - bact. | Bâtonnet Gram positif (autre qu'anaérobie); antibiogramme (microdilution en bouillon) | | Résultat | Supra | 1,0 |
| 81015 | | | | | | LSPQ - bact. | Cocci Gram positif (autre qu'anaérobie, <i>S. aureus</i> et <i>S. pneumoniae</i>); identification (séquençage) | | Résultat | Supra | 1,0 |
| 81016 | | | | | | LSPQ - bact. | Cocci Gram positif (autre qu'anaérobie, <i>S. aureus</i> et <i>S. pneumoniae</i>); antibiogramme (dilution en bouillon) | | Résultat | Supra | 1,0 |
| 81017 | | | | | | LSPQ - bact. | Cocci Gram négatif (autre qu'anaérobie et <i>Neisseriaceae</i>); identification (séquençage) | | Résultat | Supra | 1,0 |
| 81020 | | | | | | LSPQ - bact. | Anaérobies; identification | | Résultat | Supra | 17,1 |
| 81021 | | | | | | LSPQ - bact. | Anaérobies; antibiogramme (dilution en agar) | | Résultat | Supra | 37,0 |
| 81024 | | | | | | LSPQ - bact. | Identification bactérienne (ARN 16S) (séquençage) sur colonie | | Résultat | Supra | 58,0 |
| 81030 | | | | | | LSPQ - bact. | Campylobacter spp.; confirmation (spectrométrie de masse - MALDI-TOF, séquençage) | | Résultat | Supra | 1,0 |
| 81031 | | | | | | LSPQ - bact. | <i>Escherichia coli</i> producteur de Shiga-toxines (STEC) O157:H7 et O157H non mobile; programme de surveillance | | Rapport | Supra | 1,0 |
| 81032 | | | | | | LSPQ - bact. | <i>Listeria monocytogenes</i> ; programme de surveillance | | Rapport | Supra | 1,0 |
| 81033 | | | | | | LSPQ - bact. | <i>Salmonella</i> spp.; programme de surveillance | | Rapport | Supra | 1,0 |

C : procédures modifiées N : procédures ajoutées * : réfère à des indications spécifiques de la partie texte du *Répertoire* I : ajout après évaluation

| Code | Réf. texte | Modif | Type modif. | RQDM | INESSS | Sous-section | Description | Réf. code num. | Élément de compte | Hiérarchie | VP 23-24 |
|-------|------------|-------|-------------|------|--------|--------------|--|----------------|-------------------|------------|----------|
| 81034 | | | | | | LSPQ - bact. | <i>Shigella</i> spp.; identification (sérotypage, séquençage du génome entier) | | Résultat | Supra | 1,0 |
| 81035 | | | | | | LSPQ - bact. | <i>Vibrio cholerae</i> ; identification et sérogroupage (phénotypie) | | Résultat | Supra | 1,0 |
| 81036 | | | | | | LSPQ - bact. | <i>Vibrio cholerae</i> ; antibiogramme (epsilométrie) | | Résultat | Supra | 1,0 |
| 81038 | | | | | | LSPQ - bact. | <i>Escherichia coli</i> producteur de Shiga-toxines (STEC) autre que O157; isolement, identification (TAAN, sérotypage) sur bouillon | | Résultat | Supra | 1,0 |
| 81040 | | | | | | LSPQ - bact. | <i>Enterococcus</i> spp.; identification (séquençage) | | Résultat | Supra | 1,0 |
| 81041 | | | | | | LSPQ - bact. | <i>Enterococcus</i> spp.; antibiogramme (microdilution en bouillon) | | Résultat | Supra | 1,0 |
| 81042 | | | | | | LSPQ - bact. | <i>Enterococcus</i> spp.; détection des gènes van A-G (TAAN) | | Résultat | Supra | 1,0 |
| 81043 | | | | | | LSPQ - bact. | <i>Clostridioides difficile</i> (<i>Clostridium difficile</i>); confirmation (TAAN et ribotypage) | | Résultat | Supra | 1,0 |
| 81044 | | | | | | LSPQ - bact. | <i>Clostridioides difficile</i> (<i>Clostridium difficile</i>); investigation d'éclosion (typage, EGCP) | | Rapport | Supra | 1,0 |
| 81045 | | | | | | LSPQ - bact. | <i>Clostridioides difficile</i> (<i>Clostridium difficile</i>); programme de surveillance | | Rapport | Supra | 1,0 |
| 81050 | | | | | | LSPQ - bact. | <i>Staphylococcus aureus</i> ; détection mecA (SARM) (TAAN) | | Résultat | Supra | 1,0 |
| 81051 | | | | | | LSPQ - bact. | <i>Staphylococcus aureus</i> ; détection PVL (TAAN) | | Résultat | Supra | 1,0 |
| 81052 | | | | | | LSPQ - bact. | <i>Staphylococcus aureus</i> ; confirmation SARM-AC (typage spa) | | Résultat | Supra | 1,0 |
| 81053 | | | | | | LSPQ - bact. | <i>Staphylococcus aureus</i> ; détection toxine tsst-1 (TAAN) | | Résultat | Supra | 1,0 |
| 81054 | | | | | | LSPQ - bact. | <i>Staphylococcus aureus</i> (incluant SARM); antibiogramme - vancomycine seulement (microdilution en bouillon) | | Résultat | Supra | 1,0 |
| 81055 | | | | | | LSPQ - bact. | <i>Staphylococcus aureus</i> (incluant SARM); antibiogramme - panel complet (microdilution en bouillon) | | Résultat | Supra | 1,0 |
| 81056 | | | | | | LSPQ - bact. | <i>Staphylococcus aureus</i> (incluant SARM); investigation d'éclosion (typage, EGCP) | | Rapport | Supra | 1,0 |
| 81057 | | | | | | LSPQ - bact. | <i>Staphylococcus aureus</i> ; programme de surveillance SARM | | Rapport | Supra | 1,0 |
| 81060 | | | | | | LSPQ - bact. | <i>Streptococcus pyogenes</i> ; programme de surveillance (séquençage emm) | | Rapport | Supra | 1,0 |
| 81063 | | | | | | LSPQ - bact. | <i>Neisseria meningitidis</i> ; détection (TAAN) sur spécimen primaire | 1 | Résultat | Supra | 1,0 |
| 81064 | | | | | | LSPQ - bact. | <i>Neisseria meningitidis</i> ; identification (phénotypie) sur colonie | | Résultat | Supra | 1,0 |
| 81065 | | | | | | LSPQ - bact. | <i>Neisseria meningitidis</i> ; sérogroupage (agglutination) | | Résultat | Supra | 1,0 |
| 81066 | | | | | | LSPQ - bact. | <i>Neisseria meningitidis</i> ; antibiogramme (microdilution en bouillon) | | Résultat | Supra | 1,0 |
| 81067 | | | | | | LSPQ - bact. | <i>Neisseria meningitidis</i> ; programme de surveillance | | Rapport | Supra | 1,0 |
| 81069 | | | | | | LSPQ - bact. | <i>Neisseria gonorrhoeae</i> ; confirmation (TAAN) sur spécimen primaire | | Résultat | Supra | 23,0 |

C : procédures modifiées N : procédures ajoutées * : réfère à des indications spécifiques de la partie texte du Répertoire I : ajout après évaluation

| Code | Réf. texte | Modif | Type modif. | RQDM | INESSS | Sous-section | Description | Réf. code num. | Élément de compte | Hiérarchie | VP 23-24 |
|-------|------------|-------|-------------|------|--------|-----------------------|---|----------------|-------------------|------------|----------|
| 81070 | | | | | | LSPQ - bact. | <i>Neisseria gonorrhoeae</i> ; identification (phénotypie) sur colonie | | Résultat | Supra | 1,0 |
| 81071 | | | | | | LSPQ - bact. | <i>Neisseria gonorrhoeae</i> ; antibiogramme (dilution en agar) | | Résultat | Supra | 85,0 |
| 81072 | | | | | | LSPQ - bact. | <i>Neisseria gonorrhoeae</i> ; programme de surveillance | | Rapport | Supra | 1,0 |
| 81073 | | | | | | LSPQ - bact. | <i>Neisseria</i> spp. autres que <i>N. gonorrhoeae</i> et <i>N. meningitidis</i> ; identification (phénotypie) sur colonie | | Résultat | Supra | 1,0 |
| 81074 | | | | | | LSPQ - bact. | <i>Neisseria</i> spp. autres que <i>N. gonorrhoeae</i> et <i>N. meningitidis</i> ; antibiogramme (microdilution en bouillon) | | Résultat | Supra | 1,0 |
| 81076 | | | | | | LSPQ - bact. | <i>Neisseria gonorrhoeae</i> ; détection (TAAN) sur liquide biologique stérile | 1 | Résultat | Supra | 1,0 |
| 81080 | | | | | | LSPQ - bact. | <i>Legionella</i> spp. ; détection (TAAN) sur spécimen primaire | | Résultat | Supra | 1,0 |
| 81081 | | | | | | LSPQ - bact. | <i>Legionella</i> spp. ; identification (TAAN, spectrométrie de masse - MALDI-TOF, sérogroupage) sur colonie | | Résultat | Supra | 1,0 |
| 81082 | | C | D | | | LSPQ - bact. | <i>Legionella</i> spp. ; investigation d'éclosion | | Rapport | Supra | 1,0 |
| 81086 | | | | | | LSPQ - bact. | <i>Bordetella pertussis</i> ; identification (phénotypie) | | Résultat | Supra | 1,0 |
| 81087 | | | | | | LSPQ - bact. | <i>Haemophilus influenzae</i> ; détection (TAAN) sur spécimen primaire | 1 | Résultat | Supra | 1,0 |
| 81088 | | | | | | LSPQ - bact. | <i>Haemophilus influenzae</i> ; détermination du type capsulaire (TAAN) | | Résultat | Supra | 1,0 |
| 81089 | | | | | | LSPQ - bact. | <i>Haemophilus influenzae</i> ; programme de surveillance | | Rapport | Supra | 1,0 |
| 81090 | | | | | | LSPQ - bact. | <i>Streptococcus pneumoniae</i> ; détection (TAAN) sur spécimen primaire | 1 | Résultat | Supra | 1,0 |
| 81091 | | | | | | LSPQ - bact. | <i>Streptococcus pneumoniae</i> ; sérotypage (Quellung) sur colonie | | Résultat | Supra | 1,0 |
| 81092 | | | | | | LSPQ - bact. | <i>Streptococcus pneumoniae</i> ; identification (séquençage) sur colonie | | Résultat | Supra | 1,0 |
| 81093 | | | | | | LSPQ - bact. | <i>Streptococcus pneumoniae</i> ; antibiogramme (microdilution en bouillon) | | Résultat | Supra | 1,0 |
| 81094 | | | | | | LSPQ - bact. | <i>Streptococcus pneumoniae</i> ; programme de surveillance | | Rapport | Supra | 1,0 |
| 81099 | | | | | | LSPQ - bact. | Investigation d'éclosion bactérienne (autre que <i>S.aureus</i> , <i>C.difficile</i> , <i>Legionella</i> , entéro-pathogène) (EGCP, FTIR) | | Rapport | Supra | 1,0 |
| 82001 | | | | | | LSPQ - bact. spéciale | <i>Bacillus anthracis</i> ; détection (TAAN) sur spécimen primaire | | Résultat | Supra | 1,0 |
| 82002 | | | | | | LSPQ - bact. spéciale | <i>Bacillus anthracis</i> ; identification (TAAN, bactériophage) sur culture *GR3* | | Résultat | Supra | 1,0 |
| 82003 | | | | | | LSPQ - bact. spéciale | <i>Brucella</i> spp. ; identification (TAAN, bactériophage) sur culture *GR3* | | Résultat | Supra | 1,0 |
| 82004 | | | | | | LSPQ - bact. spéciale | <i>Brucella</i> spp. ; détection (anticorps) | | Résultat | Supra | 1,0 |
| 82005 | | | | | | LSPQ - bact. spéciale | <i>Burkholderia pseudomallei</i> ; détection (TAAN) sur spécimen primaire | | Résultat | Supra | 1,0 |
| 82006 | | | | | | LSPQ - bact. spéciale | <i>Burkholderia pseudomallei</i> ; identification (séquençage) sur culture *GR3* | | Résultat | Supra | 1,0 |
| 82007 | | | | | | LSPQ - bact. spéciale | <i>Francisella tularensis</i> ; détection (TAAN) sur spécimen primaire | | Résultat | Supra | 1,0 |

C : procédures modifiées N : procédures ajoutées * : réfère à des indications spécifiques de la partie texte du Répertoire I : ajout après évaluation

ANALYSES 2023-2024
DE BIOLOGIE MÉDICALE (ORDRE NUMÉRIQUE)

| Code | Réf. texte | Modif | Type modif. | RQDM | INESSS | Sous-section | Description | Réf. code num. | Élément de compte | Hiérarchie | VP 23-24 |
|-------|------------|-------|-------------|------|--------|-----------------------|--|----------------|-------------------|------------|----------|
| 82008 | | | | | | LSPQ - bact. spéciale | <i>Francisella tularensis</i> ; identification (TAAN) sur culture *GR3* | | Résultat | Supra | 1,0 |
| 82009 | | | | | | LSPQ - bact. spéciale | <i>Francisella tularensis</i> ; détection (anticorps) | | Résultat | Supra | 1,0 |
| 82010 | | | | | | LSPQ - bact. spéciale | <i>Yersinia pestis</i> ; détection (TAAN) sur spécimen primaire | | Résultat | Supra | 1,0 |
| 82011 | | | | | | LSPQ - bact. spéciale | <i>Yersinia pestis</i> ; identification (TAAN, IF) sur culture *GR3* | | Résultat | Supra | 1,0 |
| 82012 | | | | | | LSPQ - bact. spéciale | <i>Yersinia spp.</i> ; détection (anticorps) | 3 | Résultat | Supra | 1,0 |
| 82013 | | | | | | LSPQ - bact. spéciale | <i>Clostridium botulinum</i> ; isolement, identification, toxinotypie (neutralisation) | 4 | Résultat | Supra | 1,0 |
| 82014 | | | | | | LSPQ - bact. spéciale | <i>Brucella spp.</i> ; détection (TAAN) sur spécimen primaire | | Résultat | Supra | 1,0 |
| 82015 | | | | | | LSPQ - bact. spéciale | <i>Corynebacterium diphtheriae</i> ; recherche et production de toxine (TAAN, test d'Elek) | 1 | Résultat | Supra | 1,0 |
| 82016 | | | | | | LSPQ - bact. spéciale | <i>Borrelia burgdorferi</i> (maladie de Lyme acquise en Amérique du Nord); confirmation (immunoblot IgG) | | Résultat | Supra | 43,0 |
| 82017 | | | | | | LSPQ - bact. spéciale | <i>Borrelia burgdorferi</i> (maladie de Lyme acquise en Amérique du Nord); confirmation (immunoblot IgM) | | Résultat | Supra | 42,0 |
| 82018 | | | | | | LSPQ - bact. spéciale | <i>Borrelia garinii</i> et <i>Borrelia afzelii</i> (maladie de Lyme acquise en Europe ou en Asie); confirmation (immunoblot IgG) | | Résultat | Supra | 63,0 |
| 82020 | | | | | | LSPQ - bact. spéciale | <i>Borrelia burgdorferi</i> (maladie de Lyme acquise en Amérique du Nord); détection (ELISA IgM/IgG) sur serum | 1 | Résultat | Supra | 7,2 |
| 82021 | | | | | | LSPQ - bact. spéciale | <i>Borrelia burgdorferi</i> (Lyme); détection (ELISA IgG) sur liquide céphalo-rachidien (LCR) | 1 | Résultat | Supra | 1,0 |
| 82022 | | | | | | LSPQ - bact. spéciale | <i>Borrelia burgdorferi</i> (Lyme); détection et génotypage (TAAN) sur spécimen primaire | 1 | Résultat | Supra | 1,0 |
| 82023 | | | | | | LSPQ - bact. spéciale | <i>Borrelia garinii</i> et <i>Borrelia afzelii</i> (maladie de Lyme acquise en Europe); détection (ELISA IgM/IgG) sur sérum | 1 | Résultat | Supra | 7,2 |
| 82025 | | | | | | LSPQ - bact. spéciale | Borrelioses récurrentes; détection genre <i>Borrelia</i> dont <i>B. hermsii</i> et <i>B. miyamotoi</i> (TAAN) | 1 | Résultat | Supra | 1,0 |
| 82026 | | | | | | LSPQ - bact. spéciale | <i>Leptospira spp.</i> ; détection (anticorps) | 1 | Résultat | Supra | 1,0 |
| 82027 | | | | | | LSPQ - bact. spéciale | <i>Leptospira spp.</i> ; détection (TAAN) | 1 | Résultat | Supra | 1,0 |
| 82028 | | | | | | LSPQ - bact. spéciale | <i>Coxiella burnetii</i> (fièvre Q); détection (TAAN) | 1 | Résultat | Supra | 1,0 |
| 82029 | | | | | | LSPQ - bact. spéciale | <i>Bartonella spp.</i> ; détection (TAAN) sur spécimen primaire | 1 | Résultat | Supra | 1,0 |
| 82030 | | | | | | LSPQ - bact. spéciale | <i>Orientia tsutsugamushi</i> ; détection (anticorps) | 1 | Résultat | Supra | 1,0 |
| 82031 | | | | | | LSPQ - bact. spéciale | <i>Rickettsia spp.</i> (groupe des fièvres pourprées); détection (anticorps) | 1 | Résultat | Supra | 1,0 |
| 82032 | | | | | | LSPQ - bact. spéciale | <i>Rickettsia spp.</i> (groupe des fièvres pourprées); détection (TAAN) | 1 | Résultat | Supra | 1,0 |
| 82033 | | | | | | LSPQ - bact. spéciale | <i>Rickettsia spp.</i> (groupe des typhus); détection (anticorps) | 1 | Résultat | Supra | 1,0 |
| 82034 | | | | | | LSPQ - bact. spéciale | <i>Rickettsia spp.</i> (groupe des typhus); détection (TAAN) | 1 | Résultat | Supra | 1,0 |

C : procédures modifiées N : procédures ajoutées * : réfère à des indications spécifiques de la partie texte du *Répertoire* I : ajout après évaluation

| Code | Réf. texte | Modif | Type modif. | RQDM | INESSS | Sous-section | Description | Réf. code num. | Élément de compte | Hiérarchie | VP 23-24 |
|-------|------------|-------|-------------|------|--------|-----------------------|--|----------------|-------------------|------------|----------|
| 82035 | | | | | | LSPQ - bact. spéciale | <i>Anaplasma phagocytophilum</i> ; détection (anticorps) | 1 | Résultat | Supra | 1,0 |
| 82036 | | C | Réf | | | LSPQ - bact. spéciale | <i>Anaplasma phagocytophilum</i> ; détection (TAAN) | | Résultat | Supra | 20,0 |
| 82037 | | | | | | LSPQ - bact. spéciale | <i>Ehrlichia chaffeensis</i> ; détection (anticorps) | 1 | Résultat | Supra | 1,0 |
| 82038 | | | | | | LSPQ - bact. spéciale | <i>Ehrlichia chaffeensis</i> ; détection (TAAN) | 1 | Résultat | Supra | 1,0 |
| 82040 | | | | | | LSPQ - bact. spéciale | Syphilis; confirmation (anticorps) sur sérum | | Résultat | Supra | 1,0 |
| 82041 | | | | | | LSPQ - bact. spéciale | Syphilis; détection (VDRL) sur LCR | | Résultat | Supra | 1,0 |
| 82042 | | | | | | LSPQ - bact. spéciale | Syphilis; détection (TAAN) | 1 | Résultat | Supra | 1,0 |
| 82050 | | | | | | LSPQ - bact. spéciale | <i>Chlamydia trachomatis</i> LGV; détection et génotypage (TAAN) sur spécimen primaire | | Résultat | Supra | 27,0 |
| 82051 | | | | | | LSPQ - bact. spéciale | <i>Chlamydia pneumoniae</i> ; détection (TAAN) sur spécimen respiratoire | 1 | Résultat | Supra | 1,0 |
| 82052 | | | | | | LSPQ - bact. spéciale | <i>Chlamydia psittaci</i> ; détection (TAAN) sur spécimen primaire | 1 | Résultat | Supra | 1,0 |
| 82059 | | | | | | LSPQ - bact. spéciale | <i>Haemophilus ducreyi</i> ; détection (TAAN) | 1 | Résultat | Supra | 1,0 |
| 82061 | | | | | | LSPQ - bact. spéciale | <i>Mycoplasma genitalium</i> ; détection de résistance (TAAN) sur spécimen primaire | 1 | Résultat | Supra | 1,0 |
| 83002 | | | | | | LSPQ - virologie | Adénovirus; génotypage (séquençage) sur isolats viraux | 1 | Résultat | Supra | 1,0 |
| 83003 | | | | | | LSPQ - virologie | Zika, Dengue, Chikungunya; détection (TAAN)(multiplex) sur sérum, LCR, urine, liquide amniotique | | Résultat | Supra | 28,0 |
| 83004 | | | | | | LSPQ - virologie | Zika; détection (TAAN) sur placenta | 1 | Résultat | Supra | 1,0 |
| 83005 | | | | | | LSPQ - virologie | Zika; détection (anticorps) | | Résultat | Supra | 54,0 |
| 83006 | | | | | | LSPQ - virologie | Dengue; détection (anticorps) | | Résultat | Supra | 42,0 |
| 83007 | | | | | | LSPQ - virologie | Chikungunya; détection (ELISA IgM) sur sérum | | Résultat | Supra | 20,0 |
| 83008 | | | | | | LSPQ - virologie | Chikungunya; détection (ELISA IgG) sur sérum | | Résultat | Supra | 23,0 |
| 83009 | | | | | | LSPQ - virologie | Virus du Nil occidental (VNO); détection (anticorps) | | Résultat | Supra | 1,0 |
| 83010 | | | | | | LSPQ - virologie | Virus du Nil occidental (VNO); détection (TAAN) sur spécimen clinique | | Résultat | Supra | 1,0 |
| 83011 | | | | | | LSPQ - virologie | Sérogroupe Californie (Jamestown canyon, Snowshoe hare); détection (anticorps) | 1 | Résultat | Supra | 1,0 |
| 83012 | | | | | | LSPQ - virologie | Cache Valley; détection (anticorps) | 1 | Résultat | Supra | 1,0 |
| 83013 | | | | | | LSPQ - virologie | Powassan; détection (anticorps) | 1 | Résultat | Supra | 1,0 |
| 83014 | | | | | | LSPQ - virologie | Chorioméningite lymphocytaire (VCML); détection (anticorps) | 1 | Résultat | Supra | 1,0 |
| 83015 | | | | | | LSPQ - virologie | Chorioméningite lymphocytaire (VCML); détection (TAAN) | 1 | Résultat | Supra | 1,0 |

C : procédures modifiées N : procédures ajoutées * : réfère à des indications spécifiques de la partie texte du *Répertoire* I : ajout après évaluation

| Code | Réf. texte | Modif | Type modif. | RQDM | INESSS | Sous-section | Description | Réf. code num. | Élément de compte | Hiérarchie | VP 23-24 |
|-------|------------|-------|-------------|------|--------|------------------|--|----------------|-------------------|------------|----------|
| 83016 | | | | | | LSPQ - virologie | Encéphalite à tiques; détection (anticorps) | 1 | Résultat | Supra | 1,0 |
| 83017 | | | | | | LSPQ - virologie | Encéphalite équine de l'est; détection (anticorps) | 1 | Résultat | Supra | 1,0 |
| 83018 | | | | | | LSPQ - virologie | Encéphalite japonaise; détection (anticorps) | 1 | Résultat | Supra | 1,0 |
| 83019 | | | | | | LSPQ - virologie | Fièvre jaune; détection (anticorps) | 1 | Résultat | Supra | 1,0 |
| 83020 | | | | | | LSPQ - virologie | Hantavirus; détection (anticorps) | 1 | Résultat | Supra | 1,0 |
| 83030 | | | | | | LSPQ - virologie | Hépatite A (VHA); génotypage (séquençage) | 1 | Résultat | Supra | 1,0 |
| 83031 | | | | | | LSPQ - virologie | Hépatite B (VHB); test supplémentaire (anti-HBc) (anticorps) | | Résultat | Supra | 1,0 |
| 83032 | | | | | | LSPQ - virologie | Hépatite B (VHB); confirmation (HBsAg) (antigène) | | Résultat | Supra | 1,0 |
| 83033 | | | | | | LSPQ - virologie | Hépatite B (VHB); génotypage (séquençage) | | Résultat | Supra | 1,0 |
| 83034 | | | | | | LSPQ - virologie | Hépatite B (VHB); résistance aux antiviraux (séquençage) | | Résultat | Supra | 1,0 |
| 83035 | | | | | | LSPQ - virologie | Hépatite C (VHC); confirmation (anti-VHC) (anticorps) | | Résultat | Supra | 1,0 |
| 83036 | * | | | | | LSPQ - virologie | Hépatite C (VHC); génotypage (séquençage) | | Résultat | Supra | 1,0 |
| 83037 | | | | | | LSPQ - virologie | Hépatite C (VHC); résistance aux antiviraux (séquençage) | | Résultat | Supra | 1,0 |
| 83038 | | | | | | LSPQ - virologie | Hépatite D (VHD); détection (TAAN) | 1 | Résultat | Supra | 1,0 |
| 83039 | | | | | | LSPQ - virologie | Hépatite D (VHD); charge virale (TAAN quantitatif) | 1 | Résultat | Supra | 1,0 |
| 83040 | | | | | | LSPQ - virologie | Hépatite E (VHE); détection (anticorps) | 1 | Résultat | Supra | 1,0 |
| 83041 | | | | | | LSPQ - virologie | Hépatite E (VHE); génotypage (séquençage) | 1 | Résultat | Supra | 1,0 |
| 83042 | | | | | | LSPQ - virologie | Hépatite D (VHD); détection (anticorps) | | Rapport | Supra | 1,0 |
| 83043 | | | | | | LSPQ - virologie | RITA : Algorithme d'épreuves de laboratoire pour l'identification des infections récentes par le VIH | | Rapport | Supra | 41,0 |
| 83044 | | | | | | LSPQ - virologie | Virus de l'immunodéficience humaine (VIH); confirmation (anticorps et/ou antigène) sur sérum | | Résultat | Supra | 1,0 |
| 83046 | | | | | | LSPQ - virologie | Virus de l'immunodéficience humaine (VIH); détection et confirmation (antigène p24) | | Résultat | Supra | 1,0 |
| 83047 | | | | | | LSPQ - virologie | Virus de l'immunodéficience humaine (VIH-1); ADN proviral (TAAN) | | Résultat | Supra | 1,0 |
| 83048 | | | | | | LSPQ - virologie | Virus de l'immunodéficience humaine (VIH-2); charge virale (TAAN) | 1 | Résultat | Supra | 1,0 |
| 83049 | | | | | | LSPQ - virologie | HTLV 1 et 2; confirmation (anticorps) | 5 | Résultat | Supra | 1,0 |
| 83050 | | | | | | LSPQ - virologie | Influenza A et B; détection (TAAN) sur spécimen clinique | | Résultat | Supra | 1,0 |
| 83051 | | | | | | LSPQ - virologie | Influenza A; sous-typage (TAAN) sur spécimen clinique | | Résultat | Supra | 24,0 |

| Code | Réf. texte | Modif | Type modif. | RQDM | INESSS | Sous-section | Description | Réf. code num. | Élément de compte | Hiérarchie | VP 23-24 |
|-------|------------|-------|-------------|------|--------|----------------------------|---|----------------|-------------------|------------|----------|
| 83052 | | | | | | LSPQ - virologie | Influenza A; caractérisation antigénique (inhibition de l'hémagglutination) | | Résultat | Supra | 1,0 |
| 83053 | | | | | | LSPQ - virologie | Influenza A aviaire (H5, H7, H9); détection (TAAN) sur spécimen clinique | | Résultat | Supra | 1,0 |
| 83054 | | | | | | LSPQ - virologie | Coronavirus (MERS-CoV); détection (TAAN) sur spécimen clinique | | Résultat | Supra | 1,0 |
| 83055 | | C | D | | | LSPQ - virologie | Coronavirus (SRAS-CoV-2); détection (TAAN) sur spécimen clinique | | Résultat | Supra | 21,0 |
| 83056 | | | | | | LSPQ - virologie | Pathogènes respiratoires; détection multiplex 18 virus et 3 bactéries (TAAN homologué); programme de surveillance | | Rapport | Supra | 1,0 |
| 83058 | | C | D | | | LSPQ - virologie | Coronavirus (SRAS-CoV-2); confirmation (anticorps IgG) sur sérum | | Rapport | Supra | 25,0 |
| 83060 | | | | | | LSPQ - virologie | Gastroentérite d'allure virale; détection de virus entériques (TAAN) (multiplex) sur spécimen clinique | | Résultat | Supra | 1,0 |
| 83061 | | | | | | LSPQ - virologie | Pathogènes entériques; détection multiplex (virus, bactéries et parasites) (TAAN homologué) sur spécimen clinique | | Résultat | Supra | 179,0 |
| 83065 | | | | | | LSPQ - virologie | BK/JC polyomavirus; détection (TAAN) sur LCR, biopsie | 1 | Résultat | Supra | 1,0 |
| 83069 | | | | | | LSPQ - virologie | Entérovirus; détection et génotypage (sauf poliovirus) (TAAN) sur spécimen clinique | 1 | Résultat | Supra | 1,0 |
| 83070 | | C | D | | | LSPQ - virologie | Poliovirus; détection et génotypage (séquençage) sur spécimen clinique | 1 | Résultat | Supra | 1,0 |
| 83075 | | | | | | LSPQ - virologie | Herpès B; détection (TAAN) | 1 | Résultat | Supra | 1,0 |
| 83076 | | | | | | LSPQ - virologie | Virus de la varicelle et du zona (VZV): génotypage souche vaccinale (TAAN) | 1 | Résultat | Supra | 1,0 |
| 83085 | | | | | | LSPQ - virologie | Rougeole; génotypage (TAAN) sur spécimen clinique | 1 | Résultat | Supra | 1,0 |
| 83086 | | | | | | LSPQ - virologie | Rubéole; (IgG) (mesure de l'avidité) | 1 | Résultat | Supra | 1,0 |
| 83087 | | | | | | LSPQ - virologie | Rubéole; détection et génotypage (TAAN) | 1 | Résultat | Supra | 1,0 |
| 83088 | | | | | | LSPQ - virologie | Oreillons; détection et génotypage (TAAN) sur spécimen clinique | 1 | Résultat | Supra | 1,0 |
| 83089 | | N* | VP | | | LSPQ - virologie | Orthopoxvirus simien; détection (TAAN) | 1 | Résultat | Supra | 47,0 |
| 83090 | | | | | | LSPQ - virologie | Molluscum contagiosum; détection (TAAN) sur spécimen clinique | 1 | Résultat | Supra | 1,0 |
| 83091 | | | | | | LSPQ - virologie | Rage; détection (anticorps) | 1 | Résultat | Supra | 1,0 |
| 83092 | | C | D | | | LSPQ - virologie | Coronavirus (SRAS-CoV-2) : confirmation (TAAN) sur spécimen clinique | | Résultat | Supra | 1,0 |
| 83093 | | C | D | | | LSPQ - virologie | Coronavirus (SRAS-CoV-2) : criblage de variant à surveillance rehaussée | | Résultat | Supra | 1,0 |
| 83094 | | C | D | | | LSPQ - virologie | Coronavirus (SRAS-CoV-2) : séquençage prioritaire | | Résultat | Supra | 1,0 |
| 84001 | | | | | | LSPQ - mycobact. - actino. | Actinomycètes aérobies; identification (séquençage) | | Résultat | Supra | 1,0 |
| 84002 | | | | | | LSPQ - mycobact. - actino. | Actinomycètes aérobies; antibiogramme (microdilution en bouillon) | | Résultat | Supra | 1,0 |

C : procédures modifiées N : procédures ajoutées * : réfère à des indications spécifiques de la partie texte du Répertoire I : ajout après évaluation

ANALYSES 2023-2024
DE BIOLOGIE MÉDICALE (ORDRE NUMÉRIQUE)

| Code | Réf. texte | Modif | Type modif. | RQDM | INESSS | Sous-section | Description | Réf. code num. | Élément de compte | Hiérarchie | VP 23-24 |
|-------|------------|-------|-------------|------|--------|----------------------------|---|----------------|-------------------|------------|----------|
| 84003 | | | | | | LSPQ - mycobact. - actino. | <i>Nocardia</i> spp; identification (séquençage) | | Résultat | Supra | 1,0 |
| 84004 | | | | | | LSPQ - mycobact. - actino. | <i>Nocardia</i> spp; antibiogramme (microdilution en bouillon) | | Résultat | Supra | 1,0 |
| 84005 | | | | | | LSPQ - mycobact. - actino. | <i>Mycobacterium tuberculosis</i> ; confirmation (délétion, séquençage) sur culture *GR3* | | Résultat | Supra | 1,0 |
| 84006 | | | | | | LSPQ - mycobact. - actino. | <i>Mycobacterium tuberculosis</i> ; antibiogramme (concentration critique) sur culture *GR3* | | Résultat | Supra | 1,0 |
| 84007 | | | | | | LSPQ - mycobact. - actino. | <i>Mycobacterium tuberculosis</i> ; détection résistance rifampicine (TAAN) sur spécimen primaire | | Résultat | Supra | 76,0 |
| 84008 | | | | | | LSPQ - mycobact. - actino. | <i>Mycobacterium tuberculosis</i> ; détection des gènes de résistance (séquençage) | | Résultat | Supra | 1,0 |
| 84009 | | | | | | LSPQ - mycobact. - actino. | <i>Mycobacterium tuberculosis</i> ; typage moléculaire (séquençage) sur culture *GR3* | | Résultat | Supra | 1,0 |
| 84010 | | | | | | LSPQ - mycobact. - actino. | Mycobactéries non tuberculeuses; identification (délétion, séquençage) | | Résultat | Supra | 1,0 |
| 84011 | | | | | | LSPQ - mycobact. - actino. | Mycobactéries non tuberculeuses; antibiogramme (microdilution en bouillon) | | Résultat | Supra | 1,0 |
| 86001 | | | | | | LSPQ - parasito. | Parasites intestinaux; identification (autres que microsporidies) (microscopie) | | Résultat | Supra | 1,0 |
| 86002 | | | | | | LSPQ - parasito. | <i>Cryptosporidium</i> spp.; identification (microscopie) | | Résultat | Supra | 1,0 |
| 86003 | | | | | | LSPQ - parasito. | <i>Cryptosporidium</i> spp.; investigation d'éclosion (typage) | | Rapport | Supra | 1,0 |
| 86004 | | | | | | LSPQ - parasito. | Microsporidies; identification (microscopie) | | Résultat | Supra | 1,0 |
| 86005 | | | | | | LSPQ - parasito. | <i>Entamoeba histolytica/dispar</i> (amibiase); détection (TAAN) sur spécimen clinique | | Résultat | Supra | 1,0 |
| 86006 | | | | | | LSPQ - parasito. | <i>Entamoeba histolytica</i> (amibiase); détection (anticorps) | 6 | Résultat | Supra | 1,0 |
| 86010 | | | | | | LSPQ - parasito. | Vers; identification (microscopie) | | Résultat | Supra | 1,0 |
| 86011 | | | | | | LSPQ - parasito. | Ectoparasites (acariens, tiques, poux, puces, punaises, larves de mouche); identification (microscopie) | | Résultat | Supra | 1,0 |
| 86023 | | | | | | LSPQ - parasito. | <i>Baylisascaris procyonis</i> ; détection (anticorps) | 6 | Résultat | Supra | 1,0 |
| 86027 | | | | | | LSPQ - parasito. | <i>Taenia solium</i> (cysticerose); détection (anticorps) | 6 | Résultat | Supra | 1,0 |
| 86028 | | | | | | LSPQ - parasito. | <i>Taenia solium</i> (cysticerose); détection (TAAN) | 6 | Résultat | Supra | 1,0 |
| 86029 | | | | | | LSPQ - parasito. | <i>Echinococcus granulosus</i> ; identification (microscopie) | | Résultat | Supra | 1,0 |
| 86030 | | | | | | LSPQ - parasito. | <i>Echinococcus granulosus</i> ; détection (anticorps) | 6 | Résultat | Supra | 1,0 |
| 86031 | | | | | | LSPQ - parasito. | <i>Echinococcus granulosus</i> ; détection (TAAN) sur spécimen clinique | 6 | Résultat | Supra | 1,0 |
| 86032 | | | | | | LSPQ - parasito. | <i>Paragonimus</i> spp.; détection (anticorps) | 6 | Résultat | Supra | 1,0 |
| 86033 | | | | | | LSPQ - parasito. | <i>Strongyloides stercoralis</i> ; détection (anticorps) | 6 | Résultat | Supra | 1,0 |
| 86035 | | | | | | LSPQ - parasito. | <i>Gnathostoma spinigerum</i> ; détection (anticorps) | 6 | Résultat | Supra | 1,0 |

| Code | Réf. texte | Modif | Type modif. | RQDM | INESSS | Sous-section | Description | Réf. code num. | Élément de compte | Hiérarchie | VP 23-24 |
|-------|------------|-------|-------------|------|--------|------------------|---|----------------|-------------------|------------|----------|
| 86036 | | | | | | LSPQ - parasito. | <i>Fasciola hepatica</i> ; détection (anticorps) | 6 | Résultat | Supra | 1,0 |
| 86051 | | | | | | LSPQ - parasito. | <i>Plasmodium</i> sp (malaria); détection (TAAN) | 6 | Résultat | Supra | 1,0 |
| 86052 | | | | | | LSPQ - parasito. | <i>Plasmodium</i> sp (malaria); détection (anticorps) | 6 | Résultat | Supra | 1,0 |
| 86054 | | | | | | LSPQ - parasito. | <i>Babesia microti</i> ; détection (anticorps) | 6 | Résultat | Supra | 1,0 |
| 86055 | | | | | | LSPQ - parasito. | <i>Babesia</i> spp.; détection (TAAN) | 1 | Résultat | Supra | 1,0 |
| 86064 | | | | | | LSPQ - parasito. | Filaires (filarioses) : détection (anticorps) | 6 | Résultat | Supra | 1,0 |
| 86069 | | | | | | LSPQ - parasito. | <i>Leishmania</i> spp. (culture) | 6 | Résultat | Supra | 1,0 |
| 86070 | | | | | | LSPQ - parasito. | <i>Leishmania</i> spp.; détection (anticorps) | 6 | Résultat | Supra | 1,0 |
| 86071 | | | | | | LSPQ - parasito. | <i>Leishmania</i> spp.; détection (TAAN) | 6 | Résultat | Supra | 1,0 |
| 86072 | | | | | | LSPQ - parasito. | <i>Schistosoma</i> spp; identification (microscopie) sur spécimen primaire | | Résultat | Supra | 1,0 |
| 86073 | | | | | | LSPQ - parasito. | <i>Schistosoma</i> spp.; détection (anticorps) | 6 | Résultat | Supra | 1,0 |
| 86074 | | | | | | LSPQ - parasito. | <i>Toxocara</i> spp.; détection (anticorps) | 6 | Résultat | Supra | 1,0 |
| 86075 | | | | | | LSPQ - parasito. | <i>Trichinella</i> spp.; détection (anticorps) | 6 | Résultat | Supra | 1,0 |
| 86076 | | | | | | LSPQ - parasito. | <i>Trypanosoma brucei</i> (trypanosomiase africaine); détection (anticorps) | 6 | Résultat | Supra | 1,0 |
| 86077 | | | | | | LSPQ - parasito. | <i>Trypanosoma brucei</i> (trypanosomiase africaine); détection (TAAN) | 6 | Résultat | Supra | 1,0 |
| 86078 | | | | | | LSPQ - parasito. | <i>Trypanosoma cruzi</i> (trypanosomiase américaine); détection (anticorps) | 6 | Résultat | Supra | 1,0 |
| 86079 | | | | | | LSPQ - parasito. | <i>Trypanosoma cruzi</i> (trypanosomiase américaine); détection (TAAN) | 6 | Résultat | Supra | 1,0 |
| 86080 | | | | | | LSPQ - parasito. | <i>Toxoplasma gondii</i> ; confirmation (IgG-IgM) (anticorps) | | Résultat | Supra | 1,0 |
| 86081 | | | | | | LSPQ - parasito. | <i>Toxoplasma gondii</i> ; avidité (IgG) (anticorps) | | Résultat | Supra | 1,0 |
| 86082 | | | | | | LSPQ - parasito. | <i>Toxoplasma gondii</i> ; détection (TAAN) sur spécimen clinique | | Résultat | Supra | 1,0 |
| 87001 | | | | | | LSPQ - mycologie | Levures; identification (spectrométrie de masse - MALDI-TOF, séquençage) | | Résultat | Supra | 1,0 |
| 87002 | | | | | | LSPQ - mycologie | Levures; antifongigramme (microdilution en bouillon) | | Résultat | Supra | 1,0 |
| 87003 | | | | | | LSPQ - mycologie | Levure multirésistante (<i>Candida auris</i>); confirmation (phénotypie) | | Résultat | Supra | 1,0 |
| 87004 | | | | | | LSPQ - mycologie | Levures; investigation d'éclosion (typage) | | Rapport | Supra | 1,0 |
| 87018 | | N | | | | LSPQ - mycologie | (1-3)- β -D-glucane sérique (dosage) | | Rapport | Supra | 1,0 |
| 87020 | | | | | | LSPQ - mycologie | Champignons filamenteux; identification (microscopie, séquençage) | | Résultat | Supra | 1,0 |

ANALYSES 2023-2024
DE BIOLOGIE MÉDICALE (ORDRE NUMÉRIQUE)

| Code | Réf. texte | Modif | Type modif. | RQDM | INESSS | Sous-section | Description | Réf. code num. | Élément de compte | Hiérarchie | VP 23-24 |
|-------|------------|-------|-------------|------|--------|---------------------|---|----------------|-------------------|------------|----------|
| 87021 | | | | | | LSPQ - mycologie | Champignons filamenteux; antifongigramme (microdilution en bouillon) | | Résultat | Supra | 1,0 |
| 87022 | | | | | | LSPQ - mycologie | Champignons filamenteux; investigation d'éclosion (typage) | | Rapport | Supra | 1,0 |
| 87030 | | | | | | LSPQ - mycologie | Champignons dimorphes; détection (TAAN) sur spécimen primaire *GR3* | | Résultat | Supra | 1,0 |
| 87031 | | | | | | LSPQ - mycologie | Champignons dimorphes; identification (TAAN, microscopie) sur colonie *GR3* | | Résultat | Supra | 1,0 |
| 87034 | | | | | | LSPQ - mycologie | Coccidioides immitis; détection (anticorps) | | Résultat | Supra | 63,0 |
| 87050 | | | | | | LSPQ - mycologie | <i>Pneumocystis</i> ; détection (TAAN quantitatif) | | Résultat | Supra | 52,0 |
| 87051 | | | | | | LSPQ - mycologie | <i>Pneumocystis</i> ; investigation d'éclosion (génotypage) | | Rapport | Supra | 1,0 |
| 88002 | | | | | | LSPQ - phys.-chimie | Eau de dialyse et purifiée; dénombrement bactérien (membrane filtrante) | | Résultat | Supra | 22,0 |
| 88003 | | | | | | LSPQ - phys.-chimie | Eau de dialyse et purifiée; endotoxines bactériennes (LAL Gel-Clot) | | Résultat | Supra | 18,8 |
| 88004 | | | | | | LSPQ - phys.-chimie | Eau de dialyse et purifiée; anions (chromatographie ionique) | | Résultat | Supra | 25,0 |
| 88005 | | | | | | LSPQ - phys.-chimie | Eau de dialyse et purifiée; chlore résiduel total (titrimétrie) | | Résultat | Supra | 13,5 |
| 88006 | | | | | | LSPQ - phys.-chimie | Eau de dialyse et purifiée; carbone organique total (oxydation) | | Résultat | Supra | 31,0 |
| 88007 | | | | | | LSPQ - phys.-chimie | Eau de dialyse et purifiée; métaux (en sous-traitance) | | Résultat | Supra | 134,0 |
| 88008 | | | | | | LSPQ - phys.-chimie | Eau de dialyse et purifiée; pH (électrométrie) | | Résultat | Supra | 17,5 |
| 88009 | | | | | | LSPQ - phys.-chimie | Eau de dialyse et purifiée; conductivité (électrométrie) | | Résultat | Supra | 7,0 |
| 88010 | | | | | | LSPQ - phys.-chimie | Eau de dialyse et purifiée; silice réactive (colorimétrie) | | Résultat | Supra | 17,7 |
| 88011 | | | | | | LSPQ - phys.-chimie | Eau de dialyse et purifiée; dureté totale (en sous-traitance) | | Résultat | Supra | 47,0 |
| 90000 | | | | | | PNR | Procédures non répertoriées (PNR) | | | Supra | 1,0 |
| 95000 | | | | | | PNR | Coût en \$\$ des PNR | | | Supra | 1,0 |

| Techniques de dosage des anticorps | | | |
|--|--|--|---|
| Nom de la technique | Synonyme(s) / Terme(s) anglais / Technique(s) dérivée(s) / Acronyme(s) | Description | Exemples d'utilisation |
| Agglutination passive | <ul style="list-style-type: none"> • Agglutination indirecte • Particle agglutination test • Particle latex assay (LA, PLA) • Hémagglutination • Hemagglutination assay (HA) • Flocculation • Agglutination sur lame • Slide agglutination | Réaction d'agglutination obtenue à partir de particules inertes (ex. : latex) servant de simple support à des antigènes solubles qui y ont été artificiellement fixés. On parle d'agglutination passive inversée lorsque la méthode utilise des particules recouvertes d'anticorps servant à détecter des antigènes. | <ul style="list-style-type: none"> • Monotest • Détection antigénique du cryptocoque • Détection de l'antigène du streptocoque du groupe A • Venereal Disease Research Laboratory test (VDRL) • Rapid Plasma Reagin (RPR) • Treponema pallidum particle agglutination test (TPPA) |
| Agglutination en tube | <ul style="list-style-type: none"> • Microagglutination | Des dilutions successives d'un sérum à tester sont mises en contact avec une concentration connue et constante de l'antigène ou du microorganisme correspondant. L'épreuve de microagglutination se fait dans les puits d'une microplaque. | <ul style="list-style-type: none"> • Sérologie <i>Brucella sp.</i> • Sérologie <i>Francisella tularensis</i> • Sérologie <i>Leptospira interrogans</i> |
| Épreuve d'inhibition de l'hémagglutination | <ul style="list-style-type: none"> • Hemagglutination inhibition assay (HAI) | Certains virus possèdent des hémagglutinines à leur surface, ce qui les rend capables d'agglutiner certains types de globules rouges. Cette propriété permet d'identifier des virus retrouvés en culture à l'aide d'un antiserum correspondant et permet également de détecter dans un échantillon clinique la présence d'anticorps spécifiques à un virus. | <ul style="list-style-type: none"> • Caractérisation antigénique des souches du virus de l'influenza • Sérologie pour le virus Powassan |
| Immunobuvardage | <ul style="list-style-type: none"> • Buvardage de western • Western blot (WB) • Recombinant immunoblot assay (RIBA) • Line immunoassay (LIA) | Les techniques d'immunobuvardage permettent de détecter la présence d'anticorps spécifiques dans un échantillon clinique. Si les anticorps recherchés sont présents dans le spécimen analysé, ils réagissent d'abord avec leurs antigènes cibles (recombinants ou non) qui ont été immobilisés sur une membrane par buvardage. Les anticorps peuvent ensuite être révélés par des autoanticorps couplés à un chromogène. | <ul style="list-style-type: none"> • Tests de confirmation pour différentes sérologies (ex. : VIH, hépatite C, syphilis, Lyme) |
| Immunoélectrophorèse | <ul style="list-style-type: none"> • Immunoélectrophorèse • Immunoélectrophorèse croisée • Électrosynérèse • Contre-immunoélectrophorèse • Counter immunoélectrophorèse | Méthode d'électrophorèse consistant à effectuer d'abord la séparation des constituants d'un mélange antigénique en fonction de leur mobilité dans un gel soumis à un champ électrique et, dans un deuxième temps ou simultanément, à identifier ces antigènes par réaction immunologique spécifique. | <ul style="list-style-type: none"> • Détection d'anticorps anti-Aspergillus |

| Nom de la technique | Synonyme(s) / Terme(s) anglais / Technique(s) dérivée(s) / Acronyme(s) | Description | Exemples d'utilisation |
|---------------------------|---|--|---|
| Immunofluorescence | <ul style="list-style-type: none"> • Immunofluorescence directe • Direct immunofluorescence assay (DFA) • Immunofluorescence indirecte • Indirect immunofluorescence assay (IFA) • Immuno-fluorescent Assay (IFA) • Fluorescent assay (FA) • Fluorescence immunoassay (FIA) • Fluorescent-antibody-to-membrane-antigen (FAMA) | <p>Technique de détection immunologique dans laquelle la présence d'un antigène ou d'un anticorps est révélée dans une cellule, un tissu ou autre type d'échantillon biologique par fixation avec l'anticorps correspondant marqué avec une substance fluorescente. Il existe diverses méthodes d'immunofluorescence parmi lesquelles l'immunofluorescence directe et l'immunofluorescence indirecte, et il existe des techniques microscopiques ou automatisées. Les techniques microscopiques requièrent une bonne expertise.</p> | <ul style="list-style-type: none"> • Sérologie fièvre Q • Détection rapide du virus Varicella-Zoster sur spécimen clinique • Détection directe de <i>Pneumocystis jirovecii</i> sur spécimen clinique • Fluorescent treponemal antibody-absorption test (FTA-Abs) |
| Méthode immunoenzymatique | <ul style="list-style-type: none"> • Essai immunoenzymatique • Dosage immunoenzymatique • Enzyme immunoassay (EIA) • Enzyme-linked immunosorbent assay (ELISA) • Immunochromatographie • Lateral flow immunoassay | <p>Épreuve de dosage immunologique qui utilise des réactifs marqués par des enzymes pour détecter les anticorps ou les antigènes. La méthode EIA la plus répandue est l'ELISA, dans laquelle des anticorps de laboratoire conjugués à une enzyme sont utilisés pour révéler les anticorps, antigènes ou haptènes recherchés dans un échantillon biologique. Différents types d'anticorps peuvent être détectés tels que des IgG ou des IgM. Les techniques peuvent être automatisées ou manuelles, et elles peuvent être qualitatives ou quantitatives</p> | <ul style="list-style-type: none"> • Sérologie hépatites (anticorps comme anti-HBs et antigène comme HBs Ag) • Sérologie rubéole • Sérologie VIH (anticorps et antigène p24) • Sérologie CMV • Sérologie syphilis |
| Neutralisation | <ul style="list-style-type: none"> • Neutralisation de la toxine botulinique chez la souris • Séroneutralisation par réduction des plages, en anglais Plaque reduction neutralization test (PRNT) | <p>La neutralisation représente la capacité qu'ont certains anticorps de neutraliser l'activité biologique de certains antigènes ou des microorganismes porteurs de ces derniers.</p> | <ul style="list-style-type: none"> • PRNT utilisée au LNM pour la confirmation de certaines sérologies (ex. : dengue, VNO, encéphalite équine de l'Est) • Sérologie antirabique au LNM • Confirmation d'une toxine botulinique à Ottawa |

| Nom de la technique | Synonyme(s) / Terme(s) anglais / Technique(s) dérivée(s) / Acronyme(s) | Description | Exemples d'utilisation |
|---------------------|---|---|---|
| Test d'avidité | <ul style="list-style-type: none"> • Avidity | <p>L'avidité des IgG est liée à la maturation des sous-classes d'IgG qui, d'anticorps à faible capacité de liaison, deviennent des anticorps à forte capacité de liaison avec le temps après une première exposition à l'antigène. Par conséquent, les IgG de faible avidité sont une indication d'une infection aiguë, alors que les IgG de forte avidité sont une indication d'une infection passée ou d'une réinfection. Un test d'avidité compare les résultats dans une série de puits en présence d'un dénaturant (ex. : urée) aux résultats dans des puits sans dénaturant. Les IgG de faible avidité sont lavés par le dénaturant et sont détectés par une baisse importante de la quantité d'IgG dans les puits avec dénaturant comparativement aux puits sans dénaturant.</p> | <ul style="list-style-type: none"> • Avidité des IgG anti-rubéole, anti-toxoplasmose ou anti-VNO |

Techniques de biologie moléculaire

| Nom de la technique | Synonyme(s) / Terme(s) anglais / Technique(s) dérivée(s) / Acronyme(s) | Description | Exemples d'utilisation |
|---------------------------------|---|--|---|
| Sonde moléculaire (hybridation) | <ul style="list-style-type: none"> • Probe • Nucleic probe • Fluorescence in situ hybridization (FISH) • Colorimetric in situ hybridization (CISH) Line probe assay (LiPA) | <p>Détection d'une séquence précise d'acides nucléiques à l'aide d'une sonde moléculaire (séquence d'acides nucléiques) complémentaire. Il existe plusieurs formats de tests (phase solide, phase liquide, ou in situ) et plusieurs méthodes de détection pour révéler l'hybridation (luminescence, colorimétrie ou fluorescence). Par exemple, les sondes peuvent être couplées à une molécule fluorescente ou à une enzyme capable de produire une couleur à partir d'un substrat.</p> | <ul style="list-style-type: none"> • Identification de microorganismes par sondes d'ADN (ex. : mycobactéries, streptocoque du groupe A) • Diagnostic de certaines aneuploïdies (ex. : FISH pour la trisomie 21) |

| Nom de la technique | Synonyme(s) / Terme(s) anglais / Technique(s) dérivée(s) / Acronyme(s) | Description | Exemples d'utilisation |
|--|--|--|--|
| Immunodétection d'hybrides (capture d'hybrides) | <ul style="list-style-type: none"> Hybrid Capture (test commercial) | <p>Cette technique débute par l'hybridation de l'ADN ciblé par des sondes d'ARN spécifiques. Les hybrides moléculaires formés sont ensuite détectés par des anticorps spécifiques (des anticorps ciblant des molécules ADN-ARN). Ces anticorps sont couplés à une enzyme qui, en présence d'un substrat particulier, produit de la lumière. Plusieurs anticorps peuvent se lier à un même hybride moléculaire. Contrairement aux tests d'amplification des acides nucléiques (TAAN), cette technique n'amplifie pas les acides nucléiques, mais amplifie plutôt le signal lumineux servant à la détection.</p> | <ul style="list-style-type: none"> Détection du VPH dans un spécimen de col utérin par le test commercial Hybrid Capture |
| Technique de l'ADN ramifié | <ul style="list-style-type: none"> Branched DNA (bDNA) | <p>Une fois la séquence d'acides nucléiques ciblée immobilisée sur un support solide grâce à une sonde spécifique ancrée, une cascade de sondes (dont certaines sont ramifiées) s'hybrident entre elles se terminant par de multiples sondes lumineuses. Le signal lumineux ainsi généré peut être détecté et quantifié. Contrairement aux tests d'amplification des acides nucléiques (TAAN), cette technique n'amplifie pas les acides nucléiques, mais amplifie plutôt le signal lumineux servant à la détection.</p> | <ul style="list-style-type: none"> Mesure de la charge virale (VIH, hépatite B, hépatite C) et détection de <i>Chlamydia trachomatis</i> et <i>Neisseria gonorrhoeae</i> avec les troussees Versant (Siemens) |

| Nom de la technique | Synonyme(s) / Terme(s) anglais / Technique(s) dérivée(s) / Acronyme(s) | Description | Exemples d'utilisation |
|---|---|--|--|
| Test d'amplification d'acides nucléiques (TAAN) | <ul style="list-style-type: none"> • Amplification en chaîne par polymérase (en anglais polymerase chain reaction, PCR) • Quelques exemples de variantes de la PCR : <ul style="list-style-type: none"> – PCR en temps réel (real-time PCR, qPCR) – PCR emboîtée ou imbriquée (nested PCR) – PCR précédée d'une transcription inverse (reverse transcription PCR, RT-PCR) – PCR multiplex – PCR in situ – Methylation-specific PCR (MSP) – dPCR (digital PCR) – ddPCR (droplet digital PCR) • Exemples de méthodes d'amplification d'acides nucléiques dites « isothermes » (méthodes différentes de la PCR) : <ul style="list-style-type: none"> – Strand displacement amplification (SDA) – Transcription mediated amplification (TMA) – Nucleic acid sequence-based amplification (NASBA) – Loop-mediated amplification (LAMP) – Technologie Invader® – Ligase chain reaction (LCR) | <p>Les tests d'amplification d'acides nucléiques sont des procédés d'amplification enzymatiques in vitro permettant de faire de multiples copies d'une courte séquence d'ADN ou d'ARN, et ce, jusqu'à ce que la quantité de copies soit détectable. La PCR utilise une enzyme appelée polymérase et comporte des cycles successifs (généralement de 20 à 40) d'amplification menant à une multiplication exponentielle du fragment d'ADN. Pour procéder à l'amplification d'une séquence d'ARN par PCR, il faut d'abord obtenir une copie d'ADN par transcription inverse. Une PCR multiplex permet d'amplifier dans la même réaction plusieurs séquences d'ADN spécifiques (ex. : PCR pour <i>Chlamydia trachomatis</i> et <i>Neisseria gonorrhoeae</i>). Avec la PCR traditionnelle, les copies d'acides nucléiques obtenues après amplification sont détectées par migration (électrophorèse) sur un gel d'agarose contenant du bromure d'éthidium (composé fluorescent) et sont ensuite révélées par exposition à des rayons ultraviolets. Dans la PCR en temps réel ainsi que la plupart des méthodes d'amplification isothermes, grâce à des fluorophores déjà présents dans le mélange réactionnel, les copies d'acides nucléiques engendrent la production de fluorescence au fur et à mesure qu'elles sont synthétisées jusqu'à l'obtention d'un seuil détectable. Les fluorophores utilisés dans les TAAN en temps réel sont souvent couplés à des sondes nucléiques spécifiques à la séquence cible. Contrairement à la PCR, les méthodes d'amplification isothermes utilisent des enzymes différentes et ne requièrent pas de cycles successifs de changement de température. La réaction en chaîne par polymérase numérique (dPCR) est un raffinement biotechnologique des méthodes conventionnelles de réaction en chaîne par polymérase qui peuvent être utilisées pour quantifier directement les acides nucléiques. La ddPCR est un PCR digital réalisé sur une émulsion eau-huile de gouttelette.</p> | <ul style="list-style-type: none"> • Détection de <i>C. trachomatis</i> et <i>N. gonorrhoeae</i> à partir d'écouvillonnages génitaux, anaux ou pharyngés • Détection d'influenza ou autres virus respiratoires dans les spécimens respiratoires • Détection de <i>Clostridioides difficile</i> toxigène dans les selles • Détection de <i>Mycobacterium tuberculosis</i> • Détection de VPH à partir de spécimens génitaux • Détection du virus herpes (HSV-1 et HSV-2) à partir d'écouvillonnages (peau ou muqueuses) ou dans le liquide céphalorachidien (LCR) • Détection d'entérovirus dans le LCR • Détection du <i>Staphylococcus aureus</i> résistant à la méthicilline (SARM) • Détection de l'entérocoque résistant à la vancomycine (ERV) • Mesure de charges virales (ex. : VIH, hépatite B, hépatite C, CMV, EBV, adénovirus, JC/BK) |

| Nom de la technique | Synonyme(s) / Terme(s) anglais / Technique(s) dérivée(s) / Acronyme(s) | Description | Exemples d'utilisation |
|--------------------------------|--|--|--|
| Séquençage d'acides nucléiques | <ul style="list-style-type: none"> • DNA sequencing • Méthode Sanger • Pyroséquençage • Séquençage de nouvelle génération (SNG), NGS ou séquençage de 2e génération (séquençage massif en parallèle, séquençage à haut débit) • Séquençage de 3e génération (séquençage de molécules uniques) | <p>Le séquençage de l'ADN est la détermination de l'ordonnement linéaire des nucléotides d'une molécule d'ADN. La méthode traditionnelle de Sanger fonctionne par terminaison des chaînes de nucléotides lors de l'amplification grâce à des nucléotides fluorescents qui bloquent l'amplification subséquente. On procède ensuite à la détection de ces chaînes par électrophorèse (de la plus courte à la plus longue) et de leur nucléotide terminal fluorescent. Le pyroséquençage consiste à copier la molécule à séquençer au fur et à mesure en ajoutant des nucléotides un à la fois. Lorsque le bon nucléotide est ajouté au mélange réactionnel, une réaction enzymatique produit de la lumière. Les séquenceurs de 2e génération amplifient de façon très importante des fragments des acides nucléiques à séquençer, et le séquençage se fait soit par pyroséquençage, par synthèse ou par ligation. Le séquençage de 3e génération permet le séquençage direct d'une seule molécule d'acides nucléiques sans avoir recours à l'amplification et peut séquençer directement de l'ARN sans conversion préalable en ADN.</p> | <ul style="list-style-type: none"> • Génotypage de virus (ex. : VIH, hépatite C, influenza) • Détection de mutations conférant de la résistance à des antimicrobiens (ex. : VIH, hépatite C, CMV) • Identification de microorganismes (ex. : bactéries) • Détection de mutations génétiques humaines associées à certaines maladies (ex. : fibrose kystique) • Détection de mutations génétiques humaines influençant le métabolisme de certains médicaments • Détermination du complexe majeur d'histocompatibilité |
| MLPA | <ul style="list-style-type: none"> • <i>Multiplex ligation-dependent probe amplification</i> | <p>La MLPA (<i>multiplex ligation-dependent probe amplification</i> ou <i>amplification multiplex de sondes dépendant d'une ligation</i>) est une variante de la PCR multiplex dans laquelle les deux parties qui composent la sonde doivent se lier à l'ADN pour que l'amplification ait lieu. Cette méthode semi-quantitative est utilisée pour dénombrer les copies d'une même séquence dans un brin d'ADN.</p> | <p>Identification de délétions et de duplications d'un ou de plusieurs exons</p> |
| MALDI-TOF | <ul style="list-style-type: none"> • <i>Matrix-Assisted Laser Desorption/Ionisation – Time of Flight mass spectrometry</i> (MALDI-TOF) | <p>Un instrument de type MALDI-TOF est un spectromètre de masse couplant une source d'ionisation de type laser assistée par une matrice (MALDI, Matrix-Assisted Laser Desorption/Ionisation) et un analyseur à temps de vol (TOF, time-of-flight mass spectrometry). Sous l'influence du laser, les différentes biomolécules (protéines, peptides, sucres) sont ionisées et détachées du substrat (la matrice), et en fonction de leur charge électrique mais surtout de leur masse, chaque molécule nécessite un temps précis pour atteindre le détecteur. Lorsque la résolution est de bonne qualité, on obtient un spectre sur lequel chaque molécule génère un pic unique, et ce spectre peut être comparé à une banque de données afin d'obtenir l'identification de différentes substances ou d'un microorganisme.</p> | <ul style="list-style-type: none"> • Identification rapide de microorganismes • Plusieurs autres applications sont en développement |

| Code | Sous-section | Description | Modification | Correspondance nouveau code |
|-------|-------------------------|---|---|-----------------------------|
| 10176 | B. S. générale | Compatibilité électronique | Ce code est inclus dans le code 10511. | 10511 |
| 19060 | H-Q imm. érythrocytaire | Génotypage Jk(a), Jk(b) par SSP | Ce code est retiré par Héma-Québec. | |
| 19061 | H-Q imm. érythrocytaire | Génotypage Fy(a), Fy(b) par SSP | Ce code est retiré par Héma-Québec. | |
| 19062 | H-Q imm. érythrocytaire | Génotypage GATA 1 par SSP | Ce code est ajouté par Héma-Québec. | |
| 19083 | H-Q imm. érythrocytaire | Génotypage K, k par SSP | Ce code est retiré par Héma-Québec. | |
| 19084 | H-Q imm. érythrocytaire | Génotypage Rh (C,c) par SSP | Ce code est retiré par Héma-Québec. | |
| 19086 | H-Q imm. érythrocytaire | Génotypage Rh(E,e) par SSP | Ce code est retiré par Héma-Québec. | |
| 19093 | H-Q imm. érythrocytaire | Génotypage S, s par SSP | Ce code est retiré par Héma-Québec. | |
| 19094 | H-Q imm. érythrocytaire | Génotypage M, N par SSP | Ce code est retiré par Héma-Québec. | |
| 19097 | H-Q imm. érythrocytaire | Génotypage (REF), Génotype Do(a)/Do(b) | Ce code est retiré par Héma-Québec. | |
| 19401 | H-Q imm. leucocytaire | Séquençage HLA A, B, C, DRB1, DRB3/4/5, DQB1, DQA1, DPB1, DPA1 (NGS trousse B) | Ce code est retiré par Héma-Québec. | |
| 20041 | Hémato-hémostase | Cofacteur II de l'héparine (activité) | Ce code est retiré car il n'est plus utilisé. | |
| 20601 | Hémato-greffe | Allogreffe avec incompatibilité mineure ABO : évaluation | Ce code n'est plus utilisé. Utiliser les nouveaux codes 20574 à 20599. | |
| 20602 | Hémato-greffe | Allo compatible / allo incompatibilité majeure / autogreffe / DLI : évaluation du greffon pour le 1er sac | Ce code n'est plus utilisé. Utiliser les nouveaux codes 20574 à 20599. | |
| 20606 | Hémato-greffe | Cryopréservation CPH/DLI pour 1er sac | Ce code n'est plus utilisé. Utiliser les nouveaux codes 20574 à 20599. | |
| 20607 | Hémato-greffe | Infusion de CPH/DLI cryoprésumé (préparation à la distribution) | Ce code n'est plus utilisé. Utiliser les nouveaux codes 20574 à 20599. | |
| 20610 | Hémato-greffe | Évaluation d'un sac CPH supplémentaire | Ce code n'est plus utilisé. Utiliser les nouveaux codes 20574 à 20599. | |
| 20632 | Hémato-greffe | Culture de progéniteurs mégacaryocytes | Le CHUM ne réalise plus cette analyse (faible demande, remplacement par analyses PCR). | |
| 20635 | Hémato-greffe | Cryopréservation CPH/DLI pour sac supplémentaire | Ce code n'est plus utilisé. Utiliser les nouveaux codes 20574 à 20599. | |
| 20639 | Hémato-greffe | Dilution de CPH-C cryoprésumé et évaluation | Ce code n'est plus utilisé. Utiliser les nouveaux codes 20574 à 20599. | |
| 20695 | Hémato-greffe | Anti-HLA-PRA (microlymphocytotoxicité) | Ce code n'est plus utilisé dans les laboratoires HLA du CUSM et du CHU de Québec – UL depuis mars 2022. | |
| 20739 | Hémato-cytochimie | Bleu de toluidine | Ce code n'est plus utilisé. | |
| 20804 | Hémato-cytochimie | Coloration de mégacaryocytes | Le CHUM ne réalise plus cette analyse (faible demande, remplacement par analyses PCR). | |
| 20826 | Hémato-greffe | Déplétion érythrocytaire par appareil Cobe 2991 et évaluation | Ce code n'est plus utilisé. | |
| 20921 | Hémato-greffe | HLA-ABC (microlymphocytotoxicité) | Ce code n'est plus utilisé dans les labos HLA du CUSM et du CHU de Québec – UL depuis mars 2022. | |
| 20933 | D. mol. hémato-greffe | HLA-DQA1 (génotypage) (SSP-haute résolution) | La technologie a été modifiée; le code ne sera plus utilisé. | |
| 20937 | D. mol. hémato-greffe | HLA-DRB1 spécifique (génotypage) (SSP-haute résolution) | Aucune production au cours des quatre dernières années. | |

| Code | Sous-section | Description | Modification | Correspondance nouveau code |
|-------|-----------------------------|--|---|-----------------------------|
| 20938 | D. mol. hématogreffe | HLA-A spécifique (génotypage) (SSP-haute résolution) | Ce code est inclus dans le code 20941. | 20941 |
| 20940 | D. mol. hématogreffe | HLA-B spécifique (génotypage) (SSP-haute résolution) | Ce code est inclus dans le code 20941. | 20941 |
| 20943 | Hématogreffe | Ac anti-HLA Classe I - II (dépistage) (ELISA) | Ce code n'est plus utilisé par le laboratoire désigné (HMR). | |
| 20948 | D. mol. hématogreffe | HLA-DPA1 (génotypage) (SSP-haute résolution) | Ce code est retiré (remplacement technologique). | |
| 20951 | D. mol. hématogreffe | HLA-A ou -B ou -C (génotypage) (SSO basse résolution) | Ce code n'est plus réalisé par les centres HLA (CHU de Québec – UL, HMR, CUSM). | |
| 20955 | D. mol. hématogreffe | HLA-DRB1 (génotypage) (SSO basse résolution) | Ce code n'est plus réalisé par les centres HLA (CHU de Québec – UL, HMR, CUSM). | |
| 21001 | Hémat-immunocytométrie | Panel maladie résiduelle minimale de la LLA-B (panel MRD LLA-B) - Pédiatrique | Ce code est fusionné avec le code 20973. | 20973 |
| 25048 | D. mol. hématologie | Mutation de la protéine C; Splice 3222 (commun aux Canadiens français) (TAAN) | L'analyse n'est plus réalisée par le CHU de Québec - UL (laboratoire désigné). | 25056 |
| 41010 | Micro-mycolo. | (1-3)- β -D-glucane (dosage, FungitellMC) | L'analyse a été transférée au LSPQ. | 87018 |
| 41400 | Micro-viro. | Rubéole (culture cellulaire) | Ce code n'est plus utilisé. | |
| 41401 | Micro-viro. | Virus spécimen gastro-intestinal (culture cellulaire) | Ce code n'est plus utilisé. | |
| 41402 | Micro-viro. | Virus spécimen oculaire (culture cellulaire) | Ce code n'est plus utilisé. | |
| 50480 | Pathologie clinique | Analyse des dystrophies musculaires (immunobuvardage) | Ce code n'est plus utilisé. | |
| 55038 | D. mol. maladie héréditaire | Séquençage de variant familial ou confirmation de variant associé aux cardiomyopathies/arythmies/aortopathies héréditaires (cardiogénétique) | Ce code a été retiré et remplacé. | 55069 |
| 55040 | D. mol. maladie héréditaire | Séquençage de variant familial ou confirmation de variant associé à l'hypercholestérolémie familiale, hyperchylomicronémie familiale, hyperalphalipoprotéïnémie familiale et sitostérolémie (dyslipidémies familiales) | Ce code a été retiré et remplacé. | 55070 |
| 55046 | D. mol. maladie héréditaire | Syndrome Andersen-Tawil; KCNJ2; (séquençage, régions codantes complètes) | Ce code a été retiré et remplacé. | 55039 |
| 55047 | D. mol. maladie héréditaire | Syndrome Andersen-Tawil; recherche de variant familial par séquençage Sanger | Ce code a été retiré et remplacé. | 55069 |
| 55049 | D. mol. maladie héréditaire | Syndrome de Brugada; SCN5A; (séquençage, régions codantes complètes) | Ce code a été retiré et remplacé. | 55039 |
| 55051 | D. mol. maladie héréditaire | Syndrome de Brugada; recherche de variant familial (séquençage) | Ce code a été retiré et remplacé. | 55069 |
| 55053 | D. mol. maladie héréditaire | Syndrome du QT long (panel de gènes par SNG) | Ce code a été retiré et remplacé. | 55039 |
| 55055 | D. mol. maladie héréditaire | Syndrome du QT long; recherche de variant familial (séquençage) | Ce code a été retiré et remplacé. | 55069 |
| 55057 | D. mol. maladie héréditaire | Syndrome du QT court (panel de gènes par SNG) | Ce code a été retiré et remplacé. | 55039 |
| 55058 | D. mol. maladie héréditaire | Syndrome du QT court; recherche de variant familial (séquençage) | Ce code a été retiré et remplacé. | 55069 |
| 55059 | D. mol. maladie héréditaire | Tachycardie ventriculaire polymorphe catécholergique (panel de gènes par SNG) | Ce code a été retiré et remplacé. | 55039 |
| 55060 | D. mol. maladie héréditaire | Tachycardie ventriculaire polymorphe catécholergique; recherche de variant familial (séquençage) | Ce code a été retiré et remplacé. | 55069 |
| 55061 | D. mol. maladie héréditaire | Mort subite cardiaque inexplicquée (panel de gènes par SNG) | Ce code a été retiré et remplacé. | 55039 |

| Code | Sous-section | Description | Modification | Correspondance nouveau code |
|-------|-----------------------------|--|-----------------------------------|-----------------------------|
| 55062 | D. mol. maladie héréditaire | Mort subite cardiaque inexpliquée; recherche de variant familial (séquençage) | Ce code a été retiré et remplacé. | 55069 |
| 55063 | D. mol. maladie héréditaire | Trouble familial progressif de la conduction cardiaque (panel de gènes par SNG et Sanger) | Ce code a été retiré et remplacé. | 55039 |
| 55064 | D. mol. maladie héréditaire | Trouble familial progressif de la conduction cardiaque; recherche de variant familial (séquençage) | Ce code a été retiré et remplacé. | 55069 |
| 55065 | D. mol. maladie héréditaire | Pan-Arythmies (panel de gènes par SNG) | Ce code a été retiré. | |
| 55066 | D. mol. maladie héréditaire | Pan-mort subite inexpliquée (panel de gènes par SNG) | Ce code a été retiré. | |
| 55073 | D. mol. maladie héréditaire | Cardiomyopathie dilatée et non-compaction ventriculaire gauche (panel de gènes par SNG) | Ce code a été retiré et remplacé. | 55039 |
| 55075 | D. mol. maladie héréditaire | Cardiomyopathie dilatée et non-compaction ventriculaire gauche; recherche de variant familial (séquençage) | Ce code a été retiré et remplacé. | 55069 |
| 55077 | D. mol. maladie héréditaire | Cardiomyopathie ventriculaire droite arythmogène (panel de gènes par SNG) | Ce code a été retiré et remplacé. | 55039 |
| 55079 | D. mol. maladie héréditaire | Cardiomyopathie ventriculaire droite arythmogène; recherche de variant familial (séquençage) | Ce code a été retiré et remplacé. | 55069 |
| 55083 | D. mol. maladie héréditaire | Amyloïdose cardiaque; TTR; recherche de variant familial (séquençage) | Ce code a été retiré et remplacé. | 55069 |
| 55085 | D. mol. maladie héréditaire | Pan-cardiomyopathie (panel de gènes par SNG) | Ce code a été retiré. | |
| 55098 | D. mol. maladie héréditaire | Cardiomyopathie hypertrophique; recherche de variant familial (séquençage) | Ce code a été retiré et remplacé. | 55069 |
| 55099 | D. mol. maladie héréditaire | Cardiomyopathies hypertrophiques (SNG) | Ce code a été retiré et remplacé. | 55039 |
| 55100 | D. mol. maladie héréditaire | Anévrisme de l'aorte familial (panel de gènes par SNG) | Ce code a été retiré et remplacé. | 55039 |
| 55101 | D. mol. maladie héréditaire | Anévrisme de l'aorte familial; recherche de variant familial (séquençage) | Ce code a été retiré et remplacé. | 55069 |
| 55102 | D. mol. maladie héréditaire | Syndrome d'Ehlers-Danlos classique (panel de gènes par SNG) | Ce code a été retiré et remplacé. | 55039 |
| 55103 | D. mol. maladie héréditaire | Syndrome d'Ehlers-Danlos classique; recherche de variant familial (séquençage) | Ce code a été retiré et remplacé. | 55069 |
| 55104 | D. mol. maladie héréditaire | Syndrome d'Ehlers-Danlos vasculaire (panel de gènes par SNG) | Ce code a été retiré et remplacé. | 55039 |
| 55105 | D. mol. maladie héréditaire | Syndrome d'Ehlers-Danlos vasculaire; recherche de variant familial (séquençage) | Ce code a été retiré et remplacé. | 55069 |
| 55106 | D. mol. maladie héréditaire | Syndrome de Loews-Dietz (panel de gènes par SNG) | Ce code a été retiré et remplacé. | 55039 |
| 55107 | D. mol. maladie héréditaire | Syndrome de Loews-Dietz; recherche de variant familial (séquençage) | Ce code a été retiré et remplacé. | 55069 |
| 55108 | D. mol. maladie héréditaire | Syndrome de Marfan (panel de gènes par SNG) | Ce code a été retiré et remplacé. | 55039 |
| 55109 | D. mol. maladie héréditaire | Syndrome de Marfan; recherche de variant familial (séquençage) | Ce code a été retiré et remplacé. | 55069 |
| 55113 | D. mol. maladie héréditaire | Hypercholestérolémie familiale (HF) (panel de gènes par SNG) | Ce code a été retiré et remplacé. | 55041 |
| 55114 | D. mol. maladie héréditaire | Hypercholestérolémie familiale (HF); recherche de variant familial (séquençage) | Ce code a été retiré et remplacé. | 55070 |
| 55115 | D. mol. maladie héréditaire | Hyperalphalipoprotéïnémie familiale; CETP; (séquençage, régions codantes complètes) | Ce code a été retiré et remplacé. | 55041 |
| 55116 | D. mol. maladie héréditaire | Hyperalphalipoprotéïnémie familiale; recherche de variant familial (séquençage) | Ce code a été retiré et remplacé. | 55070 |
| 55117 | D. mol. maladie héréditaire | Hyperchylomicronémie familiale (panel de gènes par SNG) | Ce code a été retiré et remplacé. | 55041 |
| 55118 | D. mol. maladie héréditaire | Hyperchylomicronémie familiale; recherche de variant familial (séquençage) | Ce code a été retiré et remplacé. | 55070 |

| Code | Sous-section | Description | Modification | Correspondance nouveau code |
|-------|----------------------------------|---|---|-----------------------------|
| 55119 | D. mol. maladie héréditaire | Sitostérolémie (panel de gènes par SNG) | Ce code a été retiré et remplacé. | 55041 |
| 55120 | D. mol. maladie héréditaire | Sitostérolémie; recherche de variant familial (séquençage) | Ce code a été retiré et remplacé. | 55070 |
| 55165 | D. mol. cancérologie héréditaire | Cancer colorectal héréditaire - Panel de gènes (SNG) | Ce code est remplacé par le code 55374 (technique et interprétation) ou le code 55386 (interprétation seulement). | |
| 55206 | D. mol. maladie héréditaire | Dysautonomie familiale ou neuropathie sensitive et autonome héréditaire type III (HSAN3); IKBKAP (IVS20+6T>C/c.2204+6T>C) | Cette analyse est effectuée dans le panel de mutations juives ashkénazes par SNG. | 55252 |
| 55246 | D. mol. maladie héréditaire | Maladie de Tay-Sachs ou gangliosidose à GM2 variant B; HEXA; (séquençage, mutation individuelle) | Ce code est retiré et remplacé par le code générique pour les mutations familiales. | 55319 |
| 55248 | D. mol. maladie héréditaire | Maladie de Tay-Sachs ou gangliosidose à GM2 variant B; HEXA; (panel de mutations) | Ce code est inclus dans le code 55250. | 55250 |
| 55278 | D. mol. cancérologie héréditaire | Polypose adénomateuse colique; APC; exon 1 à 14, (TPT) | Ce code n'est plus utilisé. | |
| 80418 | CTQ | Thyroxine (T4) libre par dialyse à l'équilibre (sérum) (UPLC-MS-MS) | Cette analyse n'est plus effectuée au CTQ. | |
| 82019 | LSPQ - bact. spéciale | Borrelia garinii et Borrelia afzelii (maladie de Lyme acquise en Europe ou en Asie); confirmation (immunoblot IgM) | Le LNM n'offre plus l'analyse. | |
| 82024 | LSPQ - bact. spéciale | Borrelia hermsii; détection (anticorps) | Le LNM n'offre plus l'analyse. | |
| 83045 | LSPQ - virologie | Virus de l'immunodéficience humaine (VIH); détection (anticorps) sur salive | Cette analyse n'est plus effectuée au LSPQ. | |

Tableau 1 – Liste des phénotypes communs (code 10136)

| Code TL | Libellé | Code TL | Libellé |
|---------|-------------------------------------|---------|---------------------------------------|
| 1050 | C phénotype (Grand) | 4140 | k (Cellano) phénotype culot |
| 1060 | c phénotype (Petit) | 4145 | k (Cellano) phénotype culot (reprise) |
| 1070 | CDE Phénotype | 4180 | Lea phénotype culot |
| 1170 | E phénotype (Grand) | 4185 | Lea phénotype culot (reprise) |
| 1180 | e phénotype (Petit) | 4190 | Leb phénotype culot |
| 1290 | Fya phénotype | 4195 | Leb phénotype culot (reprise) |
| 1300 | Fyb phénotype | 4220 | M phénotype culot |
| 1430 | Jka phénotype | 4225 | M phénotype culot (reprise) |
| 1440 | Jkb phénotype | 4230 | N phénotype culot |
| 1460 | K (Kell) phénotype | 4235 | N phénotype culot (reprise) |
| 1470 | k (Cellano) phénotype | 4240 | P1 phénotype culot |
| 1490 | Lea phénotype | 4245 | P1 phénotype culot (reprise) |
| 1500 | Leb phénotype | 4250 | S phénotype (Grand) culot |
| 1510 | Lectine A1 | 4255 | S phénotype (Grand) culot (reprise) |
| 1520 | Lectine H | 4260 | s phénotype (Petit) culot |
| 1540 | M phénotype | 4265 | s phénotype (Petit) culot (reprise) |
| 1550 | N phénotype | 15092 | l phénotype |
| 1560 | P1 phénotype | 20005 | A1 phénotype segment 1 |
| 1670 | S phénotype | 20010 | C phénotype (Grand) segment 1 |
| 1680 | s phénotype | 20015 | c phénotype (Petit) segment 1 |
| 4000 | A1 Phénotype culot | 20020 | E phénotype (Grand) segment 1 |
| 4005 | A1 Phénotype culot (reprise) | 20025 | e phénotype (Petit) segment 1 |
| 4010 | C phénotype (Grand) culot | 20030 | Fya phénotype segment 1 |
| 4015 | C phénotype (Grand) culot (reprise) | 20035 | Fyb phénotype segment 1 |
| 4020 | c phénotype (Petit) culot | 20040 | Jka phénotype segment 1 |

Tableau 1 – Liste des phénotypes communs (code 10136)

| Code TL | Libellé | Code TL | Libellé |
|---------|-------------------------------------|---------|---------------------------------|
| 4025 | c phénotype (Petit) culot (reprise) | 20045 | Jkb phénotype segment 1 |
| 4030 | CDE phénotype culot | 20060 | K (Kell) phénotype segment 1 |
| 4035 | CDE Phénotype culot (reprise) | 20065 | k (Cellano) phénotype segment 1 |
| 4050 | E phénotype (Grand) culot | 20080 | Lea phénotype segment 1 |
| 4055 | E phénotype (Grand) culot (reprise) | 20085 | Leb phénotype segment 1 |
| 4060 | e phénotype (Petit) culot | 20100 | M phénotype segment 1 |
| 4065 | e phénotype (Petit) culot (reprise) | 20105 | N phénotype segment 1 |
| 4070 | Fya phénotype culot | 20110 | P1 phénotype segment 1 |
| 4075 | Fya phénotype culot (reprise) | 20115 | S phénotype segment 1 |
| 4080 | Fyb phénotype culot | 20120 | s phénotype segment 1 |
| 4085 | Fyb phénotype culot (reprise) | 30005 | A1 phénotype segment 2 |
| 4090 | Jka phénotype culot | 30010 | C phénotype (Grand) segment 2 |
| 4095 | Jka phénotype culot (reprise) | 30015 | c phénotype (Petit) segment 2 |
| 4100 | Jkb phénotype culot | 30020 | E phénotype (Grand) segment 2 |
| 4105 | Jkb phénotype culot (reprise) | 30025 | e phénotype (Petit) segment 2 |
| 4130 | K (Kell) phénotype culot | 30030 | Fya phénotype segment 2 |
| 4135 | K (Kell) phénotype culot (reprise) | 30035 | Fyb phénotype segment 2 |
| 30045 | Jkb phénotype segment 2 | 30040 | Jka phénotype segment 2 |
| 30060 | K (Kell) phénotype segment 2 | 50025 | e phénotype (Petit) segment 4 |
| 30065 | k (Cellano) phénotype segment 2 | 50030 | Fya phénotype segment 4 |
| 30080 | Lea phénotype segment 2 | 50035 | Fyb phénotype segment 4 |
| 30085 | Leb phénotype segment 2 | 50040 | Jka phénotype segment 4 |
| 30100 | M phénotype segment 2 | 50045 | Jkb phénotype segment 4 |
| 30105 | N phénotype segment 2 | 50060 | K (Kell) phénotype segment 4 |
| 30110 | P1 phénotype segment 2 | 50065 | k (Cellano) phénotype segment 4 |

Tableau 1 – Liste des phénotypes communs (code 10136)

| Code TL | Libellé | Code TL | Libellé |
|---------|---------------------------------|---------|---------------------------------|
| 30115 | S phénotype segment 2 | 50080 | Lea phénotype segment 4 |
| 30120 | s phénotype segment 2 | 50085 | Leb phénotype segment 4 |
| 40005 | A1 phénotype segment 3 | 50100 | M phénotype segment 4 |
| 40010 | C phénotype (Grand) segment 3 | 50105 | N phénotype segment 4 |
| 40015 | c phénotype (Petit) segment 3 | 50110 | P1 phénotype segment 4 |
| 40020 | E phénotype (Grand) segment 3 | 50115 | S phénotype segment 4 |
| 40025 | e phénotype (Petit) segment 3 | 60005 | A1 phénotype segment 5 |
| 40030 | Fya phénotype segment 3 | 60010 | C phénotype (Grand) segment 5 |
| 40035 | Fyb phénotype segment 3 | 60015 | c phénotype (Petit) segment 5 |
| 40040 | Jka phénotype segment 3 | 60020 | E phénotype (Grand) segment 5 |
| 40045 | Jkb phénotype segment 3 | 60025 | e phénotype (Petit) segment 5 |
| 40060 | K (Kell) phénotype segment 3 | 60030 | Fya phénotype segment 5 |
| 40065 | k (Cellano) phénotype segment 3 | 60035 | Fyb phénotype segment 5 |
| 40080 | Lea phénotype segment 3 | 60040 | Jka phénotype segment 5 |
| 40085 | Leb phénotype segment 3 | 60045 | Jkb phénotype segment 5 |
| 40100 | M phénotype segment 3 | 60060 | K (Kell) phénotype segment 5 |
| 40105 | N phénotype segment 3 | 60065 | k (Cellano) phénotype segment 5 |
| 40110 | P1 phénotype segment 3 | 60080 | Lea phénotype segment 5 |
| 40115 | S phénotype segment 3 | 60085 | Leb phénotype segment 5 |
| 40120 | s phénotype segment 3 | 60100 | M phénotype segment 5 |
| 50005 | A1 phénotype segment 4 | 60105 | N phénotype segment 5 |
| 50010 | C phénotype (Grand) segment 4 | 60110 | P1 phénotype segment 5 |
| 50015 | c phénotype (Petit) segment 4 | 60115 | S phénotype segment 5 |
| 50020 | E phénotype (Grand) segment 4 | 60120 | s phénotype segment 5 |
| 50120 | s phénotype segment 4 | | |

Tableau 2 – Liste des phénotypes rares (code 10137)

| Code TL | Libellé | Code TL | Libellé |
|---------|----------------------------------|---------|-------------------------|
| 1150 | Cw phénotype | 15088 | Cob phénotype |
| 1475 | K11 Phénotype | 20070 | Kpa phénotype segment 1 |
| 1480 | Kpa Phénotype | 20075 | Kpb phénotype segment 1 |
| 1485 | Kpb Phénotype | 20090 | Lua phénotype segment 1 |
| 1530 | Lua phénotype | 20095 | Lub phénotype segment 1 |
| 1535 | Lub phénotype | 30070 | Kpa phénotype segment 2 |
| 1830 | Wright phénotype | 30075 | Kpb phénotype segment 2 |
| 4040 | Cw phénotype culot | 30090 | Lua phénotype segment 2 |
| 4045 | Cw phénotype culot (reprise) | 30095 | Lub phénotype segment 2 |
| 4150 | K11 Phénotype culot | 40070 | Kpa phénotype segment 3 |
| 4155 | K11 Phénotype culot (reprise) | 40075 | Kpb phénotype segment 3 |
| 4160 | Kpa phénotype culot | 40090 | Lua phénotype segment 3 |
| 4165 | Kpa phénotype culot (reprise) | 40095 | Lub phénotype segment 3 |
| 4170 | Kpb phénotype culot | 50070 | Kpa phénotype segment 4 |
| 4175 | Kpb phénotype culot (reprise) | 50075 | Kpb phénotype segment 4 |
| 4200 | Lua phénotype culot | 50090 | Lua phénotype segment 4 |
| 4205 | Lua phénotype culot (reprise) | 50095 | Lub phénotype segment 4 |
| 4210 | Lub phénotype culot | 60070 | Kpa phénotype segment 5 |
| 4215 | Lub phénotype culot (reprise) | 60075 | Kpb phénotype segment 5 |
| 4280 | Wright phénotype culot | 60090 | Lua phénotype segment 5 |
| 4285 | Wright phénotype culot (reprise) | 60095 | Lub phénotype segment 5 |
| 15078 | Dia phénotype | | |

Tableau 3 – Liste des phénotypes par méthode automatisée (code 10134)

| Code | Libellé | Code | Libellé |
|------|---|------|---|
| 829 | Rh/Kell Automatisé | 1557 | M N S s Fya Fyb phénotypes automatisés |
| 833 | Rh Kell Automatisé #2 | 1685 | S s phénotypes automatisés |
| 1051 | C phénotype (Grand) Automatisé | 4037 | CcEe phénotype culot automatisé |
| 1061 | c phénotype (Petit) Automatisé | 4087 | Fya Fyb phénotypes automatisés culot |
| 1072 | CcEe phénotype automatisé | 4107 | Jka Jkb phénotypes automatisés culot |
| 1171 | E phénotype (Grand) Automatisé | 4147 | k Jka Jkb Kpa Kpb phénotypes automatisés culot |
| 1181 | e phénotype (Petit) Automatisé | 4217 | Lua Lub phénotypes automatisés culot |
| 1301 | Fya Fyb phénotype automatisé | 4237 | M N phénotypes automatisés culot |
| 1445 | Jka Jkb phénotype automatisé | 4238 | M N S s Fya Fyb phénotypes automatisés culot |
| 1461 | K (Kell) phénotype Automatisé | 4247 | P1 Lea Leb Lua Lub phénotypes automatisés culot |
| 1472 | k Jka Jkb Kpa Kpb phénotypes automatisés | 4267 | S s phénotypes automatisés culot |
| 1505 | P1 Lea Leb Lua Lub phénotypes automatisés | 5085 | Rh/Kell Automatisé pour culot |
| 1537 | Lua Lub phénotypes automatisés | 5087 | Rh Kell Automatisé pour culot #2 |
| 1555 | M N phénotypes automatisés | | |

Tableau 4 – Correspondance entre les codes du *Répertoire* et les codes Trace Line

| Code | Réf texte | Libellé | Code TL | Libellé | Précision |
|-------|--------------|---|---------|--|---|
| 10000 | | Agglutinines froides (dépistage) (qualitatif) autocontrôles inclus | 1160 | Dépistage aggl. froides | Inclut le code 1164, mais il ne doit pas être calculé en plus. |
| | | | 1161 | Dépist. agg. froides cordon | |
| | | | 1162 | Dépist. ISO. agg. froides | |
| | | | 1163 | Dépistage agglutinines froides OI | |
| | | | 1330 | Identification d'agglutinines froides | |
| 10001 | | Agglutinines froides (titrage par amplitude thermique) autocontrôles inclus | 1691 | Titrage agg. froides cell.OI à 37 °C | Élément de compte « par rapport » : compter un seul des quatre codes. |
| | | | 1692 | Titrage agg. froides cell.OI à 22 °C | |
| | | | 1693 | Titrage agg. froides cell.OI à 4 °C | |
| | | | 1694 | Titrage agg. froides cell.OI à 30 °C | |
| | | | 1711 | Titrage agg. froides cell.OI (petit) à 37 °C | Élément de compte « par rapport » : compter un seul des quatre codes. |
| | | | 1712 | Titrage agg. froides cell.OI (petit) à 22 °C | |
| | | | 1713 | Titrage agg. froides cell.OI (petit) à 4 °C | |
| | | | 1714 | Titrage agg. froides cell.OI (petit) à 30 °C | |
| 10002 | | Agglutinines froides (titrage) (quantitatif) autocontrôles inclus | 1690 | Titrage agg. froides cell.OI | Inclut le code 1730, mais il ne doit pas être calculé en plus. |
| | | | 1710 | Titrage agg. froides cell.OI (petit) | |
| | | | 1731 | Titrage agg. Froide ISO | |
| | | | 1732 | Titrage agg. Froide ISO #2 | |
| | | | 1090 | Allo-Absorption Anti-HLA sur HPC | |

Tableau 4 – Correspondance entre les codes du *Répertoire* et les codes Trace Line

| Code | Réf texte | Libellé | Code TL | Libellé | Précision |
|-------|--------------|---|---------|--|---|
| 10007 | * | Anticorps irréguliers (identification manuelle) | 1082 | Identification d'anticorps sur sérum absorbé | <p>Exemple de compilation pour code :</p> <p>Pour un même usager, vous utilisez votre panel initial de 11 cellules, puis votre panel enzymé de 11 cellules, et pour finir, vous sélectionnez 9 cellules discriminantes* supplémentaires. Vous devez alors compter 3 panels.</p> <p>Panel initial = 1 panel Panel enzymé = trousse commerciale = 1 panel 9 cellules discriminantes = 1 panel Donc 3 panels</p> <p>Décompte par tranche de 5 cellules discriminantes :</p> <p>0-4 = 0 panel 5-9 = 1 panel 10 = 2 panels</p> <p>Pour plus de détails, consulter la partie texte du Répertoire.</p> |
| | | | 1340 | Identification d'anticorps | |
| | | | 12000 | Panel supplémentaire #1 | |
| | | | 12001 | Panel supplémentaire #2 | |
| | | | 12002 | Panel supplémentaire #3 | |
| | | | 12003 | Panel supplémentaire #4 | |
| | | | 12004 | Panel supplémentaire #5 | |
| 10008 | * | Allo ou auto adsorption à chaud | 1086 | Adsorption à chaud #1 | |
| | | | 1087 | Adsorption à chaud #2 | |
| | | | 1088 | Adsorption à chaud #3 | |
| | | | 1089 | Adsorption à chaud #4 | |
| 10009 | * | Allo ou auto adsorption à froid | 1091 | Adsorption à froid #1 | |
| | | | 1092 | Adsorption à froid #2 | |
| | | | 1093 | Adsorption à froid #3 | |
| | | | 1094 | Adsorption à froid #4 | |

Tableau 4 – Correspondance entre les codes du *Répertoire* et les codes Trace Line

| Code | Réf texte | Libellé | Code TL | Libellé | Précision |
|-------|--------------|--|---------|--|---|
| 10020 | * | Cellules fœtales (agglutination) (dépiſtage) (qualitatif) | 1310 | HB foetale (dépiſtage) | |
| 10021 | | Cellules fœtales (quantitatif) (Kleihauer) | 1320 | HB foetale (Kleihauer) | Ce code est classé en hématocytochimie dans le Répertoire. Vous pouvez compiler cette activité si elle est réalisée en banque de sang dans votre installation. |
| 10024 | * | Compatibilité (manuelle ou automatisée) | 1110 | Compatibilité post-distribution #1 | Attention à la distinction entre les codes d'analyses et les ajouts techniques. Attention : les codes 5010, 5020, 5030, 5040, 5060 et 5070 ne peuvent être ajoutés qu'une seule fois par rapport, donc si plus d'un culot est comptabilisé, les calculs devront être faits manuellement. |
| | | | 1111 | Compatibilité post-distribution #2 | |
| | | | 1112 | Compatibilité post-distribution #3 | |
| | | | 1113 | Compatibilité post-distribution #4 | |
| | | | 1114 | Compatibilité post-distribution #5 | |
| | | | 1115 | Compatibilité post-distribution #6 | |
| | | | 1116 | Compatibilité post-distribution #7 | |
| | | | 1117 | Compatibilité post-distribution #8 | |
| | | | 1118 | Compatibilité post-distribution #9 | |
| | | | 1119 | Compatibilité post-distribution #10 | |
| | | | 1120 | Compatibilité post-distribution #11 | |
| | | | 1121 | Compatibilité post-distribution #12 | |
| | | | 1122 | Compatibilité post-distribution #13 | |
| | | | 1123 | Compatibilité post-distribution #14 | |
| | | | 1124 | Compatibilité post-distribution #15 | |
| | | | 5000 | Compatibilité | |
| | | | 5010 | Compatibilité centrifugation immédiate | |
| | | | 5020 | Compatibilité albumine | |

Tableau 4 – Correspondance entre les codes du *Répertoire* et les codes Trace Line

| Code | Réf texte | Libellé | Code TL | Libellé | Précision |
|------------------|-----------------------------|---|---------|---|-----------|
| 10024 (suite) | * | Compatibilité (manuelle ou automatisée) | 5030 | Compatibilité Liss | |
| | | | 5040 | Compatibilité en PEG | |
| | | | 5050 | Compatibilité en GEL | |
| | | | 5060 | Compatibilité donneur vs bébé | |
| | | | 5070 | Compatibilité donneur vs mère | |
| | | | 5080 | Compatibilité automatisée | |
| | | | 5081 | Compatibilité post-distribution automatisée | |
| | | | 6201 | Compatibilité pré-transfusionnel #1 | |
| | | | 6202 | Compatibilité pré-transfusionnel #2 | |
| | | | 6203 | Compatibilité pré-transfusionnel #3 | |
| | | | 6204 | Compatibilité pré-transfusionnel #4 | |
| | | | 6205 | Compatibilité pré-transfusionnel #5 | |
| | | | 6501 | Compatibilité post-transfusionnel #1 | |
| | | | 6502 | Compatibilité post-transfusionnel #2 | |
| | | | 6503 | Compatibilité post-transfusionnel #3 | |
| | | | 6504 | Compatibilité post-transfusionnel #4 | |
| | | | 6505 | Compatibilité post-transfusionnel #5 | |
| | | | 20150 | Compatibilité sur segment 1 | |
| | | | 30150 | Compatibilité sur segment 2 | |
| | | | 40150 | Compatibilité sur segment 3 | |
| 50150 | Compatibilité sur segment 4 | | | | |
| 60150 | Compatibilité sur segment 5 | | | | |

Tableau 4 – Correspondance entre les codes du *Répertoire* et les codes Trace Line

| Code | Réf texte | Libellé | Code TL | Libellé | Précision |
|----------------|-------------------------|---|---------|--|--|
| 10032 10034 | | Coombs direct polyspécifique ou monospécifique (technique en tube (10032) ou technique en gel (10034)) (manuelle) | 880 | Coombs direct polyvalent | L'élément de compte est par résultat. Par exemple, pour un même usager, Coombs polyspécifique positif, fraction IgG positive et fraction C3 négative = 3 résultats |
| | | | 881 | Coombs direct polyvalent 22 °C | |
| | | | 882 | Coombs direct à 22 °C en Salin | |
| | | | 883 | Coombs direct à 22 °C en Sérum AB | |
| | | | 884 | Coombs direct à 22 °C en Salin Plasma | |
| | | | 885 | Coombs direct polyvalent 37 | |
| | | | 886 | Coombs direct à 37 °C en Salin | |
| | | | 887 | Coombs direct à 37 °C en Sérum AB | |
| | | | 899 | Coombs direct gel BB | |
| | | | 900 | Coombs direct polyvalent BB | |
| | | | 901 | Coombs direct en IgG gel BB | |
| | | | 902 | Coombs direct polyvalent BB plasma | |
| | | | 903 | Coombs direct polyvalent plasma | |
| | | | 904 | Coombs direct polyvalent en gel plasma | |
| | | | 905 | Coombs direct IgG en gel sur plasma | |
| | | | 920 | Coombs direct C3 | |
| 921 | Coombs direct C3 Plasma | | | | |
| 922 | Coombs direct C3 Gel | | | | |

Tableau 4 – Correspondance entre les codes du *Répertoire* et les codes Trace Line

| Code | Réf texte | Libellé | Code TL | Libellé | Précision |
|---------------------------|-------------------------------|---|---------|--|-----------|
| 10032 10034 (suite) | | Coombs direct polyspécifique ou monospécifique (technique en tube (10032) ou technique en gel (10034)) (manuelle) | 925 | Coombs direct à 37 °C en C3 | |
| | | | 940 | Coombs direct IgG | |
| | | | 941 | Coombs direct IgG BB | |
| | | | 942 | Coombs direct IgG plasma | |
| | | | 943 | Coombs direct IgG BB plasma | |
| | | | 944 | Coombs direct à 22 °C en Salin BB plasma | |
| | | | 945 | Coombs direct à 37 °C en IgG | |
| | | | 950 | Coombs direct IgG gel | |
| | | | 951 | Coombs direct à 22 °C en Salin BB | |
| | | | 952 | Coombs direct polyvalent 37 BB | |
| | | | 953 | Coombs direct C3 BB | |
| | | | 954 | Coombs direct C3 BB plasma | |
| | | | 960 | Coombs direct Gel | |
| | | | 964 | Coombs direct polyspécifique en gel | |
| | | | 1625 | Coombs direct sur le culot | |
| 1860 | Coombs direct sur le culot #2 | | | | |
| 1861 | Coombs direct sur le culot #3 | | | | |
| 1862 | Coombs direct sur le culot #4 | | | | |

Tableau 4 – Correspondance entre les codes du *Répertoire* et les codes Trace Line

| Code | Réf texte | Libellé | Code TL | Libellé | Précision |
|---------------------------|-----------------------------|---|---------|---------------------------------------|-----------|
| 10032 10034 (suite) | | Coombs direct polyspécifique ou monospécifique (technique en tube (10032) ou technique en gel (10034)) (manuelle) | 1863 | Coombs direct sur le culot #5 | |
| | | | 1864 | Coombs direct sur le culot #6 | |
| | | | 1865 | Coombs direct sur le culot #7 | |
| | | | 1866 | Coombs direct sur le culot #8 | |
| | | | 1867 | Coombs direct sur le culot #9 | |
| | | | 1868 | Coombs direct sur le culot #10 | |
| | | | 6080 | Coombs direct pré-transfusionnel | |
| | | | 6082 | Coombs direct IgG pré-transfusionnel | |
| | | | 6084 | Coombs direct C3 pré-transfusionnel | |
| | | | 6380 | Coombs direct post-transfusionnel | |
| | | | 6382 | Coombs direct IgG post-transfusionnel | |
| | | | 6384 | Coombs direct C3 post-transfusionnel | |
| | | | 20160 | Coombs direct sur segment 1 | |
| | | | 30160 | Coombs direct sur segment 2 | |
| | | | 40160 | Coombs direct sur segment 3 | |
| 50160 | Coombs direct sur segment 4 | | | | |
| 60160 | Coombs direct sur segment 5 | | | | |

Tableau 4 – Correspondance entre les codes du *Répertoire* et les codes Trace Line

| Code | Réf texte | Libellé | Code TL | Libellé | Précision |
|-------|--------------|---|---------|---|---|
| 10028 | | Coombs direct polyspécifique ou monospécifique (automatisé) | 923 | Coombs direct C3 automatisé | |
| | | | 961 | Coombs direct polyspécifique automatisé | |
| | | | 963 | Coombs direct IgG automatisé | |
| | | | 965 | Coombs direct IgG automatisé #2 | |
| 10040 | * | Différentiation IgG-IgM (dithiothréitol-DTT) | 1095 | Différenciation IgG-IgM (DTT) | |
| 10044 | | Donath Landsteiner | 1165 | Donath Landsteiner | |
| 10060 | * | Élution (identification sur éluat incluse) | 1195 | Elution | |
| | | | 1200 | Élution 56 °C | |
| | | | 1270 | Elution GEL | |
| 10070 | | Fragilité osmotique | 1325 | Fragilité osmotique | |
| 10085 | * | Groupe sanguin ABO-Rh (automatisé) | 806 | ABO automatisé | Inclut les codes pour les analyses Rh; ils ne doivent pas être calculés en plus. |
| | | | 827 | ABOBB automatisé | |
| 10086 | * | Groupe sanguin ABO-Rh (manuel) | 800 | ABO groupe | Inclut les codes pour les analyses Rh; ils ne doivent pas être calculés en plus. Les codes indiqués en bleu sont utilisés pour les automates par le CHUM et comptés dans la VP du code 10085. |
| | | | 801 | ABO groupe plasma | |
| | | | 802 | ABO BB groupe plasma | |
| | | | 803 | ABO gel | |
| | | | 824 | ABO BB groupe | |
| | | | 1020 | ABO BB groupe confirmation | |

Tableau 4 – Correspondance entre les codes du *Répertoire* et les codes Trace Line

| Code | Réf texte | Libellé | Code TL | Libellé | Précision |
|------------------|--------------------------------|--|---------|--|--|
| 10086 (suite) | * | Groupe sanguin ABO-Rh (manuel) | 1030 | ABO confirmation receveur #2 | Inclut les codes pour les analyses Rh; ils ne doivent pas être calculés en plus. Les codes indiqués en bleu sont utilisés pour les automates par le CHUM et comptés dans la VP du code 10085. |
| | | | 1031 | ABO confirmation receveur #3 | |
| | | | 1032 | ABO confirmation receveur #4 | |
| | | | 1033 | ABO confirmation receveur #5 | |
| | | | 1034 | ABO confirmation receveur #6 | |
| | | | 1036 | ABO confirmation receveur #7 | |
| | | | 1037 | ABO confirmation receveur #8 | |
| | | | 1038 | ABO confirmation receveur #9 | |
| | | | 1039 | ABO confirmation receveur #10 | |
| | | | 1660 | ABO maternel | |
| | | | 1805 | Tube surplus | |
| | | | 1806 | Tube surplus (2) | |
| | | | 6020 | ABO groupe pré-transfusionnel | |
| 6320 | ABO groupe post-transfusionnel | | | | |
| 10111 | * | Anticorps irréguliers (identification automatisée) | 1004 | Identification d'anticorps automatisée | |
| | | | 12005 | Panel automatisé supplémentaire #1 | |
| | | | 12006 | Panel automatisé supplémentaire #2 | |
| | | | 12007 | Panel automatisé supplémentaire #3 | |

Tableau 4 – Correspondance entre les codes du *Répertoire* et les codes Trace Line

| Code | Réf texte | Libellé | Code TL | Libellé | Précision |
|------------------|---|---|---------|--|---|
| 10111 (suite) | * | Anticorps irréguliers (identification automatisée) | 12008 | Panel automatisé supplémentaire #4 | |
| | | | 12009 | Panel automatisé supplémentaire #5 | |
| 10115 | * | Investigation RhD faible | 1187 | D phénotype | L'extraction peut être réalisée à l'aide des codes eTrace Line 1187 D phénotype, 840 D faible ou 845 D faible BB, par exemple. Il importe de ne pas extraire de doublons en fonction du paramétrage local, d'exclure les résultats « non testés » et tous les résultats de génotypage se terminant par « (Géno connu) ». |
| | | | 840 | D faible | |
| | | | 845 | D faible BB | |
| | | | ... | Autre, selon paramétrage local | |
| 10134 | | Phénotype érythrocytaire commun ou rare (patient ou produit / par antigène / incluant contrôles) (automatisé) | 829 | Rh/Kell automatisé | |
| | | | 833 | Rh Kell automatisé #2 | |
| | | | 1051 | C phénotype (grand) automatisé | |
| | | | 1061 | c phénotype (petit) automatisé | |
| | | | 1072 | CcEe phénotype automatisé | |
| | | | 1171 | E phénotype (grand) automatisé | |
| | | | 1181 | e phénotype (petit) automatisé | |
| | | | 1301 | Fya Fyb phénotype automatisé | |
| | | | 1445 | Jka Jkb phénotype automatisé | |
| | | | 1461 | K (Kell) phénotype automatisé | |
| | | | 1472 | k Jka Jkb Kpa Kpb phénotypes automatisés | |
| 1505 | P1 Lea Leb Lua Lub phénotypes automatisés | | | | |

Tableau 4 – Correspondance entre les codes du *Répertoire* et les codes Trace Line

| Code | Réf texte | Libellé | Code TL | Libellé | Précision |
|------------------|----------------------------------|--|---------|--|-----------|
| 10134 (suite) | | Phénotype érythrocytaire commun ou rare (patient ou produit / par antigène / incluant contrôles) (automatisé) | 1537 | Lua Lub phénotypes automatisés | |
| | | | 1555 | M N phénotypes automatisés | |
| | | | 1557 | M N S s Fya Fyb phénotypes automatisés | |
| | | | 1685 | S s phénotypes automatisés | |
| | | | 4037 | CcEe phénotype culot automatisé | |
| | | | 4087 | Fya Fyb phénotypes automatisés culot | |
| | | | 4107 | Jka Jkb phénotypes automatisés culot | |
| | | | 4147 | k Jka Jkb Kpa Kpb phénotypes automatisés culot | |
| | | | 4217 | Lua Lub phénotypes automatisés culot | |
| | | | 4237 | M N phénotypes automatisés culot | |
| | | | 4238 | M N S s Fya Fyb phénotypes automatisés culot | |
| | | | 4247 | P1 Lea Leb Lua Lub phénotypes automatisés culot | |
| | | | 4267 | S s phénotypes automatisés culot | |
| 5085 | Rh/Kell automatisé pour culot | | | | |
| 5087 | Rh/Kell automatisé pour culot #2 | | | | |
| 10136 | * | Phénotype érythrocytaire commun (patient ou produit / par antigène / excluant ABO, D et incluant contrôles) (manuel) | 1050 | C phénotype (grand) | |
| | | | 1060 | c phénotype (petit) | |
| | | | 1070 | CDE Phénotype | |

Tableau 4 – Correspondance entre les codes du *Répertoire* et les codes Trace Line

| Code | Réf texte | Libellé | Code TL | Libellé | Précision |
|------------------|--------------------|--|---------|-----------------------|-----------|
| 10136 (suite) | * | Phénotype érythrocytaire commun (patient ou produit / par antigène / excluant ABO, D et incluant contrôles) (manuel) | 1170 | E phénotype (grand) | |
| | | | 1180 | e phénotype (petit) | |
| | | | 1290 | Fya phénotype | |
| | | | 1300 | Fyb phénotype | |
| | | | 1430 | Jka phénotype | |
| | | | 1440 | Jkb phénotype | |
| | | | 1460 | K (Kell) phénotype | |
| | | | 1470 | k (Cellano) phénotype | |
| | | | 1490 | Lea phénotype | |
| | | | 1500 | Leb phénotype | |
| | | | 1510 | Lectine A1 | |
| | | | 1520 | Lectine H | |
| | | | 1540 | M phénotype | |
| | | | 1550 | N phénotype | |
| | | | 1560 | P1 phénotype | |
| 1670 | S phénotype | | | | |
| 1680 | s phénotype | | | | |
| 4000 | A1 Phénotype culot | | | | |

Tableau 4 – Correspondance entre les codes du *Répertoire* et les codes Trace Line

| Code | Réf texte | Libellé | Code TL | Libellé | Précision |
|------------------|------------------------------------|--|---------|--|-----------|
| 10136 (suite) | * | Phénotype érythrocytaire commun (patient ou produit / par antigène / excluant ABO, D et incluant contrôles) (manuel) | 4005 | A1 Phénotype culot (confirmation) | |
| | | | 4010 | C phénotype (grand) culot | |
| | | | 4015 | C phénotype (grand) culot (confirmation) | |
| | | | 4020 | c phénotype (petit) culot | |
| | | | 4025 | c phénotype (petit) culot (confirmation) | |
| | | | 4030 | CDE phénotype culot | |
| | | | 4035 | CDE Phénotype culot (confirmation) | |
| | | | 4050 | E phénotype (grand) culot | |
| | | | 4055 | E phénotype (grand) culot (confirmation) | |
| | | | 4060 | e phénotype (petit) culot | |
| | | | 4065 | e phénotype (petit) culot (confirmation) | |
| | | | 4070 | Fya phénotype culot | |
| | | | 4075 | Fya phénotype culot (confirmation) | |
| | | | 4080 | Fyb phénotype culot | |
| | | | 4085 | Fyb phénotype culot (confirmation) | |
| 4090 | Jka phénotype culot | | | | |
| 4095 | Jka phénotype culot (confirmation) | | | | |
| 4100 | Jkb phénotype culot | | | | |

Tableau 4 – Correspondance entre les codes du *Répertoire* et les codes Trace Line

| Code | Réf texte | Libellé | Code TL | Libellé | Précision |
|------------------|--|--|---------|--|-----------|
| 10136 (suite) | * | Phénotype érythrocytaire commun (patient ou produit / par antigène / excluant ABO, D et incluant contrôles) (manuel) | 4105 | Jkb phénotype culot (confirmation) | |
| | | | 4130 | K (Kell) phénotype culot | |
| | | | 4135 | K (Kell) phénotype culot (confirmation) | |
| | | | 4140 | k (Cellano) phénotype culot | |
| | | | 4145 | k (Cellano) phénotype culot (confirmation) | |
| | | | 4180 | Lea phénotype culot | |
| | | | 4185 | Lea phénotype culot (confirmation) | |
| | | | 4190 | Leb phénotype culot | |
| | | | 4195 | Leb phénotype culot (confirmation) | |
| | | | 4220 | M phénotype culot | |
| | | | 4225 | M phénotype culot (confirmation) | |
| | | | 4230 | N phénotype culot | |
| | | | 4235 | N phénotype culot (confirmation) | |
| | | | 4240 | P1 phénotype culot | |
| | | | 4245 | P1 phénotype culot (confirmation) | |
| | | | 4250 | S phénotype (grand) culot | |
| 4255 | S phénotype (grand) culot (confirmation) | | | | |
| 4260 | s phénotype (petit) culot | | | | |

Tableau 4 – Correspondance entre les codes du *Répertoire* et les codes Trace Line

| Code | Réf texte | Libellé | Code TL | Libellé | Précision |
|------------------|------------------------|--|---------|--|-----------|
| 10136 (suite) | * | Phénotype érythrocytaire commun (patient ou produit / par antigène / excluant ABO, D et incluant contrôles) (manuel) | 4265 | s phénotype (petit) culot (confirmation) | |
| | | | 15092 | l phénotype | |
| | | | 20005 | A1 phénotype segment 1 | |
| | | | 20010 | C phénotype (grand) segment1 | |
| | | | 20015 | c phénotype (petit) segment 1 | |
| | | | 20020 | E phénotype (grand) segment 1 | |
| | | | 20025 | e phénotype (petit) segment 1 | |
| | | | 20030 | Fya phénotype segment 1 | |
| | | | 20035 | Fyb phénotype segment 1 | |
| | | | 20040 | Jka phénotype segment 1 | |
| | | | 20045 | Jkb phénotype segment 1 | |
| | | | 20060 | K (Kell) phénotype segment 1 | |
| | | | 20065 | k (Cellano) phénotype segment 1 | |
| | | | 20080 | Lea phénotype segment 1 | |
| | | | 20085 | Leb phénotype segment 1 | |
| 20100 | M phénotype segment 1 | | | | |
| 20105 | N phénotype segment 1 | | | | |
| 20110 | P1 phénotype segment 1 | | | | |

Tableau 4 – Correspondance entre les codes du *Répertoire* et les codes Trace Line

| Code | Réf texte | Libellé | Code TL | Libellé | Précision |
|------------------|------------------------|--|---------|---------------------------------|-----------|
| 10136 (suite) | * | Phénotype érythrocytaire commun (patient ou produit / par antigène / excluant ABO, D et incluant contrôles) (manuel) | 20115 | S phénotype segment 1 | |
| | | | 20120 | s phénotype segment 1 | |
| | | | 30005 | A1 phénotype segment 2 | |
| | | | 30010 | C phénotype (grand) segment 2 | |
| | | | 30015 | c phénotype (petit) segment 2 | |
| | | | 30020 | E phénotype (grand) segment 2 | |
| | | | 30025 | e phénotype (petit) segment 2 | |
| | | | 30030 | Fya phénotype segment 2 | |
| | | | 30035 | Fyb phénotype segment 2 | |
| | | | 30040 | Jka phénotype segment 2 | |
| | | | 30045 | Jkb phénotype segment 2 | |
| | | | 30060 | K (Kell) phénotype segment 2 | |
| | | | 30065 | k (Cellano) phénotype segment 2 | |
| | | | 30080 | Lea phénotype segment 2 | |
| | | | 30085 | Leb phénotype segment 2 | |
| | | | 30100 | M phénotype segment 2 | |
| 30105 | N phénotype segment 2 | | | | |
| 30110 | P1 phénotype segment 2 | | | | |

Tableau 4 – Correspondance entre les codes du *Répertoire* et les codes Trace Line

| Code | Réf texte | Libellé | Code TL | Libellé | Précision |
|------------------|------------------------|--|---------|---------------------------------|-----------|
| 10136 (suite) | * | Phénotype érythrocytaire commun (patient ou produit / par antigène / excluant ABO, D et incluant contrôles) (manuel) | 30115 | S phénotype segment 2 | |
| | | | 30120 | s phénotype segment 2 | |
| | | | 40005 | A1 phénotype segment 3 | |
| | | | 40010 | C phénotype (grand) segment 3 | |
| | | | 40015 | c phénotype (petit) segment 3 | |
| | | | 40020 | E phénotype (grand) segment 3 | |
| | | | 40025 | e phénotype (petit) segment 3 | |
| | | | 40030 | Fya phénotype segment 3 | |
| | | | 40035 | Fyb phénotype segment 3 | |
| | | | 40040 | Jka phénotype segment 3 | |
| | | | 40045 | Jkb phénotype segment 3 | |
| | | | 40060 | K (Kell) phénotype segment 3 | |
| | | | 40065 | k (Cellano) phénotype segment 3 | |
| | | | 40080 | Lea phénotype segment 3 | |
| | | | 40085 | Leb phénotype segment 3 | |
| | | | 40100 | M phénotype segment 3 | |
| 40105 | N phénotype segment 3 | | | | |
| 40110 | P1 phénotype segment 3 | | | | |

Tableau 4 – Correspondance entre les codes du *Répertoire* et les codes Trace Line

| Code | Réf texte | Libellé | Code TL | Libellé | Précision |
|------------------|------------------------|--|---------|---------------------------------|-----------|
| 10136 (suite) | * | Phénotype érythrocytaire commun (patient ou produit / par antigène / excluant ABO, D et incluant contrôles) (manuel) | 40115 | S phénotype segment 3 | |
| | | | 40120 | s phénotype segment 3 | |
| | | | 50005 | A1 phénotype segment 4 | |
| | | | 50010 | C phénotype (grand) segment 4 | |
| | | | 50015 | c phénotype (petit) segment 4 | |
| | | | 50020 | E phénotype (grand) segment 4 | |
| | | | 50025 | e phénotype (petit) segment 4 | |
| | | | 50030 | Fya phénotype segment 4 | |
| | | | 50035 | Fyb phénotype segment 4 | |
| | | | 50040 | Jka phénotype segment 4 | |
| | | | 50045 | Jkb phénotype segment 4 | |
| | | | 50060 | K (Kell) phénotype segment 4 | |
| | | | 50065 | k (Cellano) phénotype segment 4 | |
| | | | 50080 | Lea phénotype segment 4 | |
| | | | 50085 | Leb phénotype segment 4 | |
| | | | 50100 | M phénotype segment 4 | |
| 50105 | N phénotype segment 4 | | | | |
| 50110 | P1 phénotype segment 4 | | | | |

Tableau 4 – Correspondance entre les codes du *Répertoire* et les codes Trace Line

| Code | Réf texte | Libellé | Code TL | Libellé | Précision |
|------------------|------------------------|--|---------|---------------------------------|-----------|
| 10136 (suite) | * | Phénotype érythrocytaire commun (patient ou produit / par antigène / excluant ABO, D et incluant contrôles) (manuel) | 50115 | S phénotype segment 4 | |
| | | | 50120 | s phénotype segment 4 | |
| | | | 60005 | A1 phénotype segment 5 | |
| | | | 60010 | C phénotype (grand) segment 5 | |
| | | | 60015 | c phénotype (petit) segment 5 | |
| | | | 60020 | E phénotype (grand) segment 5 | |
| | | | 60025 | e phénotype (petit) segment 5 | |
| | | | 60030 | Fya phénotype segment 5 | |
| | | | 60035 | Fyb phénotype segment 5 | |
| | | | 60040 | Jka phénotype segment 5 | |
| | | | 60045 | Jkb phénotype segment 5 | |
| | | | 60060 | K (Kell) phénotype segment 5 | |
| | | | 60065 | k (Cellano) phénotype segment 5 | |
| | | | 60080 | Lea phénotype segment 5 | |
| | | | 60085 | Leb phénotype segment 5 | |
| | | | 60100 | M phénotype segment 5 | |
| 60105 | N phénotype segment 5 | | | | |
| 60110 | P1 phénotype segment 5 | | | | |

Tableau 4 – Correspondance entre les codes du *Répertoire* et les codes Trace Line

| Code | Réf texte | Libellé | Code TL | Libellé | Précision |
|------------------|------------------------------------|--|---------|------------------------------------|-----------|
| 10136 (suite) | * | Phénotype érythrocytaire commun (patient ou produit / par antigène / excluant ABO, D et incluant contrôles) (manuel) | 60115 | S phénotype segment 5 | |
| | | | 60120 | s phénotype segment 5 | |
| 10137 | * | Phénotype érythrocytaire rare (patient ou produit / par antigène / incluant contrôles) (manuel) | 1150 | Cw phénotype | |
| | | | 1475 | K11 Phénotype | |
| | | | 1480 | Kpa Phénotype | |
| | | | 1485 | Kpb Phénotype | |
| | | | 1530 | Lua phénotype | |
| | | | 1535 | Lub phénotype | |
| | | | 1830 | Wright phénotype | |
| | | | 4040 | Cw phénotype culot | |
| | | | 4045 | Cw phénotype culot (confirmation) | |
| | | | 4150 | K11 Phénotype culot | |
| | | | 4155 | K11 Phénotype culot (confirmation) | |
| | | | 4160 | Kpa phénotype culot | |
| | | | 4165 | Kpa phénotype culot (confirmation) | |
| | | | 4170 | Kpb phénotype culot | |
| 4175 | Kpb phénotype culot (confirmation) | | | | |
| 4200 | Lua phénotype culot | | | | |

Tableau 4 – Correspondance entre les codes du *Répertoire* et les codes Trace Line

| Code | Réf texte | Libellé | Code TL | Libellé | Précision |
|------------------|-------------------------|---|---------|---------------------------------------|-----------|
| 10137 (suite) | * | Phénotype érythrocytaire rare (patient ou produit / par antigène / incluant contrôles) (manuel) | 4205 | Lua phénotype culot (confirmation) | |
| | | | 4210 | Lub phénotype culot | |
| | | | 4215 | Lub phénotype culot (confirmation) | |
| | | | 4280 | Wright phénotype culot | |
| | | | 4285 | Wright phénotype culot (confirmation) | |
| | | | 15078 | Dia phénotype | |
| | | | 15088 | Cob phénotype | |
| | | | 20070 | Kpa phénotype segment 1 | |
| | | | 20075 | Kpb phénotype segment 1 | |
| | | | 20090 | Lua phénotype segment 1 | |
| | | | 20095 | Lub phénotype segment 1 | |
| | | | 30070 | Kpa phénotype segment 2 | |
| | | | 30075 | Kpb phénotype segment 2 | |
| | | | 30090 | Lua phénotype segment 2 | |
| | | | 30095 | Lub phénotype segment 2 | |
| | | | 40070 | Kpa phénotype segment 3 | |
| 40075 | Kpb phénotype segment 3 | | | | |
| 40090 | Lua phénotype segment 3 | | | | |

Tableau 4 – Correspondance entre les codes du *Répertoire* et les codes Trace Line

| Code | Réf texte | Libellé | Code TL | Libellé | Précision |
|------------------|--------------|---|---------|--------------------------------------|-----------|
| 10137 (suite) | * | Phénotype érythrocytaire rare (patient ou produit / par antigène / incluant contrôles) (manuel) | 40095 | Lub phénotype segment 3 | |
| | | | 50070 | Kpa phénotype segment 4 | |
| | | | 50075 | Kpb phénotype segment 4 | |
| | | | 50090 | Lua phénotype segment 4 | |
| | | | 50095 | Lub phénotype segment 4 | |
| | | | 60070 | Kpa phénotype segment 5 | |
| | | | 60075 | Kpb phénotype segment 5 | |
| | | | 60090 | Lua phénotype segment 5 | |
| | | | 60095 | Lub phénotype segment 5 | |
| 10150 | | Anticorps irréguliers (recherche manuelle) | 805 | Cellules A1 37 °C | |
| | | | 847 | Recherche d'anticorps Salin plasma | |
| | | | 848 | Recherche d'anticorps Salin BB | |
| | | | 850 | Recherche d'anticorps Contrôle | |
| | | | 851 | Recherche d'anticorps en PEG plasma | |
| | | | 852 | Recherche d'anticorps en LISS plasma | |
| | | | 853 | Recherche d'anticorps en LISS BB | |
| | | | 854 | Recherche d'anticorps en GEL plasma | |

Tableau 4 – Correspondance entre les codes du *Répertoire* et les codes Trace Line

| Code | Réf texte | Libellé | Code TL | Libellé | Précision |
|------------------|--|--|---------|--|-----------|
| 10150 (suite) | | Anticorps irréguliers (recherche manuelle) | 855 | Recherche d'anticorps en GEL BB | |
| | | | 856 | Recherche d'anticorps en GEL BB plasma | |
| | | | 858 | Recherche d'anticorps Salin Coombs | |
| | | | 859 | Recherche d'anticorps immediate spin 2 | |
| | | | 861 | Recherche d'anticorps en SALIN | |
| | | | 862 | Recherche d'anticorps en ALBUMINEUX | |
| | | | 863 | Recherche d'anticorps en ALBUMINE ANTIGLOBULINE | |
| | | | 864 | Recherche d'anticorps en LISS | |
| | | | 865 | Recherche d'anticorps en PEG | |
| | | | 866 | Recherche d'anticorps en GEL | |
| | | | 867 | RECHERCHE D'ANTICORPS IMMEDIATE SPIN | |
| | | | 868 | Recherche d'anticorps en phase solide | |
| | | | 869 | Recherche d'anticorps avec ANTI- GLOBULINE | |
| | | | 870 | Recherche d'anticorps avec ENZYME EN GEL | |
| | | | 871 | Recherche d'anticorps avec ENZYME EN TUBE | |
| | | | 872 | RAI préchauffage Salin Coombs | |
| 873 | Recherche d'anticorps ANTIGLOBULINE LISS | | | | |
| 875 | Recherche d'anticorps avec ENZYME ANTIGLOBULINE | | | | |

Tableau 4 – Correspondance entre les codes du *Répertoire* et les codes Trace Line

| Code | Réf texte | Libellé | Code TL | Libellé | Précision |
|------------------|---|--|------------|---|-----------|
| 10150 (suite) | | Anticorps irréguliers (recherche manuelle) | 876 | Recherche d'anticorps Préchauffage ANTIGLOBULINE | |
| | | | 877 | Recherche d'anticorps Préchauffage LISS | |
| | | | 878 | Recherche d'Anticorps dilution 1:3 | |
| | | | 879 | Recherche d'Anticorps dilution 1:5 | |
| | | | 1570 | Rech. d'anti-A IgG | |
| | | | 1580 | Rech. d'anti-B IgG | |
| | | | 1581 | Rech. d'anti-A IgG Gel | |
| | | | 1582 | Rech. d'anti-B IgG Gel | |
| | | | 1664 | RAI maternel | |
| | | | 5090 | Recherche d'anticorps en gel sur produit | |
| | | | 6060 | Recherche d'anticorps pré-transfusionnel | |
| 6360 | Recherche d'anticorps post-transfusionnel | | | | |
| 10151 | | Recherche d'hémoglobinurie paroxystique nocturne (PNH) | Aucun code | | |
| 10153 | | Anticorps irréguliers (recherche automatisée) | 846 | Recherche d'anticorps automatisée | |
| | | | 857 | Recherche d'anticorps automatisée #2 | |
| | | | 874 | Recherche d'anticorps en phase solide automatisée | |
| 10170 | | Titrage anticorps (par anticorps) (incluant le titrage sur le sérum antérieur) | 1770 | Titrage nouveau spécimen | |
| | | | 1771 | Titrage nouveau (anticorps 2) | |
| | | | 1772 | Titrage nouveau (anticorps 3) | |

Tableau 4 – Correspondance entre les codes du *Répertoire* et les codes Trace Line

| Code | Réf texte | Libellé | Code TL | Libellé | Précision |
|------------------|---|--|---------|---|-----------|
| 10170 (suite) | | Titration anticorps (par anticorps) (incluant le titrage sur le sérum antérieur) | 1773 | Titration nouveau (anticorps 4) | |
| | | | 1774 | Titration nouveau (anticorps 5) | |
| | | | 1780 | Titration TEFA #1 | |
| | | | 1781 | Titration TEFA #2 | |
| | | | 1790 | Titration | |
| | | | 1791 | Titration (anticorps 2) | |
| | | | 1792 | Titration (anticorps 3) | |
| | | | 1793 | Titration (anticorps 4) | |
| | | | 1794 | Titration (anticorps 5) | |
| | | | 1795 | Titration isohémaggl.Cell A1 | |
| | | | 1796 | Titration isohémaggl.Cell A1 Coombs | |
| | | | 1797 | Titration isohémaggl.Cell A2 | |
| | | | 1798 | Titration isohémaggl.Cell A2 Coombs | |
| | | | 1799 | Titration isohémaggl.Cell B | |
| | | | 1800 | Titration isohémaggl.Cell B Coombs | |
| | | | 1951 | Titre isohémagglutinine dans plaquettes 1/50 Anti-A | |
| 1952 | Titre isohémagglutinine dans plaquettes 1/50 Anti-B | | | | |

Tableau 4 – Correspondance entre les codes du *Répertoire* et les codes Trace Line

| Code | Réf texte | Libellé | Code TL | Libellé | Précision |
|-------|-----------------------------|---|---------|---|-----------|
| 10173 | * | Traitement cellules (méthode EGA KIT) | 4500 | Traitement cellules (Phénotype) #1 | |
| | | | 4502 | Traitement cellules (Phénotype) #2 | |
| 10174 | * | Traitement enzymatique (Ex : ficine) pour identification d'anticorps | 4510 | Traitement enzymatique identification d'anticorps | |
| 10510 | * | Réception et manipulation d'un échantillon non analysé à la réception (à l'usage exclusif de la banque de sang) | 200 | Spécimen congelé | |
| | | | 1810 | Tube reçu | |
| 10512 | | Étude de don antérieur (par cas) (fait par technologiste) | 750 | Étude de don antérieur | |
| 10513 | | Étude de réaction transfusionnelle (fait par technologiste) | 700 | Réaction transfusionnelle post | |
| 10730 | | Confirmation du groupe sanguin (culots globulaire) | 1620 | Retypage ABO globulaire | |
| | | | 1630 | Retypage ABO plasmatique | |
| | | | 1850 | Retypage ABO globulaire #2 | |
| | | | 1851 | Retypage ABO globulaire #3 | |
| | | | 1852 | Retypage ABO globulaire #4 | |
| | | | 1853 | Retypage ABO globulaire #5 | |
| | | | 1854 | Retypage ABO globulaire #6 | |
| | | | 1855 | Retypage ABO globulaire #7 | |
| | | | 1856 | Retypage ABO globulaire #8 | |
| | | | 1857 | Retypage ABO globulaire #9 | |
| 1858 | Retypage ABO globulaire #10 | | | | |

Tableau 4 – Correspondance entre les codes du *Répertoire* et les codes Trace Line

| Code | Réf texte | Libellé | Code TL | Libellé | Précision |
|------------------|--------------------------|--|---------|------------------------------|---|
| 10730 (suite) | | Confirmation du groupe sanguin (culots globulaire) | 1870 | Retypage ABO plasmatique #2 | |
| | | | 1871 | Retypage ABO plasmatique #3 | |
| | | | 1872 | Retypage ABO plasmatique #4 | |
| | | | 1873 | Retypage ABO plasmatique #5 | |
| | | | 1874 | Retypage ABO plasmatique #6 | |
| | | | 1875 | Retypage ABO plasmatique #7 | |
| | | | 1876 | Retypage ABO plasmatique #8 | |
| | | | 1877 | Retypage ABO plasmatique #9 | |
| | | | 1878 | Retypage ABO plasmatique #10 | |
| | | | 20001 | ABO groupe sur segment 1 | |
| | | | 30001 | ABO groupe sur segment 2 | |
| | | | 40001 | ABO groupe sur segment 3 | |
| | | | 50001 | ABO groupe sur segment 4 | |
| 60001 | ABO groupe sur segment 5 | | | | |
| 70002 | * | Envoi intergroupes (vers un laboratoire d'un autre établissement) | 1280 | Envoi inter-établissement | Décompte manuel des échantillons requis |
| 70003 | * | Envoi intragroupe (entre les laboratoires d'un même établissement) | 1283 | Envoi interinstallations | Décompte manuel des échantillons requis |
| 70006 | * | Envoi hors Québec (par établissement) (excluant frais postaux) | 1282 | Envoi hors Québec | |

**CALENDRIER DE TRANSMISSION DES DONNÉES D'ACTIVITÉ DE LABORATOIRE
POUR L'ANNÉE FINANCIÈRE DÉBUTANT LE 1^{ER} AVRIL 2023**

| Périodes | Date de fin de la période financière | Date limite de transmission des données par les installations | Date limite de transmission et de validation des données dans Centralab | Commentaires |
|-----------|--------------------------------------|---|---|---|
| 13 (2023) | 2023-03-31 | 2023-04-22 | 2023-05-15 | <p>Validation signifie : s'assurer de l'<u>exactitude</u> des <u>codes utilisés</u> et des <u>données d'activité inscrites</u>.</p> <p>La fermeture de l'année financière 2023-2024 est fixée au 15 mai 2024.</p> <p>À cette date, toutes les données contenues dans Centralab devront avoir été préalablement validées par tous les intervenants dans ce dossier.</p> <p>Une lettre signée par les codirecteurs de la grappe doit attester les données de la banque de données et doit être transmise dans l'application.</p> |
| 1 | 2023-04-22 | 2023-05-20 | 2023-06-10 | |
| 2 | 2023-05-20 | 2023-06-17 | 2023-07-08 | |
| 3 | 2023-06-17 | 2023-07-15 | 2023-08-05 | |
| 4 | 2023-07-15 | 2023-08-12 | 2023-09-02 | |
| 5 | 2023-08-12 | 2023-09-09 | 2023-09-30 | |
| 6 | 2023-09-09 | 2023-10-07 | 2023-10-28 | |
| 7 | 2023-10-07 | 2023-11-04 | 2023-11-25 | |
| 8 | 2023-11-04 | 2023-12-02 | 2023-12-23 | |
| 9 | 2023-12-02 | 2023-12-30 | 2024-01-20 | |
| 10 | 2023-12-30 | 2024-01-27 | 2024-02-17 | |
| 11 | 2024-01-27 | 2024-02-24 | 2024-03-16 | |
| 12 | 2024-02-24 | 2024-03-31 | 2024-04-21 | |
| 13 (2024) | 2024-03-31 | 2024-04-24 | 2024-05-15 | |

Les personnes mandatées de la grappe ont l'**obligation, à chaque période de l'année financière**, de **valider** et de **transmettre** les données d'activité de laboratoire au ministère de la Santé et des Services sociaux (Centralab).

Les données compilées de l'installation qui effectue des activités de laboratoire sont transmises aux personnes mandatées de la grappe, selon l'entente convenue préalablement avec les intervenants dans ce dossier.

| TESTS DE DÉPISTAGE | |
|--|--|
| DÉPISTAGE NÉONATAL SANGUIN (sang séché) (1/2) | |
| ÉTABLISSEMENT MANDATÉ PAR LE MSSS : CHU DE QUÉBEC – UL | |
| Première intention | Seconde intention/validation |
| Erreurs innées du métabolisme (phénylcétonurie, tyrosinémie type 1, MCADD, VLCADD, LCHADD-TFPD, ASA, GA1) Voir le tableau de tests de confirmation diagnostique pour l'appellation complète des maladies | |
| 50802 – Dépistage néonatal d'erreurs innées du métabolisme (8 à 15 maladies) | 50802 – Dépistage néonatal d'erreurs innées du métabolisme (8 à 15 maladies) |
| | |
| Hypothyroïdie congénitale | |
| 50800 – TSH sur sang séché | 50641 – Thyroxine (T4) totale sur sang séché |
| | 50800 – TSH sur sang séché |

| TESTS DE CONFIRMATION DIAGNOSTIQUE | ÉTABLISSEMENTS MANDATÉS PAR LE MSSS | | | |
|---|-------------------------------------|------|------|--------------------|
| | CHU SAINTE-JUSTINE | CUSM | CHUS | CHU DE QUÉBEC – UL |
| URINE/SÉRUM/PLASMA/SANG | | | | |
| Phénylcétonurie | | | | |
| 50412 – Acides aminés (quantitatif) | ✓ | ✓ | ✓ | |
| 55268 – Phénylcétonurie (PKU); PAH; (séquençage, mutation individuelle) | | ✓ | | |
| 55266 – Phénylcétonurie (PCU); PAH; (séquençage, régions codantes complètes) | | ✓ | | |
| Tyrosinémie type 1 | | | | |
| 50624 – Succinylacétone (quantitatif) (GC-MS) | | | ✓ | |
| 55314 – Quatre maladies récessives du Saguenay-Lac-Saint-Jean; (ALC-SLSJ; TH1; NSM/ACC; ARSACS) (TAAN) - recherche de mutations individuelles sur prélèvement sanguin ou liquide biologique | | | | ✓ |
| 50412 – Acides aminés (quantitatif) | ✓ | ✓ | ✓ | |
| Acidurie argininosuccinique (ASA) | | | | |
| 50412 – Acides aminés (quantitatif) | ✓ | ✓ | ✓ | |
| Déficit en acyl Co-A déshydrogénase des acides gras à chaîne moyenne (MCADD) | | | | |
| 50417 – Acylcarnitines et carnitine libre (profil sérique) (MS-MS) | | | ✓ | |
| 50440 – Acylglycines urinaires (LC-MS/MS) | | | ✓ | |
| 50415 – Acides organiques (analyse quantitative et qualitative) | | | ✓ | |
| 55196 – Déficit en acyl-CoA déshydrogénase à chaîne moyenne (MCAD); ACADM (Lys304Glu/Lys329Glu) | | ✓ | | |
| Déficit en déshydrogénase des hydroxyacyl-CoA à longue chaîne (LCHADD) / Protéine trifonctionnelle mitochondriale (TFPD) | | | | |
| 50417 – Acylcarnitines et carnitine libre (profil sérique) (MS-MS) | | | ✓ | |
| 50415 – Acides organiques (analyse quantitative et qualitative) | | | ✓ | |
| Déficit en déshydrogénase des acyl-CoA à chaîne très longue (VLCADD) | | | | |
| 50417 – Acylcarnitines et carnitine libre (profil sérique) (MS-MS) | | | ✓ | |
| 50415 – Acides organiques (analyse quantitative et qualitative) | | | ✓ | |
| Acidurie glutarique de type 1 (GA1) | | | | |
| 50417 – Acylcarnitines et carnitine libre (profil sérique) (MS-MS) | | | ✓ | |
| 50415 – Acides organiques (analyse quantitative et qualitative) | | | ✓ | |
| 50433 – Acidurie glutarique de type 1 (GA-1); Dosage de l'acide 3-hydroxyglutarique sur spécimen urinaire (GC-MS) | | | ✓ | |
| Hypothyroïdie congénitale | | | | |
| TSH sérique (régional) | ✓ | ✓ | ✓ | ✓ |
| T4 libre (régional) | ✓ | ✓ | ✓ | ✓ |

| TESTS DE DÉPISTAGE | |
|--|--|
| DÉPISTAGE NÉONATAL SANGUIN (sang séché) (2/2) | |
| ÉTABLISSEMENT MANDATÉ PAR LE MSSS : CHU DE QUÉBEC – UL | |
| Première intention | Seconde intention/validation |
| Syndromes drépanocytaires majeurs | |
| 50488 – Dépistage néonatal des syndromes drépanocytaires majeurs (HPLC) | 50489 – Dépistage néonatal des syndromes drépanocytaires majeurs - test de 2 ^e intention (électrophorèse capillaire) |
| Fibrose kystique du pancréas | |
| 50646 – Trypsine immunoréactive (IRT) sur sang séché | 50646 – Trypsine immunoréactive (IRT) sur sang séché 55219 – Fibrose kystique (FK); <i>CFTR</i> ; (panel de 71 mutations) sur sang séché |
| Amyotrophie Spinale | |
| 50483 – Amyotrophie spinale (SMA), Déficit immunitaire combiné sévère (SCID); Trousse A (<i>TREC; SMN1</i>); (TAAN) sur sang séché | 50484 – Amyotrophie spinale (SMA); Trousse B (<i>TREC; SMN1</i>) - test de 2 ^e intention; (TAAN) sur sang séché |
| | 50485 – Amyotrophie spinale (SMA); Trousse C1 (<i>SMN1</i>) - test de 2 ^e intention, partie 2; (TAAN) sur sang séché |
| | 50486 – Amyotrophie spinale (SMA) Trousse C2 (<i>SMN2</i>) - test de 2 ^e intention partie 2; (TAAN) sur sang séché |
| Déficit immunitaire combiné sévère (SCID) | |
| 50483 – Amyotrophie spinale (SMA), Déficit immunitaire combiné sévère (SCID); Trousse A (<i>TREC; SMN1</i>); (TAAN) sur sang séché | 50487 – Déficit immunitaire combiné sévère (SCID); Trousse B (<i>TREC; SMN1</i>) - test de 2 ^e intention; (TAAN) sur sang séché |

| TESTS DE CONFIRMATION DIAGNOSTIQUE | ÉTABLISSEMENTS MANDATÉS PAR LE MSSS | | | |
|--|---|------|------|--------------------|
| | CHU SAINTE-JUSTINE | CUSM | CHUS | CHU DE QUÉBEC – UL |
| URINE/SÉRUM/PLASMA/SANG | | | | |
| Syndromes drépanocytaires majeurs | | | | |
| 20765 – Hémoglobine chromatographie | ✓ | ✓ | ✓ | ✓ |
| Fibrose kystique du pancréas | | | | |
| 30517 – Sueur (test à la) (dosage du chlorure) (titration) | ✓ | ✓ | ✓ | ✓ |
| | Également désignés : CISSS du Bas-Saint-Laurent, CISSS de l'Abitibi-Témiscamingue, CIUSSS du Saguenay – Lac Saint-Jean | | | |
| Amyotrophie spinale | | | | |
| 55133 – Amyotrophie spinale (SMA); délétion exon 7 <i>SMN1</i> , <i>SMN2</i> (TAAN) | ✓ | | | |
| Déficit immunitaire combiné sévère (SCID) | | | | |
| Première intention | | | | |
| 21004 – Marqueurs de surface lymphocytaire T-B-NK (CD3/4/8/19/16+56/45RA/45RO, CD31) | ✓ | | | |
| Dosage ADA intraérythrocytaire | <i>Analyse non offerte dans le RSSS Envoi hors Québec</i> | | | |
| Deuxième intention | | | | |
| Diagnostic du SCID; panel par SNG | <i>Analyse non offerte dans le RSSS Envoi hors Québec</i> | | | |

| TEST DE DÉPISTAGE | |
|--|---|
| DÉPISTAGE NÉONATAL URINAIRE | |
| ÉTABLISSEMENT MANDATÉ PAR LE MSSS : CENTRE HOSPITALIER UNIVERSITAIRE DE SHERBROOKE | |
| Première intention | Seconde intention/validation |
| 50490 – Dépistage néonatal maladies métaboliques sur urine (qualitatif) | 50411 – Acides aminés (qualitatif) |
| | 50415 – Acides organiques (analyse quantitative et qualitative) |

| TEST DE CONFIRMATION DIAGNOSTIQUE | ÉTABLISSEMENTS MANDATÉS PAR LE MSSS | | | |
|--|-------------------------------------|------|------|--------------------|
| | CHU SAINTE-JUSTINE | CUSM | CHUS | CHU DE QUÉBEC – UL |
| URINE/SÉRUM/PLASMA/SANG | | | | |
| Acidurie méthylmalmonique | | | | |
| 50409 – Acidémie méthylmalonique + homocystéinémie, diagnostic par complémentarité cellulaire | | ✓ | | |
| 50410 – Acidémie méthylmalonique avec homocystéinémie, dosage des cofacteurs cobalamine | | ✓ | | |
| 50604 – Propionyl-coA-carboxylase, indice d'incorporation de propionate | | ✓ | | |
| 55132 – Acidémie méthylmalonique avec homocystinurie; MMACHC, LMBR1D; (TAAN, mutation individuelle) | | ✓ | | |
| 50415 – Acides organiques (analyse quantitative et qualitative) | ✓ | | ✓ | |
| Acidurie propionique | | | | |
| 50415 – Acides organiques (analyse quantitative et qualitative) | ✓ | | ✓ | |
| 3-méthylcrotonyl glycinurie de type 1 | | | | |
| 50415 – Acides organiques (analyse quantitative et qualitative) | ✓ | | ✓ | |
| Citrullinémie classique et citrullinémie de type 2 | | | | |
| 55302 – Syndrome triple H ou syndrome de l'hyperornithinémie-hyperammoniémie-homocitrullinurie (SLC25A15: p.Phe188del) | ✓ | | | |
| 50405 – Acide orotique | ✓ | | ✓ | |
| 50412 – Acides aminés (quantitatif) | ✓ | ✓ | ✓ | |
| Syndrome triple H (hyperornithinémie-hyperammoniémie-homocitrullinurie) | | | | |
| 55302 – Syndrome triple H ou syndrome de l'hyperornithinémie-hyperammoniémie-homocitrullinurie (SLC25A15: p.Phe188del) | ✓ | | | |
| 50405 – Acide orotique | ✓ | | ✓ | |
| 50412 – Acides aminés (quantitatif) | ✓ | ✓ | ✓ | |
| Hyperargininémie | | | | |
| 55302 – Syndrome triple H ou syndrome de l'hyperornithinémie-hyperammoniémie-homocitrullinurie (SLC25A15: p.Phe188del) | ✓ | | | |
| 50405 – Acide orotique | ✓ | | ✓ | |
| 50412 – Acides aminés (quantitatif) | ✓ | ✓ | ✓ | |

| |
|-----------------------------|
| Légende : |
| Allergènes alimentaires |
| Allergènes environnementaux |

Tableau 1 - Liste des allergènes communs (code 30286)

| Allergènes | Codes | CHU de Québec – UL | CHUM | CHU Sainte-Justine | CHUS | CUSM |
|---|-------|--------------------|------|--------------------|------|------|
| Abeille domestique (venin) | i1 | √ | √ | | √ | √ |
| Acarien (<i>Dermatophagoides farinae</i>) (mites) | D2 | √ | √ | √ | √ | √ |
| Acarien (<i>Dermatophagoides pteronyssinus</i>) (mites) | D1 | √ | √ | √ | √ | √ |
| Ail | F47 | √ | √ | √ | √ | √ |
| Alpha-lactalbumine (nBos d4 alpha-lactalbumine) | F76 | √ | √ | √ | √ | |
| <i>Alternaria tenuis</i> (moisissures) | M6 | √ | √ | √ | √ | √ |
| Amande | F20 | √ | √ | √ | √ | √ |
| Arachides | F13 | √ | √ | √ | √ | √ |
| Armoise commune | W6 | | √ | √ | | |
| <i>Aspergillus fumigatus</i> (IgE spécifique) (moisissures) | M3 | √ | √ | √ | √ | √ |
| <i>Aspergillus niger</i> (IgE spécifique) (moisissures) | M207 | √ | √ | √ | | |
| Avoine | F7 | √ | √ | √ | √ | √ |
| Bêta-lactoglobuline (nBos d5 bêta-lactoglobuline) | F77 | √ | √ | √ | √ | |
| Blanc d'œuf | F1 | √ | √ | √ | √ | √ |
| Blé | F4 | √ | √ | √ | √ | √ |
| Bœuf (viande) | F27 | √ | √ | √ | √ | √ |
| Bouleau | T3 | √ | √ | √ | √ | √ |
| Caséine (nBos d8 caséine) | F78 | √ | √ | √ | √ | |
| Chat (squames) | E1 | √ | √ | √ | √ | √ |
| Chêne | T7 | | √ | √ | | |
| Cheval (squames) | E3 | √ | √ | √ | √ | √ |
| Chien (squames) | E5 | √ | √ | √ | √ | √ |
| <i>Cladosporium hebarum</i> (moisissures) | M2 | √ | √ | | √ | √ |
| Crabe | F23 | √ | √ | √ | √ | √ |
| Crevette | F24 | √ | √ | √ | √ | √ |
| Érable | T1 | √ | √ | √ | | |
| Farine sarrazin | F11 | √ | √ | √ | | |

| |
|-----------------------------|
| Légende : |
| Allergènes alimentaires |
| Allergènes environnementaux |

Tableau 1 - Liste des allergènes communs (code 30286)

| Allergènes | Codes | CHU de Québec – UL | CHUM | CHU Sainte-Justine | CHUS | CUSM |
|---------------------------------|-------|--------------------|------|--------------------|------|------|
| Frelon à face blanche (venin) | i2 | √ | √ | | √ | √ |
| Frelon jaune (venin) | i5 | √ | √ | | √ | √ |
| Graine de sésame | F10 | √ | √ | √ | √ | √ |
| Graine de tournesol | K84 | √ | √ | √ | | √ |
| Guêpe (poliste) (venin) | i4 | √ | √ | | √ | √ |
| Guêpe de l'est jaune | i3 | √ | √ | | √ | √ |
| Herbe à poux (herbacée) | W1 | √ | √ | √ | √ | √ |
| Homard | F80 | √ | √ | √ | √ | √ |
| Huître | F290 | √ | √ | √ | | |
| Jaune d'œuf | F75 | √ | √ | √ | √ | √ |
| Kiwi | F84 | √ | √ | √ | √ | √ |
| Lait de vache | F2 | √ | √ | √ | √ | √ |
| Latex (allergène professionnel) | K82 | √ | √ | | √ | √ |
| Lentille | F235 | √ | √ | √ | | |
| Maïs | F8 | √ | √ | √ | √ | √ |
| Morue | F3 | √ | √ | √ | √ | √ |
| Moule bleue | F37 | √ | √ | √ | √ | √ |
| Noisette | F17 | √ | √ | √ | √ | √ |
| Noix de cajou | F202 | √ | √ | √ | √ | √ |
| Noix de coco | F36 | √ | √ | √ | √ | √ |
| Noix de Grenoble | F256 | √ | √ | √ | √ | √ |
| Noix de macadam | F345 | √ | √ | √ | | |
| Noix de pacane | F201 | √ | √ | √ | √ | √ |
| Noix du Brésil | F18 | √ | √ | √ | √ | √ |
| Orge (farine) | F6 | √ | √ | √ | √ | √ |
| Ovalbumine (nGal d2 ovalbumine) | F232 | √ | √ | √ | √ | √ |
| Ovomucoïde (nGal d1 ovomucoïde) | F233 | √ | √ | √ | √ | √ |

| |
|-----------------------------|
| Légende : |
| Allergènes alimentaires |
| Allergènes environnementaux |

Tableau 1 - Liste des allergènes communs (code 30286)

| Allergènes | Codes | CHU de Québec – UL | CHUM | CHU Sainte-Justine | CHUS | CUSM |
|--|-------|--------------------|------|--------------------|------|------|
| Pénicilline G | C1 | √ | √ | | √ | √ |
| Pénicilline V | C2 | √ | √ | | √ | √ |
| <i>Penicillium notatum</i> (<i>P. chrysogenum</i>) | M1 | √ | √ | | √ | √ |
| Pétoncle | F338 | √ | √ | | | |
| Peuplier | T14 | | √ | √ | | |
| Phléole des prés (graminée) | G6 | √ | √ | √ | | |
| Pignon de pin | F253 | √ | √ | √ | | |
| Pistache | F203 | √ | √ | √ | √ | √ |
| Pois | F12 | √ | √ | √ | √ | √ |
| Pois chiche | F309 | √ | √ | | | |
| Pomme | F49 | √ | √ | √ | √ | √ |
| Poussière de maison (Lab. Greer) | H1 | √ | √ | | | √ |
| Riz | F9 | √ | √ | √ | √ | √ |
| Saumon | F41 | √ | √ | √ | √ | √ |
| Seigle | F5 | √ | √ | √ | √ | √ |
| Sole | F337 | √ | √ | √ | | |
| Soya | F14 | √ | √ | √ | √ | √ |
| Thon | F40 | √ | √ | √ | √ | √ |
| Truite | F204 | √ | √ | √ | √ | √ |

| |
|-----------------------------|
| Légende : |
| Allergènes alimentaires |
| Allergènes environnementaux |

Tableau 2 - Liste des allergènes occasionnels (code 30287)

| Allergènes | Codes | CHU de Québec – UL | CHUM | CHU Sainte-Justine |
|--|-------|--------------------|------|--------------------|
| Abricot | F237 | | √ | |
| <i>Acacia</i> ssp. (gomme arabique) | F297 | √ | | |
| <i>Acremonium kiliense</i> (<i>Cephalosporium</i>) | M202 | | √ | |
| Agrostide | G9 | √ | √ | |
| Aiglefin | F42 | | √ | |
| Amarante | W14 | √ | | |
| Ambroisie à épi grêle | W2 | | √ | |
| Ananas | F210 | √ | √ | √ |
| Anchois | F313 | | √ | √ |
| Aneth | F277 | √ | | |
| Anis | F271 | | √ | |
| Asperge | F261 | | √ | |
| Aubergine | F262 | | √ | |
| Aulne | T2 | √ | √ | |
| Avocat | F96 | √ | √ | √ |
| Banane | F92 | √ | √ | √ |
| Basilic | F269 | √ | | |
| Betterave | F319 | | √ | |
| Bleuet | F288 | | √ | |
| Brebis (lait) | F325 | √ | √ | |
| Brocoli | F260 | | √ | |
| Cacao (chocolat) | F93 | | √ | |
| Café | F221 | | √ | |
| Calmar | F258 | √ | √ | √ |
| Canard (plumes) | E86 | √ | | |
| Canari (plumes) | E201 | √ | | |
| <i>Candida albicans</i> | M5 | | √ | |
| Canneberge | F341 | | √ | |
| Cannelle | F220 | √ | √ | |
| Cardamone | F267 | √ | | |
| Cari | F281 | √ | | |
| Carotte | F31 | √ | √ | |
| Caroube | F296 | √ | | |

| |
|-----------------------------|
| Légende : |
| Allergènes alimentaires |
| Allergènes environnementaux |

Tableau 2 - Liste des allergènes occasionnels (code 30287)

| Allergènes | Codes | CHU de Québec – UL | CHUM | CHU Sainte-Justine |
|--|-------|--------------------|------|--------------------|
| Cèdre | T17 | | √ | |
| Cefaclor | C7 | √ | | |
| Céleri | F85 | √ | √ | |
| Cerise | F242 | | √ | |
| Champignon | F212 | | √ | |
| Chataigne | F299 | √ | | |
| Chèvre (épithélium) | E80 | √ | | |
| Chili (piment) | F279 | √ | | |
| Chlorhexidine | C8 | | √ | |
| Chou | F216 | | √ | |
| Chou-fleur | F291 | √ | | |
| Choux de Bruxelles | F217 | √ | | |
| Citron | F208 | | √ | |
| Citrouille (graine) | F226 | | √ | √ |
| Clémentine (mandarine - tangerine) | F302 | | √ | |
| Clou girofle | F268 | √ | | |
| Cobaye (épithélium) | E6 | √ | | |
| Concombre | F244 | | √ | |
| Coquerelle | i6 | | √ | |
| Coriandre | F317 | √ | | |
| Cumin | F265 | √ | | |
| Dactyle pelotonné (graminée) | G3 | √ | √ | √ |
| Datte | F289 | | √ | |
| <i>Dermatophagoides microceras</i> (acarien) | D3 | √ | | |
| Dinde (plumes) | E89 | √ | | |
| Dinde (viande) | F284 | | √ | |
| Épeautre | F124 | √ | | |
| Épinard | F214 | | √ | |
| Érable faux platane | T11 | | √ | |
| Escargot | F314 | √ | √ | |
| Estragon | F272 | √ | | |
| <i>Euroglyphus maynei</i> (acarien) | D74 | √ | | |
| Fenouil | F276 | √ | | |

| |
|-----------------------------|
| Légende : |
| Allergènes alimentaires |
| Allergènes environnementaux |

Tableau 2 - Liste des allergènes occasionnels (code 30287)

| Allergènes | Codes | CHU de Québec – UL | CHUM | CHU Sainte-Justine |
|--|-------|--------------------|------|--------------------|
| Fétuque des prés (graminée) | G4 | | √ | |
| Feuille de laurier | F278 | √ | | |
| Fève de Lima | F182 | √ | | |
| Figue | F328 | | √ | |
| Flétan | F303 | √ | √ | √ |
| Fourmi rouge | i70 | √ | | |
| Fraise | F44 | √ | √ | |
| Framboise | F343 | √ | √ | |
| Frêne blanc | T15 | | √ | |
| Fromage cheddar | F81 | | √ | |
| Fruit de la passion | F294 | | √ | |
| Furet | E217 | √ | | |
| Gélatine | C74 | √ | | |
| Genévrier | T6 | | √ | |
| Gingembre | F270 | √ | √ | |
| Gluten | F79 | √ | √ | |
| Gomme de guar (agar) | F246 | √ | | |
| Graine de lin | F333 | √ | √ | √ |
| Graine de lupin | F335 | √ | | |
| Graine de pavot | F224 | √ | | |
| Gulf flounder | F147 | √ | | |
| H. Ambroisie trilobée | W3 | | √ | √ |
| Hamster (épithélium) | E84 | √ | | |
| Hareng | F205 | | √ | √ |
| Haricot blanc | F15 | √ | √ | √ |
| Haricot rouge | F287 | √ | √ | √ |
| Haricot vert | F315 | √ | √ | √ |
| <i>Helminthosporium halodes</i> (moisissure) | M8 | | √ | |
| Hêtre | t5 | | √ | |
| Houblon cône | F324 | √ | | |
| Isocyanate TDI (allergène professionnel) | K75 | √ | | |
| Ivraie (graminée) | G5 | | √ | |
| Lait de chèvre | F300 | √ | √ | |

| |
|-----------------------------|
| Légende : |
| Allergènes alimentaires |
| Allergènes environnementaux |

Tableau 2 - Liste des allergènes occasionnels (code 30287)

| Allergènes | Codes | CHU de Québec – UL | CHUM | CHU Sainte-Justine |
|---|-------|--------------------|------|--------------------|
| Laitue | F215 | | √ | |
| Langouste | F304 | √ | √ | √ |
| Lapin (épithélium) | E82 | √ | | |
| Lapin (urine) | E211 | √ | | |
| Lapin (viande) | F213 | √ | | |
| <i>Lepidoglyphus destructor</i> (acarien) | D71 | √ | | |
| Levure (bière) | F45 | √ | | |
| Malt | F90 | √ | | |
| Mangue | F91 | √ | √ | |
| Maquereau | F206 | √ | | |
| Marjolaine | F274 | √ | | |
| Melon (miel, cantaloup) | F87 | | √ | |
| Melon d'eau (pastèque) | F329 | | √ | |
| Menthe | F332 | √ | | |
| Millet | F55 | | √ | |
| Moustique | i71 | | √ | |
| Moutarde | F89 | √ | √ | √ |
| Mouton (épithélium) | E81 | √ | | |
| Mouton (viande) | F88 | | √ | |
| <i>Mucor racemosus</i> (moisissure) | M4 | | √ | |
| Mûre | F211 | | √ | |
| Noisetier | T4 | | √ | |
| Noix de muscade | F282 | | √ | |
| Noyer | T10 | | √ | |
| Oie (plumes) | E70 | | √ | |
| Oignon | F48 | √ | | |
| Olive noire | F342 | | √ | |
| Olivier européen | T9 | | √ | |
| Orange | F33 | √ | √ | |
| Origan | F283 | √ | | |
| Orme | T8 | | √ | |
| Oxyde éthylène | K78 | √ | | |
| Palourde | F207 | √ | √ | √ |

| |
|-----------------------------|
| Légende : |
| Allergènes alimentaires |
| Allergènes environnementaux |

Tableau 2 - Liste des allergènes occasionnels (code 30287)

| Allergènes | Codes | CHU de Québec – UL | CHUM | CHU Sainte-Justine |
|---|-------|--------------------|------|--------------------|
| Pamplemousse | F209 | | √ | |
| Papaye | F293 | | √ | |
| Paprika (piment doux) | F218 | √ | | |
| Paturin des prés (graminée) | G8 | √ | √ | √ |
| Pêche | F95 | √ | √ | √ |
| <i>Penicillium frequentans</i> | M209 | | √ | √ |
| Perroquet (plumes) | E213 | √ | | |
| Perruche (plumes) | E78 | √ | | |
| Persil | F86 | √ | | |
| Petite bardane (lampourde) | W13 | | √ | |
| Pin blanc | T16 | | √ | |
| Pissenlit (herbacée) | W8 | | √ | |
| Plantain lancéolé (herbacée) | W9 | | √ | √ |
| Poire | F94 | | √ | |
| Poivre noir | F280 | √ | | |
| Poivre vert | F263 | | √ | |
| Pomme de terre | F35 | | √ | |
| Porc (épithélium) | E83 | √ | | |
| Porc (viande) | F26 | √ | √ | |
| Poulet (plumes) | E85 | √ | | |
| Poulet (viande) | F83 | √ | √ | √ |
| Poulpe | F59 | | √ | |
| Poussière de maison (Lab. Hollister-Stier) | H2 | | √ | |
| Prune | F255 | | √ | |
| Quinoa | F347 | | √ | |
| Raisin | F259 | | √ | |
| Rat (épithélium + protéines sériques + protéines urinaires) | E87 | √ | | |
| Rat (épithélium) | E73 | √ | | |
| Rat (urine) | E74 | √ | | |
| <i>Rhizopus nigricans</i> | M11 | | √ | |
| Roselin (plumes) | E214 | √ | | |
| Sardine | F61 | | √ | |

| |
|-----------------------------|
| Légende : |
| Allergènes alimentaires |
| Allergènes environnementaux |

Tableau 2 - Liste des allergènes occasionnels (code 30287)

| Allergènes | Codes | CHU de Québec – UL | CHUM | CHU Sainte-Justine |
|-------------------------|-------|--------------------|------|--------------------|
| Saule | T12 | | √ | |
| Sorgho d'Alep | G10 | | √ | |
| Souris | E88 | √ | | |
| Souris (urine) | E71 | √ | | |
| Souris (urine) | E72 | √ | | |
| Sperme (IgE spécifique) | o70 | | √ | |
| Taon | i204 | √ | | |
| Thé | F222 | | √ | |
| Thym | F273 | √ | | |
| Tilapia | F414 | | √ | |
| Tilleul | T208 | | √ | |
| Tomate | F25 | √ | √ | |
| Vache (squames) | E4 | | √ | |
| Vanille | F234 | √ | | |
| Verge d'or (herbacée) | W12 | | √ | |

| |
|-----------------------------|
| Légende : |
| Allergènes alimentaires |
| Allergènes environnementaux |

Tableau 3 - Liste des allergènes moléculaires (code 30288)

| Allergènes | Codes | CHUM |
|--|-------|------|
| alpha-Gal; nGal- alpha-1,3 Thyroglobuline (Bœuf) | o215 | √ |
| Ara h 1 (Arachides) | F422 | √ |
| Ara h 2 (Arachides) | F423 | √ |
| Ara h 3 (Arachides) | F424 | √ |
| Ara h 8; PR-10 (Arachides) | F352 | √ |
| Ara h 9; LTP (Arachides) | F427 | √ |
| Bet v 1 (Bouleau) | T215 | √ |
| Bet v 2; Profiline (Bouleau) | T216 | √ |
| Cor a 1 (Noisette) | F428 | √ |
| Cor a 14 (Noisette) | F439 | √ |
| Cor a 8; LTP (Noisette) | F425 | √ |
| Cor a 9 (Noisette) | F440 | √ |
| Der p 10; Tropomyosine (<i>Dermatophagoïdes Pteronyssinus</i>) | D205 | √ |
| Gal d3; Conalbumine (Œuf) | F323 | √ |
| Gly m 4; PR-10 (Soya) | F353 | √ |
| Gly m 5; Bêta-conglycinine (Soya) | F431 | √ |
| Gly m 6; Glycinine (Soya) | F432 | √ |
| Jug r 1 (Noix de Grenoble) | F441 | √ |
| Jurg r 3; LTP (Noix de Grenoble) | F442 | √ |
| Mal d 1; PR-10 (Pomme) | F434 | √ |
| Mal d 3; LTP (Pomme) | F435 | √ |
| Pen a 1; Tropomysine (Crevette) | F351 | √ |
| Phl p 1 (Phléole des prés) | G205 | √ |
| Phl p 12 (Phléole des prés) | G212 | √ |
| Phl p 5b (Phléole des prés) | G213 | √ |
| Pru p 1 (Pêche) | F419 | √ |
| Pru p 3 (Pêche) | F420 | √ |
| Pru p 4 (Pêche) | F421 | √ |
| Tri a 19; Omega-5 Gliadine (Blé) | F416 | √ |

| Code H-Q | Libellé | Code H-Q | Libellé |
|----------|------------------|----------|--------------------|
| 002445 | Phénotype f | 002543 | Phénotype CE |
| 002449 | Phénotype G | 002547 | Phénotype CEAG |
| 001564 | Phénotype Js(a) | 002550 | Phénotype CELO |
| 001565 | Phénotype Js(b) | 002554 | Phénotype CENR |
| 001537 | Phénotype Do(a) | 002558 | Phénotype CEST |
| 001538 | Phénotype Do(b) | 002562 | Phénotype C(G) |
| 002465 | Phénotype ABTI | 002566 | Phénotype Ch1 |
| 002469 | Phénotype ALe(b) | 002570 | Phénotype Ch2 |
| 002473 | Phénotype An(a) | 002574 | Phénotype Ch3 |
| 001575 | Phénotype AnWj | 002578 | Phénotype Ch4 |
| 002480 | Phénotype At(a) | 002582 | Phénotype Ch5 |
| 002484 | Phénotype Au(a) | 002586 | Phénotype Ch6 |
| 002488 | Phénotype Au(b) | 002590 | Phénotype Cl(a) |
| 002492 | Phénotype BARC | 002594 | Phénotype c-like |
| 002496 | Phénotype Be(a) | 002598 | Phénotype Co3 |
| 002503 | Phénotype Bi | 002602 | Phénotype Co4 |
| 002507 | Phénotype BLe(b) | 001533 | Phénotype Co(a) |
| 002511 | Phénotype BOW | 001534 | Phénotype Co(b) |
| 002515 | Phénotype Bp(a) | 002612 | Phénotype Chr(a) |
| 002519 | Phénotype Bx(a) | 002616 | Phénotype Cr(a) |
| 002523 | Phénotype By | 002620 | Phénotype CRAM |
| 002527 | Phénotype Can | 002624 | Phénotype Crawford |
| 002531 | Phénotype CD99 | 002628 | Phénotype CROV |
| 002535 | Phénotype Ce | 002632 | Phénotype CROZ |
| 002539 | Phénotype cE | 001569 | Phénotype Cs(a) |

| Code H-Q | Libellé | Code H-Q | Libellé |
|----------|------------------|----------|-----------------|
| 002639 | Phénotype Cs(b) | 002736 | Phénotype ENKT |
| 002643 | Phénotype C(x) | 002740 | Phénotype Er3 |
| 002647 | Phénotype DAK | 001540 | Phénotype Er(a) |
| 002651 | Phénotype DANE | 001541 | Phénotype Er(b) |
| 002655 | Phénotype Dantu | 002750 | Phénotype ERIK |
| 002659 | Phénotype Dav | 002754 | Phénotype Es(a) |
| 002663 | Phénotype Dh(a) | 002758 | Phénotype Evans |
| 001535 | Phénotype Di(a) | 002762 | Phénotype E(W) |
| 001536 | Phénotype Di(b) | 002766 | Phénotype Far |
| 002673 | Phénotype DISK | 002770 | Phénotype FORS |
| 002677 | Phénotype DOLG | 002774 | Phénotype FPTT |
| 002681 | Phénotype DOMR | 002778 | Phénotype Fr(a) |
| 002685 | Phénotype DOYA | 002782 | Phénotype Fy3 |
| 002689 | Phénotype Dr(a) | 002786 | Phénotype Fy5 |
| 002693 | Phénotype DSLK | 002790 | Phénotype Fy6 |
| 002697 | Phénotype Duclos | 002794 | Phénotype Ge2 |
| 002701 | Phénotype D(W) | 002798 | Phénotype Ge3 |
| 002705 | Phénotype ELO | 002802 | Phénotype Ge4 |
| 002709 | Phénotype Emm | 002806 | Phénotype GEAT |
| 001539 | Phénotype En(a) | 002810 | Phénotype GEIS |
| 002716 | Phénotype ENAV | 002814 | Phénotype GEPL |
| 002720 | Phénotype ENDA | 002818 | Phénotype GETI |
| 002724 | Phénotype ENEH | 002822 | Phénotype GIL |
| 002728 | Phénotype ENEP | 002826 | Phénotype Go(a) |
| 002732 | Phénotype ENEV | 002830 | Phénotype GUTI |

| Code H-Q | Libellé | Code H-Q | Libellé |
|----------|-----------------|----------|-----------------|
| 001543 | Phénotype Gy(a) | 002936 | Phénotype JAHK |
| 002837 | Phénotype H | 002940 | Phénotype JAL |
| 002845 | Phénotype HAG | 002944 | Phénotype Je(a) |
| 002849 | Phénotype He | 002948 | Phénotype JFV |
| 002853 | Phénotype Hg(a) | 002952 | Phénotype Jk3 |
| 002857 | Phénotype Hil | 002956 | Phénotype JMH |
| 002861 | Phénotype HJK | 002960 | Phénotype JMHG |
| 002865 | Phénotype HOFM | 002964 | Phénotype JMHK |
| 002869 | Phénotype Hop | 002968 | Phénotype JMHL |
| 002873 | Phénotype Hr | 002972 | Phénotype JMHM |
| 002877 | Phénotype Hr0 | 002976 | Phénotype JMHQ |
| 002881 | Phénotype Hr(B) | 002980 | Phénotype Jn(a) |
| 002885 | Phénotype hr(B) | 002984 | Phénotype Jo(a) |
| 002889 | Phénotype hr(H) | 002988 | Phénotype JONES |
| 002893 | Phénotype hr(s) | 001547 | Phénotype Jr(a) |
| 002897 | Phénotype Hu | 001550 | Phénotype K11 |
| 002901 | Phénotype Hut | 002998 | Phénotype K12 |
| 001544 | Phénotype Hy | 003002 | Phénotype K13 |
| 002908 | Phénotype I | 003004 | Phénotype K14 |
| 002912 | Phénotype i | 003008 | Phénotype K16 |
| 002916 | Phénotype IFC | 003012 | Phénotype K17 |
| 002920 | Phénotype In(a) | 003016 | Phénotype K18 |
| 002924 | Phénotype In(b) | 003019 | Phénotype K19 |
| 002928 | Phénotype INF1 | 003023 | Phénotype K22 |
| 002932 | Phénotype INJA | 003027 | Phénotype K23 |

| Code H-Q | Libellé | Code H-Q | Libellé |
|----------|------------------|----------|------------------|
| 003031 | Phénotype K24 | 003129 | Phénotype LKE |
| 003035 | Phénotype KALT | 003133 | Phénotype LOCR |
| 003039 | Phénotype KANT | 003137 | Phénotype Ls(a) |
| 003043 | Phénotype KASH | 003141 | Phénotype Lu11 |
| 003047 | Phénotype KCAM | 001553 | Phénotype Lu12 |
| 003051 | Phénotype KELP | 003148 | Phénotype Lu13 |
| 003055 | Phénotype KETI | 003152 | Phénotype Lu14 |
| 003059 | Phénotype Kg | 003156 | Phénotype Lu16 |
| 003063 | Phénotype KHUL | 001554 | Phénotype Lu17 |
| 003067 | Phénotype Km | 003163 | Phénotype Lu20 |
| 001571 | Phénotype Kn(a) | 003167 | Phénotype Lu21 |
| 003074 | Phénotype Kn(b) | 003171 | Phénotype Lu3 |
| 003078 | Phénotype Kp(c) | 003175 | Phénotype Lu4 |
| 003082 | Phénotype KREP | 003179 | Phénotype Lu5 |
| 003086 | Phénotype KTIM | 001551 | Phénotype Lu6 |
| 003090 | Phénotype Ku | 003186 | Phénotype Lu7 |
| 003094 | Phénotype KUCI | 001552 | Phénotype Lu8 |
| 003098 | Phénotype Kx | 003193 | Phénotype Lu9 |
| 003102 | Phénotype KYO | 003197 | Phénotype LURC |
| 001556 | Phénotype Lan | 001531 | Phénotype Lw(a) |
| 003109 | Phénotype Le(ab) | 003204 | Phénotype Lw(ab) |
| 003113 | Phénotype Le(bH) | 001532 | Phénotype Lw(b) |
| 003117 | Phénotype Le(c) | 003211 | Phénotype M1 |
| 003121 | Phénotype Le(d) | 003215 | Phénotype MAM |
| 003125 | Phénotype Li(a) | 003219 | Phénotype MAR |

| Code H-Q | Libellé | Code H-Q | Libellé |
|----------|------------------|----------|-------------------|
| 003223 | Phénotype MARS | 003321 | Phénotype OKVM |
| 003227 | Phénotype M(c) | 003325 | Phénotype OI(a) |
| 001572 | Phénotype McC(a) | 003329 | Phénotype Or |
| 003234 | Phénotype McC(b) | 003333 | Phénotype Os(a) |
| 003238 | Phénotype M(e) | 003337 | Phénotype P |
| 003242 | Phénotype MER2 | 001558 | Phénotype PEL |
| 003246 | Phénotype M(g) | 003344 | Phénotype P(k) |
| 003250 | Phénotype Mi(a) | 003348 | Phénotype PP1P(k) |
| 003254 | Phénotype Milne | 003352 | Phénotype Pt(a) |
| 003258 | Phénotype MINY | 003356 | Phénotype PX2 |
| 003262 | Phénotype Mit | 003360 | Phénotype RASM |
| 003266 | Phénotype MNTD | 003364 | Phénotype RAZ |
| 003270 | Phénotype Mo(a) | 003368 | Phénotype Rb(a) |
| 003274 | Phénotype Mt(a) | 003372 | Phénotype Rd |
| 003278 | Phénotype Mur | 003376 | Phénotype Re(a) |
| 003282 | Phénotype MUT | 003380 | Phénotype REIT |
| 003285 | Phénotype M(v) | 003384 | Phénotype Rg1 |
| 003289 | Phénotype "N" | 003388 | Phénotype Rg2 |
| 003293 | Phénotype NFLD | 003392 | Phénotype Rh29 |
| 003297 | Phénotype Nob | 003396 | Phénotype Rh32 |
| 003301 | Phénotype NOR | 003400 | Phénotype Rh33 |
| 003305 | Phénotype Nou | 003404 | Phénotype Rh35 |
| 003309 | Phénotype Ny(a) | 003408 | Phénotype Rh39 |
| 003313 | Phénotype Ok(a) | 003412 | Phénotype Rh41 |
| 003317 | Phénotype OKGV | 003416 | Phénotype Rh42 |

| Code H-Q | Libellé | Code H-Q | Libellé |
|----------|-----------------|----------|------------------|
| 003420 | Phénotype RHAG4 | 003517 | Phénotype Tc(a) |
| 003424 | Phénotype Ri(a) | 003521 | Phénotype Tc(b) |
| 003428 | Phénotype Riv | 003525 | Phénotype Tc(c) |
| 003432 | Phénotype SARA | 003529 | Phénotype Tm |
| 003436 | Phénotype SAT | 003533 | Phénotype To(a) |
| 001560 | Phénotype Sc1 | 003537 | Phénotype TOU |
| 001561 | Phénotype Sc2 | 003541 | Phénotype Tr(a) |
| 003446 | Phénotype Sc3 | 003545 | Phénotype TSEN |
| 003450 | Phénotype SCAN | 001511 | Phénotype U |
| 003454 | Phénotype SCER | 003553 | Phénotype Ul(a) |
| 003458 | Phénotype s(D) | 003557 | Phénotype UMC |
| 001573 | Phénotype Sd(a) | 003561 | Phénotype V |
| 003465 | Phénotype Sec | 001529 | Phénotype Vel |
| 003469 | Phénotype SERF | 003568 | Phénotype Vg(a) |
| 003473 | Phénotype Sext | 003572 | Phénotype VLAN |
| 003477 | Phénotype Sj | 003576 | Phénotype VONG |
| 003481 | Phénotype Sl(a) | 003580 | Phénotype Vr |
| 003485 | Phénotype Vil | 003584 | Phénotype VS |
| 003489 | Phénotype Sl3 | 003588 | Phénotype Vw |
| 003493 | Phénotype St(a) | 003592 | Phénotype WARR |
| 003497 | Phénotype STAR | 003596 | Phénotype Wb |
| 003501 | Phénotype STEM | 003600 | Phénotype Wd(a) |
| 003505 | Phénotype SW1 | 003604 | Phénotype WES(a) |
| 003509 | Phénotype Sw(a) | 003608 | Phénotype WES(b) |
| 003513 | Phénotype Tar | 003612 | Phénotype WH |

| Code H-Q | Libellé | Code H-Q | Libellé |
|----------|-----------------|----------|---------|
| 001528 | Phénotype Wr(b) | | |
| 003622 | Phénotype Wu | | |
| 001566 | Phénotype Xg(a) | | |
| 001570 | Phénotype Yk(a) | | |
| 001562 | Phénotype Yt(a) | | |
| 001563 | Phénotype Yt(b) | | |
| 003638 | Phénotype ZENA | | |



23-922-02W